

UNIVERSITATEA "POLITEHNICA" TIMIȘOARA
FACULTATEA DE MECANICĂ
CATEDRA DE REZISTENȚA MATERIALELOR

ING. MARȘAVINA LIVIU

TEZA DE DOCTORAT

METODE NUMERICE UTILIZATE ÎN CALCULUL
PARAMETRILOR DIN MECANICA RUPERII

IBL. TIMIȘOARA
v. 1000
620.521
366

CONDUCĂTORI ȘTIINȚIFICI:

PROF.DR.ING. BOLEANȚU LAZĂR

PROF.DR.ING. BABEU TIBERIU

BIBLIOTECA CENTRALĂ
UNIVERSITATEA "POLITEHNICA"
TIMIȘOARA

1998

CUVÂNT ÎNAINTE

Această lucrare reprezintă o sinteză a activității de cercetare, depusă de autor, în domeniul utilizării metodelor numerice pentru calculul parametrilor din Mecanica ruperii.

Pe această cale doresc să aduc un omagiu regretatului Prof. Dr. Ing. Lazăr Boleanțu , cel care mi-a fost mai întâi dascăl la cursul de Rezistența Materialelor, iar apoi m-a îndrumat cu profesionalism, în calitate de conducător științific, spre domeniul atât de interesant al Mecanicii ruperii materialelor. Sfaturile sale generatoare de optimism și încredere m-au ajutat pe parcursul elaborării tezei.

Doresc să aduc mulțumirile mele domnului Prof. Dr. Ing. Babeu Tiberiu - membru al Academiei de Științe Tehnice a României, actualul conducător al tezei de doctorat, pentru încurajările și sprijinul acordat în vederea finalizării acestei lucrări. Îi mulțumesc de asemenea pentru faptul că de când am venit la Catedra de Rezistența Materialelor a fost mereu alături de mine, având înțelegerea și răbdarea să mă sfătuiască și să mă ajute ori de câte ori a fost nevoie.

Mulțumesc domnului Prof. Dr. Ing. Dumitru Ion, care cu pasiune și pricepere m-a ajutat la realizarea părții experimentale a acestei lucrări. Faptul că am lucrat împreună la câteva contracte de cercetare, mi-a deschis noi perspective privind aplicarea conceptelor Mecanicii ruperii și utilizarea metodelor numerice pentru estimarea durabilității utilajelor grele.

Le mulțumesc tuturor colegilor de la Catedra de Rezistența Materialelor a Universității POLITEHNICA din Timișoara pentru sprijinul acordat pe parcursul elaborării tezei.

Gândurile mele de mulțumire se îndreaptă spre domnul Prof. Dr. Ing. Mircea Rațiu, care cu deosebită bunăvoință mi-a dat sfaturi prețioase privind alcătuirea acestei lucrări și mi-a pus la dispoziție o bogată bibliografie în domeniul Mecanicii ruperii.

Mulțumesc domnului Prof. Dr. Ing. Iliescu Nicolae de la Universitatea POLITEHNICA din București pentru sugestiile privind determinarea experimentală a factorului de intensitate a tensiunii, primite în timpul cursului postuniversitar de Tensometrie absolvit în 1994 la București.

Exprim mulțumire domnului Prof. Dr. Ing. Mihail Hărdău de la Universitatea Tehnică Cluj-Napoca pentru sfaturile și încurajările pe care mi le-a adresat de fiecare dată când a avut ocazia.

Doresc să exprim cele mai calde mulțumiri pentru sprijinul moral și material familiei mele, căreia îi dedic această teză de doctorat.

ing. Liviu Marșavina

CUPRINS

CAPITOLUL 1. STADIUL ACTUAL AL UTILIZĂRII METODELOR NUMERICE PENTRU CALCULUL PARAMETRILOR DIN MECANICA RUPERII

1.1	Introducere.....	1
1.2	Stadiul actual al utilizării metodelor numerice pentru calculul parametrilor din Mecanica ruperii.....	3
1.3	Programe utilizate pentru calculul parametrilor din Mecanica ruperii.....	5

CAPITOLUL 2. METODE ANALITICE PENTRU DETERMINAREA PARAMETRILOR DIN MECANICA RUPERII

2.1.	Tensiuni și deformații în medii elastice cu fisuri.....	9
2.1.1.	Exprimarea tensiunilor și deformațiilor folosind funcții de variabilă complexă.....	9
2.1.2.	Soluția Westergaard.....	11
2.1.3.	Aproximarea lui Irwin.....	13
2.1.4.	Soluții aproximative prin dezvoltări în serie.....	16
2.1.5.	Metoda "funcțiilor de pondere" pentru determinarea factorului de intensitate a tensiunii.....	18
2.1.6.	Determinarea câmpului de tensiune în vecinătatea unei creștături înguste terminate cu un orificiu circular.....	29
2.2.	Tensiuni și deformații în corpuri elasto-plastice cu fisuri.....	42
2.2.1.	Deformații plastice la vârful fisurii.....	42
2.2.2.	Modelul Dugdale.....	52
2.2.3.	Determinarea deplasării la deschidere a vârfului fisurii cu ajutorul funcțiilor de pondere.....	55
2.2.4.	Exprimarea câmpului de tensiuni și deformații prin intermediul integralei J.....	56

CAPITOLUL 3. UTILIZAREA METODEI ELEMENTELOR FINITE PENTRU DETERMINAREA PARAMETRILOR DIN MECANICA RUPERII.

3.1.	Noțiuni introductive.....	59
3.2.	Bazele teoretice ale Metodei elementelor finite.....	59
3.3.	Principiul Metodei elementelor finite.....	62
3.4.	Modelarea singularității vârfului fisurii.....	65
3.4.1.	Modelarea singularității vârfului fisurii utilizând elemente finite triunghiulare.....	65
3.4.2.	Elemente finite izoparametrice.....	71

3.4.3. Modelarea singularității vârfului fisurii utilizând elemente finite izoparametrice speciale.....	77
3.5. Calculul parametrilor Mecanicii ruperii liniar - elastice.....	92
3.5.1. Metoda extrapolării deplasării.....	92
3.5.2. Metoda extrapolării tensiunilor.....	94
3.5.3. Metoda forței de extensie a fisurii.....	95
3.5.4. Metoda extensiei virtuale a fisurii.....	96
3.5.5. Evaluarea factorului de intensitate a tensiunii pe baza integralei J.....	97
3.6. Calculul parametrilor Mecanicii ruperii în domeniul elasto-plastic.....	101
3.7. Etapele pentru determinarea parametrilor de Mecanica ruperii prin Metoda elementelor finite.....	105

CAPITOLUL 4. APLICAȚII ALE UTILIZĂRII ANALIZEI CU ELEMENTE FINITE PENTRU DETERMINAREA PARAMETRILOR DIN MECANICA RUPERII

4.1. Determinarea factorului de intensitate a tensiunii la vârful unei creștături laterale.....	110
4.2. Determinarea factorului de intensitate a tensiunii pentru o platbandă cu un orificiu circular din care se dezvoltă fisuri.....	120
4.2.1. Fisuri dezvoltate din orificii circulare.....	120
4.2.2. Programul FRANC2DL	122
4.2.3. Determinarea factorului de intensitate a tensiunii pentru o platbandă cu orificiu circular din care se dezvoltă două fisuri simetrice.....	124
4.2.4. Determinarea factorului de intensitate a tensiunii pentru o platbandă cu orificiu circular din care se dezvoltă o fisură.....	130

CAPITOLUL 5. DETERMINAREA EXPERIMENTALĂ A PARAMETRILOR DIN MECANICA RUPERII

5.1. Introducere.....	137
5.2. Metoda fotoelasticimetriei.....	138
5.3. Interpretarea datelor fotoelastice.....	138
5.3.1. Metoda Irwin.....	138
5.3.2. Metoda Bradley-Kobayashi.....	141
5.3.3. Metoda Schroedel-Smith.....	143
5.3.4. Metoda Smith.....	145
5.4. Determinări experimentale ale factorului de intensitate a tensiunii K_{I}	147
5.4.1. Determinarea experimentală cu metoda fotoelasticimetriei prin reflexie a factorului de intensitate a tensiunii la vârful unei creștături laterale, aflată într-o platbandă.....	147
5.4.2. Determinarea experimentală prin metoda fotoelasticimetriei prin a factorului de intensitate a tensiunii pentru o platbandă cu orificiu circular din care se dezvoltă o fisură.....	161

CAPITOLUL 6. CONTRIBUȚII PRIVIND ESTIMAREA DURABILITĂȚII TIRANȚILOR EXCAVATOARELOR PE BAZA PRINCIPIILOR MECANICII RUPERII MATERIALELOR

6.1. Introducere.....	168
6.2. Compoziția chimică.....	170
6.3. Caracteristici statice.....	170
6.4. Studiul privind comportarea la solicitări variabile a materialului tirantului.....	173
6.5. Încercări de reziliență.....	180
6.6. Cercetări privind comportarea la solicitări axiale cu șoc.....	181
6.7. Determinarea tenacității la rupere.....	185
6.7.1. Determinarea factorului critic de intensitate a tensiunii prin metoda Chevron.....	185
6.7.2. Determinarea factorului critic de intensitate a tensiunii pe baza corelării cu celelalte caracteristici de material.....	189
6.7.3. Determinarea tenacității la rupere la temperaturi scăzute.....	190
6.8. Contribuții la estimarea durabilității tiranților excavatoarelor în ipoteza apariției unor fisuri.....	192
6.9. Contribuții la determinarea stării de tensiune și a parametrilor de Mecanica ruperii din elementele de îmbinare ale tirantului unui excavator.....	203
6.10. Concluzii.....	213

CAPITOLUL 7. PROGRAME REALIZATE PENTRU CALCULUL PARAMETRILOR DIN MECANICA RUPERII.

7.1. Programul EXTENS pentru determinarea factorului de intensitate a tensiunii prin metoda extrapolării tensiunilor.....	215
7.2. Programul ProfiK pentru calculul factorilor de intensitate a tensiunii.....	221

CAPITOLUL 8. SINTEZA LUCRĂRII. CONTRIBUȚII PERSONALE

8.1. Sinteza lucrării.....	226
8.2. Contribuții personale.....	230

<u>BIBLIOGRAFIE</u>	233
----------------------------------	-----

LISTA PRINCIPALELOR NOTAȚII UTILIZATE

a	lungimea fisurii
\mathcal{A}	funcția de tensiune a lui Airy
A_n	alungirea la rupere
b, h	dimensiuni
B	grosimea epruvetei
B_I, B_{II}, B_{III}	singularitate tip Buekner corespunzătoare modului I, II respectiv III de deplasare a flancurilor fisurii
[B]	matricea de transformare a deplasării în deformații specifice
cor	coeficientul de corelație
C	coeficientul din Legea lui Paris
C_{ij}	coeficient de complianță
{d}	vectorul deplasărilor nodale
da/dN	viteza de propagare a fisurii
er.s.e.	eroarea standard a estimării
E	modul de elasticitate longitudinal
[E]	matricea constantelor elastice
f	factor adimensional de intensitate a tensiunii, funcție de geometria și încărcările corpului fisurat
f_{σ}	valoarea benzii
F	forță, încărcare
F_{max}	forța maximă
{f}	vectorul deplasare
G	modul de elasticitate transversal
\mathcal{G}	forța de extensie a fisurii
h(a)	funcție de pondere
J	integrala de contur J
[J]	matricea transformării coordonatelor
k	ordinul benzii
k_t	coeficient de concentrare a tensiunilor
K_I, K_{II}, K_{III}	factorul de intensitate a tensiunii corespunzător modului I, II respectiv III de deplasare a flancurilor fisurii
K_{IC}	factorul critic de intensitate a tensiunii, tenacitate la rupere
K_{IV}	tenacitate la rupere determinată pe epruvete Chevron
KV	energia consumată la rupere la încercarea de încovoiere prin șoc pe epruvete cu creștătură în V
[k]	matricea de rigiditate a elementului finit
[K]	matricea de rigiditate a structurii
n	exponentul din Legea lui Paris
N_c	număr de cicluri

$\{N\}$	matricea funcțiilor de formă
r_p	raza zonei plastice create la vârful fisurii
R	raza orificiului circular
R_d	coeficientul de determinare
R_m	rezistența la rupere
R_e	limita de curgere aparentă
$R_{p0,2}$	limita de curgere convențională
R_s	coeficient de asimetrie a ciclului
$[R]$	vectorul încărcărilor
T	temperatura de încercare
u, v, w	deplasările după direcțiile x, y, z
U	energia specifică de deformație
z	variabilă complexă
$Z(z)$	funcția complexă de tensiune Westergaard
Z	gâtuirea la rupere
(x, y, z)	sistemul cartezian de coordonate
(r, θ)	sistemul polar de coordonate
β	unghiul de înclinare al fisurii
δ	deplasarea de deschidere la vârful fisurii
$\{\varepsilon\}$	vectorul deformațiilor specifice
ΔK_I	variația factorului de intensitate a tensiunii
ε	deformație specifică
$\varphi(z), \psi(z)$	funcții de variabilă complexă
ν	coeficientul de contracție transversală
λ	coeficientul de ecruisare
σ	tensiune normală
$\sigma_x, \sigma_y, \sigma_z, \tau_{xy}, \tau_{yz}, \tau_{zx}$	componentele tensorului tensiunii
$\sigma_1, \sigma_2, \sigma_3$	tensiuni principale
σ_C	tensiunea de curgere
$\sigma_r, \sigma_\theta, \tau_{r\theta}$	tensiuni exprimate în coordonate polare
$\{\sigma\}$	vectorul tensiunilor
τ	tensiune tangențială
τ_m	tensiune tangențială maximă
(ξ, η)	sistemul de coordonate naturale al elementelor finite izoparametrice

CAPITOLUL 1

STADIUL ACTUAL AL UTILIZĂRII METODELOR NUMERICE PENTRU CALCULUL PARAMETRILOR DIN MECANICA RUPERII

1.1 INTRODUCERE

Ruperea este un proces complex de deformare care produce distrugerea completă într-o anumită secțiune a continuității unui corp solid, [6]. În urma fenomenului de rupere se separă regiuni ale materialului, iar capacitatea portantă a structurii descrește sub acțiunea diverselor încărcări, putându-se ajunge la distrugerea parțială sau totală a structurii.

La ora actuală pe plan mondial se utilizează conceptul de "*evaluarea a încrederii în structură*", la majoritatea aplicațiilor practice de la structurile utilizate în industria nucleară (recipienți și tuburi sub presiune), până la structurile de rezistență de tipul construcțiilor metalice (poduri, utilaje grele, etc).

Evaluarea siguranței în exploatare a elementelor de rezistență necesită o abordare care să țină cont de defectele și neomogenitățile materialului, de acumularea defectelor datorată solicitărilor variabile în timp, de inițierea și propagarea fisurilor, deci o abordare pe baza principiilor **Mecanicii ruperii materialelor**. Pornind de la aceste aspecte în Figura 1.1.1 am căutat să schițez etapele necesare în vederea *evaluării siguranței în exploatare a elementelor de rezistență*.

Se observă că în prima etapă este necesară determinarea caracteristicilor de material, o analiză a încărcărilor și determinarea dimensiunilor defectelor. Pe lângă caracteristicile de material clasice: limita de curgere σ_C , $R_{p0,2}$; rezistența la rupere R_m ; alungirea la rupere A_n ; gătuirea la rupere Z ; reziliența KV etc, este necesară determinarea caracteristicilor de material din punct de vedere a Mecanicii ruperii, adică a tenacităților la rupere a materialului: K_{IC} - factorul critic de intensitate a tensiunii); δ_C - deplasarea critică la deschidere a fisurii; J_{IC} - integrala critică de contur; r_p - raza zonei plastice formate la vârful fisurii, etc. Metodele experimentale pentru determinarea tenacităților la rupere au fost prezentate pe larg în [M15]

Pentru a realiza un studiu cât mai precis trebuie considerate condițiile reale în care lucrează elementul de rezistență (efectul variațiilor de temperatură, a mediilor corozive, etc)

Determinarea dimensiunilor defectelor se face utilizând o metodă nedistructivă, ca de exemplu emisia acustică sau ultrasunete.

Etapă a doua constă în analiza numerică și experimentală a tensiunilor, deformațiilor și a parametrilor din Mecanica ruperii (factorii de intensitate a tensiunii K_I , K_{II} , K_{III} ; deplasarea la deschidere a fisurii δ , integrala de contur J_I). Această etapă este deosebit de importantă deoarece complexitatea geometrică a elementelor de rezistență și interacțiunea diferitelor încărcări impun determinarea numerică sau experimentală a parametrilor de Mecanica ruperii, soluțiile analitice existente fiind inoperante în cazurile de complexitate mare. În [M16] am prezentat modul de determinare a parametrilor de Mecanica ruperii folosind trei dintre cele mai utilizate metode experimentale: fotoelasticimetria, tensometria electrică rezistivă și metoda causticelor.

După aceste prime două etape se pot trage concluzii privind starea de tensiune și deformație din elementul de rezistență; se pun în evidență zonele cu concentrări puternice ale tensiunii, zone în care se urmărește în timpul exploatării, prin metode nedistructive apariția unor fisuri și dezvoltarea acestora în timp; se poate face o primă evaluare privind posibilitatea ruperii fragile a elementului de rezistență, pe baza criteriilor Mecanicii ruperii. Astfel dacă parametrii determinați numeric sau experimental: K_I - pentru materiale cu comportare liniar-elastică, respectiv δ și J_I - pentru materiale cu comportare elasto-plastică ating sau depășesc valoarea tenacității la rupere se produce ruperea instabilă a elementului de rezistență.

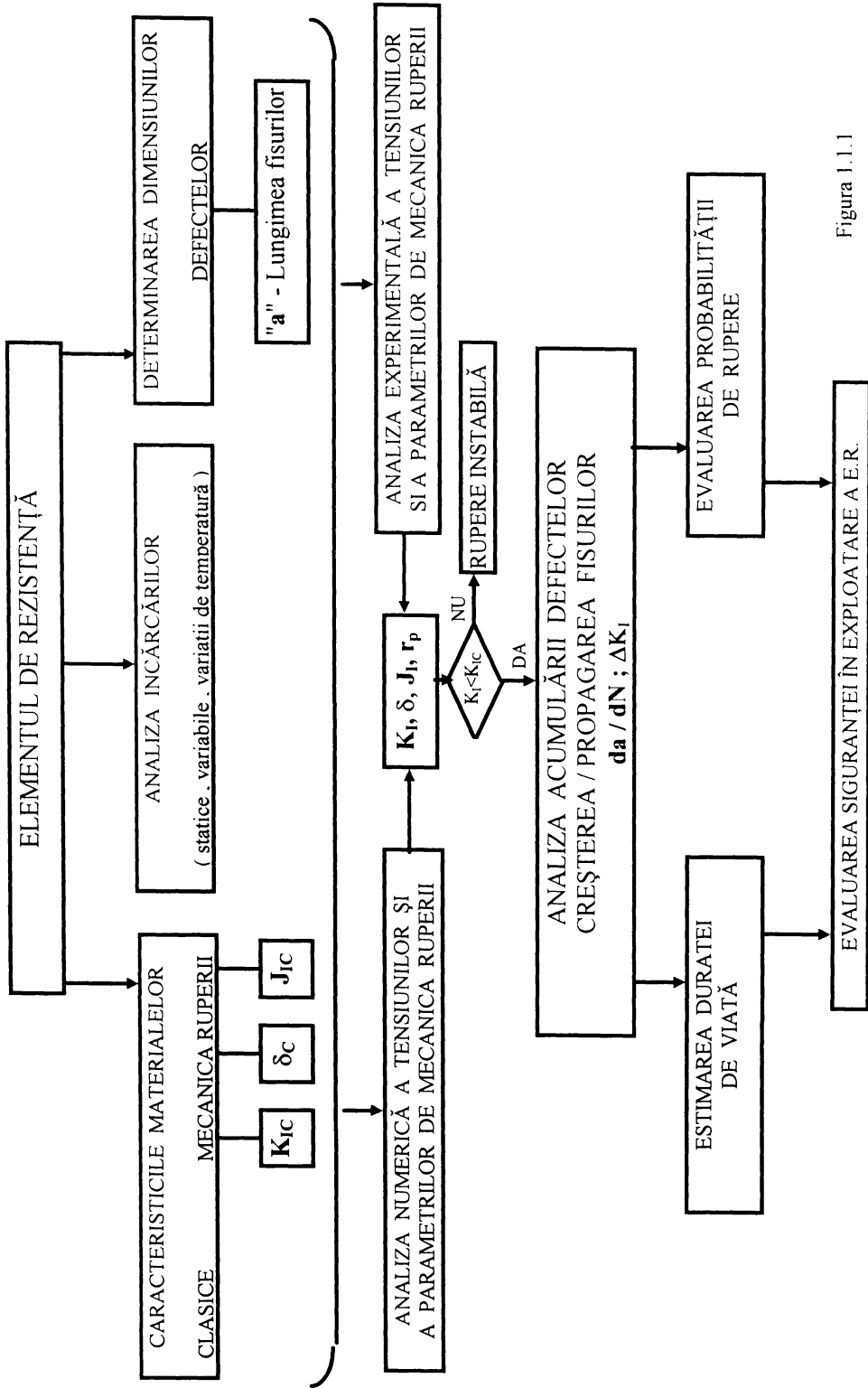


Figura 1.1.1

Astfel aplicând criteriul de rezistență a mediilor elastice cu fisuri, exprimat prin factorul de intensitate a tensiunii, dacă:

$K_I < K_{IC}$ nu se produce ruperea instabilă a elementului de rezistență,

iar dacă:

$K_I \geq K_{IC}$ se produce ruperea instabilă a elementului de rezistență.

În următoarea etapă trebuie studiată acumularea defectelor, creșterea și propagarea fisurilor sub acțiunea ciclurilor de solicitare. Parametrii caracteristici în această etapă sunt viteza de creștere a fisurii sub acțiunea ciclurilor de solicitare $\frac{da}{dN}$ și variația factorului de intensitate a tensiunii ΔK .

Pe baza rezultatelor obținute se pot trage concluzii privind numărul de cicluri până la rupere N_C , lungimea critică a fisurii de la care se produce ruperea instabilă a_C , adică se estimează *durata de viață a elementului de rezistență* sau apelând la un model probabilistic se poate evalua *probabilitatea de rupere a elementului de rezistență*. În final se face *evaluarea siguranței în exploatare a elementului de rezistență*.

Așa cum se observă din Figura 1.1.1 metodele numerice pentru calculul parametrilor de Mecanica ruperii au un loc bine definit în cadrul *evaluării siguranței în exploatare a elementelor de rezistență*. Mai mult la ora actuală s-au dezvoltat programe ce utilizează metode numerice pentru calculul vitezei de propagare a fisurii $\frac{da}{dN}$, a numărului de cicluri până la rupere N_C respectiv a lungimii critice a fisurii a_C .

1.2 STADIUL ACTUAL AL UTILIZĂRII METODELELOR NUMERICE PENTRU CALCULUL PARAMETRILOR DIN MECANICA RUPERII

Creșterea performanțelor calculatoarelor electronice a facilitat dezvoltarea unor metode noi pentru calculul structurilor. Astfel s-a dezvoltat în ultimii 30 de ani o nouă disciplină numită în limba engleză "**Computational Mechanics**", concept introdus de Argyris [A6], care este de fapt o sinteză a mai multor discipline cu caracter teoretic și practic dintre care trebuie amintite: mecanica teoretică și aplicată, rezistența materialelor, teoria elasticității și plasticității, matematica aplicată și teoria aproximării, analiza numerică și programarea calculatoarelor. O ramură a acestei noi discipline se numește "Computational Fracture Mechanics", adică în traducere Mecanica ruperii computațională, care se ocupă de modelarea și analiza numerică a problemelor care prezintă discontinuități geometrice de forma fisurilor.

Pentru a vedea interesul manifestat pe plan mondial față de această nouă ramură, am căutat conexiunile pentru "Computational Fracture Mechanics" în rețeaua internațională de calculatoare **INTERNET**. Rezultatul căutării a fost de peste 45.000 de adrese, dintre acestea o mare parte au fost adresele principalelor universități americane Berkeley, Cornell University, Clarkson University, Lehigh University, Kansas State University, University of Illinois, etc și ale celor mai importante institute și laboratoare de cercetare americane (de exemplu laboratorul NASA de la Langley), dar și ale unor universități europene de tradiție Oxford University, University of Glasgow, Wessex Institute of Technology, etc.

Cu ajutorul acestei imense resurse de informații, care este **INTERNET**-ul, am reușit să constat care este nivelul actual al cercetărilor privind utilizarea metodelor numerice pentru calculul parametrilor din Mecanica ruperii. Principalele tendințe în acest sens sunt:

- utilizarea metodelor numerice pentru elaborarea unor programe cât mai performante de calcul a parametrilor de Mecanica ruperii;

- determinarea prin analiză numerică a unor soluții pentru calculul parametrilor de rupere și sintetizarea acestor soluții sub forma unor baze de date care sunt puse la dispoziția proiectanților și a inginerilor, care exploatează elemente și structuri de rezistență pentru efectuarea controlului în serviciu;

- Metoda Elementului Finit (MEF) este cea mai utilizată dintre metodele numerice de calcul a parametrilor din Mecanica ruperii. Totuși la unele aplicații este mai eficientă utilizarea Metodei Elementelor de Frontieră (MEFr), deoarece dimensiunea problemei se reduce cu o unitate.

- calculul numeric al parametrilor din Mecanica ruperii se aplică elementelor de rezistență din domeniul aerospațial și aeronautic, din centralele nucleare și termoelectrice, construcțiile metalice, mașinilor și utilajelor grele din industriile constructoare de mașini, mineritului, la utilajele chimice etc.

Metoda elementelor de frontieră [P11], [P12] impune discretizarea numai a conturului domeniului problema devenind una de frontieră, care se împarte în elemente de frontieră pe care se pot aplica diferite procedee de aproximare. Construcția ecuațiilor integrale pe frontieră se poate face prin diferite metode în elastostatică, dintre care trebuie menționate metoda singularităților, bazată pe teoria dislocațiilor; metoda rezidului ponderat; metoda bazată pe formulele lui Green sau metoda bazată pe teoremele de reciprocitate ale lui Betti.

Avantajele Metodei elementelor de frontieră față de Metoda elementelor finite sunt:

- necesitatea discretizării numai a conturului, ceea ce duce la scăderea cu o unitate a dimensiunii problemei;

- este mult mai simplu de aplicat, deoarece nu necesită multă experiență pentru discretizarea conturului, ca în cazul MEF;

- se obține o precizie ridicată cu un timp de calcul mai redus;

- se pretează la determinarea concentrărilor de tensiune;

- prezintă simplitate la rezolvarea problemelor infinite;

- datele de intrare într-un program de calcul bazat pe MEFr sunt mult mai puține decât în cazul unui program scris pe baza MEF;

- programele elaborate pe baza MEFr necesită la rulare o memorie internă mai mică în raport cu programele bazate pe MEF;

- interpretarea rezultatelor este mai simplă la MEFr;

- este mai eficientă în cazul rezolvării problemelor infinite, a problemelor de contact pe suprafețe mici sau a problemelor elasto-dinamice.

- prezintă simplitate includerea programelor bazate pe MEFr într-un sistem de proiectare asistată de calculator.

Dintre dezavantajele acestei metode în raport cu MEF trebuie amintite:

- necesitatea determinării soluțiilor fundamentale ale problemei;

- proprietățile materialelor trebuie să fie constante pe subdomenii;

- rezolvarea dificilă a problemelor neliniare;

- nu este economică utilizarea MEFr în cazul problemelor bidimensionale cu suprafețe mari, respectiv a problemelor tridimensionale cu volum mare, deoarece rezultă o matrice nesimetrică de dimensiuni mari;

- matricea coeficienților de influență rezultată este nesimetrică, iar dimensiunile ei depind de modul de rezolvare.

Trebuie subliniat faptul că Metoda elementelor de frontieră și Metoda elementelor finite nu se exclud reciproc, ci dimpotrivă ele se completează, putând fi cuplate într-un singur program de calcul pentru îmbinarea avantajelor fiecăreia dintre ele. Un astfel de program a fost elaborat de cercetătorii de la Wessex Institute of Technology și se numește **BEASY**. Acest program

conține un modul performant pentru determinarea parametrilor de Mecanica ruperii: factorii de intensitate a tensiunii, direcția de propagare a fisurii și viteza de creștere a fisurii sub acțiunea solicitărilor variabile în timp.

Aplicații ale utilizării MEFr pentru calculul parametrilor de Mecanica ruperii sunt prezentate în lucrările [B23], [Y3].

Metoda elementelor finite continuă să fie preferată pentru calculul parametrilor de Mecanica ruperii, motiv pentru care ea va fi tratată detaliat în Capitolul 3 al acestei teze.

1.3 PROGRAME UTILIZATE PENTRU CALCUL PARAMETRILOR DIN MECANICA RUPERII

Data fiind complexitatea problemelor în care apar discontinuități geometrice de forma fisurilor, determinarea analitică a stării de tensiune și deformație, precum și a parametrilor caracteristici Mecanicii ruperii (factorul de intensitate a tensiunii K , integrala de contur J , etc), se poate face doar într-un număr limitat de cazuri, luând în considerare unele ipoteze simplificatoare.

Pentru evaluarea parametrilor de Mecanica ruperii, la valori cât mai apropiate de situația reală s-au dezvoltat programe de calcul automat. În general, aceste programe sunt realizate pe baza Metodei elementelor finite sau pe baza Metodei elementelor de contur.

La ora actuală programele de analiză cu elemente finite utilizate în aplicațiile de Mecanica Ruperii se împart în:

- * Programe generale de analiză cu elemente finite, care pe lângă analiza numerică a tensiunilor au posibilitatea definirii unor fisuri, programul calculând apoi parametri caracteristici Mecanicii ruperii. Aceste programe sunt:

- **ADINA**, specializat pe analiză cu elemente finite în domeniul elasto-plastic, calculând integrala J , dar având și opțiuni de modelare a propagării fisurii sub acțiunea solicitărilor variabile.

- **NASTRAN - PATRAN**, care permite determinarea factorului de intensitate a tensiunii K în domeniul liniar-elastic dar și a integralei J în domeniul elasto-plastic. Modulul **PATRAN** permite estimarea duratei totale de viață prin calculul duratei pentru inițierea fisurii, respectiv a duratei de propagare a fisurii până la rupere.

- **ABAQUS**, care poate fi utilizat atât în domeniul liniar-elastic cât și în domeniul elasto-plastic. Programul poate lua în considerare efectele neliniare și tranzitorii ce apar în timpul șocurilor termice, având și un modul pentru studiul transferului de căldură și a tensiunilor produse variații de temperatură.

- **NISA**, care este un program ce conține un modul foarte performant pentru calculul parametrilor din Mecanicii ruperii liniar-elastice și elasto-plastice, ce lucrează doar pe stații grafice.

Toate aceste programe necesită resurse "hard" (spațiu pe disc și memorie) foarte mari și ele nu rulează decât pe stații grafice sub sistemul de operare UNIX.

- * Programe specializate de analiză cu elemente finite a problemelor cu discontinuități geometrice de tipul fisurilor. Dintre acestea trebuie amintite:

- programul **WARP3D**, elaborat de Computational Fracture Mechanics Group de la University of Illinois at Urbana-Champaign sub conducerea prof. R.H. Dodds, care este un program de analiză cu elemente finite specializat pentru calculul structurilor tridimensionale supuse solicitărilor statice sau dinamice; el permite calculul în domeniul liniar-elastic, în domeniul elasto-plastic (calculează integrala J), dar și studiul creșterii fisurii. Programul rulează în sistemul de operare UNIX implementat doar pe stații grafice CRAY, HP 9000, IBM RISC 6000, Silicon Graphics

- programul **ZIP3D**, dezvoltat la University of Georgia, este un program avansat de analiză cu elemente finite a corpurilor tridimensionale fisurate; calculul fiind posibil în domeniul liniar elastic (factorul de intensitate a tensiunii K prin metoda extensiei virtuale a fisurii) sau elasto-plastic (integrala J și deplasarea de deschidere la vârful fisurii δ). Programul calculează parametri de Mecanica ruperii în cazul modurilor mixte de rupere. Acest program rulează doar pe platforme CRAY.

- programul **FRANC3D**, dezvoltat de un grup de cercetători de la Cornell University având autori principali pe A.R. Ingraffea și P. Wawrzynek, care este un program pentru calculul factorilor de intensitate a tensiunii la corpurile tridimensionale cu fisuri, în domeniul liniar-elastic. Programul are un modul care permite analiza cu elemente finite a propagării fisurilor. Programul **FRANC3D** are versiuni care rulează pe stații grafice Silicon Graphics, Dec Alpha, IBM RISC6000 și HP.

- programul **FRANC2DL**, este o variantă bidimensională a programului **FRANC3D**, dezvoltată la Kansas State University de prof. D. Swenson. Este singurul program din această categorie care are o versiune pe 32 biți și poate rula în sistemul de operare WINDOWS '95, pe un calculator personal PC, necesitând un procesor cu frecvență de minimum 133 MHz și o memorie de 16 MRAM. Programul permite calculul: factorilor de intensitate a tensiunii K_I și K_{II} , forței de extensie a fisurii G_I și G_{II} și integralelor de contur J_I și J_{II} la elementele de rezistență plane cu fisuri, solicitate în domeniul liniar-elastic. O facilitate suplimentară a programului este că permite calculul structurilor plane multistrat cu fisuri. Programul **FRANC2DL** permite și estimarea direcției de propagare a unei fisuri și trasează variația factorului de intensitate a tensiunii în funcție de lungimea fisurii, în cazul propagării acesteia prin oboșeală.

*Alte programe pentru calculul parametrilor de Mecanica ruperii pe baza soluțiilor analitice:

- programul **NASRAC** (relizat de specialiștii de la NASA Marshall Space Flight Center) este unul din primele programe de calcul a parametrilor de Mecanica ruperii și a propagării fisurii, [H4]. El are posibilitatea calculului parametrilor caracteristici mediilor liniar-elastice cu fisuri (factorului de intensitate a tensiunii K), mediilor elasto-plastice cu fisuri (integrala J , modulul de rupere T), determinarea vitezei de creștere a fisurii sub acțiunea ciclurilor de oboșeală da/dN . Programul conține peste 30 de geometrii pentru care se pot calcula parametri de Mecanica ruperii, pentru creșterea fisurii dispune de 7 modele diferite, are posibilitatea de a lua în considerare fenomenul de retardare la creșterea fisurii și poate fi utilizat la studiul acumulării defectelor.

- programul **VATTPACK**, care determină parametri de rupere K și J pentru plăci, învelișuri subțiri, tuburi, recipiente care conțin defecte de suprafață sau interioare și sunt supuse unor șocuri termice. Programul a fost elaborat de specialiștii de la ABB Impell, din care a făcut parte și prof. dr. ing. M. Rațiu.

- programul **ENDURE**, elaborat de Engineering Mechanics Research Center, este un program care permite analiza parametrilor de rupere și a duratei de viață a structurilor. Programul conține mai multe modele pentru a stabili inițierea fisurii, precum și pentru estimarea propagării fisurii. Permite calculul factorului de intensitate a tensiunii K , a forței de extensie a fisurii G , a integralei J sau deplasării de deschidere a fisurii δ , pentru o serie de modele de geometrii cu fisuri care pot fi supuse la diferite tipuri de încărcări, dintre care trebuie menționate încărcări dinamice și aleatoare. Acest program rulează sub sistem Unix pe stații grafice.

- programul **FASTRAN II**, elaborat la NASA Langley Research Center, pentru calculul propagării prin oboșeală a fisurilor. Astfel selectând una din cele 17 modele de geometrii fisurate și definind ciclul de solicitare care poate fi cu amplitudine constantă, cu amplitudine variabilă sau spectrul solicitării, programul trasând viteza de creștere a fisurii da/dN în funcție de variația factorului de intensitate a tensiunii ΔK_I , respectiv variația numărului de cicluri N_C în funcție de lungimea fisurii a . Programul ia în considerare efectele de curgere de la vârful

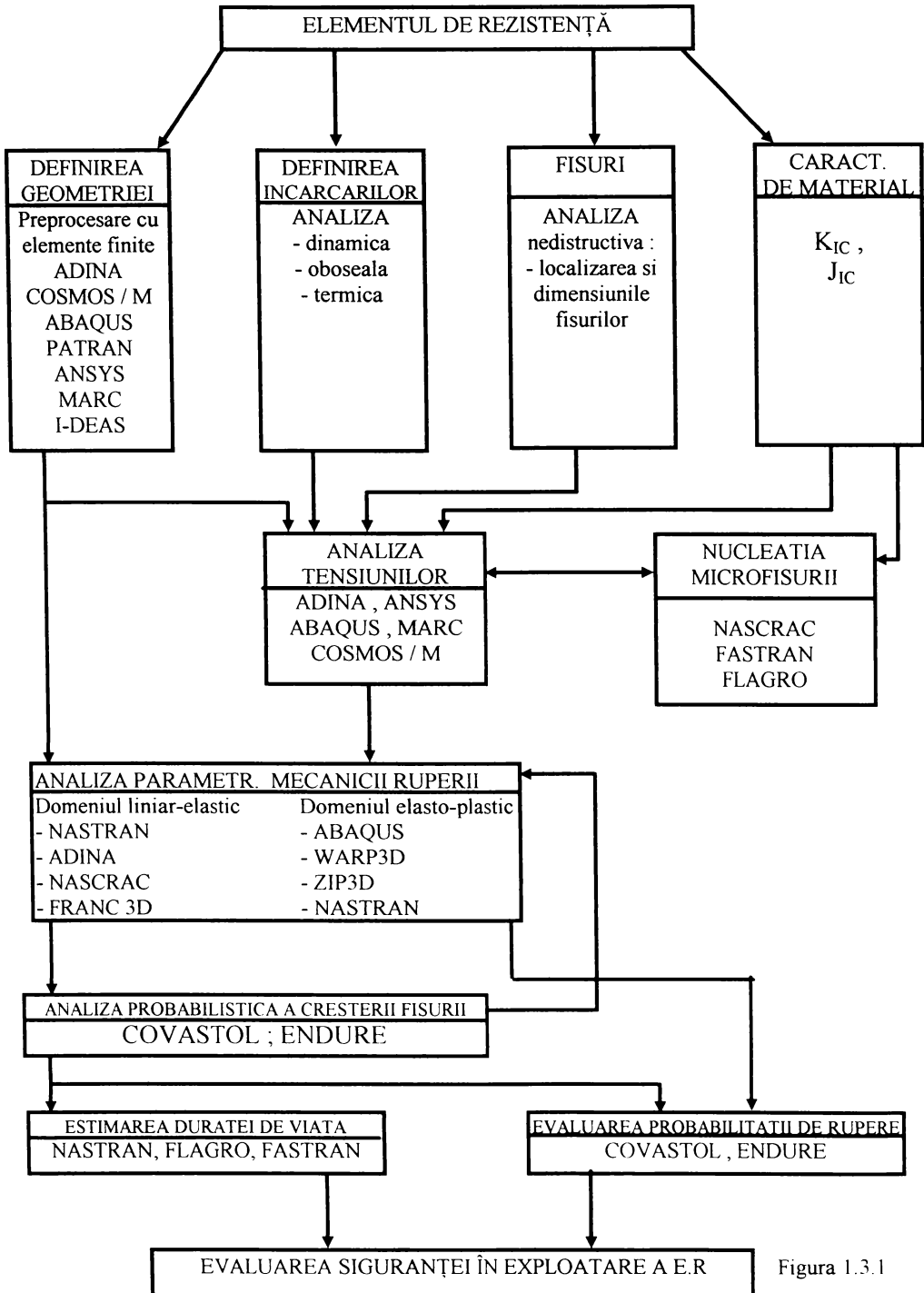


Figura 1.3.1

fisurii, precum și fenomenele de retardare sau accelerare propagării fisurii în cazul încărcărilor cu amplitudine variabilă.

- programul **NASA/FLAGRO**, realizat de specialiștii de la NASA Lockheed Engineering & Sciences Co., este un program pentru calculul duratei de viață a unei structuri și a dimensiunilor critice ale unei fisuri, dimensiuni la care se produce ruperea instabilă. Programul conține o bază de date cuprinzând soluții cu factorul de intensitate a tensiunii pentru diferite geometrii cu fisuri și o bază de date cuprinzând caracteristicile de material: limita de curgere σ_C , rezistența la rupere R_m și tenacitatea la rupere K_{Ic} pentru cele mai utilizate materiale (oțeluri, aliaje de aluminiu, etc).

- programul **COVASTOL** program specializat în analiza probabilistică a creșterii fisurii, estimarea duratei de viață și evaluarea probabilității de rupere.

În cazul în care nu se dispune de un program care să permită calculul parametrilor de Mecanica ruperii, pentru determinarea acestora se poate utiliza un program general de analiză cu elemente finite (COSMOS/M, ANSYS, ALGOR, I-DEAS etc), în care se modelează discontinuitatea geometrică, urmând ca evaluarea parametrilor de rupere să se facă pe baza datelor de ieșire obținute în urma rulării programului (tensiuni, deplasări, energie de deformație).

Trebuie menționat că toate aceste programe sunt realizate de institute specializate de SOFT și ele reprezintă munca a zeci de specialiști în matematică, informatică, programare și inginerie. De asemenea trebuie subliniat faptul că aceste programe se află într-o continuă modernizare și diversificare.

Pentru a avea o vedere generală a utilizării programelor de calcul la diferite nivele ale *evaluării siguranței în exploatare a elementelor de rezistență*, se va relua ordinograma prezentată în paragraful 1.1 printr-o prezentare din punct de vedere a programelor de calcul, Figura 1.3.1.

În concluzie la ora actuală la îndemâna inginerilor există o mare diversitate de programe, bazate pe analiza numerică, pentru calculul parametrilor din Mecanica ruperii, rolul acestora fiind de a utiliza eficient aceste programe în vederea soluționării problemelor practice apărute în proiectare și în exploatare.

Deoarece în prezent programele realizate pe baza Metodei elementelor finite sunt cele mai răspândite, la determinarea parametrilor din Mecanica ruperii am încercat în această lucrare să prezint bazele teoretice ale analizei cu elemente finite, aprofundând aspectelor specifice rezolvării problemelor cu fisuri (Capitolul 3). Utilizând MEF s-au obținut soluții originale ale factorului de intensitate a tensiunii pentru o platbandă cu creștătură laterală, respectiv pentru o platbandă cu orificiu circular din care se dezvoltă fisuri (Capitolul 4). Soluțiile determinate numeric sunt verificate experimental, prin metoda fotoelasticității în Capitolul 5.

În Capitolul 6 sunt prezentate contribuțiile personale privind estimarea durabilității tiranților excavatoarelor pe baza principiilor Mecanicii ruperii materialelor. Pentru studiul propagării fisurii, adică pentru a determina numărul de cicluri până la rupere a tiranților s-a elaborat un program de calcul bazat pe legea lui Paris de propagare a fisurilor.

În Capitolul 7 se prezintă două dintre programele elaborate de autor. Programul **EXTENS** pentru calculul factorului de intensitate a tensiunii prin metoda extrapolării tensiunilor, obținute în urma analizei cu elemente finite și programul **ProfiK** care reprezintă o bază de date conținând soluții ale factorului de intensitate a tensiunii pentru 21 de corpuri finite cu fisuri și care permite calculul factorului de intensitate a tensiunii.

CAPITOLUL 2

METODE ANALITICE PENTRU DETERMINAREA PARAMETRILOR DIN MECANICA RUPERII

2.1 TENSIUNI ȘI DEFORMAȚII ÎN MEDII ELASTICE CU FISURI

2.1.1 EXPRIMAREA TENSIUNILOR ȘI DEFORMAȚIILOR FOLOSIND FUNCȚIILE DE VARIABILĂ COMPLEXĂ

Discontinuitățile geometrice de forma fisurilor și creștăturilor adânci, ascuțite, creează dificultăți în integrarea ecuațiilor generale ale teoriei elasticității. Pentru a putea determina soluțiile sistemului de ecuații diferențiale și cu derivate parțiale, una dintre metode are la bază exprimarea tensiunilor și deformațiilor prin intermediul unor funcții de variabilă complexă.

În lucrările [C4], [H1], [P2] s-a arătat că starea de tensiune și deformație poate fi exprimată cu ajutorul funcțiilor de variabilă complexă $\varphi(z)$ și $\psi(z)$, unde $z = x+iy$ reprezintă variabila complexă. Această soluție, numită soluția Kolosov-Mushelishvili, se exprimă sub forma:

$$\begin{aligned}\sigma_x + i \tau_{xy} &= \varphi'(z) + \overline{\varphi'(z)} - z\overline{\varphi''(z)} - \overline{\psi'(z)} \\ \sigma_y - i \tau_{xy} &= \varphi'(z) + \overline{\varphi'(z)} + z\overline{\varphi''(z)} + \overline{\psi'(z)}\end{aligned}\quad (2.1.1.1)$$

sau adunând, respectiv scăzând relațiile (2.1.1.1) se obține:

$$\begin{aligned}\sigma_x + \sigma_y &= 2 [\varphi'(z) + \overline{\varphi'(z)}] = 4 \operatorname{Re} [\varphi'(z)] \\ \sigma_y - \sigma_x + 2i \tau_{xy} &= 2 [z\overline{\varphi''(z)} + \overline{\psi'(z)}]\end{aligned}\quad (2.1.1.2)$$

iar componentele deplasării se pot exprima sub forma:

$$2G(u + iv) = \chi\varphi(z) - z\overline{\varphi'(z)} - \overline{\psi(z)}\quad (2.1.1.3)$$

- unde $\sigma_x, \sigma_y, \tau_{xy}$ – componentele tensorului tensiune
 u, v – deplasările după direcțiile x, respectiv y
 $\varphi(z), \psi(z)$ – funcțiile de variabilă complexă
 χ – un coeficient în funcție de coeficientul de contracție transversală ν :
 $\chi = 3 - 4\nu$ pentru starea plană de deformație
 $\chi = (3 - \nu) / (1 + \nu)$ pentru starea plană de tensiune

Dacă se cunosc expresiile funcțiilor de variabilă complexă, $\varphi(z)$ și $\psi(z)$ se pot determina, cu relațiile (2.1.1.1) - (2.1.1.3), tensiunile și deformațiile. Funcțiile $\varphi(z)$ și $\psi(z)$ sunt funcții armonice¹ și analitice² pe domeniul R_z simplu conex și mărginit de conturul C , Figura 2.1.1.1

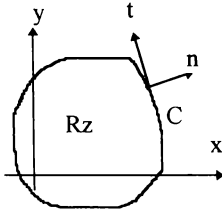


Figura 2.1.1.1

Punând condițiile pe contur, care iau în considerare valorile particulare pe care le iau tensiunile și deformațiile pe anumite suprafețe, se obțin expresiile funcțiilor complexe:

$$\begin{aligned} \varphi(z) &= -\frac{F_x + iF_y}{2\pi(1 + \chi)} \log z + (B_1 + iC_1)z + \varphi_0(z) \\ \psi(z) &= \frac{\chi(F_x - iF_y)}{2\pi(1 + \chi)} \log z + (B_2 + iC_2)z + \psi_0(z) \end{aligned} \tag{2.1.1.4}$$

unde B_1, B_2, C_1, C_2 - sunt constante ce depind de starea de tensiune

F_x, F_y - componentele rezultantei tuturor forțelor aplicate pe contururile interioare ale corpului

$\varphi_0(z), \psi_0(z)$ - funcții uniforme și analitice pe întregul domeniul studiat

Cu ajutorul funcțiilor de variabilă complexă se poate exprima funcția de tensiune a lui Airy, sub forma dată de Goursat:

$$\mathcal{A} = \frac{1}{2} [\bar{z}\varphi(z) + z\bar{\varphi}(z) + X(z) + \bar{X}(z)] \tag{2.1.1.5}$$

$X'(z) = \psi(z)$

Funcția de tensiune Airy verifică ecuația biarmonică:

$$\Delta \Delta \mathcal{A} = 0 \tag{2.1.1.6}$$

și permite determinarea tensiunilor cu relațiile.

$$\sigma_x = \frac{\partial^2 \mathcal{A}}{\partial y^2} \quad \sigma_y = \frac{\partial^2 \mathcal{A}}{\partial x^2} \quad \tau_{xy} = -\frac{\partial^2 \mathcal{A}}{\partial x \partial y} \tag{2.1.1.7}$$

¹ O funcție φ uniformă, este armonică pe domeniul R , dacă satisface ecuația lui Laplace $\Delta \varphi = 0$.

² O funcție reală de variabile x și y este analitică într-un domeniu R , dacă pentru orice punct $(x_0, y_0) \in S$ poate fi dezvoltată într-o serie dublă de puteri de forma: $\sum (x-x_0)^p (y-y_0)^q$, cu $p, q > 0$

Relațiile (2.1.1.2) și (2.1.1.3) se pot exprima și în coordonate polare (r, θ) , cu $z = r e^{i\theta}$, sub forma:

$$\begin{aligned} \sigma_r + \sigma_\theta &= 2[\varphi'(z) + \overline{\varphi'(z)}] \\ \sigma_\theta - \sigma_r + 2i\tau_{r\theta} &= 2e^{i\theta} [\overline{z}\varphi''(z) + \psi'(z)] \\ 2G(u_r + iu_\theta) &= e^{-i\theta} [\chi\varphi(z) - z\overline{\varphi'(z)} + \overline{\psi(z)}] \end{aligned} \quad (2.1.1.8)$$

Pentru determinarea funcțiilor complexe $\varphi(z)$ și $\psi(z)$ și implicit a stării de tensiune și deformație, din jurul fisurilor, s-au dezvoltat mai multe soluții. În cele ce urmează se vor analiza câteva dintre acestea.

2.1.2 SOLUȚIA WESTERGAARD

Pentru un corp înfinit, aflat în stare plană de deformație, având o fisură de lungime $2a$, orientată față de sistemul de coordonate conform Figura 2.1.2.1, și încărcat la înfinit cu tensiunea σ , funcțiile complexe $\varphi(z)$ și $\psi(z)$ se pot exprima prin intermediul unei singure funcții complexe $Z(z)$, după cum urmează:

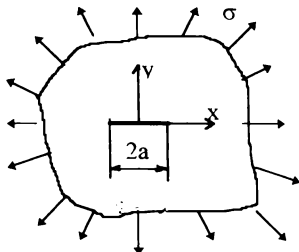


Figura 2.1.2.1

$$\begin{aligned} \varphi(z) &= \frac{l}{2} \int Z dz \\ \psi'(z) &= B - \frac{l}{2} z Z' \end{aligned} \quad (2.1.2.1)$$

Înlocuind relațiile (2.1.2.1) în relațiile (2.1.1.1), în urma efectuării calculelor se obțin componentele tensiunii:

$$\begin{aligned} \sigma_x &= ReZ - y ImZ' - A \\ \sigma_y &= ReZ + y ImZ' - A \\ \tau_{xy} &= -y ReZ' \end{aligned} \quad (2.1.2.2)$$

unde A este o constantă reală.

Punând condițiile la limită:

- pe conturul fisurii pentru $-a < x < a$ și $y=0$: $\sigma_y=0$, $\tau_{xy}=0$

- la infinit $|z| \rightarrow \infty$: $\sigma_x=\alpha\sigma$, $\sigma_y=\sigma$, $\tau_{xy}=0$, α fiind un coeficient

se obține expresia constantei reale A :

$$A = \frac{(1-\alpha)\sigma}{2} \quad (2.1.2.3)$$

respectiv expresia funcției de tensiune $Z(z)$:

$$Z(z) = \frac{\sigma z}{\sqrt{z^2 - a^2}} - A = \frac{\sigma z}{\sqrt{z^2 - a^2}} - \frac{1-\alpha}{2}\sigma \quad (2.1.2.4)$$

Din relația (2.1.2.4) se observă că în cazul tracțiunii monoaxiale $\alpha=0$ iar $A=\sigma/2$, respectiv în cazul tracțiunii biaxiale $\alpha=1$ iar $A=0$.

Dacă se renunță la constanta reală A , din relația (2.1.2.4) expresiile tensiunilor σ_y și τ_{xy} rămân nemodificate [C4]. Cum aceste componente ale tensiunii sunt determinante în stabilirea criteriilor de rupere, funcția Westergaard poate fi definită fără această constantă, ce depinde de geometria piesei și de modul de încărcare. În acest context în dezvoltările ulterioare funcția Westergaard se va considera de forma:

$$Z^*(z) = Z(z) + A = \frac{\sigma z}{\sqrt{z^2 - a^2}} \quad (2.1.2.5)$$

cu mențiunea că această formă este aplicabilă doar în cazul tracțiunii biaxiale.

Componentele tensiunii și deplasării se pot scrie prin intermediul funcției date de relația (2.1.2.5) după cum urmează:

$$\begin{aligned} \sigma_x &= \operatorname{Re} Z^* - y \operatorname{Im} Z^{*\prime} - 2A \\ \sigma_y &= \operatorname{Re} Z^* + y \operatorname{Im} Z^{*\prime} \\ \tau_{xy} &= -y \operatorname{Re} Z^{*\prime} \end{aligned} \quad (2.1.2.6)$$

$$\begin{aligned} 2G u &= \frac{\chi-1}{2} \operatorname{Re} \int Z^* dz - y \operatorname{Im} Z^* - \frac{\chi}{2} \frac{1}{2} A x \\ 2G v &= \frac{\chi-1}{2} \operatorname{Im} \int Z^* dz - y \operatorname{Re} Z^* - \frac{3-\chi}{2} A y \end{aligned}$$

În concluzie, pentru cazul tracțiunii biaxiale a unui corp infinit având o fisură de lungime $2a$, cunoscând expresia funcției $Z^*(z)$ se poate determina starea de tensiune și deformație cu relațiile (2.1.2.6). Pentru alte configurații ale corpului fisurat funcția Westergaard $Z(z)$ trebuie determinată.

2.1.3 APROXIMAREA LUI IRWIN

O aproximare satisfăcătoare a distribuției tensiunilor și deformațiilor din vecinătatea vârfului fisurii poate fi obținută exprimând funcția Westergaard sub forma:

$$Z^*(z) = \frac{K}{\sqrt{2\pi z}} \quad (2.1.3.1)$$

unde $z=x+iy$ iar mărimea K se numește **factor de intensitate a tensiunii** și depinde de încărcare, de geometria piesei și de modul de deschidere a flancurilor fisurii. Con form STAS 1963-81 factorul de intensitate a tensiunii K , reprezintă "valoarea părții principale a singularității câmpului de tensiune într-un corp solid liniar-elastic, la vârful unei discontinuități de forma unei fisuri" și are expresia:

$$K = \sigma\sqrt{\pi a} \quad [N / mm^{3/2}] \quad (2.1.3.2)$$

unde σ reprezintă tensiunea de la infinit ce soliciță corpul iar a este semilungimea fisurii.

În cazul corpurilor finite de diferite geometrii factorul de intensitate a tensiunii este dat de relația:

$$K = \sigma\sqrt{\pi a} f \quad (2.1.3.3)$$

unde f este o funcție de geometria corpului fisurat, numită și factor adimensional de intensitate a tensiunii.

Considerând un corp elastic infinit, aflat în stare plană de deformație, ce conține o fisură de lungime $2a$, alegând sistemul de coordonate cu originea în vârful fisurii și cele trei moduri de deplasare a flancurilor fisurii, Figura 2.1.3.1 prin înlocuirea funcției Z^* dată de (2.1.3.1) în relațiile (2.1.2.6) se pot calcula tensiunile și deplasările obținându-se:

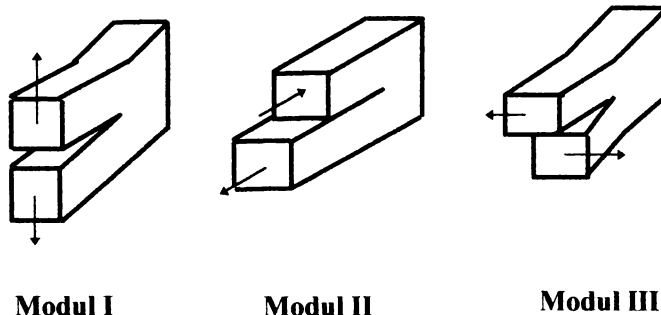


Figura 2.1.3.1

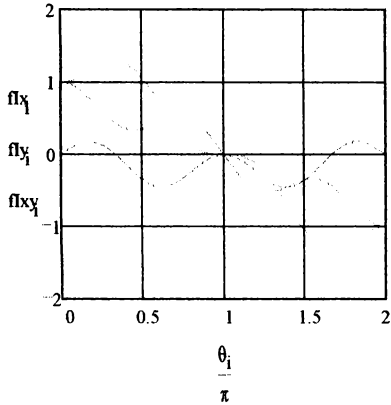


Figura 2.1.3.2

- pentru Modul I :

$$\begin{aligned} \sigma_x &= \frac{K_I}{\sqrt{2\pi r}} \cos \frac{\theta}{2} \left[1 - \sin \frac{\theta}{2} \sin \frac{3\theta}{2} \right] \\ \sigma_y &= \frac{K_I}{\sqrt{2\pi r}} \cos \frac{\theta}{2} \left[1 + \sin \frac{\theta}{2} \sin \frac{3\theta}{2} \right] \\ \sigma_z &= \nu(\sigma_x + \sigma_y) \\ \tau_{xy} &= \frac{K_I}{\sqrt{2\pi r}} \sin \frac{\theta}{2} \cos \frac{\theta}{2} \cos \frac{3\theta}{2} \\ \tau_{yz} &= \tau_{zx} = 0 \end{aligned} \tag{2.1.3.4}$$

$$\begin{aligned} u &= \frac{K_I}{G} \sqrt{\frac{r}{2\pi}} \cos \frac{\theta}{2} \left[1 - 2\nu + \sin^2 \frac{\theta}{2} \right] \\ v &= \frac{K_I}{G} \sqrt{\frac{r}{2\pi}} \sin \frac{\theta}{2} \left[2 - 2\nu - \cos^2 \frac{\theta}{2} \right] \\ w &= 0 \end{aligned}$$

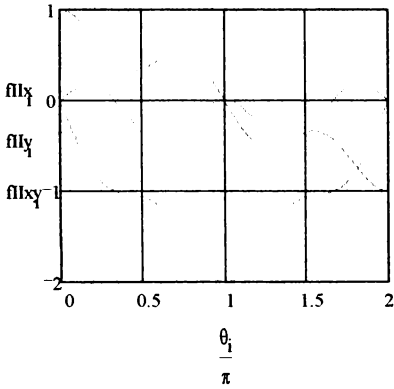


Figura 2.1.3.3

- pentru Modul II :

$$\begin{aligned} \sigma_x &= \frac{K_{II}}{\sqrt{2\pi r}} \sin \frac{\theta}{2} \left[2 + \cos \frac{\theta}{2} \cos \frac{3\theta}{2} \right] \\ \sigma_y &= \frac{K_{II}}{\sqrt{2\pi r}} \sin \frac{\theta}{2} \cos \frac{\theta}{2} \cos \frac{3\theta}{2} \\ \tau_{xy} &= \frac{K_{II}}{\sqrt{2\pi r}} \cos \frac{\theta}{2} \left[1 - \sin \frac{\theta}{2} \sin \frac{3\theta}{2} \right] \\ \sigma_z &= \nu(\sigma_x + \sigma_y) \quad \tau_{yz} = \tau_{zx} = 0 \end{aligned} \tag{2.1.3.5}$$

$$\begin{aligned} u &= \frac{K_{II}}{G} \sqrt{\frac{r}{2\pi}} \sin \frac{\theta}{2} \left[2 - 2\nu + \cos^2 \frac{\theta}{2} \right] \\ v &= \frac{K_{II}}{G} \sqrt{\frac{r}{2\pi}} \cos \frac{\theta}{2} \left[-1 + 2\nu + \sin^2 \frac{\theta}{2} \right] \\ w &= 0 \end{aligned}$$

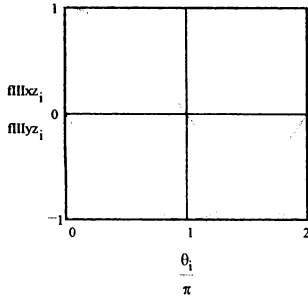


Figura 2.1.3.4

- pentru Modul III :

$$\begin{aligned}
 \sigma_x = \sigma_y = \sigma_z = \tau_{xy} &= 0 \\
 \tau_{xz} &= -\frac{K_{III}}{\sqrt{2\pi r}} \sin \frac{\theta}{2} \\
 \tau_{yz} &= \frac{K_{III}}{\sqrt{2\pi r}} \cos \frac{\theta}{2} \\
 u = v &= 0 \\
 w &= \frac{K_{III}}{G} \sqrt{\frac{2r}{\pi}} \sin \frac{\theta}{2}
 \end{aligned}
 \tag{2.1.3.6}$$

În figurile 2.1.3.2 - 2.1.2.4 s-au reprezentat în MathCAD variațiile funcțiilor $f(\theta)$ pentru cele trei moduri de deplasare ale flancurilor fisurii corespunzător modurilor I, II și III.

În cazul modurilor mixte (compuse) de deplasare a flancurilor fisurii tensiunile și deplasările se pot obține prin suprapunere de efecte, însumând componentele respective.

Soluția Irwin în coordonate polare pentru modul mixt (I + II) de deplasare a flancurilor fisurii are forma dată în [H1]:

$$\begin{aligned}
 \sigma_r &= \frac{K_I}{4\sqrt{2\pi r}} \left(5 \cos \frac{\theta}{2} - \cos \frac{3\theta}{2} \right) - \frac{K_{II}}{4\sqrt{2\pi r}} \left(5 \sin \frac{\theta}{2} - 3 \sin \frac{3\theta}{2} \right) \\
 \sigma_\theta &= \frac{K_I}{4\sqrt{2\pi r}} \left(3 \cos \frac{\theta}{2} + \cos \frac{3\theta}{2} \right) - \frac{K_{II}}{4\sqrt{2\pi r}} \left(3 \sin \frac{\theta}{2} + 3 \sin \frac{3\theta}{2} \right) \\
 \tau_{r\theta} &= \frac{K_I}{4\sqrt{2\pi r}} \left(\sin \frac{\theta}{2} + \sin \frac{3\theta}{2} \right) + \frac{K_{II}}{4\sqrt{2\pi r}} \left(\cos \frac{\theta}{2} + 3 \cos \frac{3\theta}{2} \right)
 \end{aligned}
 \tag{2.1.3.7}$$

Din relațiile (2.1.3.4) - (2.1.3.7) se observă că dacă se reușește determinarea factorului de intensitate a tensiunii K , prin metode analitice, numerice sau experimentale se poate apoi cu ușurință determina câmpul de tensiune și deformație din jurul fisurii. Trebuie subliniat că soluția Irwin este valabilă doar în vecinătatea vârfului fisurii.

2.1.4 SOLUȚII APROXIMATIVE PRIN DEZVOLTĂRI ÎN SERIE

Williams [W4] prezintă distribuția tensiunilor și deplasărilor sub forma unor dezvoltări în serii de puteri a funcțiilor complexe $\varphi(z)$ și $\psi(z)$, sub forma:

$$\begin{aligned} \varphi(z) &= \sum_{n=0}^{\infty} A_n z^{n/2} \\ \psi(z) &= \sum_{n=0}^{\infty} B_n z^{n/2} \end{aligned} \tag{2.1.4.1}$$

constantele A_n , respectiv B_n se determină în funcție de condițiile la limită, de geometrie și de încărcare.

Înlocuind funcțiile de tensiune $\varphi(z)$ și $\psi(z)$ în relațiile Kolosov-Mushelisvili scrise în coordonate polare, (2.1.3.7), pentru cazul unei plăci infinite supusă la tracțiune monoaxială, pe direcția oy (Figura 2.1.4.1), având o fisură semiinfinită extinsă de-a lungul porțiunii negative a axei ox, se obțin expresiile câmpului de tensiune și deformație, relațiile (2.1.4.2). Dacă se consideră valabilă aproximarea lui Irwin, adică se exprimă tensiunile și deplasările doar în vecinătatea vârfului fisurii ($z \rightarrow 0$) se poate considera doar primul termen al dezvoltării.

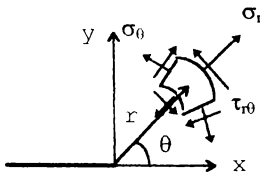


Figura 2.1.4.1

$$\begin{aligned} \sigma_r &= \frac{l}{2\sqrt{r}} [(Re A_1)(3 - \cos\theta)\cos\frac{\theta}{2} - (Im A_1)(3 \cos\theta - 1)\sin\frac{\theta}{2}] \dots \\ \sigma_\theta &= \frac{l}{2\sqrt{r}} [(Re A_1)(1 + \cos\theta)\cos\frac{\theta}{2} + 3(Im A_1)\sin\theta \cos\frac{\theta}{2}] \dots \\ \tau_{r\theta} &= \frac{l}{2\sqrt{r}} [(Re A_1)\sin\theta \cos\frac{\theta}{2} - (Im A_1)(3 \cos\theta - 1)\cos\frac{\theta}{2}] \dots \tag{2.1.4.2} \\ u_r &= \frac{\sqrt{r}}{4G} [(Re A_1)(2\chi - 1)\cos\frac{\theta}{2} - \cos\frac{3\theta}{2}] + (Im A_1)(2\chi - 1)\sin\frac{\theta}{2} - 3 \sin\frac{3\theta}{2} \dots \\ u_\theta &= \frac{\sqrt{r}}{4G} [(Re A_1)(-2\chi + 1)\sin\frac{\theta}{2} + \sin\frac{3\theta}{2}] + (Im A_1)(2\chi + 1)\cos\frac{\theta}{2} - 3 \cos\frac{3\theta}{2} \dots \end{aligned}$$

Constanta A_I se determină din condițiile particulare de încărcare și ea este în general de forma:

$$A_I = \operatorname{Re} A_I + i \operatorname{Im} A_I = \frac{1}{\sqrt{2\pi}} (K_I - i K_{II}) \quad (2.1.4.3)$$

unde K_I , K_{II} reprezintă factorii de intensitate a tensiunii pentru modul I, respectiv modul II de deplasare a flancurilor fisurii.

În evaluarea numerică a distribuției tensiunilor și deplasărilor din vecinătatea fisurilor, în particular în evaluarea factorului de intensitate a tensiunii s-a dovedit eficace utilizarea exprimării în serie Laurent a funcțiilor complexe $\varphi(z)$ și $\psi(z)$ sub forma:

$$\begin{aligned} \varphi'(z) &= a_0 + \sum_{m=1}^{\infty} (a_m z^m + b_m z^{-m}) \\ \frac{d\psi'(z)}{dz} &= \frac{C}{2} \left[c_0 + \sum_{m=1}^{\infty} (c_m z^m + d_m z^{-m}) \right] \end{aligned} \quad (2.1.4.4)$$

unde relațiile între coeficienții a_m , b_m , c_m și d_m se determină din condițiile pe contur.

Reprezentarea funcțiilor de tensiune sub forma unor serii de puteri prezintă avantajul că permite determinarea tensiunilor pentru modul mixt I și II de deplasare a flancurilor fisurii.

Alte soluții ce pentru reprezentarea câmpului de tensiuni și deformații din jurul fisurilor au fost dezvoltate de Eftis [E1], Berger - Sanford [B7] etc.

2008.02.01

2.1.5 METODA "FUNCȚIILOR DE PONDERE" PENTRU DETERMINAREA FACTORULUI DE INTENSITATE A TENSIUNII

Metoda dezvoltată de Buekner [B18], [B19] și Paris [P4] este un instrument relativ simplu, la îndemâna inginerilor, pentru determinarea soluțiilor factorului de intensitate a tensiunii pentru o serie de aplicații cu fisuri.

Se consideră un corp elastic având o fisură de lungime a și încărcat cu un sistem de forțe independente F_1, F_2, \dots, F_N (Fig.2.1.5.1).

Forța de extensie a fisurii \mathcal{G} , care este și ea un parametru al Mecanicii ruperii liniar-elastice, se exprimă ca fiind:

$$\mathcal{G} = \frac{\partial U}{\partial a} = \frac{1}{2} \sum_{i=1}^N \sum_{j=1}^N \frac{\partial C_{ij}}{\partial a} F_i F_j = \frac{1}{2} \sum_{i=1}^N F_i \frac{\partial u_i}{\partial a} \tag{2.1.5.1}$$

unde: U este energia totală de deformare a corpului fisurat,

a este lungimea fisurii,

u_i este deplasarea punctului de aplicare al forței F_i , exprimată prin intermediul coeficientului complianței elastice $C_{ij}(a)$:

$$u_i = \sum_{j=1}^N u_{ij} = \sum_{j=1}^N C_{ij}(a) \cdot F_j \tag{2.1.5.2}$$

În relația (2.1.5.2) s-a ținut cont de reciprocitatea coeficienților de complianță: $C_{ij} = C_{ji}$.

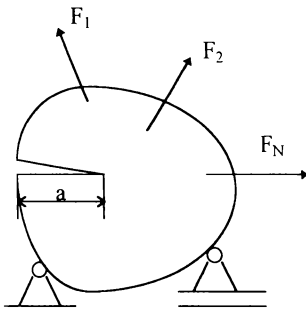


Figura 2.1.5.1

Pe de altă parte ținând cont de relația dintre factorul de intensitate a tensiunii K și forța de extensie a fisurii \mathcal{G} , aceasta se poate exprima:

$$\mathcal{G} = \frac{K^2}{E'} = \frac{1}{E'} \sum_{i=1}^N \sum_{j=1}^N k_i(a) \cdot k_j(a) \cdot F_i(a) \cdot F_j(a) \tag{2.1.5.3}$$

unde factorul de intensitate a tensiunii K se consideră liniar dependent de încărcarea F :

$$K = \sum_{i=1}^N K_i = \sum_{i=1}^N k_i(a) \cdot F_i \tag{2.1.5.4}$$

$k_i(a)$ este o funcție dependentă de lungimea fisurii, numită și "funcție de pondere"

$E' = E$ - modulul de elasticitate pentru starea plană de tensiune

$E' = E/(1-\nu)$ - modulul de elasticitate pentru starea plană de deformare,

K_i factorul de intensitate a tensiunii produs de încărcarea i .

Egalând expresiile lui \mathcal{G} date de relațiile (2.1.5.1) și (2.1.5.3), cu mențiunea că egalitatea trebuie să se păstreze pentru orice valoare a încărcării F_1, F_2, \dots, F_N , termenii sumei trebuie să fie identici:

$$\frac{k_i(a) \cdot k_j(a)}{E'} = \frac{1}{2} \frac{\partial C_{ij}(a)}{\partial a} \tag{2.1.5.5}$$

Considerând că se cunoaște o soluție completă pentru încărcarea F_m , adică se cunoaște factorul de intensitate a tensiunii $K_m(a)$, funcția de complianță $C_{im}(a)$ și deplasările în punctele de aplicare ale forțelor "i" produse de încărcarea "m": $u_{im} = F_m C_{im}$, din relația (2.1.5.5) rezultă:

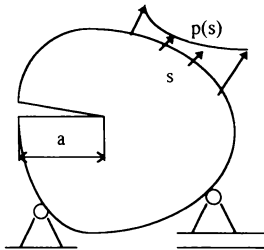
$$k_i(a) = \frac{E'}{2} \frac{\partial C_{im}(a)}{\partial a} \frac{1}{k_m(a)} = \frac{E'}{2} \frac{\partial C_{im}}{\partial a} \frac{F_m}{K_m} \tag{2.1.5.6}$$

Înlocuind relația (2.1.5.6) în (2.1.5.4) rezultă:

$$K = \sum_{i=1}^N k_i(a) \cdot F_i = \frac{E'}{2} \frac{F_m}{K_m} \sum_{i=1}^N \frac{\partial C_{im}(a)}{\partial a} F_i \tag{2.1.5.7}$$

În concluzie valoarea factorului de intensitate a tensiunii pentru încărcările F_i se poate calcula dacă se cunoaște valoarea acestuia pentru o singură încărcare F_m .

Dacă asupra corpului acționează o sarcină distribuită $p(s)$ pe suprafața s , în locul forțelor concentrate F_i , Figura 2.1.5.2. relația (2.1.5.7) devine:



$$K = \int h_m(s, a) \cdot p(s) ds \tag{2.1.5.8}$$

unde $h_m(s, a)$ reprezintă funcția de pondere determinată pentru încărcarea m :

$$h_m(s, a) = \frac{E'}{2 \cdot K_m(a)} \frac{\partial u_m(s, a)}{\partial a} \tag{2.1.5.9}$$

Figura 2.1.5.2

unde $u_m(s, a)$ reprezintă deplasarea suprafeței s , măsurată pe direcția sarcinii $p(s)$ și produsă de încărcarea m , pentru care se cunoaște soluția completă.

Buekner [B19] propune o metodă specială pentru determinarea factorului de intensitatea tensiunii cu ajutorul funcțiilor de pondere. Se consideră un corp elastic având o fisură de lungime a în două situații de încărcare:

- cazul 1: încărcare cu forțele concentrate F , aplicate la o distanță b de vârful fisurii, pentru care se cunoaște soluția completă, Figura 2.1.5.3.a

- cazul 2: încărcarea cu sarcina distribuită $p(s)$ ce acționează pe suprafața s , caz pentru care se dorește determinarea factorului de intensitate a tensiunii, Figura 2.1.5.3.b

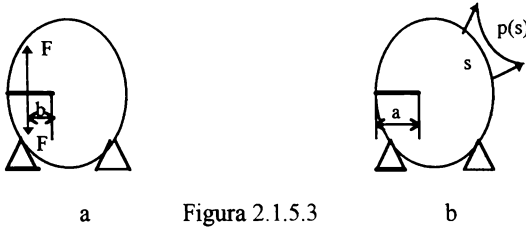


Figura 2.1.5.3

Pe baza teoremei reciprocității energiei de deformare se poate scrie:

$$F \cdot u_{12} = \int p(s) \cdot u_{21} ds \tag{2.1.5.10}$$

unde u_{12} reprezintă deplasarea în dreptul punctului de acționare al forței F , măsurată pe direcția lui F și produsă de încărcarea $p(s)$;

u_{21} reprezintă deplasarea produsă de F pe suprafața s .

Dacă încărcarea produsă de forțele F este simetrică față de axa fisurii, deplasarea flancurilor fisurii se face după **modul I**.

Factorul de intensitate al tensiunii produs de sarcina p , se va nota K_{I2} și acesta trebuie determinat.

Utilizând relația (2.1.3.4) din soluția Irwin, ce exprimă deplasarea în funcție de factorul de intensitate a tensiunii, înlocuind $r = b$ și $\theta = \pi$, rezultă:

$$u_{21}^I = 2 \cdot v \Big|_{r=b, \theta=\pi} = \frac{4\sqrt{2}}{E' \sqrt{\pi}} K_{I2} \sqrt{b} \tag{2.1.5.11}$$

Înlocuind relația (2.1.5.11) în (2.1.5.10) se obține:

$$K_{I2} = \frac{E' \sqrt{\pi}}{4\sqrt{2}} \frac{1}{F \sqrt{b}} \int p \cdot u_{21}^I ds \tag{2.1.5.12}$$

Dacă se consideră că punctele de aplicare ale forțelor F se apropie de vârful fisurii ($b \rightarrow 0$), produsul $F \sqrt{b}$ rămâne o valoare constantă. Astfel Buekner propune notația:

$$B_I = \frac{F \sqrt{b}}{\pi} \tag{2.1.5.13}$$

Cu această notație ecuația (2.1.5.12) se poate rescrie:

$$K_{I2} = \frac{E'}{4\sqrt{2} \pi B_I} \int p \cdot u_{21}^I ds \tag{2.1.5.14}$$

Deci funcția de pondere pentru **modul I** va fi:

$$h_I(a, s) = \frac{E' \cdot u_{21}^I(a, s)}{4\sqrt{2\pi} \cdot B_I} \tag{2.1.5.15}$$

Pentru a vedea avantajul introducerii lui B_I să comparăm rel. (2.1.5.13) cu funcția de tensiune Westergaard, pertinentă modului I de deplasare:

$$Z_{I1}(z) = \frac{F\sqrt{b}}{\pi(z+b)\sqrt{z}} \tag{2.1.5.16}$$

în care dacă se neglijează b în raport cu z (considerând corpul infinit) se obține:

$$Z_{I1}(z) = \frac{F\sqrt{b}}{z^{3/2}\pi} = \frac{B_I}{z^{3/2}} \tag{2.1.5.17}$$

Deci cu ajutorul lui B_I se poate descrie un câmp singular de ordinul $z^{-3/2}$ în vecinătatea vârfului fisurii. Acest câmp local singular este cunoscut în literatura de specialitate ca un câmp singular de tip Buekner, sau mai pe scurt o singularitate tip Buekner. Avantajul introducerii acestui tip de singularitate constă în aceea că în relațiile (2.1.5.14) și (2.1.5.15) deplasarea u_{21} , reprezintă deplasarea produsă de introducerea câmpului singular la vârful fisurii.

Analog se pot calcula factorii de intensitate a tensiunii pentru celelalte moduri de deplasare a flancurilor fisurii: **modul II** (Fig.2.1.5.4.a) și **modul III** (Fig.2.1.5.4.b).



a Figura 2.1.5.4. b

Pentru **modul II**:

$$K_{II2} = \frac{E'}{4\sqrt{2\pi} \cdot B_{II}} \int p(s) \cdot u_{21}^{II} ds \tag{2.1.5.18}$$

unde u_{21}^{II} este deplasarea produsă de câmpul singular B_{II} , exprimat cu ajutorul funcției Westergaard astfel:

$$Z_{II1}(z) = \frac{B_{II}}{z^{3/2}} \tag{2.1.5.19}$$

Astfel funcția de pondere în acest caz va fi:

$$h_{II}(a, s) = \frac{E' \cdot u_{21}''(a, s)}{4\sqrt{2\pi} \cdot B_{II}} \quad (2.1.5.20)$$

Pentru **modul III**:

$$K_{III2} = \frac{G}{2\sqrt{2\pi} \cdot B_{III}} \int p(s) \cdot u_{21}''' ds \quad (2.1.5.21)$$

unde **G** este modulul de elasticitate transversal iar u_{21}''' este deplasarea produsă de câmpul singular B_{III} , exprimat cu ajutorul funcției Westergaard astfel:

$$Z_{III1}(z) = \frac{B_{III}}{z^{3/2}} \quad (2.1.5.22)$$

Astfel funcția de pondere în acest caz va fi:

$$h_{III}(a, s) = \frac{E' \cdot u_{21}'''(a, s)}{2\sqrt{2\pi} \cdot B_{III}} \quad (2.1.5.23)$$

Deoarece în expresiile funcțiilor de pondere (2.1.5.15), (2.1.5.20) și (2.1.5.23), respectiv în cele ale factorilor de intensitate a tensiunii date de relațiile (2.1.5.14), (2.1.5.18) și (2.1.5.21) apar deplasările datorate introducerii câmpului singular de tip Buekner, este utilă exprimarea acestor deplasări în funcție de **B**. Astfel dacă funcția lui Westergaard are una din expresiile (2.1.5.17), (2.1.5.19) sau (2.1.5.22), în funcție de modul de deplasare a flancurilor fisurii, componentele deplasării exprimate în coordonate polare (r, θ) vor fi:

- pentru **modul I**:

$$\begin{aligned} u &= \frac{B_I}{G\sqrt{r}} \cos \frac{\theta}{2} \left(2\nu - 1 + \sin \frac{\theta}{2} \sin \frac{3\theta}{2} \right) \\ v &= \frac{B_I}{G\sqrt{r}} \sin \frac{\theta}{2} \left(2 - 2\nu + \cos \frac{\theta}{2} \cos \frac{3\theta}{2} \right) \\ w &= 0 \end{aligned} \quad (2.1.5.24)$$

- pentru **modul II**:

$$\begin{aligned} u &= \frac{B_{II}}{G\sqrt{r}} \sin \frac{\theta}{2} \left(2 - 2\nu + \cos \frac{\theta}{2} \cos \frac{3\theta}{2} \right) \\ v &= \frac{B_{II}}{G\sqrt{r}} \cos \frac{\theta}{2} \left(1 - 2\nu + \sin \frac{\theta}{2} \sin \frac{3\theta}{2} \right) \\ w &= 0 \end{aligned} \quad (2.1.5.25)$$

- pentru **Modul III**:

$$\begin{aligned} u &= 0 \\ v &= 0 \\ w &= \frac{2 \cdot B_{III}}{G\sqrt{r}} \sin \frac{\theta}{2} \end{aligned} \quad (2.1.5.26)$$

Relațiile (2.1.5.24) și (2.1.5.25) sunt scrise pentru starea plană de tensiune. Dacă se înlocuiește ν cu $\nu/(1+\nu)$ și $\mathbf{w} \neq \mathbf{0}$ ele devin valabile pentru starea plană de deformație.

În cazul corpurilor finite pentru determinarea funcțiilor de pondere se recomandă în [P4] alegerea funcției Westergaard sub forma:

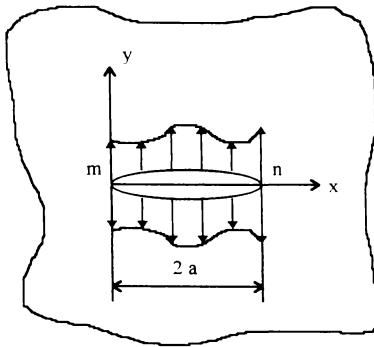
$$Z(z) = \frac{B_0 + B_1z + B_2z^2 + B_3z^3 + \dots}{z^{3/2}} \tag{2.1.5.27}$$

unde B_1, B_2, B_3, \dots sunt termeni adiționali care iau în seamă condițiile la limită.

Pentru determinarea funcțiilor de pondere în cazul unor geometrii mai complicate o serie de studii mai recente recomandă utilizarea "metodei elementelor finite" [B2].

Aplicații privind determinarea factorului de intensitate a tensiunii prin metoda funcțiilor de pondere

A). Stabilirea expresiei factorului de intensitate a tensiunii la vârfurile unei fisuri de lungime $2a$ aflată într-un corp infinit, încărcat cu o sarcină distribuită oarecare $p(x)$ ce acționează pe flancurile fisurii.



Pentru rezolvarea acestei probleme se pleacă de la soluția cunoscută pentru o placă infinită, având o fisură de lungime $2a$, sollicitată la infinit de tensiunea σ , Figura 2.1.5.5:

$$K_{I1} = \sigma \sqrt{\pi a}$$

Deplasarea de deschidere a fisurii pentru acest caz este:

$$u'_{21} = \pm \frac{2\sigma}{E'} \sqrt{x(2a-x)}$$

Figura 2.1.5.5

Pentru calculul funcției de pondere este necesar calculul derivatei:

$$\frac{\partial u'_{21}}{\partial(2a)} = \pm \frac{2\sigma}{E'} \sqrt{\frac{x}{2a-x}}$$

Înlocuind în relația (2.1.5.9) funcția de pondere capătă forma:

$$h(x) = \frac{E'}{2K_{I1}} \frac{\partial u'_{21}}{\partial(2a)} = \pm \frac{1}{\sqrt{\pi a}} \int_0^{2a} p(x) \cdot \sqrt{\frac{x}{2a-x}} dx \tag{2.1.5.28}$$

Deci factorul de intensitate a tensiunii pentru cele două vârfuri "m" și "n" ale fisurii va fi:

$$K_{Im}(x = 0) = \frac{1}{\sqrt{\pi a}} \int_0^{2a} p(x) \sqrt{\frac{2a-x}{x}} dx$$

$$K_{In}(x = 2a) = \frac{1}{\sqrt{\pi a}} \int_0^{2a} p(x) \sqrt{\frac{x}{2a-x}} dx$$
(2.1.5.29)

Dacă se introduce expresia încărcării $p(x)$ și se calculează integralele se obțin expresiile factorilor de intensitate a tensiunii K_{Im} și K_{In} .

Cazuri particulare

A.1). Încărcarea constantă pe fețele fisurii: $p(x) = p = \text{const.}$, Figura 2.1.5.6.

Pentru rezolvarea integralei s-a folosit schimbarea de variabilă: $t = \sqrt{x/(2a-x)}$ și descompunerea unei funcții raționale în funcții raționale simple. După efectuarea calculelor factorii de intensitate a tensiunii pentru cele două vârfuri ale fisurii devin:

$$K_{Im} = K_{In} = p\sqrt{\pi a}$$

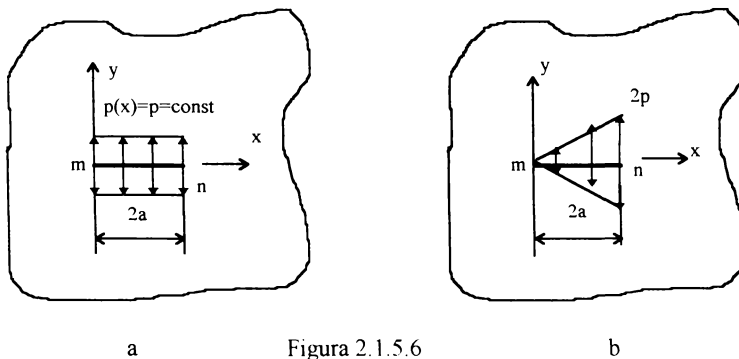


Figura 2.1.5.6

A.2). Încărcarea variază după o lege lineară pe flancurile fisurii între valorile 0 și $2p$: $p(x) = p(x/a)$, Figura 2.1.5.6.b. Factorii de intensitate ai tensiunii vor avea expresiile:

$$K_{Im} = \frac{1}{2} p \sqrt{\pi a}$$

$$K_{In} = \frac{3}{2} p \sqrt{\pi a}$$

Deoarece calculele analitice se complică pentru expresii ale funcției de încărcare $p(x)$ de ordin superior autorul a elaborat un program de calcul în MathCAD 5.0 care permite rezolvarea numerică a integralelor (2.1.5.28), calculând în același timp valorile funcțiilor de pondere și valorile factorilor de intensitate a tensiunii pentru cele două vârfuri ale fisurii. Datele de intrare în program sunt lungimea fisurii $2a$ și expresia încărcării $p(x)$. Programul permite trasarea grafică a distribuției încărcării.

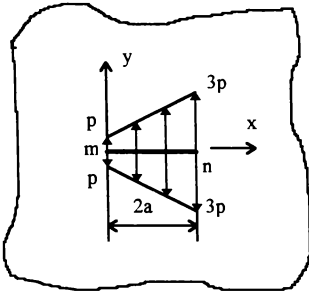
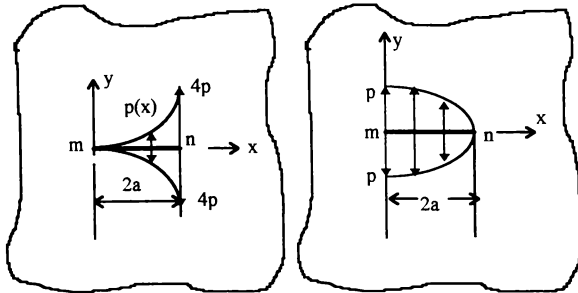


Figura 2.1.5.7



a

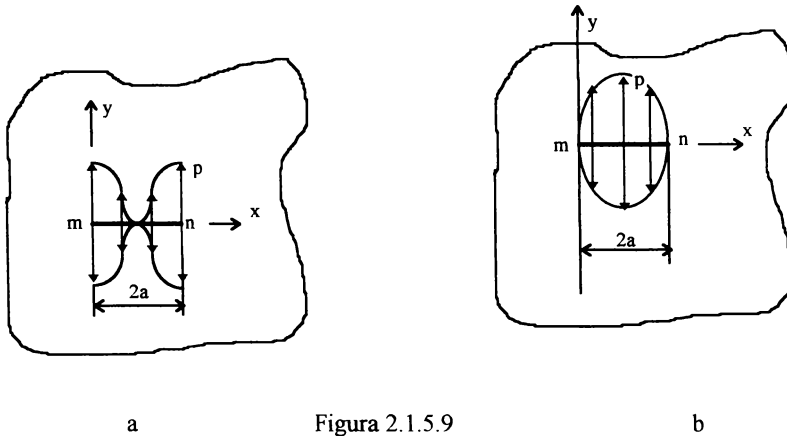
b

Figura 2.1.5.8.

Rezultatele rulării pentru câteva tipuri de încărcări sunt prezentate în Tabelul 2.1.5.1.

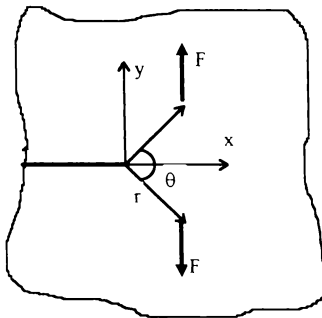
Tabelul 2.1.5.1

Tipul încărcării $p(x)$	Schița încărcării	Factorul de intensitate a tensiunii la vârful m al fisurii	Factorul de intensitate a tensiunii la vârful n al fisurii
1. <u>Sarcină constantă</u> $p(x) = p$	Figura 2.1.5.6.a	$K_{lm} = p\sqrt{\pi a}$	$K_{ln} = p\sqrt{\pi a}$
2. <u>Variație liniară</u> 2.1. $p(x) = p(x/a)$	Figura 2.1.5.6.b	$K_{lm} = \frac{1}{2} p\sqrt{\pi a}$	$K_{ln} = \frac{3}{2} p\sqrt{\pi a}$
2.2. $p(x) = p(1+x/a)$	Figura 2.1.5.7.	$K_{lm} = \frac{3}{2} p\sqrt{\pi a}$	$K_{ln} = \frac{5}{2} p\sqrt{\pi a}$
3. <u>Variație parabolică</u> 3.1. $p(x) = p(x/a)^2$	Figura 2.1.5.8.a	$K_{lm} = \frac{1}{2} p\sqrt{\pi a}$	$K_{ln} = \frac{5}{2} p\sqrt{\pi a}$
3.2. $p(x) = p[1-(x/2a)^2]$	Figura 2.1.5.8.b	$K_{lm} = \frac{7}{8} p\sqrt{\pi a}$	$K_{ln} = \frac{3}{8} p\sqrt{\pi a}$
4. <u>Variație după funcții trigonometrice</u> 4.1. $p(x) = p[1+\cos(\pi x/a)]$	Figura 2.1.5.9.a	$K_{lm} = 1,304 p\sqrt{\pi a}$	$K_{ln} = 1,304 p\sqrt{\pi a}$
4.2. $p(x) = p \sin(\pi x/2a)$	Figura 2.1.5.9.b	$K_{lm} = 0,472 p\sqrt{\pi a}$	$K_{ln} = 0,472 p\sqrt{\pi a}$



Se evidențiază că soluțiile obținute prin metoda funcțiilor de pondere pentru încărcarea constantă $p(x) = p$ și pentru variația liniară $p(x) = p(x/a)$ sunt aceleași cu soluțiile prezentate în [T1], dar obținute prin alte metode. Pentru celelalte tipuri de încărcare soluțiile prezentate în Tabelul 2.1.5.1 sunt originale.

B). Stabilirea expresiei factorului de intensitate a tensiunii la vârfurile unei fisuri semiinfinite aflată într-un corp infinit, încărcat cu două forțe concentrate F (pe unitatea de grosime), egale și opuse ca sens, Figura 2.1.5.10



Punctele de acționare a forțelor sunt date de coordonatele polare (r, θ) , în sistemul ales cu originea în vârful fisurii.

Pentru rezolvarea acestei probleme am considerat la vârful fisurii o singularitate tip Buekner B_1 , relația (2.1.5.17), valabilă pentru orice

$$z = r(\cos \theta + i \sin \theta).$$

Factorul de intensitate a tensiunii este dat de relația (2.1.5.14). Deoarece axa x este axă de simetrie iar deplasarea flancurilor fisurii se face după Modul I, integrala din relația (2.1.5.14) se poate scrie:

Figura 2.1.5.10

$$\int p(s) \cdot u_{21}^I ds = 2F \cdot v_{21}^I$$

unde v_{21}^I reprezintă deplasarea după axa y a flancurilor fisurii. Conform soluției Westergaard aceasta este:

$$2Gv_{21}^I = 2(1 - \nu) \text{Im} \overline{Z_{11}} - y \text{Re} Z_{11}$$

unde funcția lui Westergaard este dată de rel. (2.1.5.17):

$$Z_{11}(z) = \frac{B_1}{z^{3/2}} \Rightarrow \overline{Z_{11}}(z) = -\frac{2B_1}{z^{1/2}} \tag{2.1.5.30}$$

Dacă se introduce expresia lui z în coordonatele (r, θ) rezultă:

$$\begin{aligned} y &= r \sin \theta \\ \operatorname{Re} Z_{11}(z) &= \frac{B_1}{r^{3/2}} \cos \frac{3\theta}{2} \\ \operatorname{Im} \overline{Z_{11}}(z) &= \frac{2B_1}{r^{1/2}} \sin \frac{\theta}{2} \end{aligned} \tag{2.1.5.31}$$

și deci:

$$v_{21}^I = \frac{B_1}{G\sqrt{r}} \sin \frac{\theta}{2} \left[2(1 - \nu) - \cos \frac{\theta}{2} \cos \frac{3\theta}{2} \right] \tag{2.1.5.32}$$

Înlocuind această relație în expresia factorului de intensitate a tensiunii (2.1.5.14) se obține:

$$K_I = \frac{F}{(1 - \nu)\sqrt{2\pi r}} \sin \frac{\theta}{2} \left[2(1 - \nu) - \cos \frac{\theta}{2} \cos \frac{3\theta}{2} \right] \tag{2.1.5.33}$$

În Figura 2.1.5.11 s-a reprezentat variația funcției adimensionale:

$$f(\theta, \nu) = \sin \frac{\theta}{2} \left[2(1 - \nu) - \cos \frac{\theta}{2} \cos \frac{3\theta}{2} \right] \frac{1}{1 - \nu} \tag{2.1.5.34}$$

care intervine în expresia factorului de intensitate a tensiunii K_I , considerând $\nu = 0,3$.

Pe baza celor de mai sus în Figura 2.1.5.12 s-a trasat variația factorului de intensitate a tensiunii K_I în funcție de unghiul θ pentru diferite valori ale razei polare $r = 1, 5, 10, 15, 20$ mm, considerând $\nu = 0,3$ și $F=1000$ N/mm

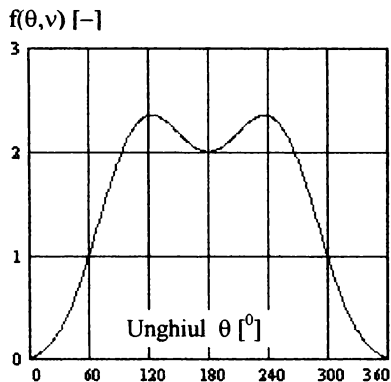


Figura 2.1.5.11

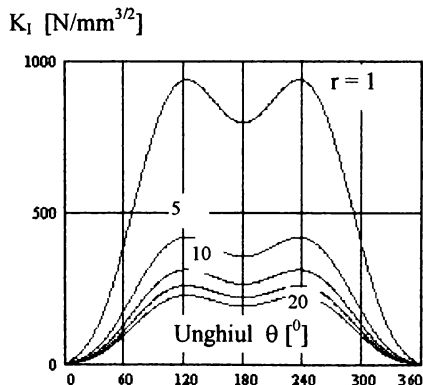


Figura 2.1.5.12

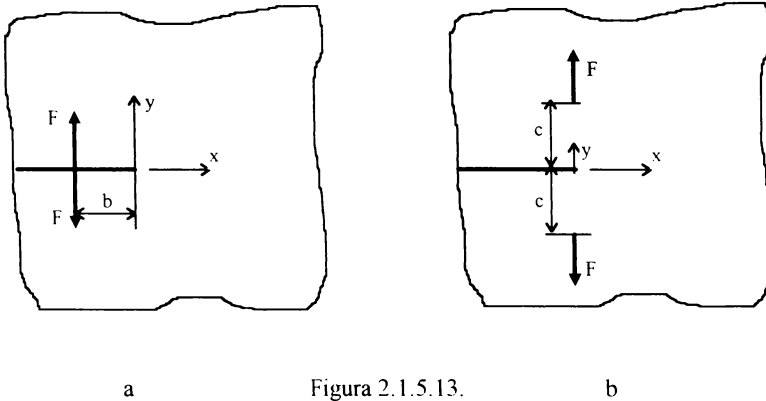
Cazuri particulare

B.1). Forțele **F** acționează pe flancurile fisurii la distanța **b** de vârful fisurii, Figura 2.1.5.13.a. Pentru $r = b$ și $\theta = \pi$, rezultă :

$$K_I = \frac{2 F}{\sqrt{2 \pi b}} \tag{2.1.5.35}$$

B.2). Forțele **F** acționează la o distanță **c** pe axa **y** ce trece prin vârful fisurii, Figura 2.1.5.13.b. Pentru $r = c$ și $\theta = \pi/2$, rezultă :

$$K_I = \frac{F}{\sqrt{\pi c}} \frac{5 - 4 \nu}{4(1 - \nu)} \tag{2.1.5.36}$$



Studiul efectuat de autor a dovedit că soluția corespunzătoare cazului **B.1.**, relația (2.1.5.35), este identică cu cea prezentată în [T1] și obținută cu ajutorul funcției de tensiune Westergaard. Soluția obținută în cazul **B.2.**, relația (2.1.5.36), reprezintă o contribuție a autorului.

Relația (2.1.5.33) permite estimarea factorului de intensitate a tensiunii **K_I** la elemente de rezistență de tipul plăcilor de dimensiuni mari, solicitate de forțe concentrate, la care apare o fisură laterală de dimensiuni mult mai mici decât dimensiunile plăcii.

În acest paragraf s-a prezentat modul de aplicare a metodei "funcțiilor de pondere" pentru determinarea factorilor de intensitate a tensiunii. Astfel dacă pentru un corp fisurat se cunoaște, pentru o anumită încărcare, expresia factorului de intensitate a tensiunii, câmpul de tensiune și deplasările, cu ajutorul funcțiilor de pondere se poate obține factorul de intensitate a tensiunii, câmpul de tensiune și deplasările pentru orice altă încărcare.

Prin metodologia utilizării "funcțiilor de pondere", reformulată de autor pentru aplicațiile de corpuri cu fisuri, s-au tratat două cazuri de corpuri cu fisuri, obținându-se soluții originale ale factorului de intensitate a tensiunii pentru cazurile particulare studiate.

2.1.6 DETERMINAREA CÂMPULUI DE TENSIUNE ÎN VECINĂTATEA UNEI CRESTĂTURI ÎNGUSTE TERMINATĂ CU UN ORIFICIU CIRCULAR

Autorul și-a propus în acest paragraf să determine câmpul de tensiune din vecinătatea unei creștături înguste terminată cu un orificiu circular pornind de la funcția de tensiune a lui Airy și utilizând exprimarea în coordonate polare a componentelor tensiunii.

Este cunoscută exprimarea cîmpului de tensiune în vecinătatea unei fisuri în coordonate polare (r, θ) dată de reprezentarea lui Irwin (Figura.2.1.6.1) pentru starea plană și o încărcare plană, relația (2.1.3.7):

$$\begin{aligned} \sigma_r &= \frac{K_I}{4\sqrt{2\pi r}} \left(5 \cos \frac{\theta}{2} - \cos \frac{3\theta}{2} \right) - \frac{K_{II}}{4\sqrt{2\pi r}} \left(5 \sin \frac{\theta}{2} - 3 \sin \frac{3\theta}{2} \right) \\ \sigma_\theta &= \frac{K_I}{4\sqrt{2\pi r}} \left(3 \cos \frac{\theta}{2} + \cos \frac{3\theta}{2} \right) - \frac{K_{II}}{4\sqrt{2\pi r}} \left(3 \sin \frac{\theta}{2} + 3 \sin \frac{3\theta}{2} \right) \\ \tau_{r\theta} &= \frac{K_I}{4\sqrt{2\pi r}} \left(\sin \frac{\theta}{2} + \sin \frac{3\theta}{2} \right) + \frac{K_{II}}{4\sqrt{2\pi r}} \left(\cos \frac{\theta}{2} + 3 \cos \frac{3\theta}{2} \right) \end{aligned} \quad (2.1.6.1)$$

unde K_I, K_{II} reprezintă factorul de intensitate al tensiunii după **modul I** de deplasare a flancurilor fisurii respectiv **modul II**.

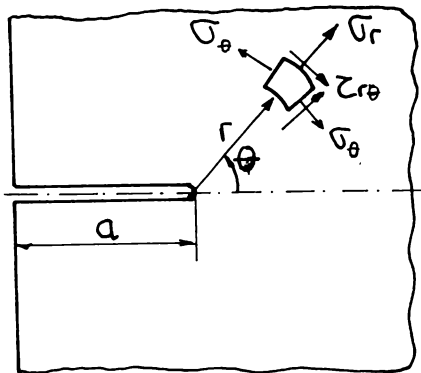


Figura 2.1.6.1

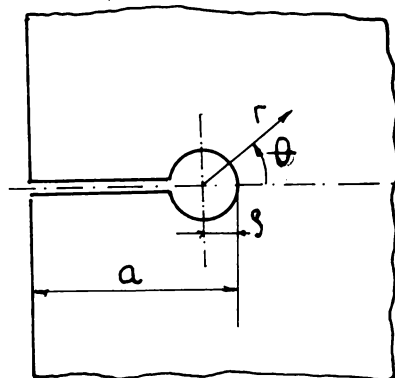


Figura 2.1.6.2

Pentru a determina cîmpul de tensiune din vecinătatea unei creștături înguste, care se termină cu un orificiu circular, de rază ρ (Fig.2.1.6.2) se folosește funcția lui Airy.

Expresia funcției de tensiune a lui Airy pentru cazul încărcării plane este dată de Neuber în [N2], sub forma:

$$\mathcal{A} = (C_1 r^{\frac{3}{2}} + C_2 r^{\frac{1}{2}} + C_3 r^{-\frac{1}{2}}) \cos \frac{\theta}{2} + (C_4 r^{\frac{3}{2}} + C_5 r^{\frac{1}{2}} + C_6 r^{-\frac{3}{2}}) \cos \frac{3\theta}{2} + (D_1 r^{\frac{3}{2}} + D_2 r^{\frac{1}{2}} + D_3 r^{-\frac{1}{2}}) \sin \frac{\theta}{2} + (D_4 r^{\frac{3}{2}} + D_5 r^{\frac{1}{2}} + D_6 r^{-\frac{3}{2}}) \sin \frac{3\theta}{2} \quad (2.1.6.2)$$

Componentele tensiunii, în coordonate polare, se pot calcula cu relațiile:

$$\sigma_r = \frac{1}{r^2} \frac{\partial^2 \mathcal{A}}{\partial \theta^2} + \frac{1}{r} \frac{\partial \mathcal{A}}{\partial \theta} \quad ; \quad \sigma_\theta = \frac{\partial^2 \mathcal{A}}{\partial r^2}$$

$$\tau_{r\theta} = -\frac{1}{r} \frac{\partial^2 \mathcal{A}}{\partial r \partial \theta} + \frac{1}{r^2} \frac{\partial \mathcal{A}}{\partial \theta} \quad (2.1.6.3)$$

Pentru **modul I** de deplasare a flancurilor creștăturii din funcția lui Airy considerând doar termenii simetrici ai relației (2.1.6.2), rezultă:

$$\mathcal{A}_1 = (C_1 r^{\frac{3}{2}} + C_2 r^{\frac{1}{2}} + C_3 r^{-\frac{1}{2}}) \cos \frac{\theta}{2} + (C_4 r^{\frac{3}{2}} + C_5 r^{\frac{1}{2}} + C_6 r^{-\frac{3}{2}}) \cos \frac{3\theta}{2} \quad (2.1.6.4)$$

Derivatele funcției lui Airy în raport cu componentele sistemului polar de coordonate sunt:

$$\frac{\partial \mathcal{A}_1}{\partial r} = \left(\frac{3}{2} C_1 r^{\frac{1}{2}} + \frac{1}{2} C_2 r^{-\frac{1}{2}} - \frac{1}{2} C_3 r^{-\frac{3}{2}} \right) \cos \frac{\theta}{2} + \left(\frac{3}{2} C_4 r^{\frac{1}{2}} + \frac{1}{2} C_5 r^{-\frac{1}{2}} - \frac{3}{2} C_6 r^{-\frac{5}{2}} \right) \cos \frac{3\theta}{2}$$

$$\frac{\partial \mathcal{A}_1}{\partial \theta} = -\frac{1}{2} \left(C_1 r^{\frac{3}{2}} + C_2 r^{\frac{1}{2}} + C_3 r^{-\frac{1}{2}} \right) \sin \frac{\theta}{2} - \frac{3}{2} \left(C_4 r^{\frac{3}{2}} + C_5 r^{\frac{1}{2}} + C_6 r^{-\frac{3}{2}} \right) \sin \frac{3\theta}{2}$$

iar derivatele de ordinul doi vor fi:

$$\frac{\partial^2 \mathcal{A}_1}{\partial r^2} = \left(\frac{3}{4} C_1 r^{-\frac{1}{2}} - \frac{1}{4} C_2 r^{-\frac{3}{2}} + \frac{3}{4} C_3 r^{-\frac{5}{2}} \right) \cos \frac{\theta}{2} + \left(\frac{3}{4} C_4 r^{-\frac{1}{2}} - \frac{1}{4} C_5 r^{-\frac{3}{2}} + \frac{15}{4} C_6 r^{-\frac{7}{2}} \right) \cos \frac{3\theta}{2}$$

$$\frac{\partial^2 \mathcal{A}_1}{\partial \theta^2} = -\frac{1}{4} \left(C_1 r^{\frac{3}{2}} + C_2 r^{\frac{1}{2}} + C_3 r^{-\frac{1}{2}} \right) \cos \frac{\theta}{2} - \frac{9}{4} \left(C_4 r^{\frac{3}{2}} + C_5 r^{\frac{1}{2}} + C_6 r^{-\frac{3}{2}} \right) \cos \frac{3\theta}{2}$$

$$\frac{\partial^2 \mathcal{A}_1}{\partial r \partial \theta} = -\frac{1}{2} \left(\frac{3}{2} C_1 r^{\frac{1}{2}} + \frac{1}{2} C_2 r^{-\frac{1}{2}} - \frac{1}{2} C_3 r^{-\frac{3}{2}} \right) \sin \frac{\theta}{2} - \frac{3}{2} \left(\frac{3}{2} C_4 r^{\frac{1}{2}} + \frac{1}{2} C_5 r^{-\frac{1}{2}} - \frac{3}{2} C_6 r^{-\frac{5}{2}} \right) \sin \frac{3\theta}{2}$$

Înlocuind expresiile derivatelor funcției de tensiune \mathcal{A}_1 în relațiile (2.1.6.3) se obține:

$$\begin{aligned}
\sigma_r &= \left(\frac{5}{4} C_1 r^{-\frac{1}{2}} + \frac{1}{4} C_2 r^{-\frac{3}{2}} - \frac{3}{4} C_3 r^{-\frac{5}{2}} \right) \cos \frac{\theta}{2} + \left(-\frac{3}{4} C_4 r^{-\frac{1}{2}} - \frac{7}{4} C_5 r^{-\frac{3}{2}} - \frac{15}{4} C_6 r^{-\frac{7}{2}} \right) \cos \frac{3\theta}{2} \\
\sigma_\theta &= \left(\frac{3}{4} C_1 r^{-\frac{1}{2}} - \frac{1}{4} C_2 r^{-\frac{3}{2}} + \frac{3}{4} C_3 r^{-\frac{5}{2}} \right) \cos \frac{\theta}{2} + \left(\frac{3}{4} C_4 r^{-\frac{1}{2}} - \frac{1}{4} C_5 r^{-\frac{3}{2}} + \frac{15}{4} C_6 r^{-\frac{7}{2}} \right) \cos \frac{3\theta}{2} \\
\tau_{r\theta} &= \left(\frac{1}{4} C_1 r^{-\frac{1}{2}} - \frac{1}{4} C_2 r^{-\frac{3}{2}} - \frac{3}{4} C_3 r^{-\frac{5}{2}} \right) \sin \frac{\theta}{2} + \left(\frac{3}{4} C_4 r^{-\frac{1}{2}} - \frac{3}{4} C_5 r^{-\frac{3}{2}} - \frac{15}{4} C_6 r^{-\frac{7}{2}} \right) \sin \frac{3\theta}{2}
\end{aligned} \quad (2.1.6.5)$$

Pentru a determina constantele C_i , trebuie puse condițiile la limită. Astfel pe suprafața orificiului circular: $\sigma_r|_{r=\rho} = 0$; $\tau_{r\theta}|_{r=\rho} = 0$ (2.1.6.6)

care conduce la:

$$\begin{aligned}
C_2 &= -C_1 \rho & C_3 &= C_1 \rho^2 \\
C_5 &= -\frac{3}{2} C_4 \rho & C_6 &= \frac{1}{2} C_4 \rho^3
\end{aligned} \quad (2.1.6.7)$$

Condițiile la limită de-a lungul creștăturii necesită ca σ_θ și $\tau_{r\theta}$ să se anuleze pentru $\theta = \pm\pi$

$$\sigma_\theta|_{\theta=\pm\pi} = 0 ; \quad \tau_{r\theta}|_{\theta=\pm\pi} = 0 \quad (2.1.6.8)$$

Aceste condiții sunt satisfăcute pentru σ_θ , dar pentru $\tau_{r\theta}$ acestea nu sunt pe deplin satisfăcute. Pentru a avea certitudinea că pe cea mai mare parte de-a lungul fisurii tensiunea tangențială $\tau_{r\theta}$ este nulă, se consideră cazul limită $\rho/r \rightarrow 0$ obținându-se soluția fisurii ascuțite. Astfel comparând cu relațiile (2.1.6.1) se obține:

$$C_1 = 3C_4 \frac{K_I}{\sqrt{2\pi}} \quad (2.1.6.9)$$

Înlocuind valorile constantelor C_i date de relațiile (2.1.6.7) și (2.1.6.9) în expresiile componentelor câmpului de tensiune din vecinătatea creștăturii cu orificiu circular (2.1.6.5) rezultă expresiile:

$$\begin{aligned}
\sigma_r &= \frac{K_I}{4\sqrt{2\pi r}} \left\{ \left[5 - 2\frac{\rho}{r} - 3\left(\frac{\rho}{r}\right)^2 \right] \cos \frac{\theta}{2} - \left[1 - \frac{7}{2}\frac{\rho}{r} + \frac{5}{2}\left(\frac{\rho}{r}\right)^3 \right] \cos \frac{3\theta}{2} \right\} \\
\sigma_\theta &= \frac{K_I}{4\sqrt{2\pi r}} \left\{ \left[3 + 2\frac{\rho}{r} + 3\left(\frac{\rho}{r}\right)^2 \right] \cos \frac{\theta}{2} + \left[1 + \frac{1}{2}\frac{\rho}{r} + \frac{5}{2}\left(\frac{\rho}{r}\right)^3 \right] \cos \frac{3\theta}{2} \right\} \\
\tau_{r\theta} &= \frac{K_I}{4\sqrt{2\pi r}} \left\{ \left[1 + 2\frac{\rho}{r} - 3\left(\frac{\rho}{r}\right)^2 \right] \sin \frac{\theta}{2} + \left[1 + \frac{3}{2}\frac{\rho}{r} - \frac{5}{2}\left(\frac{\rho}{r}\right)^3 \right] \sin \frac{3\theta}{2} \right\}
\end{aligned} \quad (2.1.6.10)$$

Variațiile componentelor câmpului de tensiune în jurul creștăturii terminată cu orificiu circular de rază ρ , sunt prezentate în Figurile 2.1.6.3, 2.1.6.4 și 2.1.6.5. S-a reprezentat cu ajutorul

unui program scris în MathCAD 5.0, variația raportului $\frac{\sigma_r 4\sqrt{2\pi r}}{K_I} = f(\theta; \frac{\rho}{r})$ în Figura 2.1.6.3;

$\frac{\sigma_\theta 4\sqrt{2\pi r}}{K_I} = f(\theta; \frac{\rho}{r})$ în Figura 2.1.6.4 și $\frac{\tau_{r\theta} 4\sqrt{2\pi r}}{K_I} = f(\theta; \frac{\rho}{r})$ în Figura 2.1.6.5.

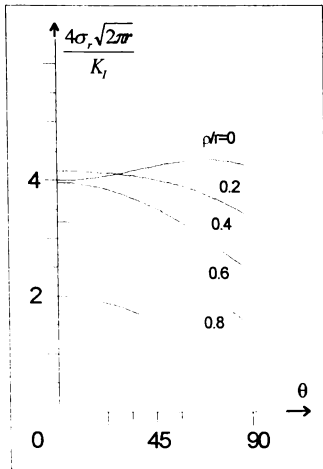


Figura 2.1.6.3

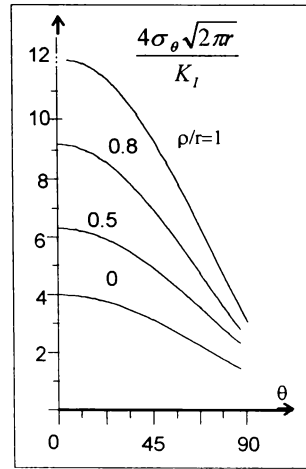


Figura 2.1.6.4

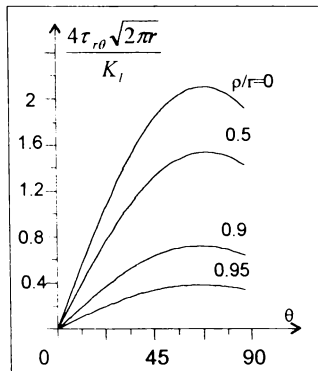


Figura 2.1.6.5

Pentru **modul II** se consideră termenii asimetrici din relația (2.1.6.2):

$$\mathcal{A}_{II} = (D_1 r^{\frac{3}{2}} + D_2 r^{\frac{1}{2}} + D_3 r^{-\frac{1}{2}}) \sin \frac{\theta}{2} + (D_4 r^{\frac{3}{2}} + D_5 r^{\frac{1}{2}} + D_6 r^{-\frac{3}{2}}) \sin \frac{3\theta}{2} \quad (2.1.6.11)$$

Condițiile la limită pentru determinarea constantelor D_i sînt și în acest caz:
 - pentru suprafața orificiului circular:

$$\sigma_r|_{r=\rho} = 0 \quad \text{și} \quad \tau_{r\theta}|_{r=\rho} = 0$$

rezultă: (2.1.6.12)

$$D_2 = -2 D_1 \rho; \quad D_3 = D_1 \rho^2; \quad D_5 = -\frac{3}{2} D_4 \rho; \quad D_6 = \frac{1}{2} D_4 \rho^2$$

- de-a lungul creștăturii:

$$\tau_{r\theta}|_{\theta=+\pi} = 0 \quad \text{și} \quad \sigma_{\theta}|_{\theta=+\pi} = 0 \quad (2.1.6.13)$$

A doua condiție fiind doar uneori satisfăcută, se consideră și de această dată cazul limită $\rho/r \rightarrow 0$, se obține cazul fisurii ascuțite; comparând cu relația (2.1.6.1) rezultă:

$$D_1 = D_4 = -\frac{K_{II}}{\sqrt{2\pi}} \quad (2.1.6.14)$$

Astfel componentele câmpului de tensiune pentru modul II de deplasare vor fi:

$$\begin{aligned} \sigma_r &= -\frac{K_{II}}{4\sqrt{2\pi r}} \left\{ \left[5 - 2\frac{\rho}{r} - 3\left(\frac{\rho}{r}\right)^2 \right] \sin \frac{\theta}{2} - \left[3 - \frac{21}{2}\frac{\rho}{r} + \frac{15}{2}\left(\frac{\rho}{r}\right)^3 \right] \sin \frac{3\theta}{2} \right\} \\ \sigma_{\theta} &= -\frac{K_{II}}{4\sqrt{2\pi r}} \left\{ \left[3 + 2\frac{\rho}{r} + 3\left(\frac{\rho}{r}\right)^2 \right] \sin \frac{\theta}{2} - \left[3 + \frac{3}{2}\frac{\rho}{r} + \frac{15}{2}\left(\frac{\rho}{r}\right)^3 \right] \sin \frac{3\theta}{2} \right\} \\ \tau_{r\theta} &= \frac{K_{II}}{4\sqrt{2\pi r}} \left\{ \left[1 + 2\frac{\rho}{r} - 3\left(\frac{\rho}{r}\right)^2 \right] \cos \frac{\theta}{2} - \left[3 + \frac{9}{2}\frac{\rho}{r} - \frac{15}{2}\left(\frac{\rho}{r}\right)^3 \right] \cos \frac{3\theta}{2} \right\} \end{aligned} \quad (2.1.6.15)$$

Luând în considerare și **modul II**, cu ajutorul unui program scris în MathCAD, s-a studiat variația componentelor câmpului de tensiune din vecinătatea orificiului circular de rază ρ , prin

intermediul rapoartelor $\frac{\sigma_r \sqrt{2\pi r}}{K_{II}} = f(\theta; \frac{\rho}{r})$ (Figura 2.1.6.6); $\frac{\sigma_{\theta} \sqrt{2\pi r}}{K_{II}} = f(\theta; \frac{\rho}{r})$ (Figura

2.1.6.7) și $\frac{\tau_{r\theta} \sqrt{2\pi r}}{K_{II}} = f(\theta; \frac{\rho}{r})$ (Figura 2.1.6.8).

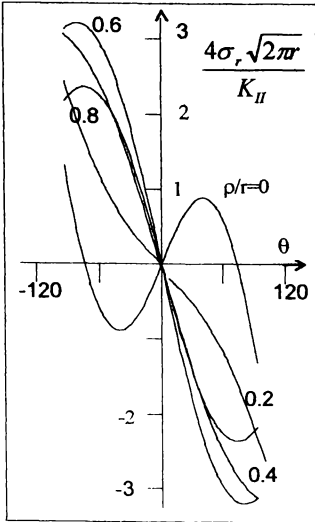


Figura 2.1.6.6

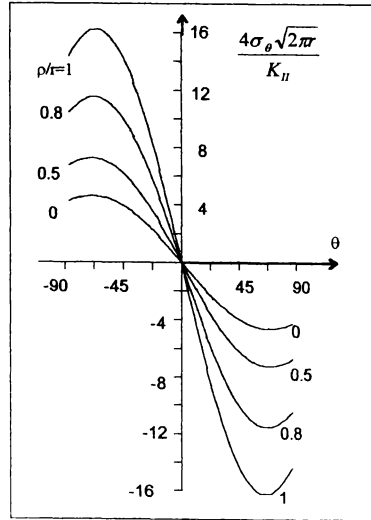


Figura 2.1.6.7

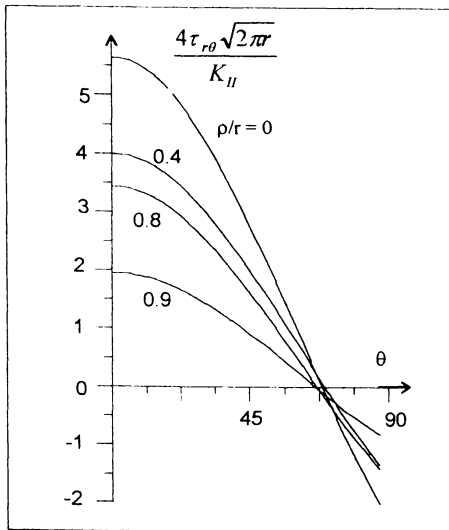


Figura 2.1.6.8

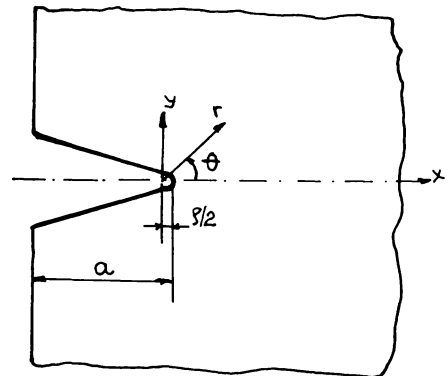


Figura 2.1.6.9

Suprapunând soluțiile (2.1.6.10) și (2.1.6.15) se poate analiza câmpul de tensiune în vecinătatea unei creștături terminate cu un orificiu circular pentru modul mixt (I și II) de deplasare a flancurilor fisurii.

Relațiile (2.1.6.10) și (2.1.6.15) reprezintă contribuții ale autorului, care diferă de soluția Irwin, relațiile (2.1.6.1), prin faptul că țin cont de raza orificiului circular de la vârful creștăturii ρ . Astfel pentru ambele moduri de încărcare s-au trasat diagramele de variație ale componentelor tensiunilor σ_r , σ_θ , $\tau_{r\theta}$ (Figurile 2.1.6.3 - 2.1.6.8) în funcție de raportul ρ/r și de unghiul θ și s-au determinat valorile maxime pentru fiecare componentă a câmpului de tensiune. Pentru aceasta s-a folosit un pas de 0.001 pentru raportul ρ/r și un pas de 1° pentru unghiul θ , folosind un calculator personal tip IBM PC AT 486.

Valorile maxime ale componentelor tensiunii pentru ambele moduri de încărcare sînt următoarele:

- pentru **modul I** :

$$\begin{aligned} \sigma_{r,\max} &= \sigma_r(\theta = 70,47^\circ, \rho/r = 0) = 4,35 \frac{K_I}{4\sqrt{2\pi r}} \\ \sigma_{\theta,\max} &= \sigma_\theta(\theta = 0, \rho/r = 1) = 12 \frac{K_I}{4\sqrt{2\pi r}} \\ \tau_{r\theta,\max} &= \tau_{r\theta}(\theta = 69,9^\circ, \rho/r = 1) = 2,148 \frac{K_I}{4\sqrt{2\pi r}} \end{aligned} \tag{2.1.6.16}$$

- pentru **modul II** :

$$\begin{aligned} \sigma_{r,\max} &= \sigma_r(\theta = -80^\circ, \rho/r = 0,539) = 3,247 \frac{K_{II}}{4\sqrt{2\pi r}} \\ \sigma_{\theta,\max} &= \sigma_\theta(\theta = -67,08^\circ, \rho/r = 1) = 16,215 \frac{K_{II}}{4\sqrt{2\pi r}} \\ \tau_{r\theta,\max} &= \tau_{r\theta}(\theta = 0^\circ, \rho/r = 0,42) = 5,645 \frac{K_{II}}{4\sqrt{2\pi r}} \end{aligned} \tag{2.1.6.17}$$

Se observă că pentru ambele moduri, tensiunea maximă este σ_θ iar valorile obținute diferă considerabil de valorile tensiunilor date de reprezentarea Irwin. De aceea pentru cazurile creștăturilor terminate cu orificiu circular se recomandă folosirea ecuațiilor (2.1.6.10) și (2.1.6.15), pentru studiul cîmpului de tensiune.

Câmpul de tensiune de la vârful unei creștături cu vârful rotunjit cu raza ρ , Figura 2.1.6.9, dat de Creager pentru modul I și II [K7] este:

- pentru **modul I**

$$\begin{aligned} \sigma_r &= \frac{K_I}{4\sqrt{2\pi r}} \left[\left(5 - 2 \frac{\rho}{r} \right) \cos \frac{\theta}{2} - \cos \frac{3\theta}{2} \right] \\ \sigma_\theta &= \frac{K_I}{4\sqrt{2\pi r}} \left[\left(3 + 2 \frac{\rho}{r} \right) \cos \frac{\theta}{2} + \cos \frac{3\theta}{2} \right] \\ \tau_{r\theta} &= \frac{K_I}{4\sqrt{2\pi r}} \left[\left(1 + 2 \frac{\rho}{r} \right) \sin \frac{\theta}{2} + \sin \frac{3\theta}{2} \right] \end{aligned} \tag{2.1.6.18}$$

- pentru modul II:

$$\begin{aligned} \sigma_r &= \frac{K_{II}}{4\sqrt{2\pi r}} \left[\left(5 + 2\frac{\rho}{r} \right) \sin\frac{\theta}{2} - 3\sin\frac{3\theta}{2} \right] \\ \sigma_\theta &= \frac{K_{II}}{4\sqrt{2\pi r}} \left[\left(3 - 2\frac{\rho}{r} \right) \sin\frac{\theta}{2} + 3\sin\frac{3\theta}{2} \right] \\ \tau_{r\theta} &= \frac{K_{II}}{4\sqrt{2\pi r}} \left[\left(1 - 2\frac{\rho}{r} \right) \cos\frac{\theta}{2} + 3\cos\frac{3\theta}{2} \right] \end{aligned} \quad (2.1.6.19)$$

Pe baza acestor relații s-au reprezentat comparativ variația componentelor câmpului de tensiune $\frac{4\sigma_r\sqrt{2\pi r}}{K_I}$, $\frac{4\sigma_\theta\sqrt{2\pi r}}{K_I}$, $\frac{4\tau_{r\theta}\sqrt{2\pi r}}{K_I}$ date de soluția Irwin (2.1.6.1), de soluția Creager (2.1.6.18), (2.1.6.19), respectiv de soluția obținută de autor pentru creștătură terminată cu orificiu circular, relațiile (2.1.6.10) - pentru modul I, respectiv (2.1.6.15) - pentru modul II, considerând diferite rapoarte ρ/r . Reprezentările s-au realizat pe calculator, cu ajutorul utilitarului matematic MathCAD 5.0.

Pentru modul I am reprezentat $\frac{4\sigma_r\sqrt{2\pi r}}{K_I}$ în funcție de unghiul θ , în Figura 2.1.6.10 pentru $\rho/r = 0$; în Figura 2.1.6.11 pentru $\rho/r = 0,3$; în Figura 2.1.6.12 pentru $\rho/r = 0,6$ respectiv în Figura 2.1.6.13 pentru $\rho/r = 0,9$.

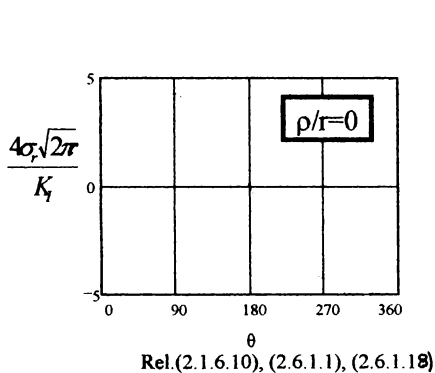


Figura 2.1.6.10

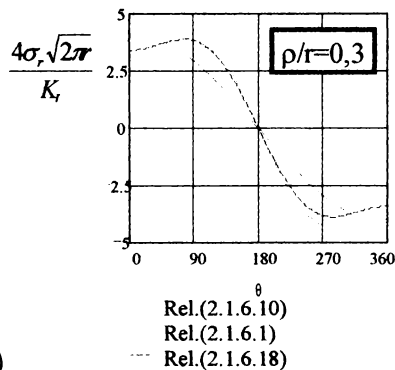


Figura 2.1.6.11

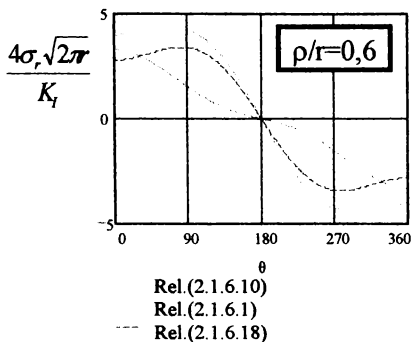


Figura 2.1.6.12

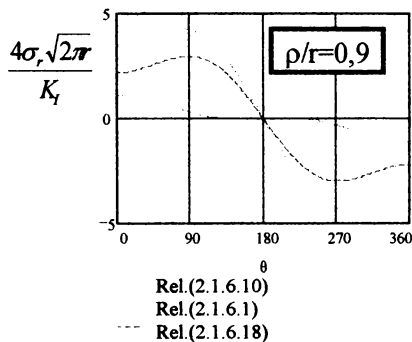


Figura 2.1.6.13

Din Figura 2.1.6.10 se observă că pentru $\rho/r = 0$ (adică cazul fisurii ascuțite) soluțiile Creager și cea determinată de autor se suprapun peste soluția Irwin. Prin aceasta se confirmă justetea soluției propuse, relația (2.1.6.10).

În Figura 2.1.6.11 ($\rho/r = 0,3$), se observă că pentru unghiul θ cuprins între 0 și 19° valoarea tensiunii σ_r este mai mare pentru expresia dată de relația (2.1.6.10) decât cea dată de soluția Irwin.

În Figurile 2.1.6.12 și 2.1.6.13 se observă că pentru orice valoare a unghiului θ raportul $\frac{4\sigma_r \sqrt{2\pi r}}{K_I}$ are valori mai mari pentru cazul fisurii ascuțite, relația (2.1.6.1) față de soluția determinată (2.1.6.10).

În Figurile 2.1.6.14 - 2.1.6.17 s-a reprezentat variația raportului $\frac{4\sigma_\theta \sqrt{2\pi r}}{K_I}$ în funcție de unghiul θ pentru diferite rapoarte ρ/r .

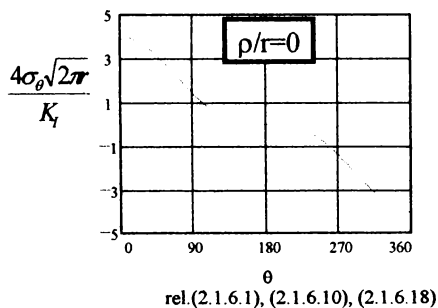


Figura 2.1.6.14

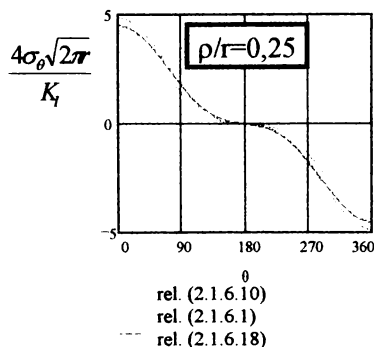
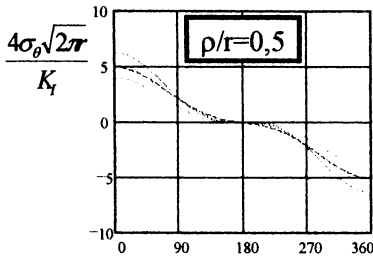
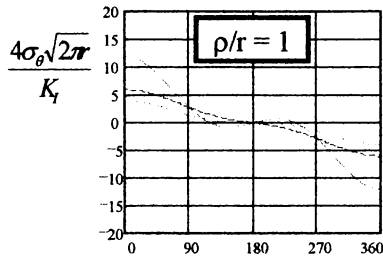


Figura 2.1.6.15



θ
rel. (2.1.6.10)
rel. (2.1.6.1)
--- rel. (2.1.6.18)

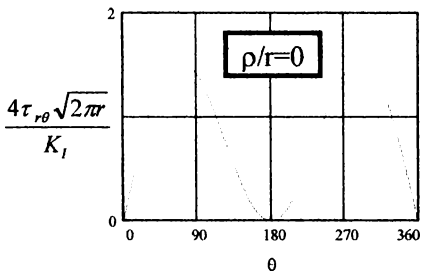
Figura 2.1.6.16



θ
rel. (2.1.6.10)
rel. (2.1.6.1)
--- rel. (2.1.6.18)

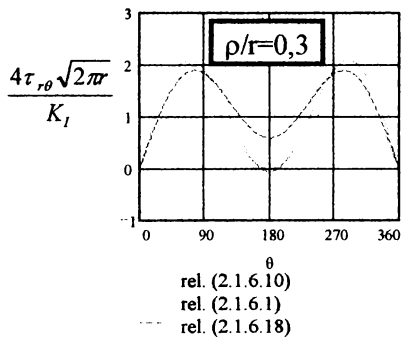
Figura 2.1.6.17

În Figurile 2.1.6.18 - 2.1.6.21 s-a reprezentat variația raportului $\frac{4\tau_{r\theta}\sqrt{2\pi r}}{K_I}$ în funcție de unghiul θ pentru diferite rapoarte ρ/r .



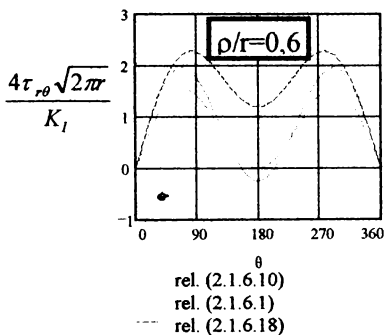
θ
rel. (2.1.6.10), (2.1.6.1), (2.1.6.18)

Figura 2.1.6.18



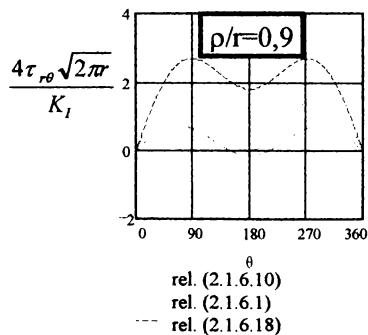
θ
rel. (2.1.6.10)
rel. (2.1.6.1)
--- rel. (2.1.6.18)

Figura 2.1.6.19



θ
rel. (2.1.6.10)
rel. (2.1.6.1)
--- rel. (2.1.6.18)

Figura 2.1.6.20



θ
rel. (2.1.6.10)
rel. (2.1.6.1)
--- rel. (2.1.6.18)

Figura 2.1.6.21

Analog pentru modul II de deplasare se prezintă în Figurile 2.1.6.22 - 2.1.6.25 variația raportului $\frac{4\sigma_r\sqrt{2\pi r}}{K_{II}}$ dată de soluția determinată, rel. (2.1.6.15); de soluția Irwin, rel. (2.1.6.1) și de soluția Creager, rel. (2.1.6.19).

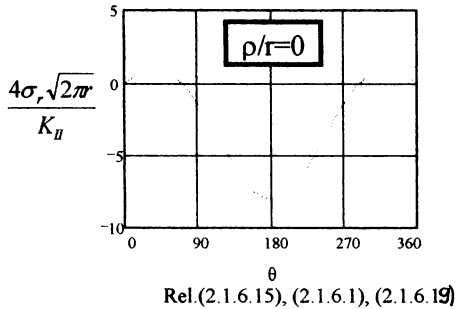


Figura 2.1.6.22

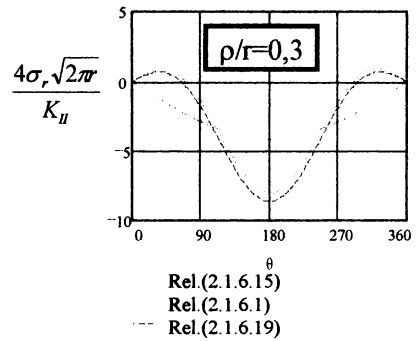


Figura 2.1.6.23

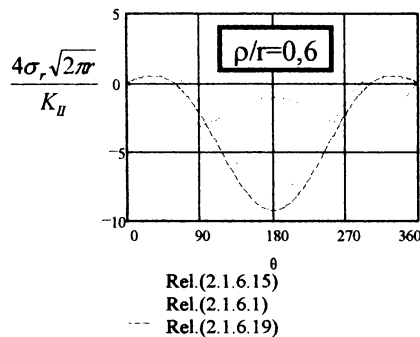


Figura 2.1.6.24

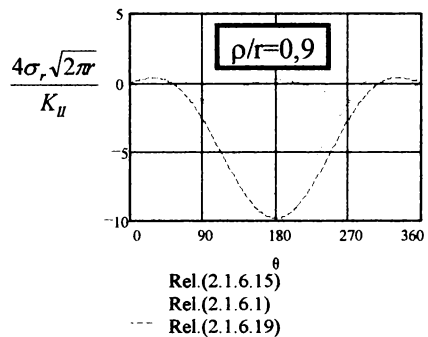


Figura 2.1.6.25

Pentru componenta σ_r și modul II se observă din Figurile 2.1.6.23 - 2.1.6.25 că există diferențe mari între soluțiile Irwin și Creager și soluția propusă de autor.

În Figurile 2.1.6.26 - 2.1.6.29 s-a reprezentat variația raportului $\frac{4\sigma_\theta\sqrt{2\pi r}}{K_{II}}$ dată de soluția propusă de autor, rel. (2.1.6.15); de soluția Irwin, rel. (2.1.6.1) și de soluția Creager, rel. (2.1.6.19), pentru diferite valori ale raportului ρ/r .

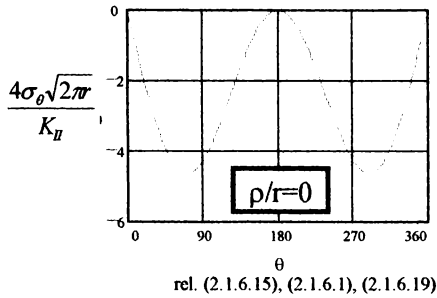


Figura 2.1.6.26

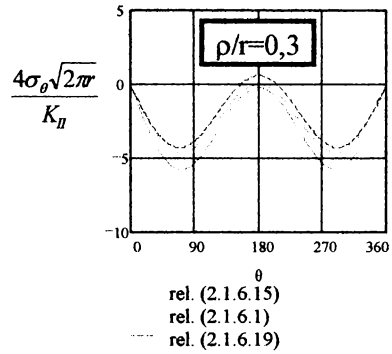


Figura 2.1.6.27

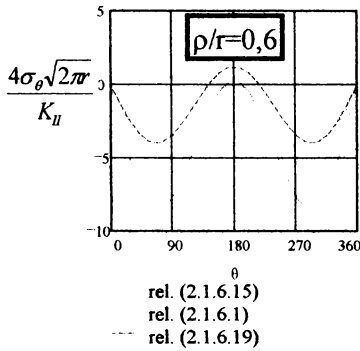


Figura 2.1.6.28

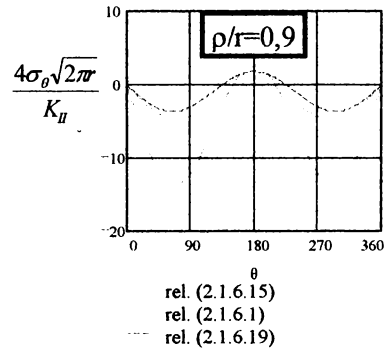


Figura 2.1.6.29

Pentru raportul $\frac{4\sigma_{\theta}\sqrt{2\pi}}{K_{II}}$ trasat în Figurile 2.1.6.26-2.1.6.29 se observă că odată cu creșterea raportului ρ/r , cresc diferențele dintre soluția propusă (2.1.6.15) și soluțiile Irwin, respectiv Creager.

Analog în Figurile 2.1.6.30 - 2.1.6.33 s-a reprezentat variația raportului $\frac{4\tau_{r\theta}\sqrt{2\pi}}{K_{II}}$ în funcție de unghiul θ pentru diferite rapoarte ρ/r , în cazul II de deplasare a flancurilor fisurii.

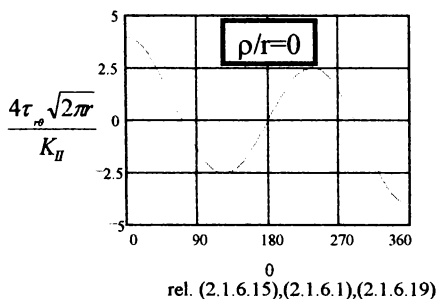


Figura 2.1.6.30

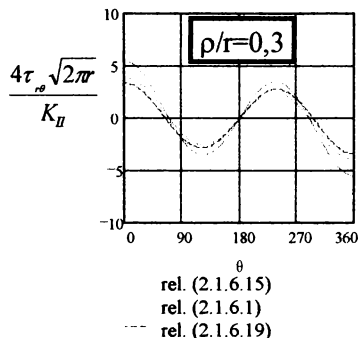


Figura 2.1.6.31

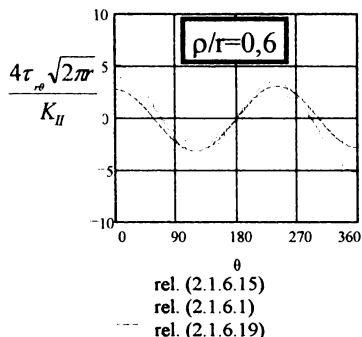


Figura 2.1.6.32

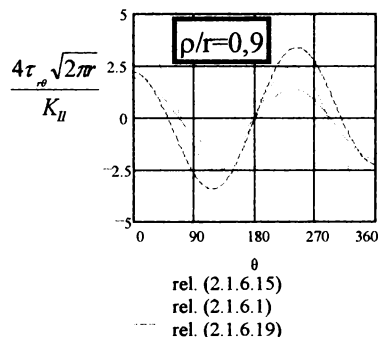


Figura 2.1.6.33

În acest paragraf autorul propune noi soluții pentru exprimarea câmpului de tensiuni din vecinătatea unei creștături înguste terminată cu un orificiu circular. Soluțiile pentru modul I și II s-au obținut pornind de la expresia funcției de tensiune Airy, considerată sub forma unei serii de puteri. Variațiile componentelor câmpului de tensiune, exprimate în coordonate polare, s-au reprezentat în funcție de unghiul θ și de raportul ρ/r , Figurile 2.1.6.6 - 2.1.6.5 pentru modul I, respectiv Figurile 2.1.6.6 - 2.1.6.8 pentru modul II.

De asemenea s-au reprezentat comparativ variațiile componentelor câmpului de tensiune, date de soluția Irwin, soluția Creager și soluția propusă de autor. Din aceste reprezentări se pot observa diferențele între cele trei soluții pentru valori ale rapoartului ρ/r diferite de 0. Aceasta impune ca pentru analiza câmpului de tensiune din vecinătatea creștăturilor ascuțite terminate cu un orificiu circular să se utilizeze relațiile propuse de autor (2.1.6.10) - pentru modul I, respectiv (2.1.6.15) - pentru modul II. Pentru valori ale raportului $\rho/r=0$, cazul fisurii, soluțiile Irwin, Creager și cea propusă de autor coincid.

2.2 TENSIUNI ȘI DEFORMAȚII ÎN CORPURI ELASTO-PLASTICE CU FISURI

2.2.1 DEFORMAȚII PLASTICE LA VÂRFUL FISURII

Datorită concentrării puternice a tensiunilor în jurul fisurilor, tensiunile depășesc limita de curgere a materialului, având ca efect apariția unor deformații plastice în aceste zone. Forma și mărimea enclavei plastice depinde de starea de tensiune și deformație ce ia naștere în vecinătatea fisurii, fiind influențată de geometria corpului (lungimea fisurii, grosimea corpului, etc), încărcarea aplicată și caracteristica de deformare $\sigma-\epsilon$ a materialului.

Cercetările experimentale au evidențiat două moduri principale de formare a enclavei plastice la vârful fisurii, [B15], [H1]:

- la tensiuni relativ mici, enclava plastică se extinde normal pe planul fisurii, aceasta realizându-se pe toată grosimea plăcii, deformațiile produse în acest caz confirmând formarea unei articulații plastice la vârful fisurii, Fig.2.2.1.1.a;

- la tensiuni relativ mari, enclava plastică se dezvoltă tot perpendicular pe planul fisurii dar planele de alunecare sunt paralele cu direcția de propagare a fisurii, în secțiunea transversală aceste plane formând două rețele ortogonale înclinate la 45° față de planul fisurii. În acest caz lățimea enclavei plastice este egală cu grosimea plăcii, Fig.2.2.1.1.b.

La tensiuni medii, enclava plastică are o configurație mixtă de tranziție de la alunecare de tip articulație la alunecare în plane înclinate la 45° .

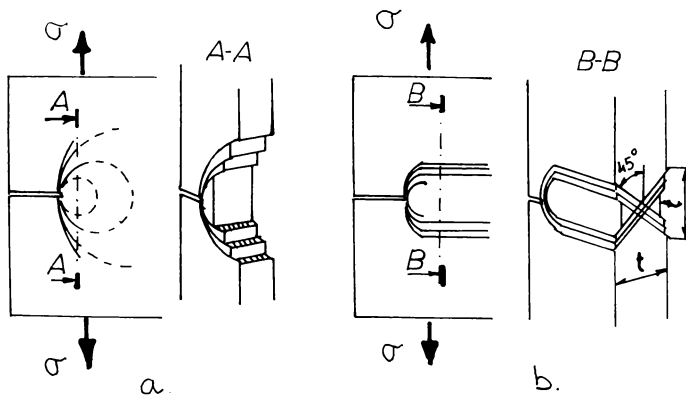


Figura 2.2.1.1

O primă aproximare pentru determinarea extinderii enclavei plastice este dată de Irwin, pe baza soluției elastice (2.1.3.4), punând condiția ca tensiunea σ_y să atingă valoarea limitei de curgere σ_c : $\sigma_y = \sigma_c$, se poate obține raza enclavei plastice :

$$\sigma_y = \frac{K_I}{\sqrt{2\pi r}} \cos \frac{\theta}{2} \left(1 + \sin \frac{\theta}{2} \sin \frac{3\theta}{2} \right) \Rightarrow r_p(\theta) = \frac{1}{2\pi} \left(\frac{K_I}{\sigma_c} \right)^2 \cos^2 \frac{\theta}{2} \left(1 + \sin \frac{\theta}{2} \sin \frac{3\theta}{2} \right)^2 \quad (2.2.1.1)$$

unde

$K_I = \sigma \sqrt{\pi a}$,
 reprezintă factorul de intensitate a tensiunii pentru modul I de deplasare a flancurilor fisurii.

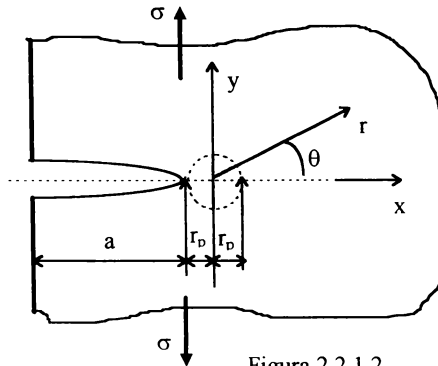


Figura 2.2.1.2

Aceste relații sunt valabile pentru modelul din Figura 2.2.1.2, pentru care, în zona $a < x < a+2r_p$ tensiunile sunt considerate egale cu valoarea limitei de curgere σ_c , iar pentru $x > a+2r_p$ tensiunile variază conform soluției liniar-elastice a lui Irwin, dar în care lungimea fisurii, a , se majorează cu raza enclavei plastice r_p . În acest ultim caz expresia factorului de intensitate a fisurii va fi:

$$K_I = \sigma \sqrt{\pi(a+r_p)} \quad (2.2.1.2)$$

Cercetările ulterioare au evidențiat că această aproximare este valabilă doar în cazul enclavelor plastice limitate în raport cu lungimea fisurii $r_p \ll a$.

În lucrarea [B13] s-a prezentat determinarea analitică a formei enclavei plastice, obținută luând în considerare cele două criterii de plasticitate **Von Mises**:

$$(\sigma_x - \sigma_y)^2 + (\sigma_y - \sigma_z)^2 + (\sigma_z - \sigma_x)^2 + 6\tau_{xy}^2 + 6\tau_{yz}^2 + 6\tau_{zx}^2 = 2\sigma_c^2 \quad (2.2.1.3)$$

respectiv **Tresca**:

$$\tau_m = \frac{1}{2}(\sigma_1 - \sigma_3) = \tau_c = \frac{\sigma_c}{2} \quad (2.2.1.4)$$

unde $\sigma_1 > \sigma_2 > \sigma_3$ reprezintă tensiunile principale iar τ_c tensiunea tangențială la care se produce curgerea.

Calculul analitic s-a efectuat considerând un corp omogen și izotrop aflat în stare plană de tensiune, respectiv de deformație, trasând forma enclavei plastice pentru modul I, II și mixt (I + II) de deplasare a flancurilor fisurii.

A) Pentru **modul I** de deplasare a flancurilor fisurii, Figura 2.2.1.3, componentele vectorului tensiunii s-au înlocuit cu soluția Irwin, rel. (2.1.3.4), obținându-se pentru

A.1) criteriul Von Mises:

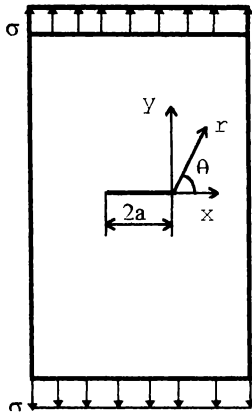


Figura 2.2.1.3

- starea plană de tensiune:

$$r_p(\theta) = \frac{K_I^2}{2\pi\sigma_c^2} \cos^2 \frac{\theta}{2} \left(1 + 3 \sin^2 \frac{\theta}{2} \right) \quad (2.2.1.5)$$

- starea plană de deformație:

$$r_p(\theta) = \frac{K_I^2}{2\pi\sigma_c^2} \cos^2 \frac{\theta}{2} \left[(1 - 2\nu)^2 + 3 \sin^2 \frac{\theta}{2} \right] \quad (2.2.1.6)$$

A.2.) criteriul Tresca:

- starea plană de tensiune:

$$r_p(\theta) = \frac{K_I^2}{2\pi\sigma_c^2} \cos^2 \frac{\theta}{2} \left(1 + \sin^2 \frac{\theta}{2} \right)^2 \quad (2.2.1.7)$$

- starea plană de deformație

$$r_p(\theta) = \frac{K_I^2}{2\pi\sigma_c^2} \cos^2 \frac{\theta}{2} \left[1 - 2\nu + \sin^2 \frac{\theta}{2} \right]^2 \quad (2.2.1.8)$$

În Figura 2.2.1.4 s-a reprezentat forma zonei plastice sub formă adimensională $r_p^* = r_p(\theta) / (K_I / \sigma_c)^2$, calculată pe baza criteriului Von Mises pentru starea plană de tensiune, respectiv starea plană de deformație, iar în Figura 2.2.1.5 forma zonei plastice pe baza criteriului Tresca

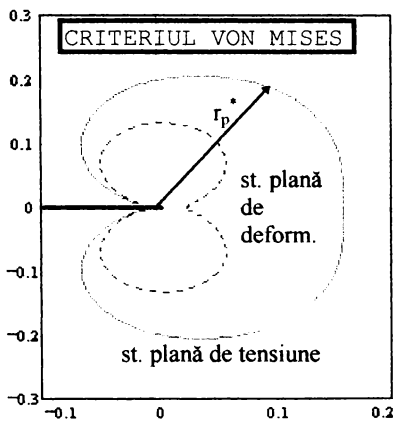


Figura 2.2.1.4

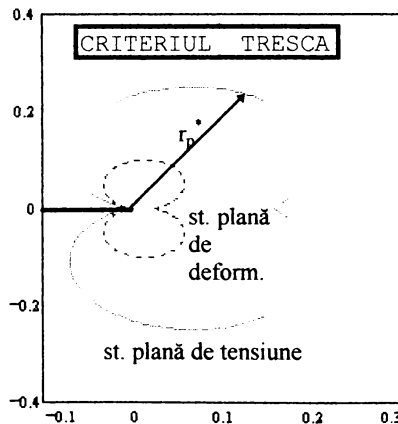


Figura 2.2.1.5

În Figurile 2.2.1.6 și 2.2.1.7 am reprezentat variația raportului dintre raza zonei plastice și semilungimea fisurii r_p/a , pentru diferite valori ale raportului dintre tensiunea aplicată σ și limita de curgere σ_c ($\sigma / \sigma_c = 0,2 ; 0,4 ; 0,6 ; 0,8$) după criteriul Von Mises pentru starea plană de tensiune, respectiv pentru starea plană de deformație.

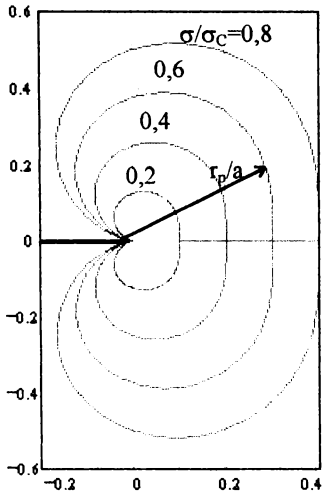


Figura 2.2.1.6

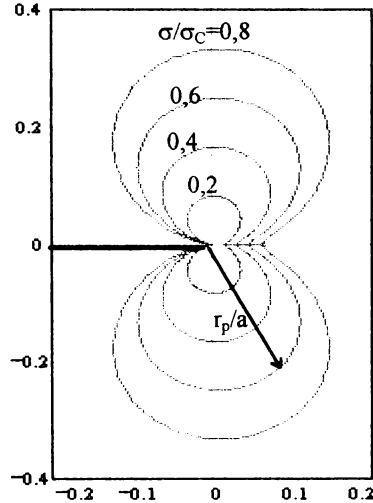


Figura 2.2.1.7

În mod analog am reprezentat variația raportului r_p / a pentru criteriul de plasticitate Tresca, la diferite trepte de încărcare σ / σ_c pentru starea plană de tensiune (Figura 2.2.1.8), respectiv starea plană de deformație, Figura 2.2.1.9.

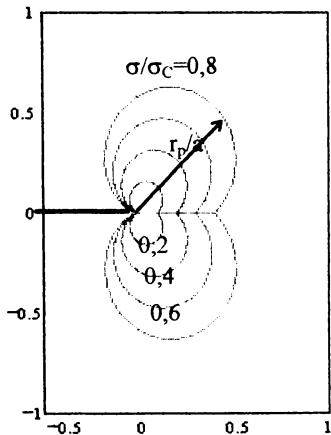


Figura 2.2.1.8

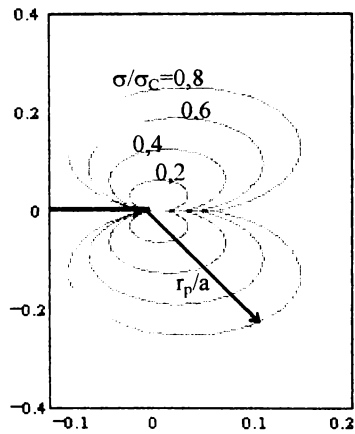


Figura 2.2.1.9

Pe baza studiului efectuat se observă că extinderea zonei plastice este mai mare pentru starea plană de tensiune decât pentru starea plană de deformare în cazul ambelor criterii de plasticitate considerate, Figurile 2.2.1.4 - 2.2.1.9. Acest fapt explică recomandarea standardelor de Mecanica ruperii care prevăd ca determinarea tenacității la rupere K_{IC} să se efectueze pe epruvete ce respectă condițiile stării plane de deformare.

B) **Modul II** de deplasare a flancurilor fisurii este bazat pe soluția Irwin dată de relațiile (2.1.3.5). Pentru o placă cu fisură centrală de lungime $2a$, solicitată de tensiunea τ factorul de intensitate a tensiunii pentru modul II este: $K_{II} = \tau\sqrt{\pi a}$, Figura 2.2.1.10.

Pe baza criteriului de plasticitate Von Mises, exprimat de relația (2.2.1.3), am efectuat un studiu analitic pentru determinarea formei enclavei plastice de la vârful fisurii pentru modul II de deplasare a flancurilor fisurii, obținând pentru:

- starea plană de tensiune:

$$r_p(\theta) = \frac{K_{II}^2}{2\pi\sigma_c^2} \left(3 + \sin^2 \frac{\theta}{2} - \frac{9}{4} \sin^2 \theta \right) \tag{2.2.1.9}$$

- pentru starea plană de deformare:

$$r_p(\theta) = \frac{K_{II}^2}{2\pi\sigma_c^2} \left[3 + (1 - 2\nu)^2 \sin^2 \frac{\theta}{2} - \frac{9}{4} \sin^2 \theta \right] \tag{2.2.1.10}$$

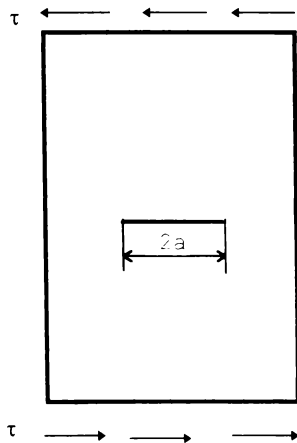


Figura 2.2.1.10

În Figura 2.2.1.11 am reprezentat în coordonate polare forma zonei plastice pentru modul II de deplasare a flancurilor fisurii, trasată pe baza criteriului Von Mises de plasticitate prin intermediul mărimii adimensionale:

$$r_p^* = r_p (K_{II} / \sigma_c)^2$$

Din Figura 2.2.1.11 se observă că pentru modul II de deplasare a flancurilor fisurii, extensia zonei plastice este mai mare după axa x comparativ cu modul I la care zona plastică se dezvoltă mai mult după axa y.

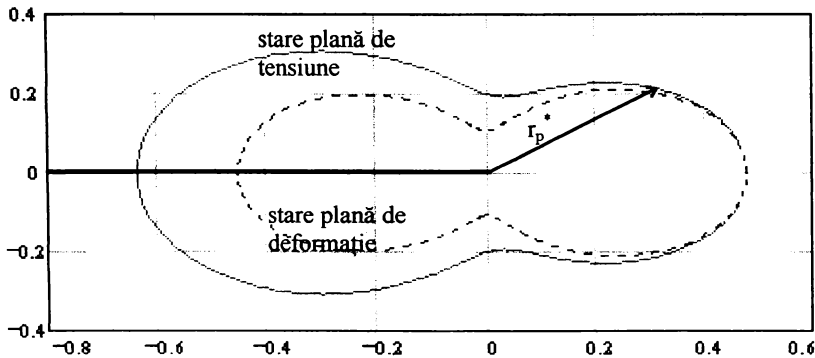


Figura 2.2.1.11

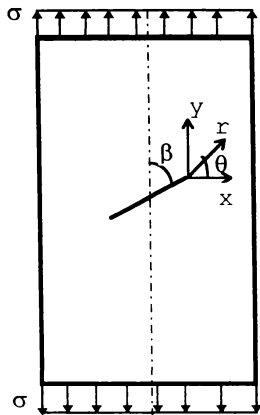
C) **Modul mixt (I + II)** de deplasare a flancurilor fisurii. S-a considerat o placă având a fisură înclinată cu unghiul β față de direcția de solicitare, Figura 2.2.1.12. Starea de tensiune într-un punct din vecinătatea vârfului fisurii este dată se obține prin suprapunerea soluției pentru **modul I**, relațiile (2.1.3.4) și **modul II**, relațiile (2.1.3.5) de deplasare a flancurilor fisurii:

$$\begin{aligned}
 \sigma_x &= \frac{K_I}{\sqrt{2\pi r}} \cos \frac{\theta}{2} \left(1 - \sin \frac{\theta}{2} \sin \frac{3\theta}{2} \right) - \frac{K_{II}}{\sqrt{2\pi r}} \sin \frac{\theta}{2} \left(2 + \cos \frac{\theta}{2} \cos \frac{3\theta}{2} \right) \\
 \sigma_y &= \frac{K_I}{\sqrt{2\pi r}} \cos \frac{\theta}{2} \left(1 + \sin \frac{\theta}{2} \sin \frac{3\theta}{2} \right) + \frac{K_{II}}{\sqrt{2\pi r}} \sin \frac{\theta}{2} \cos \frac{\theta}{2} \cos \frac{3\theta}{2} \\
 \tau_{xy} &= \frac{K_I}{\sqrt{2\pi r}} \sin \frac{\theta}{2} \cos \frac{\theta}{2} \cos \frac{3\theta}{2} + \frac{K_{II}}{\sqrt{2\pi r}} \cos \frac{\theta}{2} \left(1 - \sin \frac{\theta}{2} \sin \frac{3\theta}{2} \right)
 \end{aligned} \tag{2.2.1.11}$$

unde:

$$\begin{aligned}
 K_I &= \sigma \sqrt{2\pi a} \sin^2 \beta \\
 K_{II} &= \sigma \sqrt{2\pi a} \sin \beta \cos \beta
 \end{aligned} \tag{2.2.1.12}$$

iar β este unghiul dintre direcția încărcării și direcția fisurii



Figură 2.2.1.12

Deoarece calculele analitice se complică pentru trasarea zonei plastice am elaborat un program scris în MathCAD 5.0, pe baza criteriului de plasticitate Von Mises. Datele de intrare în program sunt unghiul dintre direcția fisurii și direcția de solicitare β și coeficientul lui Poisson ν . Programul s-a verificat pentru modurile I și II de deplasare a flancurilor fisurii, pentru care s-a determinat și soluția analitică a razei zonei plastice.

Programul permite trasarea parametrului adimensional:

$$r_p^* = \frac{r_p}{2a(\sigma / \sigma_c)^2} \quad (2.2.1.13)$$

atât pentru starea plană de tensiune cât și pentru starea plană de deformare.

În Figurile 2.2.1.13, 2.2.1.14 și 2.2.1.15 se prezintă forma zonei plastice trasată pentru: unghiul β având valorile 30° , 45° , respectiv 60° (s-a considerat $\nu=0,3$).

Pe baza studiului efectuat de autor și a programului de calcul întocmit s-au trasat limitele enclavei plastice de la vârful fisurii pentru modurile I, II și mixt, pe baza criteriilor de plasticitate Von Mises și Tresca ceea ce reprezintă o contribuție personală.

Diagramele (2.2.1.6) - (2.2.1.9), trasate de autor au utilitate practică deoarece permit evaluarea mărimii zonei plastice formată la vârful unei fisurii, a cărei flancuri se deplasează după modul I, aflată într-un corp supus la întindere monoaxială de tensiunea constantă σ , cunoscând limita de curgere a materialului σ_c .

Programul elaborat pentru trasarea limitelor zonei plastice pentru modul mixt de deplasare a flancurilor fisurii reprezintă de asemenea contribuția personală a autorului.

Valorile analitice obținute pentru raza plastică ce se formează la vârful fisurii sunt comparate în continuare cu rezultatele experimentale obținute prin metoda causticelor.

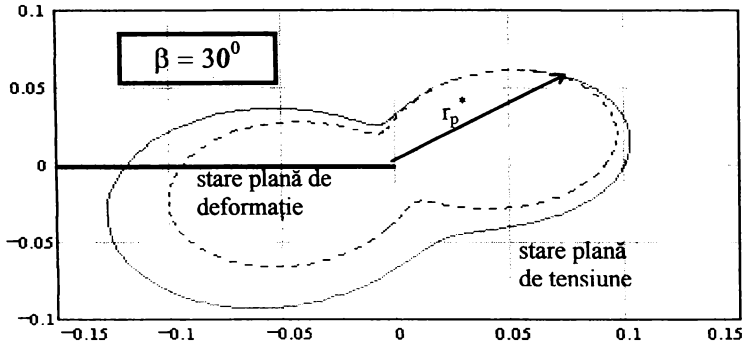


Figura 2.1.1.13

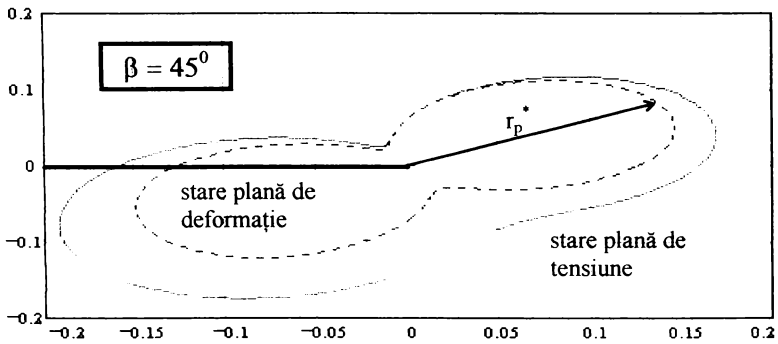


Figura 2.2.1.14

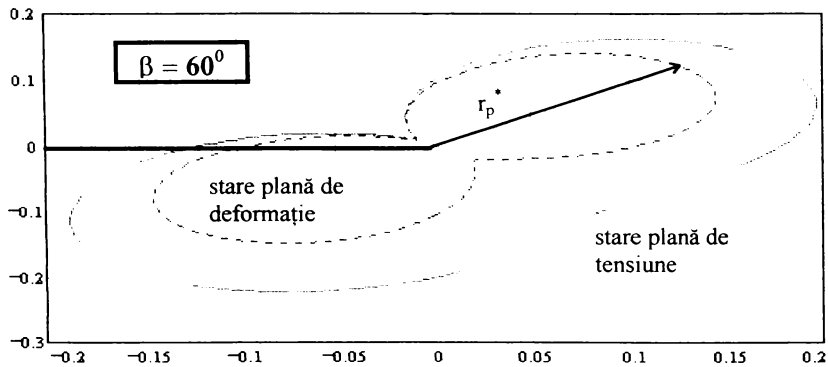


Figura 2.2.1.15

În literatură sunt prezentate rezultatele experimentale, obținute pe baza metodei causticelor, privind determinarea razei zonei plastice de la vârful unei fisuri [L3]. Determinarea parametrilor de rupere (factorul de intensitate a tensiunii K_I , raza zonei plastice r_p , integrala J) prin metoda causticelor este prezentată în lucrările [T5], [T6], [T7], respectiv particularitățile determinării razei zonei plastice sunt prezentate în [M16].

Pentru determinarea experimentală a factorului de intensitate a tensiunii K_I și a razei zonei plastice r_p , s-a utilizat o epruvetă compactă din aluminiu având forma și dimensiunile din Figura 2.2.1.16 iar limita de curgere $\sigma_C = 100$ MPa, [L3]

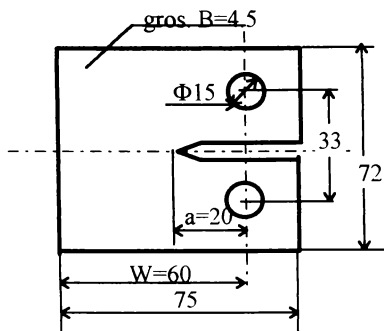


Figura 2.2.1.16

Pentru epruveta compactă expresia factorului de intensitate a tensiunii este:

$$K_I = \frac{F}{B W^{3/2}} f(a/W) \quad (2.2.1.14)$$

unde F este încărcarea, în N
 B - grosimea epruvetei, în mm
 W - lățimea epruvetei, în mm
 a - lungimea fisurii, în mm
 $f(a/W)$ - o funcție de geometria epruvetei

$$f(a/W) = 29,6 \left(\frac{a}{W}\right)^{1,2} - 185,5 \left(\frac{a}{W}\right)^{3,2} + 655,7 \left(\frac{a}{W}\right)^{5,2} - 1017,0 \left(\frac{a}{W}\right)^{7,2} + 638,9 \left(\frac{a}{W}\right)^{9,2} \quad (2.2.1.15)$$

Pentru epruveta utilizată: $W=60$ mm, $B=20$ mm, $a=20$ mm, $f(a/W)=6,2$ s-au calculat cu relația (2.2.1.14) valorile analitice ale factorului de intensitate a tensiunii K_I . Aceste valori sunt prezentate comparativ cu rezultatele experimentale $K_{I,exp}$ obținute pentru diferite valori ale forței F , în Tabelul 2.2.1.1.

Tabelul 2.2.1.1

Încărcarea F [N]	Factorul de intensitate a tensiunii analitic K_I [N/mm ^{3/2}]	Factorul de intensitate a tensiunii experimental $K_{I,exp}$ [N/mm ^{3/2}]	Raza zonei plastice det. experimental $r_{p,exp}$ [mm]
400	71,80	73,14	0,1
800	143,58	146,28	0,5
1200	215,35	219,42	1,2
1600	287,15	292,56	2,1
1800	323,04	320,00	2,5

Diferența dintre valorile analitice și cele experimentale ale factorului de intensitate a tensiunii sunt sub 2%.

Raza zonei plastice s-a măsurat experimental pe o direcție perpendiculară pe fisură, adică pentru unghiul $\theta = 90^\circ$. Valoarea zonei plastice obținută experimental este comparată în Figura 2.2.1.17 . cu variațiile razei zonei plastice date de soluțiile Irwin, Von Mises și Tresca alese pentru starea plană de tensiune, dată fiind grosimea mică a epruvetei folosite.

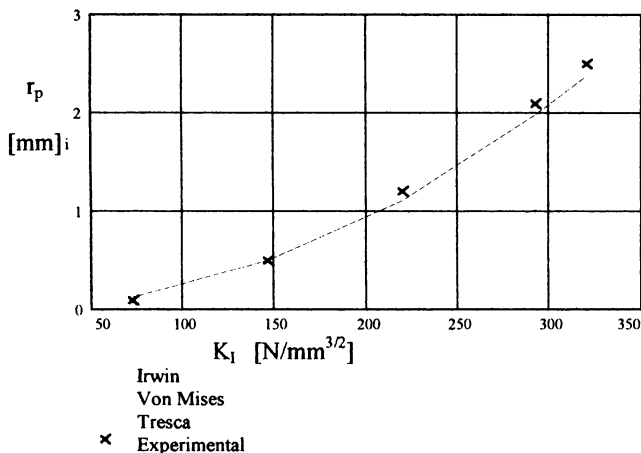


Figura 2.2.1.17

Din Figura 2.2.1.17 se observă că valorile experimentale ale razei zonei plastice sunt cele mai apropiate de valorile razei zonei plastice, care s-a determinat analitic pe baza criteriului de plasticitate Tresca.

Se observă de asemenea că la valori relativ mici ale încărcării $F < 500$ N , care corespund raportului $\sigma/\sigma_C < 0,2$ raza zonei plastice are valori apropiate indiferent de soluția considerată, fapt confirmat și de determinările experimentale. Pentru valori ale raportului $\sigma/\sigma_C > 0,2$ determinarea razei zonei plastice trebuie făcută cu ajutorul unui criteriu de plasticitate.

Cercetările ulterioare au evidențiat că această aproximare este valabilă doar în cazul enclavelor plastice limitate în raport cu lungimea fisurii $r_p \ll a$. Pornind de la aceasta s-a căutat introducerea unor modele care să ia în considerare câmpul de tensiuni și deformații elasto-plastice care apar în zona adiacentă vârfurilor fisurilor. Un astfel de model este modelul Dugdale.

2.2.2 MODELUL DUGDALE

Enclava plastică de la vârful fisurii este simulată de un mediu rigido-plastic, cu limita de curgere σ_C , urmând criteriul Tresca de plasticitate, confirmat anterior de rezultatele experimentale. Se consideră o placă infinită ce conține o fisură de lungime $2a$, încărcată cu o tensiune omogenă σ , aplicată la infinit. Zona deformată plastic este simulată de tensiunea omogenă σ_C (egală cu limita de curgere a materialului), uniform distribuită pe porțiunea r_p , în prelungirea fisurii, simetric față de planul fisurii, Fig.2.2.2.1.a. Comportarea materialului în exteriorul enclavei plastice se consideră liniar-elastică.

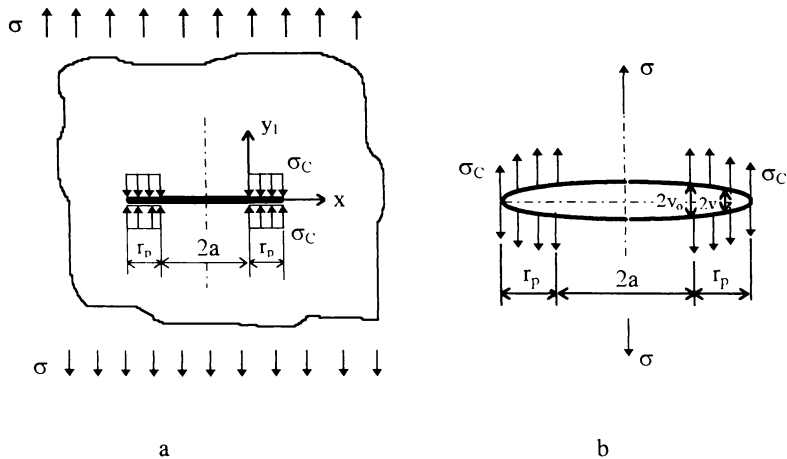


Figura 2.2.2.1

Determinarea soluției se obține prin suprapunerea efectelor celor două situații studiate:

- planul elastic cu fisură de lungime $2(a+r_p)$, încărcat la infinit cu tensiunea omogenă σ , căruia îi corespunde factorul de intensitate a tensiunii K_e , dat în [P3]:

$$K_e = \sigma \sqrt{\pi(a + r_p)} \tag{2.2.2.1}$$

- planul elastic cu fisură de lungime $2(a+r_p)$, încărcat pe intervalul simetric $[a, a+r_p]$, cu tensiunea uniformă σ_C , egală cu valoarea limitei de curgere. Acestei situații îi corespunde un factor de intensitate a tensiunii K_p , dat de relația [P3]:

$$K_p = 2\sigma_C \sqrt{\frac{a+r_p}{\pi} \left[\frac{\pi}{2} - \arcsin\left(\frac{a}{a+r_p}\right) \right]} \tag{2.2.2.2}$$

Raza zonei plastice r_p se va determina din condiția ca la extremitatea fisurii să nu mai existe singularitatea câmpului de tensiune ($K = 0$), această condiție fiind îndeplinită dacă:

$$K_e + K_p = 0 \quad (2.2.2.3)$$

Înlocuind relațiile (2.2.2.1) și (2.2.2.2) în ecuația (2.2.2.3) se obține raza enclavei plastice:

$$\frac{a}{a+r_p} = \cos\left(\frac{\pi\sigma}{2\sigma_c}\right) \Rightarrow r_p = a \left[\sec\left(\frac{\pi\sigma}{2\sigma_c}\right) - 1 \right] \quad (2.2.2.4)$$

Dezvoltând în serie ultima relație și reținând doar primul termen al dezvoltării, se obține:

$$r_p \cong \frac{\pi^2 a}{8} \left(\frac{\sigma}{\sigma_c}\right)^2 = \frac{\pi K_e^2}{8 \sigma_c^2} \quad (2.2.2.5)$$

relație valabilă doar în cazul enclavelor plastice limitate $r_p \ll a$ și $\sigma/\sigma_c < 0,3$. În acest caz, al limitării încărcării, care asigură o extindere limitată a enclavei plastice, neglijabilă în raport cu lungimea fisurii, se definește stadiul de deformare plastică localizată.

Deformația plastică de la vârful fisurii fizice este caracterizată de deplasarea v , Fig.2.2.2.1.b. Ea se obține pe baza principiului suprapunerii efectelor cu ajutorul funcției de tensiune Westergaard, care are două componente: una elastică Z_e , ce caracterizează corpul infinit cu fisură de lungime $2(a+r_p)$, încărcat la infinit cu tensiunea σ și o componentă plastică Z_p , corepunzătoare aceluiași corp, dar încărcat de data aceasta cu tensiunea σ_c pe domeniul $[a, a+r_p]$; adică:

$$Z = Z_e + Z_p \quad (2.2.2.6)$$

Exprimând funcțiile de tensiune Z_e și Z_p pentru cele două cazuri considerate și înlocuind apoi funcția de tensiune rezultantă Z , în expresiile (2.1.2.6) se pot obține în urma unor calcule laborioase tensiunile și deplasările.

Se va prezenta în continuare doar expresia tensiunii normale pe direcția de propagare a fisurii σ_y , într-un punct pe axa ox , situat la distanța $x > a+r_p$:

$$\sigma_y = \sigma \left[1 + \frac{2\sigma_c}{\pi\sigma} \operatorname{arctg} \frac{\sin \frac{\pi\sigma}{\sigma_c}}{e^{2\alpha} - \cos \frac{\pi\sigma}{\sigma_c}} \right] \quad (2.2.2.7)$$

unde σ este tensiunea ce acționează la infinit

σ_c este limita de curgere a materialului

$\alpha = \operatorname{arcch} [x/(a+r_p)]$ un parametru în funcție de poziția punctului în care se calculează tensiunea, x și de lungimea corectată a fisurii ($a+r_p$).

De asemenea se poate exprima valoarea deplasării v_0 , pe direcția y , în punctul $x = a$, adică la vârful fisurii reale, Fig.2.2.2.1.b:

$$v_0 = \frac{4\sigma_c a}{\pi E} \ln \sec\left(\frac{\pi\sigma}{2\sigma_c}\right) \quad (2.2.2.8)$$

unde E este modulul de elasticitate longitudinal.

Dezvoltând în serie funcția $\ln \sec(\pi\sigma/2\sigma_c)$ și luând în considerare numai primul termen al dezvoltării, în ipoteza deformațiilor plastice limitate, se obține:

$$v_0 = \frac{\pi\sigma^2 a}{2E\sigma_c} \quad (2.2.2.9)$$

Pe baza acestei deplasări s-a introdus un alt parametru utilizat în Mecanica ruperii materialelor și anume **deplasarea la deschiderea vârfului fisurii**, δ (crack tip opening displacement, CTOD):

$$\delta = 2v_0 = \frac{\pi\sigma^2 a}{E\sigma_c} = \frac{K_I^2}{E\sigma_c} \quad (2.2.2.10)$$

Acest parametru se aplică la studierea ruperii materialelor cu comportare elasto-plastică.

Modelul Dugdale se poate aplica în principiu pentru orice fel de geometrie și încărcare, pentru care se pot exprima funcțiile de tensiune Westergaard Z_c și Z_p . Practic, însă calculele analitice pentru geometrii și încărcări complexe devin extrem de laborioase, ceea ce duce la imposibilitatea aplicării modelului Dugdale în aceste cazuri. Trebuie menționat că limitările modelului sunt generate și de ipoteza comportării rigido-plastice a materialului în enclava plastică de la vârful fisurii.

2.2.3 DETERMINAREA DEPLASĂRII LA DESCHIDERE A VÂRFULUI FISURII CU AJUTORUL FUNCȚIILOR DE PONDERE

Se consideră că pentru o anumită geometrie și încărcare se cunoaște soluția elastică (pe care o voi denumi soluție de referință), adică se cunoaște expresia factorului de intensitate a tensiunii K_m , funcția de pondere $h(x,a)$, respectiv soluția deplasării pe direcția normală față de fisură $v_m(x,a)$, legate între ele prin relația:

$$h(x,a) = \frac{E'}{K_m} \frac{\partial v_m(x,a)}{\partial a} \quad (2.2.3.1)$$

Din această relație se observă că se poate calcula expresia deplasării pentru orice altă încărcare $\sigma(x)$ sub forma:

$$v = \frac{1}{E'} \int_0^a h(x,a) K(a) da \quad (2.2.3.2)$$

relație în care $h(x,a)$ reprezintă funcția de pondere iar $K(a)$ factorul de intensitate a tensiunii pertinent încărcării $\sigma(x)$:

$$K = \int_0^a \sigma(x) h(x,a) dx \quad (2.2.3.3)$$

În concluzie cunoscând funcția de pondere $h(x,a)$ pentru o anumită geometrie se poate calcula expresia deplasării de deschidere la vârful fisurii δ :

$$\delta = 2v = \frac{2}{E'} \int_0^a h(x,a) K(a) da \quad (2.2.3.4)$$

Utilizarea funcțiilor de pondere pentru determinarea deplasării de deschidere la vârful fisurii este o metodă simplă, dacă se cunoaște pentru corpul fisurat respectiv o soluție completă pentru o anumită încărcare.

2.2.4 EXPRIMAREA CÂMPULUI DE TENSIUNI ȘI DEFORMAȚII PRIN INTERMEDIUL INTEGRALEI J

Exprimarea câmpului de tensiuni și deformații din vecinătatea unei fisuri aflată într-un corp cu comportare elasto-plastică se poate face prin intermediul **integralei de contur J**, propusă de Rice [R3].

Se consideră un corp plan omogen cu caracteristica σ - ϵ liniară sau neliniară sollicitat de un sistem de forțe exterioare ce induc în corp, în absența forțelor masice, tensiunile σ_x , σ_y și τ_{xy} . Presupunând că acest corp conține o fisură orientată după axa ox , a sistemului de coordonate ales (Fig.2.2.4.1), **integrala de contur J**, pentru un contur oarecare Γ , situat în interiorul corpului, se definește:

$$J = \int_{\Gamma} \left(U dy - \vec{p} \frac{\partial \vec{f}}{\partial x} \right) ds \quad [N / mm] \quad (2.2.4.1)$$

unde : - U este energia specifică de deformație:

$$U = \int_0^{\epsilon} (\sigma_x d\epsilon_x + \sigma_y d\epsilon_y + \tau_{xy} d\gamma_{xy})$$

- \vec{p} este vectorul tensiune totală raportat la normala într-un punct de pe conturul Γ

$$\vec{p} = p_{nx} \vec{i} + p_{ny} \vec{j}$$

- \vec{f} este vectorul deplasare raportat la normala într-un punct de pe conturul Γ

$$\vec{f} = u \vec{i} + v \vec{j}$$

- ds elementul de arc de pe conturul Γ

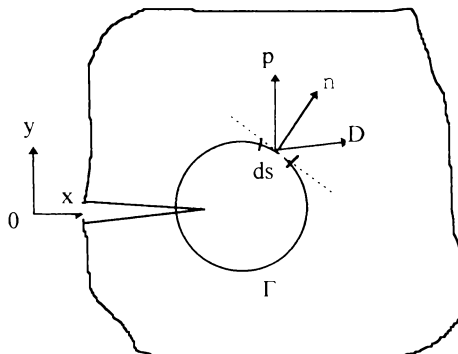


Figura 2.2.4.1

Proprietatea principală a integralei **J** este că ea nu depinde de conturul de integrare Γ , [K2]. De aceea conturul de integrare se poate alege cât mai convenabil, astfel încât valoarea integralei **J** să poată fi determinată cu ușurință.

Utilitatea integralei **J** în analiza stării de tensiune elasto-plastică în zona adiacentă vârfului fisurilor, constă în faptul că valoarea ei se poate determina relativ ușor pentru diferite cazuri de încărcare, configurații geometrice și medii cu diferite caracteristici σ - ϵ .

Integrala **J** se poate considera ca parametru de rupere atât în cazul materialelor cu comportare liniar elastică, dar și în cazul materialelor cu comportare elasto-plastică.

Astfel dacă se consideră un corp cu comportare liniar-elastică, aflat într-o stare de sollicitare ce produce deplasări ale flancurilor fisurii după toate cele trei moduri, iar conturul de integrare se ia în interiorul regiunii în care componentele câmpului de tensiune și deformație se exprimă prin intermediul factorului de intensitate a tensiunii **K**, Fig.2.2.4.2, rezultă:

- pentru starea plană de deformație

$$J = \frac{1-\nu^2}{E} (K_I^2 + K_{II}^2) + \frac{1+\nu}{E} K_{III}^2 \quad (2.2.4.2)$$

- pentru stare plană de tensiune

$$J = \frac{1}{E} (K_I^2 + K_{II}^2) + \frac{1+\nu}{E} K_{III}^2 \quad (2.2.4.3)$$

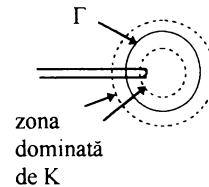


Figura 2.2.4.2

Aceste relații exprimă legătura dintre integrala **J** și factorii de intensitate ai tensiunii corespunzători celor trei moduri de deplasare a flancurilor fisurii K_I , K_{II} și K_{III} , [R3]. Relațiile (2.2.4.2) și (2.2.4.3) rămân valabile chiar dacă la vârful fisurii apare o curgere plastică localizată, ce produce o enclavă plastică de dimensiuni neglijabile în comparație cu lungimea fisurii.

Dacă materialul sub acțiunea sollicitărilor capătă deformații plastice considerabile, valoarea integralei **J** poate fi calculată cu aproximație, deoarece independența de conturul de integrare se păstrează. Astfel, pentru un material cu o caracteristică σ - ϵ , sub forma relației Ramberg-Osgood, Fig.2.2.4.3

$$\frac{\epsilon}{\epsilon_c} = \frac{\sigma}{\sigma_c} + \lambda \left(\frac{\sigma}{\sigma_c} \right)^n \quad (2.2.4.4)$$

unde λ coeficient de ecrusare.

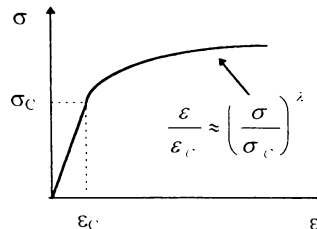


Figura 2.2.4.3

Integrala J se poate exprima sub forma, [C5]:

$$J = A(\lambda) K_{plastic}^{\lambda+1} \quad (2.2.4.6)$$

$$K_{plastic} = C(\lambda) K_{elastin}^{2/(\lambda+1)}$$

unde $A(\lambda)$ și $C(\lambda)$ sunt constante dependente de coeficientul de ecrusare al caracteristicii σ - ε .

$K_{elastin}$ este factorul de intensitate a tensiunii pertinent domeniului exterior enclavei plastice

$K_{plastic}$ este un factor plastic de intensitate a tensiunii calculat pe baza lui $K_{elastin}$, a coeficientului de ecrusare λ și a constantei $C(\lambda)$.

Cunoscând valoarea integralei J câmpul de tensiuni și deformații se exprimă în coordonate polare (r, θ) , [K2] astfel:

$$\begin{Bmatrix} \sigma_x \\ \sigma_z \\ \tau_{xz} \end{Bmatrix} = \sigma_c \left(\frac{EJ}{\alpha \sigma_c^2 I(\lambda) r} \right)^{\frac{1}{\lambda+1}} \begin{Bmatrix} f_x(\theta, \lambda) \\ f_y(\theta, \lambda) \\ f_{xy}(\theta, \lambda) \end{Bmatrix} \quad (2.2.4.5)$$

$$\begin{Bmatrix} \varepsilon_x \\ \varepsilon_z \\ \gamma_{xz} \end{Bmatrix} = \frac{\sigma_c}{E} \left(\frac{EJ}{\alpha \sigma_c^2 I(\lambda) r} \right)^{\frac{\lambda}{\lambda+1}} \begin{Bmatrix} f_{\varepsilon x}(\theta, \lambda) \\ f_{\varepsilon y}(\theta, \lambda) \\ f_{\varepsilon xy}(\theta, \lambda) \end{Bmatrix} \quad (2.2.4.6)$$

unde E este modulul de elasticitate longitudinal

$I(\lambda)$ este o constantă funcție de coeficientul de ecrusare λ

$f_i(\theta, \lambda)$ și $f_{\varepsilon i}(\theta, \lambda)$ sunt funcții de unghiul θ și de coeficientul de ecrusare λ

Determinarea printr-o metodă analitică, numerică sau experimentală a valorii integralei J , pentru un material cu comportare elasto-plastică, permite apoi cu ajutorul relațiilor (2.2.4.5), (2.2.4.6) calculul componentelor câmpului de tensiune și deformație.

Parametrul **integrala J** este utilizat la modelarea numerică a corpurilor fisurate. **Integrala J** poate fi folosită atât în domeniul liniar-elastic pentru calculul factorului de intensitate a tensiunii K , rel. (2.2.4.2) sau (2.2.4.3), cât și în domeniul elasto-plastic ca parametru ce caracterizează starea de tensiune și deformație într-un corp fisurat cu comportare elasto-plastică.

CAPITOLUL 3

UTILIZAREA METODEI ELEMENTELOR FINITE PENTRU DETERMINAREA PARAMETRILOR DIN MECANICA RUPERII

3.1 NOȚIUNI INTRODUCATIVE

Exprimarea analitică a câmpului de tensiuni și deformații în jurul fisurilor se poate face doar într-un număr limitat de cazuri soluțiile fiind pertinente unor geometrii și încărcări idealizate, [M6]. Există în realitate configurații geometrice de corpuri cu fisuri și încărcări pentru care soluția analitică nu se poate obține. În aceste cazuri se recurge la **Metoda Elementelor Finite** (MEF), care poate furniza soluții numerice aproximative a căror acuratețe în anumite condiții poate fi apropiată de soluția exactă.

Metoda elementelor finite (MEF) este la ora actuală cea mai utilizată metodă pentru determinarea stării de tensiune și deformație din jurul fisurilor și pentru determinarea parametrilor mecanicii ruperii (factorului de intensitate a tensiunii K , deplasării la deschidere a fisurii δ sau integralei J). În lucrările [A1], [A2], [A4], [B5], [B12], [C3], [C8], [F2], [H3], [H10], [H11], [J1], [M4], [M9], [O2], [P5], [R4], [S2], [S3], [S19], [Z1] se prezintă, sub diferite aspecte, utilizarea MEF la diferite geometrii cu discontinuități geometrice de forma fisurilor. Sintetizând problematica folosirii MEF în aplicațiile cu fisuri se disting două particularități față de aplicațiile clasice ale MEF, și anume modelarea singularității vârfului fisurii și determinarea parametrilor de rupere în urma analizei cu elemente finite.

Metoda elementelor finite se folosește atât pentru probleme bidimensionale cât și pentru probleme tridimensionale. De asemenea se pot determina prin MEF parametrii de Mecanica ruperii atât în domeniul elastic (forța de extensie a fisurii G , factorul de intensitate a tensiunii K), cât și în domeniul elasto-plastic (deplasarea de deschidere la vârful fisurii δ , integrala J).

În acest capitol sunt tratate problemele specifice modelării cu elemente finite a corpurilor cu fisuri, unde autorul are mai multe contribuții originale.

3.2 BAZELE TEORETICE ALE METODEI ELEMENTELOR FINITE

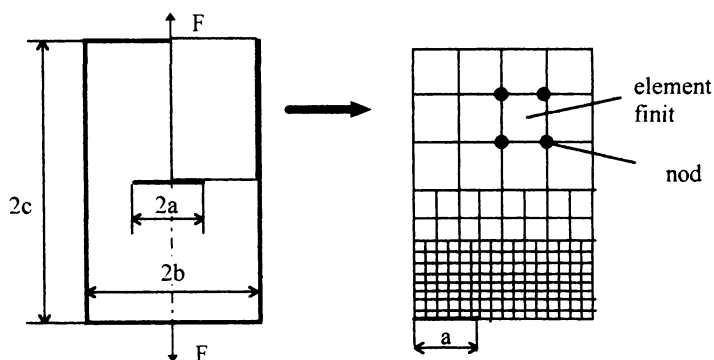


Figura 3.2.1

Metoda elementelor finite constă în discretizarea conceptuală a mediului în elemente finite de o anumită formă, conectate între ele prin nodurile rețelei de discretizare (Figura 3.2.1). Se adoptă apoi o reprezentare funcțională a deplasărilor nodurilor fiecărui element (**deplasări nodale**). Dacă funcțiile deplasărilor (**funcții de interpolare, funcții de formă**) sunt astfel alese încât asigură continuitatea pe frontiera elementelor și în plus sunt satisfăcute condițiile impuse deplasărilor pe frontiera corpului luat în ansamblu, atunci cea mai bună aproximare a parametrilor ce intră în expresia funcțiilor de formă se obține din condiția minimizării energiei potențiale totale P a întregului corp sub constrângerile impuse.

Inițial se vor trece în revistă câteva noțiuni de teoria elasticității ce intervin în problemele plane de analiză cu elemente finite.

Astfel la aplicarea MEF necunoscutele problemei sunt deplasările nodurilor. Vectorul deplasare {f} al unui punct din interiorul unui element finit se poate exprima în raport cu deplasările nodale prin relația:

$$\{f\} = \{u \ v \ w\}^T = [N] \{d\}_e \tag{3.2.1}$$

unde **u,v,w** reprezintă deplasările pe direcțiile axelor de coordonate **x,y,z**

[N] matricea funcțiilor de formă

{d}_e vectorul deplasărilor nodale ale elementului finit

Relația de legătură dintre deformațiile specifice și deplasările nodale este:

$$\{\varepsilon\} = [B] \{d\}_e \tag{3.2.2}$$

sau scrisă explicitând matricea **[B]** de transformare a deplasărilor în deformații specifice:

$$\{\varepsilon\} = \begin{Bmatrix} \varepsilon_x \\ \varepsilon_y \\ \varepsilon_z \\ \gamma_{xy} \\ \gamma_{yz} \\ \gamma_{zx} \end{Bmatrix} = \begin{Bmatrix} \frac{\partial u}{\partial x} \\ \frac{\partial v}{\partial y} \\ \frac{\partial w}{\partial z} \\ \frac{\partial u}{\partial y} + \frac{\partial v}{\partial x} \\ \frac{\partial v}{\partial z} + \frac{\partial w}{\partial y} \\ \frac{\partial w}{\partial x} + \frac{\partial u}{\partial z} \end{Bmatrix} \tag{3.2.3}$$

Legătura între tensiuni și deformații specifice este dată de legea lui Hooke generalizată, care se exprimă matriceal pentru corpuri liniar elastice și izotrope astfel:

$$\{\sigma\} = [E] \{\varepsilon\} \tag{3.2.4}$$

în care $[E]$ reprezintă matricea constantelor elastice, $\{\sigma\}$ vectorul tensiunilor iar $\{\varepsilon\}$ vectorul deformațiilor specifice.

Explicitând matricea $[E]$ relația (3.2.4) se poate scrie:

$$\begin{Bmatrix} \sigma_x \\ \sigma_y \\ \sigma_z \\ \tau_{xy} \\ \tau_{yx} \\ \tau_{xz} \end{Bmatrix} = \frac{E}{(1+\nu)(1-2\nu)} \begin{bmatrix} 1-\nu & \nu & \nu & 0 & 0 & 0 \\ \nu & 1-\nu & \nu & 0 & 0 & 0 \\ \nu & \nu & 1-\nu & 0 & 0 & 0 \\ 0 & 0 & 0 & \frac{1-2\nu}{2} & 0 & 0 \\ 0 & 0 & 0 & 0 & \frac{1-2\nu}{2} & 0 \\ 0 & 0 & 0 & 0 & 0 & \frac{1-2\nu}{2} \end{bmatrix} \begin{Bmatrix} \varepsilon_x \\ \varepsilon_y \\ \varepsilon_z \\ \gamma_{xy} \\ \gamma_{yx} \\ \gamma_{xz} \end{Bmatrix} \quad (3.2.5)$$

în relația (3.2.5) E reprezintă modulul de elasticitate longitudinal iar ν coeficientul lui Poisson.

Particularizând legea lui Hooke pentru starea plană de tensiuni, respectiv starea plană de deformații, aceasta se poate scrie sub formă concentrată astfel:

$$\begin{Bmatrix} \sigma_x \\ \sigma_y \\ \tau_{xy} \end{Bmatrix} = [E] \begin{Bmatrix} \varepsilon_x \\ \varepsilon_y \\ \gamma_{xy} \end{Bmatrix} \quad (3.2.6)$$

în care avem:

a) pentru starea plană de tensiuni

$$\sigma_z = \tau_{yz} = \tau_{xz} = \gamma_{yz} = \gamma_{xz} = 0 \quad \text{și} \quad \varepsilon_z = -\nu (\sigma_x + \sigma_y) / E$$

matricea $[E]$ are forma:

$$[E] = \frac{E}{1-\nu^2} \begin{bmatrix} 1 & \nu & 0 \\ \nu & 1 & 0 \\ 0 & 0 & \frac{1-2\nu}{2} \end{bmatrix} \quad (3.2.7)$$

b) pentru starea plană de deformații

$$\varepsilon_z = \gamma_{yz} = \gamma_{xz} = \tau_{yz} = \tau_{xz} = 0 \quad \text{și} \quad \sigma_z = \nu (\sigma_x + \sigma_y)$$

matricea $[E]$ are forma:

$$[E] = \frac{E}{(1+\nu)(1-2\nu)} \begin{bmatrix} 1-\nu & \nu & 0 \\ \nu & 1-\nu & 0 \\ 0 & 0 & \frac{1-2\nu}{2} \end{bmatrix} \quad (3.2.8)$$

3.3 PRINCIPIUL METODEI ELEMENTELOR FINITE

Pentru determinarea parametrilor din Mecanica ruperii la corpurile cu fisuri prin MEF, se folosesc procedee energetice sau reziduale. Cea mai utilizată metodă energetică este cea bazată pe teorema energiei potențiale minime. Metodele energetice utilizează principii variaționale, potrivit cărora ecuațiile integrale, ce exprimă starea de echilibru a structurii, se obțin prin minimizarea unei mărimi funcționale. În cazul folosirii teoremei energiei potențiale minime, funcționala care trebuie minimizată este energia potențială sau potențialul elementului finit.

Teorema energiei potențiale minime se enunță astfel: "*dintre toate configurațiile posibile pentru deplasări, ce satisfac compatibilitatea internă și condițiile la limită, numai cele pentru care energia potențială are o valoare staționară, minimă, corespund poziției de echilibru*".

Energia potențială totală Π_p , a unui sistem elastic este formată din energia de deformație U și potențialul forțelor exterioare W_p :

$$\Pi_p = U + W_p \quad (3.3.1)$$

Dacă în relația (3.3.1) în locul potențialului forțelor exterioare se introduce lucrul mecanic al forțelor exterioare $W = -W_p$, se obține:

$$\Pi_p = U - W \quad (3.3.2)$$

Energia de deformație U_e , corespunzătoare unui element finit de volum V_e , se exprimă conform teoriei elasticității sub forma:

$$U_e = \frac{1}{2} \int_{V_e} \{\varepsilon\}^T [E] \{\varepsilon\} dV \quad (3.3.3)$$

în care $\{\varepsilon\}$ este vectorul deformațiilor specifice, iar $[E]$ matricea constantelor elastice.

Forțele exterioare ce produc lucru mecanic pot fi forțe de volum (de exemplu greutatea) $\{F\}^T = \{F_x, F_y, F_z\}$, forțe de suprafață (de exemplu sarcinile distribuite, presiunile) $\{Q\}^T = \{Q_x, Q_y, Q_z\}$ sau forțe concentrate ce acționează în nodurile elementului finit $\{p_n\}$.

Forțele de volum și de suprafață sunt proiectate pe direcția componentelor deplasărilor $\{f\}^T = \{u, v, w\}$, pe când forțele ce acționează în noduri sunt dirijate în direcția deplasărilor nodale $\{d\}_e$. Lucrul mecanic al forțelor exterioare pentru un element finit va fi:

$$W_e = \int_{V_e} \{f\}^T \{F\} dV + \int_{S_e} \{f\}^T \{Q\} dS + \{d\}_e^T \{p_n\} \quad (3.3.4)$$

În relația (3.3.4), prima integrală reprezintă lucrul mecanic pe volumul elementului efectuat de forțele de volum, cea de a doua integrală reprezintă lucrul mecanic al forțelor de suprafață, iar ultimul termen este lucrul mecanic al forțelor ce acționează în nodurile elementului finit.

Introdunând relațiile (3.3.3) și (3.3.4) în relația (3.3.2) se obține funcționala energiei potențiale totale pentru un element finit:

$$\Pi_{pe} = \frac{1}{2} \int_{V_e} \{e\}^T [E] \{e\} dV - \int_{V_e} \{f\}^T \{F\} dV - \int_{S_e} \{f\}^T \{Q\} dS - \{d\}_e^T \{p_n\} \quad (3.3.5)$$

Introducând în (3.3.5) deplasările nodale, prin funcțiile de formă, relația (3.2.1) și vectorul $\{e\}$ prin relația (3.2.2) se obține:

$$\begin{aligned} \Pi_{pe} = & \frac{1}{2} \{d\}_e^T \left(\int_{V_e} [B]^T [E] [B] dV \right) \{d\} + \\ & + \{d\}_e^T \int_{V_e} [N]^T \{F\} dV - \{d\}_e^T \int_{S_e} [N]^T \{Q\} dS - \{d\}_e^T \{p_n\} \end{aligned} \quad (3.3.6)$$

Astfel pentru întreaga structură energia potențială va fi suma energiilor potențiale a tuturor celor m elemente finite:

$$\Pi_p = \sum_1^m \Pi_{pe} \quad (3.3.7)$$

sau

$$\begin{aligned} \Pi_p = & \frac{1}{2} \{d\}^T \left(\sum_1^m \int_{V_e} [B]^T [E] [B] dV \right) \{d\} - \\ & - \{d\}^T \sum_1^m \left(\int_{V_e} [N]^T \{F\} dV - \int_{S_e} [N]^T \{Q\} dS \right) - \{d\}^T \{P\} \end{aligned} \quad (3.3.8)$$

În funcționala (3.3.8), care reprezintă energia potențială a întregii structuri $\{d\} = \sum \{d\}_e$ reprezintă deplasările nodale ale întregii structuri iar $\{P\} = \sum \{p_n\}$ forțele nodale pentru întreaga structură.

Aplicarea teoremei energiei potențiale minime înseamnă minimizarea funcționalei (3.3.8) a potențialului structurii, adică anularea derivatei energiei potențiale totale în raport cu toate deplasările nodale:

$$\begin{aligned} \frac{\partial \Pi_p}{\partial (d_i)} &= 0; \text{ cu } i = 1, \dots, n \text{ sau} \\ \frac{\partial \Pi_p}{\partial d_1} & \quad \frac{\partial \Pi_p}{\partial d_2} \quad \dots \quad \frac{\partial \Pi_p}{\partial d_n} = 0 \end{aligned} \quad (3.3.9)$$

unde n reprezintă numărul gradelor de libertate ale structurii.

Se obține un sistem liniar de m ecuații de forma:

$$\left(\sum_1^m \int_{V_e} [B]^T [E] [B] dV \right) \{d\} = \sum_1^m \left(\int_{V_e} [N]^T \{F\} dV + \int_{S_e} [N]^T \{Q\} dS \right) + \{P\} \quad (3.3.10)$$

Membrul stâng al relației (3.3.10) reprezintă matricea de rigiditate a structurii, notată $[K]$:

$$[\mathbf{K}] = \sum_1^m \int_{V_e} [\mathbf{B}]^T [\mathbf{E}] [\mathbf{B}] dV = \sum_1^m [\mathbf{k}_e] \quad (3.3.11)$$

ea se poate exprima în funcție de matricile de rigiditate ale fiecărui element finit:

$$[\mathbf{k}_e] = \int_{V_e} [\mathbf{B}]^T [\mathbf{E}] [\mathbf{B}] dV \quad (3.3.12)$$

Membrul drept al relației (3.3.10) reprezintă vectorul forțelor sau încărcărilor, având componentele:

$$\int_{V_e} [\mathbf{N}]^T \{\mathbf{F}\} - \text{vectorul forțelor de volum pe elementul finit}$$

$$\int_{S_e} [\mathbf{N}]^T \{\mathbf{Q}\} - \text{vectorul forțelor de suprafață pe elementul finit}$$

$$\{\mathbf{P}\} - \text{vectorul forțelor aplicate în nodurile structurii}$$

Se utilizează o scriere concentrată a membrului drept al relației (3.3.10) sub forma:

$$\{\mathbf{R}\} = \sum_1^m \{\mathbf{r}_i\} + \{\mathbf{P}\} \quad (3.3.13)$$

în care

$$\{\mathbf{r}_i\} = \int_{V_e} [\mathbf{N}]^T \{\mathbf{F}\} dV + \int_{S_e} [\mathbf{N}]^T \{\mathbf{Q}\} dS \quad (3.3.14)$$

Astfel sistemul structurii (3.3.10) se scrie concentrat:

$$\left(\sum_1^m [\mathbf{k}_e] \right) \{\mathbf{d}\} = \sum_1^m \{\mathbf{r}_i\} + \{\mathbf{P}\} \quad (3.3.15)$$

sau

$$[\mathbf{K}] \{\mathbf{d}\} = \{\mathbf{R}\} \quad (3.3.16)$$

Relația (3.3.15) stă la baza rezolvării aplicațiilor prin Metoda elementelor finite. Însurarea din relația (3.3.15) a matricilor de rigiditate ale elementelor finite $[\mathbf{k}_e]$ și a vectorilor forțelor pe elementele finite $\{\mathbf{r}_i\}$ se face prin operația de asamblare.

Rezolvarea sistemului de ecuații dat de relația (3.3.16), având ca necunoscute componentele vectorului deplasare $\{\mathbf{d}\}$, permite cunoașterea deplasărilor nodale ale structurii. Apoi cu ajutorul relației (3.2.2) se pot calcula deformațiile specifice $\{\boldsymbol{\varepsilon}\}$, iar apoi prin intermediul legii lui Hooke generalizată, relația (3.2.4), componentele vectorului tensiunilor $\{\boldsymbol{\sigma}\}$. Calculul parametrilor din Mecanica ruperii se face pe baza rezultatelor obținute în urma analizei cu elemente finite: componentele vectorului deplasare $\{\mathbf{d}\}$, componentele vectorului tensiunilor $\{\boldsymbol{\sigma}\}$, etc.

Specific rezolvării prin MEF a corpurilor fisurate este modelarea singularității vârfului fisurii și determinarea parametrilor de Mecanica ruperii pe baza rezultatelor numerice obținute. Aceste aspecte vor fi tratate în continuare.

3.4 MODELAREA SINGULARITĂȚII VÂRFULUI FISURII

Studiile inițiale, de analiză cu elemente finite în probleme de Mecanica ruperii, au utilizat elemente finite convenționale (triunghiulare în deosebi, [W1], [P4]), iar pentru obținerea unei precizii adecvate a câmpurilor singulare de tensiune și deformație de la vârful fisurii a fost necesară o discretizare extrem de fină în jurul vârfului fisurii. Dezvoltările ulterioare au impus utilizarea elementelor finite speciale [H6], [H10], prin care s-au obținut precizii superioare utilizând o discretizare mai grosieră.

S-au evidențiat în timp două procedee distincte pentru modelarea singularității câmpului de tensiune și deformație de la vârful fisurii și anume:

- I.) - prin alegerea unor funcții de interpolare speciale pentru aproximarea deplasărilor;
- II.) - prin schimbarea poziției unor noduri, astfel încât pentru unul din nodurile elementului să se obțină o singularitate a deformațiilor.

Primul procedeu se aplică în general elementelor finite triunghiulare cu 6 noduri, funcțiile de interpolare alegându-se astfel încât la unul din noduri deformațiile specifice să prezinte o singularitate de forma r^{-p} . În lucrările [Y2], [S19], [F2] sunt prezentate astfel de elemente.

Studiile recente, [A1], [F2], [S2], au reliefat că pentru a găsi o soluție numerică eficientă, în cazul problemelor cu discontinuități geometrice de forma fisurilor, este avantajoasă utilizarea unor elemente izoparametrice speciale la vârful fisurii, obținute prin deplasarea nodurilor de la mijlocul laturilor (la elementele izoparametrice cu 8 noduri) spre nodul în care se dorește obținerea singularității. Aceste elemente modelează direct singularitatea câmpului elastic de deformație $1/\sqrt{r}$, în vecinătatea vârfului fisurii, prin intermediul matricii de transformare a coordonatelor.

3.4.1 MODELAREA SINGULARITĂȚII VÂRFULUI FISURII UTILIZÂND ELEMENTE FINITE TRIUNGHIULARE

Primele încercări de modelare a problemelor de Mecanica ruperii cu elemente finite au folosit elementele finite triunghiulare cu 3 sau 6 noduri. Singularitatea câmpului de deformație de la vârful fisurii s-a realizat prin alegerea unor funcții de interpolare speciale.

ELEMENTUL TRIUNGHIULAR CU 3 NODURI

În anul 1971 Tracey, propune pentru modelarea singularității de la vârful fisurii utilizarea elementelor triunghiulare cu 3 noduri de forma celui din Figura 3.4.1.1, [O2].

Pentru a obține o singularitate de ordinul r^{-p} Tracey propune următoarele expresii pentru funcțiile de interpolare, N_i :

$$N_1 = 1 - \xi^p, \quad N_2 = \xi^p(1 - \eta), \quad N_3 = \xi^p \eta \quad (3.4.1.1)$$

unde ξ, η reprezintă coordonatele naturale ale elementului.

Cu expresiile (3.4.3.1) ale funcțiilor de interpolare câmpul de deplasare în interiorul elementului se exprimă :

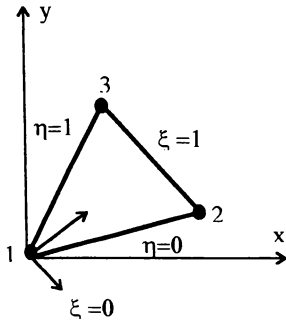


Figura 3.4.1.1

$$\begin{aligned}
 u &= (1 - \xi^p)u_1 + \xi^p(1 - \eta)u_2 + \xi^p\eta u_3 \\
 v &= (1 - \xi^p)v_1 + \xi^p(1 - \eta)v_2 + \xi^p\eta v_3
 \end{aligned}
 \tag{3.4.1.2}$$

u_i, v_i (cu $i = 1, 2, 3$) reprezintă deplasările nodale ale elementului.

Această reprezentare crează o singularitate de ordinul r^p în nodul 1.

Deoarece obținerea unor precizii acceptabile la estimarea parametrilor de Mecanica ruperii necesită determinarea unui număr sporit de informații cu privire la câmpul de deplasări și tensiuni din vecinătatea vârfului fisurii, elementele triunghiulare cu 3 noduri nu satisfac această condiție. Astfel utilizarea elementelor triunghiulare cu 3 noduri impune o discretizare extrem de fină în jurul vârfului fisurii.

O cale convenabilă de eliminare a acestui dezavantaj constă în utilizarea elementelor triunghiulare cu 6 noduri.

ELEMENTUL TRIUNghiULAR CU 6 NODURI

Swenson în lucrarea [S19] prezintă metodologia de utilizare a elementelor triunghiulare cu 6 noduri în cazul problemelor de Mecanica ruperii.

În Figura 3.4.1.2 se prezintă un element triunghiular cu 6 noduri.

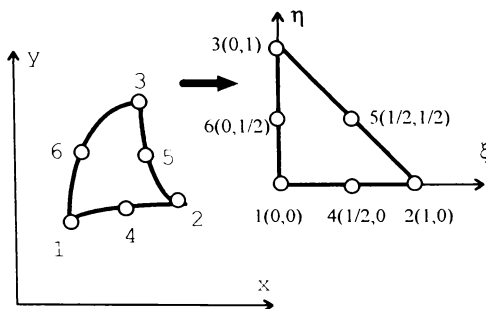


Figura 3.4.1.2

Elementul din Figura 3.4.1.2 este reprezentat mai întâi în sistemul global (x, y) , iar apoi în sistemul natural având coordonatele (ξ, η) , considerând nodurile 4, 5 și 6 dispuse la mijlocul laturilor corespunzătoare.

Funcțiile de interpolare $N_i(\xi, \eta)$ (cu $i = 1, \dots, 6$) exprimate în coordonate naturale, precum și derivatele acestor funcții în raport cu coordonatele naturale ξ, η sunt prezentate în Tabelul 3.4.1.1.

Pe baza acestora și a coordonatelor nodurilor x_i, y_i se pot exprima coordonatele globale x, y :

$$x = \sum_{i=1}^6 N_i x_i, \quad y = \sum_{i=1}^6 N_i y_i$$

Tabelul 3.4.1.1

NOD	$N_i(\xi, \eta)$	$\frac{\partial N_i(\xi, \eta)}{\partial \xi}$	$\frac{\partial N_i(\xi, \eta)}{\partial \eta}$
1	$2\xi^2 - \xi$	$4\xi - 1$	0
2	$2\eta^2 - \eta$	0	$4\eta - 1$
3	$2\xi^2 + 2\eta^2 + 4\xi\eta - 3\xi - 3\eta + 1$	$4\xi + 4\eta - 3$	$4\eta + 4\xi - 3$
4	$4\xi\eta$	4η	4ξ
5	$4\eta - 4\xi\eta - 4\eta^2$	-4η	$4 - 4\xi - 8\eta$
6	$4\xi - 4\xi\eta - 4\xi^2$	$4 - 4\eta - 8\xi$	-4ξ

Câmpul de deplasare se aproximează prin intermediul funcțiilor de interpolare N_i și a deplasărilor nodale u_i, v_i , cu $i = 1, \dots, 6$:

$$u = \sum_{i=1}^6 N_i u_i, \quad v = \sum_{i=1}^6 N_i v_i \tag{3.4.1.3}$$

Deformațiile specifice se exprimă în cazul stării plane de deformație sub forma:

$$\begin{Bmatrix} \varepsilon_x \\ \varepsilon_y \\ \varepsilon_z \\ \gamma_{xy} \end{Bmatrix} = \begin{Bmatrix} \frac{\partial u}{\partial x} \\ \frac{\partial v}{\partial y} \\ 0 \\ \frac{\partial u}{\partial y} + \frac{\partial v}{\partial x} \end{Bmatrix} \tag{3.4.1.4}$$

iar pentru cazul stării plane de tensiune: $\varepsilon_z = \frac{\nu}{1 - \nu}(\varepsilon_x + \varepsilon_y)$

Ținând cont de relațiile (3.4.1.3), expresiile deformațiilor specifice (3.4.1.4) se pot rescrie:

$$\begin{Bmatrix} \varepsilon_x \\ \varepsilon_y \\ \varepsilon_z \\ \gamma_{xy} \end{Bmatrix} = \begin{bmatrix} N_{1,x} & 0 & N_{2,x} & 0 & N_{3,x} & 0 & N_{4,x} & 0 & N_{5,x} & 0 & N_{6,x} & 0 \\ 0 & N_{1,y} & 0 & N_{2,y} & 0 & N_{3,y} & 0 & N_{4,y} & 0 & N_{5,y} & 0 & N_{6,y} \\ 0 & 0 & 0 & 0 & 0 & 0 & 0 & 0 & 0 & 0 & 0 & 0 \\ N_{1,y} & N_{1,x} & N_{2,y} & N_{2,x} & N_{3,y} & N_{3,x} & N_{4,y} & N_{4,x} & N_{5,y} & N_{5,x} & N_{6,y} & N_{6,x} \end{bmatrix} \begin{Bmatrix} u_1 \\ v_1 \\ u_2 \\ v_2 \\ u_3 \\ v_3 \\ u_4 \\ v_4 \\ u_5 \\ v_5 \\ u_6 \\ v_6 \end{Bmatrix}$$

unde $N_{i,x} = \frac{\partial N_i}{\partial x}$, $N_{i,y} = \frac{\partial N_i}{\partial y}$ cu $i = 1, \dots, 6$

Exprimarea derivatelor funcțiilor de interpolare în raport cu coordonatele **x,y** se face prin intermediul matricii de transformare a coordonatelor **[J]**:

$$\begin{Bmatrix} N_{i,\xi} \\ N_{i,\eta} \end{Bmatrix} = [J] \begin{Bmatrix} N_{i,x} \\ N_{i,y} \end{Bmatrix} = \begin{bmatrix} J_{11} & J_{21} \\ J_{12} & J_{22} \end{bmatrix} \begin{Bmatrix} N_{i,x} \\ N_{i,y} \end{Bmatrix}$$

sau :

$$\begin{Bmatrix} N_{i,x} \\ N_{i,y} \end{Bmatrix} = [J]^{-1} \begin{Bmatrix} N_{i,\xi} \\ N_{i,\eta} \end{Bmatrix} = \frac{1}{J_{11}J_{22} - J_{12}J_{21}} \begin{bmatrix} J_{22} & -J_{12} \\ -J_{21} & J_{11} \end{bmatrix} \begin{Bmatrix} N_{i,\xi} \\ N_{i,\eta} \end{Bmatrix}$$

(3.4.1.5)

Coefficienții din matricea transformării se determină pe baza derivatelor funcțiilor de interpolare date în Tabelul 3.4.1.1. cu relația:

$$[J(\xi, \eta)] = \begin{bmatrix} N_{i,\xi} \\ N_{i,\eta} \end{bmatrix} [x_i \ y_i] \tag{3.4.1.6}$$

rezultând:

$$\begin{aligned} J_{11} &= 4\xi(x_1 + x_3 - 2x_6) + 4\eta(x_3 + x_4 - x_5 - x_6) - x_1 - 3x_3 + 4x_6 \\ J_{12} &= 4\xi(y_1 + y_3 - 2y_6) + 4\eta(y_3 + y_4 - y_5 - y_6) - y_1 - 3y_3 + 4y_6 \\ J_{21} &= 4\xi(x_3 + x_4 - x_5 - x_6) + 4\eta(x_2 + x_3 - 2x_6) - x_2 - 3x_3 + 4x_5 \\ J_{22} &= 4\xi(y_3 + y_4 - y_5 - y_6) + 4\eta(y_2 + y_3 - 2y_6) - y_2 - 3y_3 + 4y_5 \end{aligned} \tag{3.4.1.7}$$

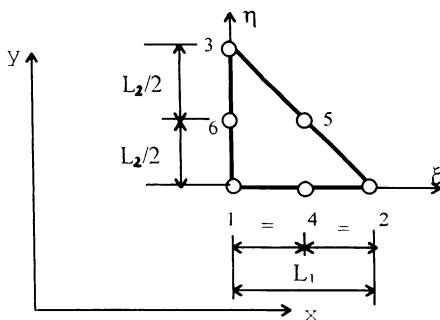
Pentru elementul triunghiular cu laturi drepte și nodurile 4,5,6 situate la mijlocul laturilor corespunzătoare, coeficienții matricii transformării devin constanți pe element:

$$J_{11} = x_1 - x_3, J_{12} = y_1 - y_3, J_{21} = x_2 - x_3, J_{22} = y_2 - y_3$$

reducându-se foarte mult volumul de calcule.

Pentru a demonstra apariția singularității deformației în nodul 1 se consideră elementul din Figura 3.4.1.3.

Exprimând coordonata x pe latura 1-2, unde $\eta = 0$ se obține:



$$x = N_1 x_1 + N_2 x_2 + N_3 x_3$$

unde :

$$x_1 = 0, x_2 = L_1, x_3 = L_1 / 2$$

Figura 3.4.1.3.

Înlocuind expresiile funcțiilor de interpolare date în Tabelul 3.4.1.1 se obține:

$$x = \xi^2 L_1 \text{ sau exprimând coordonata naturală } \xi: \xi = \sqrt{\frac{x}{L_1}} \tag{3.4.1.8}$$

Expresia deplasării după direcția x se exprimă pentru latura 1 - 2, conform relației (3.4.1.3)

$$u = N_1 u_1 + N_2 u_2 + N_4 u_4 = (2\xi^2 - \xi)u_1 \Rightarrow \frac{\partial u}{\partial \xi} = (4\xi - 1)u_1 \tag{3.4.1.9}$$

iar deformația specifică:

$$\epsilon_x = \frac{\partial u}{\partial x} = \frac{\partial u}{\partial \xi} \frac{\partial \xi}{\partial x} = \left(4\sqrt{\frac{x}{L_1}} - 1\right)u_1 \frac{1}{2\sqrt{L_1}} \frac{1}{\sqrt{x}} = \left(\frac{2}{L_1} - \frac{1}{2\sqrt{L_1 x}}\right)u_1 \tag{3.4.1.10}$$

Din relația (3.4.1.10) se observă că pentru $x \rightarrow 0$, în nodul 1 deformația specifică ϵ_x prezintă o singularitate de ordinul $x^{-1/2}$. Analog se poate arăta că și celelalte deformații specifice ϵ_y și γ_{xy} prezintă singularități de același ordin în nodul 1.

Utilizarea acestui tip de element finit este mai eficientă decât utilizarea elementului finit triunghiular cu trei noduri.

Diverși cercetători au fost preocupați de găsirea altor funcții de interpolare pentru elementul triunghiular cu 6 noduri (Figura 3.4.1.4), pentru modelarea singularității vârfului fisurii. În lucrările [H6], [O2] sunt prezentate astfel de funcții de interpolare. În Tabelul 3.4.1.2 se prezintă o sinteză a acestora.

Tabelul 3.4.1.2

Nod	Funcția de interpolare	Blackburn - 1973	Hellen - 1977	Stern, Becker - 1978
1	N_1	1	1	1
2	N_2	ξ	ξ	ξ
3	N_3	η	η	η
4	N_4	$\frac{\xi}{\sqrt{\xi + \eta}}$	$\frac{\xi}{\sqrt{\xi + \eta}}$	$\frac{\xi}{\sqrt{\xi + \eta}}$
5	N_5	$\frac{\eta}{\sqrt{\xi + \eta}}$	$\frac{\eta}{\sqrt{\xi + \eta}}$	$\frac{\eta}{\sqrt{\xi + \eta}}$
6	N_6	$\frac{\xi\eta}{\sqrt{\xi + \eta}}$	$\frac{\xi\eta}{\xi + \eta}$	$\frac{3}{2} \frac{\xi\eta}{\xi + \eta}$

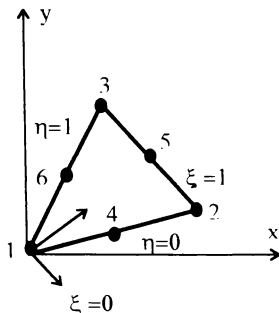


Figura 3.4.1.4

Oricare din elemente triunghiulare cu 3, respectiv 6 noduri prezentat anterior, permite modelarea singularității vârfului fisurii prin alegerea unor funcții de interpolare speciale care să aproximeze deplasările elementului.

Cu ajutorul acestor elemente s-au dezvoltat programe speciale de calcul care modelează singularitatea câmpului de deformație și deplasare la elementele din jurul vârfului fisurii.

3.4.2 ELEMENTE FINITE IZOPARAMETRICE

Elementele finite izoparametrice se pot utiliza cu succes în problemele de Mecanica ruperii. Expriamarea funcțiilor de interpolare ale acestora se face în coordonate naturale. Prin coordonate naturale se înțelege exprimarea coordonatelor nodurilor elementelor finite în două sisteme de coordonate unul global pentru întregul domeniu discretizat și unul local pentru fiecare element în parte, Figura 3.4.2.1. Originea sistemului local se alege de obicei în centrul de greutate al elementului iar coordonatele naturale se obțin prin raportarea coordonatelor globale la mărimile caracteristice ale elementului finit (lungimi sau arii), practic aceste coordonate pot fi asimilate ca și coordonate normalizate.

Dacă se utilizează coordonatele naturale iar originea sistemului coincide cu centrul de greutate al elementului finit, domeniul de variație al coordonatelor naturale asociate elementului respectiv este [-1; 1].

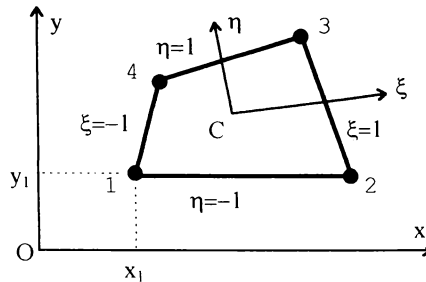


Figura 3.4.2.1

Se va considera în continuare un element patrulater oarecare, utilizat în cazul problemelor plane bidimensionale. Pentru acesta relațiile dintre coordonatele globale (x,y) și cele naturale (ξ,η) sunt date de expresiile:

$$\begin{aligned}
 x &= \frac{1}{4}[(1-\xi)(1-\eta)x_1 + (1+\xi)(1-\eta)x_2 + (1+\xi)(1+\eta)x_3 + (1-\xi)(1+\eta)x_4] \\
 y &= \frac{1}{4}[(1-\xi)(1-\eta)y_1 + (1+\xi)(1-\eta)y_2 + (1+\xi)(1+\eta)y_3 + (1-\xi)(1+\eta)y_4]
 \end{aligned}
 \tag{3.4.2.1}$$

unde x_1, y_1, \dots reprezintă coordonatele nodurilor exprimate în sistemul de coordonate global. Într-o scriere concentrată relațiile (3.4.2.1) se pot exprima:

$$x = \sum_{i=1}^4 N_i x_i \quad y = \sum_{i=1}^4 N_i y_i \tag{3.4.2.2}$$

în care funcțiile de aproximare au expresia generală:

$$N_i = \frac{1}{4} (1 + \xi \xi_i) (1 + \eta \eta_i) \tag{3.4.2.3}$$

iar (x_i, y_i) sunt coordonatele nodului i în sistemul xOy , respectiv (ξ, η) sunt coordonatele nodului i în sistemul $\xi C\eta$ ($\xi_i, \eta_i = \pm 1$).

Relația (3.4.2.3) este valabilă pentru elementele izoparametrice cu 4 noduri, Figura 3.4.2.2.a, numite și elemente izoparametrice 2D liniare [S17].

Un alt tip de element izoparametric este cel cu 8 noduri, Fig.3.4.2.2.b, pentru care forma funcțiilor de aproximare este, conform [S6]:

- pentru nodurile 1-4 cu $\xi_i, \eta_i = \pm 1$

$$N_i = \frac{1}{4} (1 + \xi \xi_i)(1 + \eta \eta_i)(\xi \xi_i + \eta \eta_i - 1)$$

- pentru nodurile 5,7 la $\xi_i = 0, \eta_i = \pm 1$

$$N_i = \frac{1}{2} (1 - \xi^2)(1 + \eta \eta_i) \tag{3.4.2.4}$$

- pentru nodurile 6,8 la $\xi_i = \pm 1, \eta_i = 0$

$$N_i = \frac{1}{2} (1 - \xi \xi_i)(1 - \eta^2)$$

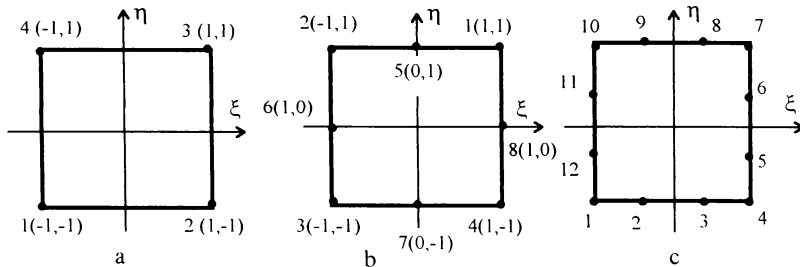


Figura 3.4.2.2

Iar pentru elementul izoparametric cu 12 noduri, Fig.3.4.2.2.c, expresiile funcțiilor de aproximare sunt:

- pentru nodurile 1,4,7,10 cu $\xi_i, \eta_i = \pm 1$:

$$N_i = \frac{1}{32} (1 + \xi \xi_i)(1 + \eta \eta_i)[9(\xi^2 + \eta^2) - 10]$$

- pentru nodurile 5,6,11,12 cu $\xi_i = \pm 1, \eta_i = \pm \frac{1}{3}$:

$$N_i = \frac{9}{32} (1 - \xi \xi_i)(1 - \eta^2)(1 + 9\eta \eta_i) \tag{3.4.2.5}$$

- pentru nodurile 2,3,8,9 cu $\xi_i = \pm \frac{1}{3}, \eta_i = \pm 1$:

$$N_i = \frac{9}{32} (1 - \eta \eta_i)(1 - \xi^2)(1 + 9\xi \xi_i)$$

Se consideră elementul patrulater cu 4 noduri din Fig.3.4.2.2.a având 8 grade de libertate : deplasările u_i, v_i ale fiecărui nod i ($i=1,2,3,4$). În sistemul de coordonate naturale $\xi C\eta$ funcțiile de aproximare au forma dată de relația (3.4.2.3):

$$N_1 = \frac{1}{4} (1-\xi) (1-\eta) ; N_2 = \frac{1}{4} (1+\xi) (1-\eta) \tag{3.4.2.6}$$

$$N_3 = \frac{1}{4} (1+\xi) (1+\eta) ; N_4 = \frac{1}{4} (1-\xi) (1+\eta)$$

iar componentele vectorului deplasare se exprimă prin intermediul acestora în funcție de deplasările nodale u_i, v_i :

$$\begin{aligned} u(\xi, \eta) &= N_1 u_1 + N_2 u_2 + N_3 u_3 + N_4 u_4 \\ v(\xi, \eta) &= N_1 v_1 + N_2 v_2 + N_3 v_3 + N_4 v_4 \end{aligned} \tag{3.4.2.7}$$

Într-o formă concentrată vectorul deplasare devine:

$$f(\xi, \eta) = \begin{Bmatrix} u \\ v \end{Bmatrix} = \begin{bmatrix} N_1 & 0 & N_2 & 0 & N_3 & 0 & N_4 & 0 \\ 0 & N_1 & 0 & N_2 & 0 & N_3 & 0 & N_4 \end{bmatrix} \begin{Bmatrix} u_1 \\ v_1 \\ \vdots \\ u_4 \\ v_4 \end{Bmatrix} \quad (3.4.2.8)$$

Trecerea de la sistemul de coordonate global \mathbf{xOy} la sistemul natural $\xi C\eta$ este dată de relația (3.4.2.2), care se poate scrie concentrat:

$$\begin{Bmatrix} x(\xi, \eta) \\ y(\xi, \eta) \end{Bmatrix} = \begin{bmatrix} N_1 & 0 & N_2 & 0 & N_3 & 0 & N_4 & 0 \\ 0 & N_1 & 0 & N_2 & 0 & N_3 & 0 & N_4 \end{bmatrix} \begin{Bmatrix} x_1 \\ y_1 \\ \vdots \\ x_4 \\ y_4 \end{Bmatrix} \quad (3.4.2.9)$$

Pentru calculul matricei de rigiditate și vectorului încărcării elementului este necesară exprimarea matricei de legătură dintre deformații specifice și deplasări, $[B]$ în sistemul natural $\xi C\eta$. Relațiile dintre derivatele deplasărilor în sistemele $\xi C\eta$ și \mathbf{xOy} sunt date de:

$$\frac{\partial u}{\partial \xi} = \frac{\partial u}{\partial x} \frac{\partial x}{\partial \xi} + \frac{\partial u}{\partial y} \frac{\partial y}{\partial \xi} \quad (3.4.2.10)$$

$$\frac{\partial u}{\partial \eta} = \frac{\partial u}{\partial x} \frac{\partial x}{\partial \eta} + \frac{\partial u}{\partial y} \frac{\partial y}{\partial \eta}$$

Utilizând notațiile $()_{,\xi}$ derivata parțială în raport cu ξ , respectiv $()_{,x}$ derivata parțială în raport cu x etc, relațiile dintre derivatele parțiale pot fi scrise sub forma matriceală:

$$\begin{Bmatrix} ()_{,\xi} \\ ()_{,\eta} \end{Bmatrix} = \begin{bmatrix} x_{,\xi} & y_{,\xi} \\ x_{,\eta} & y_{,\eta} \end{bmatrix} \begin{Bmatrix} ()_{,x} \\ ()_{,y} \end{Bmatrix} = [J] \begin{Bmatrix} ()_{,x} \\ ()_{,y} \end{Bmatrix} \quad (3.4.2.11)$$

Matricea $[J]$ din relația (3.4.2.11) este matricea Jacobianului transformării. Ținând cont de relația (3.4.2.9) matricea Jacobianului transformării se poate scrie sub forma:

$$[J(\xi, \eta)] = \begin{bmatrix} N_{1,\xi} & N_{2,\xi} & N_{3,\xi} & N_{4,\xi} \\ N_{1,\eta} & N_{2,\eta} & N_{3,\eta} & N_{4,\eta} \end{bmatrix} \begin{bmatrix} x_1 & y_1 \\ x_2 & y_2 \\ x_3 & y_3 \\ x_4 & y_4 \end{bmatrix} \quad (3.4.2.12)$$

care se poate explicita cu ușurință ținând seama de (3.4.2.6).

Prin inversarea relației (3.4.2.11) se pot exprima derivatele în raport cu x și y în funcție de derivatele în raport cu ξ și η :

$$\begin{Bmatrix} ()_{,x} \\ ()_{,y} \end{Bmatrix} = [J]^{-1} \begin{Bmatrix} ()_{,\xi} \\ ()_{,\eta} \end{Bmatrix} \tag{3.4.2.13}$$

Cu ajutorul relației (3.4.2.13) se determină derivatele deplasărilor u și v :

$$\begin{Bmatrix} u_{,x} \\ u_{,y} \\ v_{,x} \\ v_{,y} \end{Bmatrix} = \begin{bmatrix} J_{11}^{-1} & J_{12}^{-1} & 0 & 0 \\ J_{21}^{-1} & J_{22}^{-1} & 0 & 0 \\ 0 & 0 & J_{11}^{-1} & J_{12}^{-1} \\ 0 & 0 & J_{21}^{-1} & J_{22}^{-1} \end{bmatrix} \begin{Bmatrix} u_{,\xi} \\ u_{,\eta} \\ v_{,\xi} \\ v_{,\eta} \end{Bmatrix} \tag{3.4.2.14}$$

în care derivatele de forma $u_{,x}$ sunt direct calculabile din relația (3.4.2.8):

$$\begin{Bmatrix} u_{,\xi} \\ u_{,\eta} \\ v_{,\xi} \\ v_{,\eta} \end{Bmatrix} = \begin{bmatrix} N_{1,\xi} & 0 & N_{2,\xi} & 0 & N_{3,\xi} & 0 & N_{4,\xi} & 0 \\ N_{1,\eta} & 0 & N_{2,\eta} & 0 & N_{3,\eta} & 0 & N_{4,\eta} & 0 \\ 0 & N_{1,\xi} & 0 & N_{2,\xi} & 0 & N_{3,\xi} & 0 & N_{4,\xi} \\ 0 & N_{1,\eta} & 0 & N_{2,\eta} & 0 & N_{3,\eta} & 0 & N_{4,\eta} \end{bmatrix} \begin{Bmatrix} u_1 \\ v_1 \\ \cdot \\ u_4 \\ v_4 \end{Bmatrix} \tag{3.4.2.15}$$

În continuare ținând cont de relația dintre deformațiile specifice și deplasări, relația (3.2.3), care se poate scrie sub forma:

$$\{\mathcal{E}\} = \begin{Bmatrix} \mathcal{E}_x \\ \mathcal{E}_y \\ \gamma_{xy} \end{Bmatrix} = \begin{bmatrix} 1 & 0 & 0 & 0 \\ 0 & 0 & 0 & 1 \\ 0 & 1 & 1 & 0 \end{bmatrix} \begin{Bmatrix} u_{,x} \\ u_{,y} \\ v_{,x} \\ v_{,y} \end{Bmatrix} \tag{3.4.2.16}$$

obținând astfel matricea $[B(\xi, \eta)]$ prin înlocuirea relațiilor (3.4.2.14) și (3.4.2.15) în (3.2.2). Această operație se realizează numeric fiind ușor de programat pe calculator.

Având calculată matricea $[B(\xi, \eta)]$ și expresia matricei $[E]$ (cu una din formele (3.2.7) sau (3.2.8) în funcție de ipoteza de calcul), se poate calcula matricea de rigiditate a elementului finit $[k]$:

$$[k] = \int_v [B(\xi, \eta)]^T [E] [B(\xi, \eta)] dV \tag{3.4.2.17}$$

În continuare trebuie calculați vectorii datorăți încărcărilor exterioare: vectorul forțelor de volum $\{F\}$ este uzual constant pe domeniul elementului finit iar vectorul forțelor de suprafață se calculează admitând ipoteza că variația presiunii pe o latură a elementului finit este descrisă tot de funcțiile de aproximare $[N_i N_j]$ și de valorile presiunii p_i, p_j în noduri:

$$\{Q(\xi, \eta)\} = [N_i(\xi, \eta) \quad N_j(\xi, \eta)] \begin{Bmatrix} p_i \\ p_j \end{Bmatrix} \quad (3.4.2.18)$$

în care i și j sunt nodurile ce definesc latura încărcată.

Astfel se obțin integrale, în care $F(\xi, \eta)$ reprezintă o matrice sau un vector, $\det [J(\xi, \eta)]$ determinantul matricei lui Jacobi de trecere de la elementul de arie $dx dy$ la elementul de arie $d\xi d\eta$, de forma:

$$\int_{Se} F(\xi, \eta) dx dy = \int_{-1}^1 \int_{-1}^1 F(\xi, \eta) \det[J(\xi, \eta)] d\xi d\eta \quad (3.4.2.19)$$

$$[k] = \int_{-1}^1 \int_{-1}^1 [B(\xi, \eta)]^T [E] [B(\xi, \eta)] \det[J(\xi, \eta)] d\xi d\eta$$

Aceste integrale se efectuează numeric, conform cuadraturii lui Gauss. Aceasta este o metodă numerică de evaluare a integralelor, care aproximează o integrală printr-o sumă de arii de forma:

$$I = \int_{-1}^1 f(\xi) d\xi \cong \sum_{i=1}^n H_i f(a_i)$$

unde H_i se numesc ponderi sau coeficienți de pondere Gauss iar a_i sunt coordonatele punctelor Gauss.

De exemplu integrarea matricei de rigiditate $[k]$, relația (3.4.2.17), se face cu relația:

$$[k] = \sum_{i=1}^n \sum_{j=1}^n H_i H_j [B(\xi_i, \eta_j)]^T [E] [B(\xi_i, \eta_j)] \det[J(\xi_i, \eta_j)] \quad (3.4.2.20)$$

În cazul problemelor plane ce folosesc elemente izoparametrice plane elementul de volum $dV = h dx dy$, cu h reprezentând grosimea elementului.

După evaluarea numerică a integralelor $[k]$ se trece la asamblarea matricei de rigiditate a sistemului $[K]$ și apoi la rezolvarea sistemului de ecuații; obținându-se valorile deplasărilor nodale.

Identice se procedează și în cazul folosirii elementelor izoparametrice cu 8 noduri sau cu 12 noduri, ținând cont de expresiile corespunzătoare ale funcțiilor de aproximare (relațiile (3.4.2.4), respectiv (3.4.2.5)) și de numărul gradelor de libertate ale elementului.

Utilizarea acestor tipuri de elemente finite în problemele de Mecanica ruperii este la ora actuală destul de restrânsă, deoarece nu realizează o singularitate a câmpului de tensiuni și deformații. Totuși folosind o discretizare suficient de fină în jurul vârfului fisurii se poate pune în evidență puternica concentrare a tensiunilor din jurul fisurii și chiar determinarea parametrilor de rupere prin metoda extrapolării deplasărilor sau tensiunilor, respectiv prin metoda integralei J .

3.4.3 MODELAREA SINGULARITĂȚII VÂRFULUI FISURII UTILIZÂND ELEMENTE FINITE IZOPARAMETRICE SPECIALE

Introducerea unor elemente finite izoparametrice speciale, care să modeleze singularitatea câmpului de deformăție și tensiune de la vârful fisurii, a fost necesară deoarece discretizarea structurii, a trebuit făcută într-un număr mare elemente finite "convenționale", ceea ce a dus la sisteme algebrice cu foarte multe ecuații, pentru rezolvarea cărora s-a impus necesitatea utilizării unor calculatoare cu o memorie foarte mare și cu o viteză de lucru adecvată. Avantajul principal al elementelor ce pot modela singularitățile de la vârful fisurii, este că prin utilizarea lor scade considerabil numărul de elemente finite în care se discretizează structura. Aceste elemente speciale sunt tratate pe larg în lucrarea [O2] iar mulți cercetători sunt preocupați astăzi de găsirea unor noi astfel de elemente (de exemplu lucrările [A1], [C3], [R1], [S3], etc..)

O cale convenabilă de introducere a unei singularități de forma $1/\sqrt{r}$ într-un element dreptunghiular izoparametric cu 8 noduri, constă în schimbarea poziției nodurilor de la mijlocul laturilor.

ELEMENT IZOPARAMETRIC CU 8 NODURI LA CARE SINGULARITATEA CÂMPULUI DE DEFORMAȚIE SE OBTINE PRIN DEPLASAREA NODURILOR DE LA MIJLOCUL LATURILOR, ADIACENTE VÂRFULUI FISURII, LA O DISTANȚĂ DE 1/4 DIN LUNGIMEA LATURII SPRE NODUL CORESPUNZĂTOR VÂRFULUI FISURII.

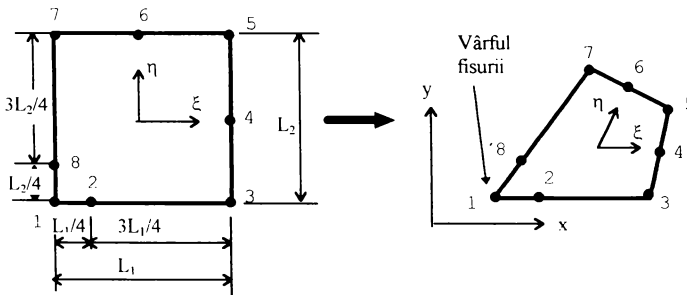


Figura 3.4.3.1

Se consideră un element izoparametric dreptunghiular, având 8 noduri, Figura 3.4.3.1. Singularitatea dorită se poate obține prin deplasarea nodurilor 2 și 8 din poziția de la mijlocul laturilor 1-3, respectiv 1-7, la o distanță de $1/4$ din laturile respective față de nodul 1. Considerând latura 1-3 definită de $\eta = -1$ funcțiile de interpolare, date de relațiile (3.4.2.4), pentru nodurile situate pe această latură vor fi:

$$\begin{aligned} N_1 &= -1/2 \xi (1-\xi) \\ N_2 &= 1-\xi^2 \\ N_3 &= 1/2 \xi (1+\xi) \end{aligned} \tag{3.4.3.1}$$

Apoi cu relația (3.4.2.2) coordonata x, pentru latura 1-3 a elementului se poate scrie:

$$x = \sum_{i=1}^3 N_i x_i = -\frac{1}{2} \xi(1-\xi) x_1 + (1-\xi^2) x_2 + \frac{1}{2} \xi(1+\xi) x_3 \tag{3.4.3.2}$$

O expresie analitică similară obținându-se și pentru coordonata y. Localizând originea în nodul 1 și notând lungimea laturii cu L₁, rezultă : x₁ = 0, x₂ = L₁/4 și x₃ = L₁.

Din relația (3.4.3.2) se obține:

$$x = 1/2 \xi (1+\xi) L_1 + (1-\xi^2) L_1/4 \tag{3.4.3.3}$$

sau

$$\xi = -1 + 2\sqrt{\frac{x}{L_1}} \tag{3.4.3.4}$$

În determinantul lui Jacobi dat de relația (3.4.2.12) termenul de forma $\partial x / \partial \xi$ se calculează pe baza relațiilor (3.4.3.3), (3.4.3.4) astfel:

$$\frac{\partial x}{\partial \xi} = \frac{L_1}{2} (1+\xi) = \sqrt{\frac{x}{L_1}} \tag{3.4.3.5}$$

Astfel determinantul lui Jacobi este singular în nodul 1 unde x = 0. Variația deplasării de-a lungul laturii 1-3 este dată de relația (3.4.2.7) astfel:

$$u = \sum_{i=1}^3 N_i u_i = -\frac{1}{2} \xi(1-\xi) u_1 + (1-\xi^2) u_2 + \frac{1}{2} \xi(1+\xi) u_3 \tag{3.4.3.6}$$

Înlocuind pe ξ cu expresia dată de (3.4.3.4) se obține:

$$u = -\frac{1}{2} (-1 + 2\sqrt{\frac{x}{L_1}}) (2 - 2\sqrt{\frac{x}{L_1}}) u_1 + 4(\sqrt{\frac{x}{L_1}} - \frac{x}{L_1}) u_2 + \frac{1}{2} (-1 + 2\sqrt{\frac{x}{L_1}}) (2\sqrt{\frac{x}{L_1}}) u_3 \tag{3.4.3.7}$$

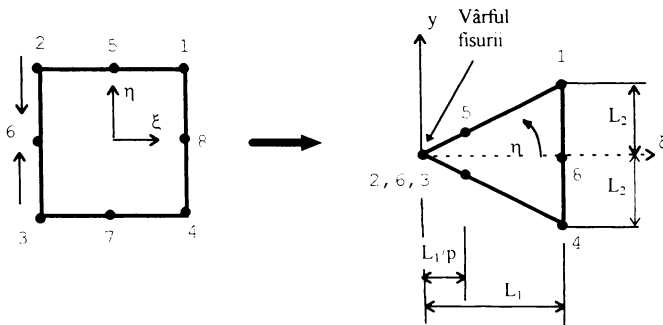
Deformația specifică pe direcția x va fi :

$$\begin{aligned} \varepsilon_x &= \frac{\partial u}{\partial x} = \frac{\partial \xi}{\partial x} \frac{\partial u}{\partial \xi} = \\ &= -\frac{1}{2} \left(\frac{3}{\sqrt{xL_1}} - \frac{4}{L_1} \right) u_1 + \left(\frac{2}{\sqrt{xL_1}} - \frac{4}{L_1} \right) u_2 + \frac{1}{2} \left(-\frac{1}{\sqrt{xL_1}} + \frac{4}{L_1} \right) u_3 \end{aligned} \tag{3.4.3.8}$$

Se observă că variația deformației specifice ε_x , exprimată de-a lungul laturii 1-3, rel. (3.4.3.8) prezintă o singularitate de ordinul $1/\sqrt{x}$, sau exprimând în funcție de raza polară de ordinul $1/\sqrt{r}$, în nodul 1. Aceiași variație a deformației specifice radiale se obține și pentru componenta ε_y . Întrucât variația deformațiilor specifice radiale pe razele din interiorul elementului, ce pornesc din nodul 1, nu este de ordinul $1/\sqrt{r}$, acest dezavantaj poate fi înlăturat utilizând un element izoparametric special, ce va fi prezentat în continuare.

ELEMENT IZOPARAMETRIC SPECIAL OBTINUT PRIN SUPRAPUNEREA A TREI NODURI ȘI DEPLASAREA NODURILOR DE LA MIJLOCUL LATURILOR ADIACENTE NODULUI CE MODELEAZĂ VÂRFUL FISURII

Pentru realizarea singularității câmpului de deformație în nodul 2, pe toate razele polare ce pornesc din acest nod Schmitt în lucrarea [S2] propune utilizarea unui element triunghiular, care se obține din elementul dreptunghiular cu 8 noduri, prin suprapunerea nodurilor 2, 6 și 3, Fig.3.4.3.2 și în acest caz nodurile 7 și 5 aparținând laturilor 3-4, respectiv 1-2 se deplasează de la mijlocul acestora la un sfert din latura L_1 , spre nodul 2. În acest caz coordonatele naturale ξ și η devin chiar coordonate polare (r,θ) .



a. Figura 3.4.3.2 b.

Pornind de la recomandările lui Schmitt, s-a realizat un studiu privind poziția nodurilor adiacente vârfului fisurii, care constituie o contribuție a autorului. În acest scop am introdus parametrul p , care definește poziția nodurilor adiacente vârfului fisurii, în funcție de care se va studia crearea singularității de la vârful fisurii.

Expresiile funcțiilor de interpolare sunt date de relația, [S2]:

$$N_i(\xi, \eta) = (1 + \xi)^2 \frac{\eta_i^2}{4} (1 + \eta \eta_i) (3\xi_i^2 - 2) + (1 + \xi) \left\{ \frac{\eta_i^2}{4} (1 + \eta \eta_i) (2 - 3\xi_i^2) + \frac{\xi_i^3}{4} \left[\eta_i^2 (\eta \eta_i + \eta^2) + 2(1 - \eta^2)(1 - \eta_i^2) \right] \right\} + \frac{\xi_i^2}{4} (1 - \xi) \left[\eta_i^2 (\eta \eta_i + \eta^2) + 2(1 - \eta^2)(1 - \eta_i^2) \right] \quad (3.4.3.9.)$$

După cum rezultă din Figura 3.4.3.2.a, coordonatele naturale ale nodurilor ξ_i, η_i sunt date în Tabelul 3.4.3.1

Tabelul 3.4.3.1

i	1	2	3	4	5	6	7	8
ξ_i	1	-1	-1	1	0	-1	0	-1
η_i	1	1	-1	-1	1	0	-1	0

Pentru elementul degenerat obținut prin suprapunerea nodurilor 2, 6, 3, Figura 3.4.3.2.b și deplasarea nodurilor 5 și 7 la distanța L_1/p coordonatele nodurilor în sistemul global sunt date în Tabelul 3.4.3.2.

Tabelul 3.4.3.2

i	1	2	3	4	5	6	7	8
x	L_1	0	0	L_1	L_1/p	0	L_1/p	L_1
y	L_2	0	0	$-L_2$	L_2/p	0	$-L_2/p$	0

Conform relațiilor (3.4.2.2) coordonatele x, y exprimate cu ajutorul funcțiilor de interpolare $N_i(\xi, \eta)$ și de coordonatele nodurilor x_i, y_i devin:

$$x = \sum_{i=1}^8 N_i(\xi, \eta) x_i = \frac{L_1}{2} \left[(1 + \xi)^2 \left(1 - \frac{2}{p} \right) - (1 + \xi) \left(1 - \frac{4}{p} \right) \right] \quad (3.4.3.10)$$

$$y = \sum_{i=1}^8 N_i(\xi, \eta) y_i = \frac{L_2 \eta}{2} \left[(1 + \xi)^2 \left(1 - \frac{2}{p} \right) - (1 + \xi) \left(1 - \frac{4}{p} \right) \right]$$

Expresiile funcțiilor de interpolare $N_i(\xi, \eta)$ precum și derivatele acestora în raport cu ξ, η $\partial N_i(\xi, \eta) / \partial \xi$ și $\partial N_i(\xi, \eta) / \partial \eta$ sunt prezentate în Tabelul 3.4.3.3.

Tabelul 3.4.3.3

i	$N_i(\xi, \eta)$	$\frac{\partial N_i(\xi, \eta)}{\partial \xi}$	$\frac{\partial N_i(\xi, \eta)}{\partial \eta}$
	$\frac{1}{4}(1+\xi)^2(1+\eta) + \frac{1}{4}(1+\xi)(1+\eta)(\eta-2)$	$\frac{1}{2}(1+\xi)(1+\eta) + \frac{1}{4}(1+\eta)(\eta-2)$	$\frac{1}{4}(1+\xi)^2 + \frac{1}{4}(1+\xi)(2\eta-1)$
2	$\frac{1}{4}(1+\xi)^2(1+\eta) - \frac{1}{4}(1+\xi)(1+\eta)(\eta+2) + \frac{1}{2}(\eta+\eta^2)$	$\frac{1}{2}(1+\xi)(1+\eta) - \frac{1}{4}(1+\eta)(\eta+2)$	$\frac{1}{4}(1+\xi)^2 - \frac{1}{4}(1+\xi)(3+2\eta) + \frac{1}{2}(1+2\eta)$
3	$\frac{1}{4}(1+\xi)^2(1-\eta) + \frac{1}{4}(1+\xi)(1-\eta)(\eta-2) + \frac{1}{2}(-\eta+\eta^2)$	$\frac{1}{2}(1+\xi)(1-\eta) + \frac{1}{4}(1-\eta)(\eta-2)$	$-\frac{1}{4}(1+\xi)^2 + \frac{1}{4}(1+\xi)(3-2\eta) + \frac{1}{2}(-1+2\eta)$
4	$\frac{1}{4}(1+\xi)^2(1-\eta) - \frac{1}{4}(1+\xi)(1-\eta)(\eta+2)$	$\frac{1}{2}(1+\xi)(1-\eta) - \frac{1}{4}(1-\eta)(\eta+2)$	$-\frac{1}{4}(1+\xi)^2 + \frac{1}{4}(1+\xi)(2\eta+1)$
5	$-\frac{1}{2}(1+\xi)^2(1+\eta) + (1+\xi)(1+\eta)$	$-(1+\xi)(1+\eta) + (1+\eta)$	$-\frac{1}{2}(1+\xi)^2 + (1+\xi)$
6	$-\frac{1}{2}(1+\xi)(1-\eta^2) + (1-\eta^2)$	$-\frac{1}{2}(1-\eta^2)$	$(1+\xi)\eta - 2\eta$
7	$-\frac{1}{2}(1+\xi)^2(1-\eta) + (1+\xi)(1-\eta)$	$-(1+\xi)(1-\eta) + (1-\eta)$	$\frac{1}{2}(1+\xi)^2 - (1+\xi)$
8	$\frac{1}{2}(1+\xi)(1-\eta^2)$	$\frac{1}{2}(1-\eta^2)$	$-(1+\xi)\eta$

Exprimând coordonatele polare (r, θ) , se obține:

$$r = \sqrt{x^2 + y^2} = \frac{1}{2} \sqrt{L_1^2 + L_2^2 \eta^2} (1 + \xi) \left[(1 + \xi) \left(1 - \frac{2}{\rho} \right) - \left(1 - \frac{4}{\rho} \right) \right]$$

$$\operatorname{tg} \theta = \frac{y}{x} = \frac{L_2 \eta}{L_1}$$
(3.4.3.11)

Deformațiile specifice date de relațiile (3.4.2.16), se pot exprima:

$$\varepsilon_x = \frac{\partial u}{\partial x} = \frac{\partial u}{\partial \xi} \frac{\partial \xi}{\partial x} + \frac{\partial u}{\partial \eta} \frac{\partial \eta}{\partial x}$$

$$\varepsilon_y = \frac{\partial v}{\partial y} = \frac{\partial v}{\partial \xi} \frac{\partial \xi}{\partial y} + \frac{\partial v}{\partial \eta} \frac{\partial \eta}{\partial y}$$

$$\gamma_{xy} = \frac{1}{2} \left(\frac{\partial u}{\partial y} + \frac{\partial v}{\partial x} \right) = \frac{1}{2} \left(\frac{\partial u}{\partial \xi} \frac{\partial \xi}{\partial y} + \frac{\partial u}{\partial \eta} \frac{\partial \eta}{\partial y} + \frac{\partial v}{\partial \xi} \frac{\partial \xi}{\partial x} + \frac{\partial v}{\partial \eta} \frac{\partial \eta}{\partial x} \right)$$
(3.4.3.12)

În relațiile (3.4.3.12) apar derivatele $\frac{\partial \xi}{\partial x}, \frac{\partial \xi}{\partial y}, \frac{\partial \eta}{\partial x}, \frac{\partial \eta}{\partial y}$, care se calculează pe baza matricei transformării coordonatelor **[J]**:

$$[J] = \begin{bmatrix} \frac{\partial x}{\partial \xi} & \frac{\partial y}{\partial \xi} \\ \frac{\partial x}{\partial \eta} & \frac{\partial y}{\partial \eta} \end{bmatrix} = \begin{bmatrix} J_{11} & J_{12} \\ J_{21} & J_{22} \end{bmatrix}$$

Componentele matricei transformării coordonatelor sunt:

$$J_{11} = \frac{\partial x}{\partial \xi} = L_1 \left[(1 + \xi) \left(1 - \frac{2}{\rho} \right) - \frac{1}{2} \left(1 - \frac{4}{\rho} \right) \right]$$

$$J_{21} = \frac{\partial x}{\partial \eta} = 0$$

$$J_{12} = \frac{\partial y}{\partial \xi} = L_2 \eta \left[(1 + \xi) \left(1 - \frac{2}{\rho} \right) - \frac{1}{2} \left(1 - \frac{4}{\rho} \right) \right] = \frac{L_2 \eta}{L_1} J_{11}$$

$$J_{22} = \frac{\partial y}{\partial \eta} = \frac{L_2}{2} \left[(1 + \xi)^2 \left(1 - \frac{2}{\rho} \right) - (1 + \xi) \left(1 - \frac{4}{\rho} \right) \right] = \frac{r L_2}{\sqrt{L_1^2 + L_2^2 \eta^2}}$$
(3.4.3.13)

Deoarece în relațiile (3.4.3.12) apar derivatele $\frac{\partial \xi}{\partial x}, \frac{\partial \xi}{\partial y}, \frac{\partial \eta}{\partial x}, \frac{\partial \eta}{\partial y}$ este necesară calcularea inversei matricei [J]:

$$[J]^{-1} = \frac{1}{J_{11}J_{22}} \begin{bmatrix} J_{22} & J_{12} \\ J_{21} & J_{11} \end{bmatrix} = \frac{1}{J_{11}J_{22}} \begin{bmatrix} J_{22} & J_{12} \\ 0 & J_{11} \end{bmatrix} \quad (3.4.3.14)$$

În continuare exprimând componentele deplasării prin intermediul funcțiilor de interpolare, date în Tabelul 3.4.3.3 și de deplasările nodale u_i, v_i (cu $i = 1 \dots 8$):

$$u = \sum_{i=1}^8 N_i(\xi, \eta) u_i$$

$$v = \sum_{i=1}^8 N_i(\xi, \eta) v_i$$

se pot exprima derivatele deplasării în raport cu coordonatele naturale ξ, η :

$$\begin{aligned} \frac{\partial u}{\partial \xi} &= \frac{1+\xi}{2} [(u_1 + u_2 + u_3 + u_4 - 2u_5 - 2u_7) + \eta(u_1 + u_2 - u_3 - u_4 - 2u_5 - 2u_7)] + \\ &+ \frac{1+\eta}{4} [(\eta-2)u_1 - (\eta+2)u_2 + 4u_5] + \frac{1-\eta}{4} [(\eta-2)u_3 - (\eta+2)u_4 + 4u_7] + \frac{1-\eta^2}{2} (u_8 - u_6) = \\ &= a_0 + a_1(1+\xi) \end{aligned} \quad (3.4.3.15)$$

$$\begin{aligned} \frac{\partial u}{\partial \eta} &= \frac{(1+\xi)^2}{4} [u_1 + u_2 - u_3 - u_4 - 2u_5 + 2u_7] + \frac{1}{2} [(2\eta+1)u_2 + (2\eta-1)u_3 - 4\eta u_6] \\ &+ \frac{1+\xi}{4} [(2\eta-1)u_1 - (3+2\eta)u_2 + (3-2\eta)u_3 + (2\eta+1)u_4 + 4u_5 + 4\eta u_6 - 4u_7 - 4\eta u_8] = \\ &= b_0 + b_1(1+\xi) + b_2(1+\xi)^2 \end{aligned}$$

unde a_0, a_1, b_0, b_1, b_2 sunt coeficienții funcție de deplasările nodale u_i și de coordonata naturală η .

Analog se pot exprima și derivatele deplasării v în raport cu ξ, η :

$$\begin{aligned} \frac{\partial v}{\partial \xi} &= c_0 + c_1(1+\xi) \\ \frac{\partial v}{\partial \eta} &= d_0 + d_1(1+\xi) + d_2(1+\xi)^2 \end{aligned} \quad (3.4.3.16)$$

Deoarece constantele $\mathbf{a}_0, \dots, \mathbf{d}_2$ sunt exprimate prin deplasările nodale $\mathbf{u}_i, \mathbf{v}_i$ și coordonata η , ele sunt în general diferite de zero. Constantele \mathbf{b}_0 și \mathbf{d}_0 :

$$b_0 = \frac{1}{2} [(2\eta + 1)u_2 + (2\eta - 1)u_3 - 4\eta u_6]$$

$$d_0 = \frac{1}{2} [(2\eta + 1)v_2 + (2\eta - 1)v_3 - 4\eta v_6]$$

sunt dependente numai de deplasările nodurilor care modelează vârful fisurii. Aceste noduri fiind suprapuse pentru elementul degenerat rezultă că ele trebuie să aibe aceleași deplasări:

$$u_2 = u_3 = u_6 \quad \text{și} \quad v_2 = v_3 = v_6$$

de unde

$$b_0 = 0 \quad \text{și} \quad d_0 = 0$$

Înlocuind în relațiile deformațiilor specifice (3.4.3.12) expresiile (3.4.3.15) și ținând cont de relațiile (3.4.3.14) și de faptul că \mathbf{J}_{22} este proporțional cu raza polară măsurată de la vârful fisurii r , se obține:

$$\begin{aligned} \varepsilon_x &= \left[a_0 + a_1(1 + \xi) \right] \frac{\partial \xi}{\partial x} + \left[b_0 + b_1(1 + \xi) + b_2(1 + \xi)^2 \right] \frac{\partial \eta}{\partial x} = \\ &= \frac{1}{J_{11} J_{22}} \left\{ J_{22} [a_0 + a_1(1 + \xi)] + J_{12} [b_0 + b_1(1 + \xi) + b_2(1 + \xi)^2] \right\} \quad (3.4.3.17) \\ &= \frac{a_0}{J_{11}} + \frac{a_1(1 + \xi)}{J_{11}} + \frac{b_0' \eta}{r} + \frac{b_1' \eta(1 + \xi)}{r} + \frac{b_2' \eta(1 + \xi)^2}{r} \end{aligned}$$

unde $b_j' = \frac{b_j}{L_1} \sqrt{L_1^2 + L_2^2 \eta^2}$, cu $j = 0, 1, 2$.

Analog se pot exprima și celelalte deformații specifice:

$$\varepsilon_y = \frac{d_0'}{r} + \frac{d_1'(1 + \xi)}{r} + \frac{d_2'(1 + \xi)^2}{r} \quad (3.4.3.18)$$

$$\gamma_{xy} = \frac{c_0'}{J_{11}} + \frac{c_1'(1 + \xi)}{J_{11}} + \frac{e_0'}{r} + \frac{e_1'(1 + \xi)}{r} + \frac{e_2'(1 + \xi)^2}{r}$$

unde $d_j' = \frac{d_j}{L_2} \sqrt{L_1^2 + L_2^2 \eta^2}$ cu $j = 0, 1, 2$

$$c_i' = \frac{c_i}{2} \quad \text{cu } j = 0, 1$$

$$e_j = \frac{1}{2} \sqrt{L_1^2 + L_2^2 \eta^2} \left(\frac{b_j}{L_2} + \frac{d_j}{L_1} \eta \right) \quad \text{cu } j = 0, 1, 2$$

În continuare s-a studiat modul de realizare a singularității câmpului de deformație în funcție de poziția nodurilor 5 și 7.

a). Pentru cazul $p = 2$, adică nodurile 5 și 7 se află la mijlocul laturilor. Înlocuind în expresiile (3.4.3.11) și (3.4.3.13) rezultă:

$$r = \frac{1}{2} \sqrt{L_1^2 + L_2^2 \eta^2} (1 + \xi) \quad (3.4.3.19)$$

și

$$\begin{aligned} J_{11} &= \frac{L_1}{2} \\ J_{12} &= \frac{L_2 \eta}{L_1} J_{11} = \frac{L_2 \eta}{2} \\ J_{22} &= \frac{r L_2}{\sqrt{L_1^2 + L_2^2 \eta^2}} \end{aligned} \quad (3.4.3.20)$$

Componentele deformațiilor specifice vor avea expresiile:

$$\begin{aligned} \varepsilon_x &= \frac{b_0' \eta}{r} + (a_0' + b_1' \eta) + (a_1' + b_2' \eta) r \\ \varepsilon_y &= \frac{d_0'}{r} + d_1' + d_2' r \\ \gamma_{xy} &= \frac{e_0'}{r} + e_1' + e_2' r \end{aligned} \quad (3.4.3.21)$$

În acest caz dacă nodurile 2, 3, 6 de la vârful fisurii sunt suprapuse rezultă:

$$b_0' \quad d_0' \quad e_0' \quad 0$$

iar componentele deformației nu prezintă singularitate la vârful fisurii.

Dacă nodurile 2, 3, 6 au deplasări independente atunci deformațiile specifice prezintă o singularitate r^{-1} , dar și aceasta dispare pentru deformația ε_x atunci când $\eta = 0$, adică pe axa de simetrie a elementului finit.

În concluzie elementele finite izoparametrice, pentru care $p = 2$ nu pot realiza singularitatea dorită la vârful fisurii.

b). Pentru cazul $p = 4$ adică nodurile 5 și 7 se deplasează la $1/4$ din lungimea laturii L_1 spre nodurile 2, 3, 6 care se află la vârful fisurii. Acest element este consacrat în literatura de specialitate (lucrările [O2], [H6], [H10]), fiind numit și elementul Barsoum.

În acest caz raza polară este dată de expresia:

$$r = \frac{1}{4} \sqrt{L_1^2 + L_2^2 \eta^2} (1 + \xi)^2 \tag{3.4.3.22}$$

iar componentele matricii transformării coordonatelor vor avea expresiile:

$$\begin{aligned} J_{11} &= \frac{L_1}{2} (1 + \xi) = \frac{L_1}{\sqrt[4]{L_1^2 + L_2^2 \eta^2}} \sqrt{r} \\ J_{12} &= \frac{L_2 \eta}{L_1} J_{11} = \frac{L_2 \eta}{2} (1 + \xi) = \frac{L_2 \eta}{\sqrt[4]{L_1^2 + L_2^2 \eta^2}} \sqrt{r} \\ J_{22} &= \frac{L_2}{2} (1 + \xi)^2 = \frac{L_2}{\sqrt{L_1^2 + L_2^2 \eta^2}} r \end{aligned} \tag{3.4.3.23}$$

Înlocuind în relațiile (3.4.3.17), respectiv (3.4.3.18) se obțin expresiile deformațiilor specifice sub forma:

$$\begin{aligned} \varepsilon_x &= \frac{b_0'' \eta}{r} + \frac{b_1''}{\sqrt{r}} + b_2'' \\ \varepsilon_y &= \frac{d_0''}{r} + \frac{d_1''}{\sqrt{r}} + d_2'' \\ \gamma_{xy} &= \frac{e_0''}{r} + \frac{e_1''}{\sqrt{r}} + e_2'' \end{aligned} \tag{3.4.3.24}$$

Se observă că pentru $\eta = 0$, corespunzător axei de simetrie a elementului deformația specifică $\varepsilon_x = \frac{b_1''}{\sqrt{r}} + b_2''$ prezintă o singularitate de forma $r^{-1/2}$.

Pentru cazul când nodurile 2, 3, 6 sunt suprapuse adică

$b_0'' = d_0'' = e_0'' = 0$ toate cele trei componente ale câmpului de deformație prezintă o singularitate de forma $r^{-1/2}$;

$$\begin{aligned} \varepsilon_x &= \frac{b_1'''}{\sqrt{r}} + b_2''' \\ \varepsilon_y &= \frac{d_1'''}{\sqrt{r}} + d_2''' \\ \gamma_{xy} &= \frac{e_1'''}{\sqrt{r}} + e_2''' \end{aligned} \tag{3.4.3.25}$$

Relațiile (3.4.3.25), identice cu cele date Barsoum în [O2], arată că pentru elementul degenerat având nodurile 2, 3, 6 suprapuse și nodurile 5 și 7 fiind deplasate la 1/4 din latura L_1 spre nodul care modelează vârful fisurii, se obține o singularitate de ordinul -1/2 pentru toate componentele câmpului de deformație, respectiv ale câmpului de tensiune, Figura 3.4.3.2.

c). Pentru cazul general când $p \neq 2$ și $p \neq 4$ ecuațiile care definesc expresiile deformațiilor specifice sunt cele generale date de (3.4.3.17) și (3.4.3.18).

Așa cum am mai arătat mai sus coeficienții $b_0' = d_0' = e_0' = 0$ sunt nuli dacă nodurile 2, 3, 6 sunt suprapuse. În aceste condiții, în expresiile (3.4.3.17) și (3.4.3.18) rămân dominanți termenii care au în componența lor expresiile $1/J_{II}$ și $(1+\xi)/r$. Pentru a studia dependența acestor termeni de r s-a realizat trecerea la limită:

$$\begin{aligned} \lim_{(1+\xi) \rightarrow 0} \frac{1}{J_{II}} &= -\frac{2}{L_1 \left(1 - \frac{4}{p}\right)} \text{ pentru } p \neq 2, p \neq 4 \\ \lim_{(1+\xi) \rightarrow 0} \frac{1+\xi}{r} &= -\frac{2}{\sqrt{L_1^2 + L_2^2} \eta^2 \left(1 - \frac{4}{p}\right)} \text{ pentru } p \neq 2, p \neq 4 \end{aligned}$$

Se observă că termenii conținând $1/J_{II}$ și $(1+\xi)/r$ nu prezintă pentru cazul $p \neq 2$ și $p \neq 4$ o singularitate a deformațiilor în vârful fisurii, unde $r = 0$.

Luând în considerare numai prima ecuație din (3.4.3.13) și exprimând termenul $(1+\xi)$ rezultă:

$$1 + \xi = \left[\frac{J_{II}}{L_1} + \frac{1}{2} \left(1 - \frac{4}{p}\right) \right] \frac{1}{1 - \frac{2}{p}}$$

înlocuind în continuare în (4.3.4.11), rezultă:

$$J_{11}^2 = \frac{2L_1^2 \left(1 - \frac{2}{p}\right) (r - r_0)}{\sqrt{L_1^2 + L_2^2 \eta^2}} \quad \text{unde} \quad r_0 = -\frac{1}{8} \sqrt{L_1^2 + L_2^2 \eta^2} \frac{\left(1 - \frac{4}{p}\right)^2}{\left(1 - \frac{2}{p}\right)} \quad (3.4.3.26)$$

Din relația (3.4.3.26) se observă că pentru $r = r_0$ termenul $1/J_{11}$ are o singularitate de ordinul $r^{-1/2}$.

Asemănător se poate arăta că și termenul $(1+\xi)/r$ poate prezenta o singularitate. Astfel notând:

$$t = \frac{r}{1+\xi} = \frac{1}{2} \sqrt{L_1^2 + L_2^2 \eta^2} \left[(1+\xi) \left(1 - \frac{2}{p}\right) - \left(1 - \frac{4}{p}\right) \right]$$

și înlocuind în relația (3.4.3.11) se obține:

$$t - t_0 = \sqrt{r - r_0} \quad \text{unde} \quad t_0 = -\frac{1}{4} \sqrt{L_1^2 + L_2^2 \eta^2} \left(1 - \frac{4}{p}\right)$$

unde r_0 este dat de relația (3.4.3.26).

Deci înlocuind în relațiile (3.4.3.17) și (3.4.3.18) termenii $(1+\xi)/J_{11}$, $(1+\xi)/r$ și $(1+\xi)/r$ în funcție de $r-r_0$, pentru $p \neq 2$ și $p \neq 4$ acestea capătă forma:

$$\begin{aligned} \varepsilon_x &= \frac{a\eta}{r} + \frac{b+c\eta}{\sqrt{r-r_0}} + \dots \\ \varepsilon_y &= \frac{a}{r} + \frac{b}{\sqrt{r-r_0}} + \dots \\ \kappa_{xy} &= \frac{a}{r} + \frac{b}{\sqrt{r-r_0}} + \dots \end{aligned} \quad (3.4.3.27)$$

Dacă nodurile 2, 3, 6 sunt suprapuse la vârful fisurii, atunci coeficientul $\mathbf{a} = \mathbf{0}$ deci singularitatea r^{-1} dispare. Se observă din relațiile (3.4.3.27) că alegând în mod corespunzător poziția nodurilor 5 și 7, astfel încât $r - r_0$ să se anuleze, se obține și în acest caz o singularitate de ordinul $r^{-1/2}$ a deformațiilor specifice.

În concluzie pentru elementul izoparametric cu 8 noduri degenerat prin suprapunerea nodurilor 2, 3, 6 se poate obține singularitatea deformațiilor specifice prin alegerea corespunzătoare a poziției nodurilor 5 și 7. Astfel:

a) Dacă $p = 2$, nodurile 5 și 7 fiind poziționate la mijlocul laturilor 1-2, respectiv 2-4 câmpul de deformație nu prezintă singularitate, conform relațiilor (3.4.3.21).

b) Dacă $p = 4$, nodurile 5 și 7 fiind poziționate la un sfert din laturile 1-2, respectiv 2-4 spre nodurile care modelează vârful fisurii, toate componentele câmpului de deformație prezintă o singularitate de ordinul $r^{-1/2}$ în nodurile suprapuse 2, 3, 6, conform relației (3.4.3.25).

c) Dacă $p \neq 2$ și $p \neq 4$ se poate obține o singularitate de ordinul $r^{-1/2}$ alegând poziția nodurilor 5 și 7 astfel încât diferența $r - r_0$ să se anuleze, conform relațiilor (3.4.3.27).

ELEMENT IZOPARAMETRIC SPECIAL OBTINUT DIN ELEMENTUL IZOPARAMETRIC CU 12 NODURI PRIN SUPRAPUNEREA A PATRU NODURI

Recent Agnihotri în lucrarea [A1] prezintă utilizarea elementelor izoparametrice triunghiulare "degenerate" cu 12 noduri, provenite din elementul izoparametric dreptunghiular cu 12 noduri, Fig.3.4.3.3

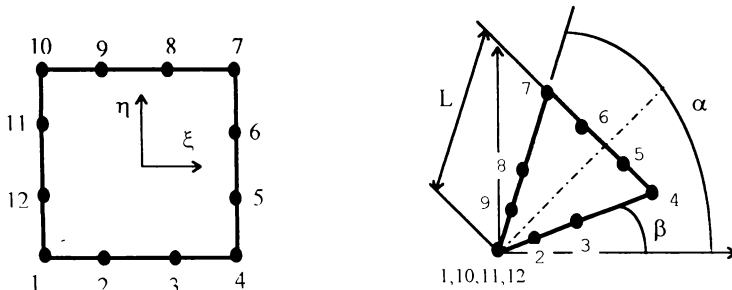


Figura 3.4.3.3

Expresiile componentelor deplasării, după axele x și y, sunt:

$$u = \sum_{i=1}^{12} N_i(\xi, \eta) u_i ; v = \sum_{i=1}^{12} N_i(\xi, \eta) v_i \tag{3.4.3.28}$$

unde u_i, v_i sunt deplasările nodale ale punctului i iar $N_i(\xi, \eta)$ funcțiile de interpolare corespunzătoare nodului i care au expresia:

$$N_1(\xi, \eta) = \frac{1}{256} (1 + \xi \xi_i) (1 + \eta \eta_i) [-10 + 9(\xi^2 + \eta^2)] [-10 + 9(\xi_i^2 + \eta_i^2)] + \frac{81}{256} (1 + \xi \xi_i) (1 + 9\eta \eta_i) (1 - \eta^2) (1 - \eta_i^2) + \frac{81}{256} (1 + \eta \eta_i) (1 + 9\xi \xi_i) (1 - \xi^2) \tag{3.4.3.29}$$

Particularizând pentru elementul din Fig.3.4.3.3 se obțin funcțiile de aproximare în coordonatele naturale (ξ, η) pentru cele 12 noduri după cum urmează:

$$N_1 = \frac{1}{32} (1 - \xi) (1 - \eta) [-10 + 9(\xi^2 + \eta^2)]$$

$$\begin{aligned}
 N_2 &= \frac{9}{32} (1-\eta) (1-\xi^2) (1-3\xi) \\
 N_3 &= \frac{9}{32} (1-\eta) (1-\xi^2) (1+3\xi) \\
 N_4 &= \frac{1}{32} (1+\xi) (1-\eta) [-10+9(\xi^2+\eta^2)] \\
 N_5 &= \frac{9}{32} (1-\eta^2) (1+\xi) (1-3\eta) \\
 N_6 &= \frac{9}{32} (1-\eta^2) (1+\xi) (1+3\eta) \\
 N_7 &= \frac{1}{32} (1-\xi) (1+\eta) [-10+9(\xi^2+\eta^2)] \\
 N_8 &= \frac{9}{32} (1+\eta) (1-\xi^2) (1+3\xi) \\
 N_9 &= \frac{9}{32} (1+\eta) (1-\xi^2) (1-3\xi) \\
 N_{10} &= \frac{1}{32} (1-\xi) (1+\eta) [-10+9(\xi^2+\eta^2)] \\
 N_{11} &= \frac{9}{32} (1-\eta^2) (1-\xi) (1+3\eta) \\
 N_{12} &= \frac{9}{32} (1-\eta^2) (1-\xi) (1-3\eta)
 \end{aligned} \tag{3.4.3.30}$$

Pentru a crea singularitatea de-a lungul laturii $\eta=-1$ se consideră expresiile coordonatei x și a deplasării u pe latura 1 - 4 sub forma :

$$\begin{aligned}
 x &= a_0 + a_1\xi + a_2\xi^2 + a_3\xi^3 \\
 u &= b_0 + b_1\xi + b_2\xi^2 + b_3\xi^3
 \end{aligned} \tag{3.4.3.31}$$

în care a_i și b_i sunt constante ce se evaluează având în vedere că în nodurile 1, 2, 3, 4:

$$\xi = -1, -1/3, 1/3 \text{ și } 1 : x = 0, \alpha L, \beta L, L$$

$$u = u_1, u_2, u_3, u_4$$

Astfel se obține:

$$\begin{aligned} a_0 &= L(-1+9\alpha+9\beta)/16 ; & a_1 &= L(-1-27\alpha+27\beta)/16 \\ a_2 &= 9L(1-\alpha-\beta)/16 ; & a_3 &= 9L(1+3\alpha-3\beta)/16 \\ b_0 &= (-u_1+9u_2+9u_3-u_4)/16 ; & b_1 &= (u_1-27u_2+27u_3-u_4)/16 \\ b_2 &= 9(u_1-u_2-u_3+u_4)/16 ; & b_3 &= 9(-u_1+3u_2-3u_3+u_4)/16 \end{aligned}$$

Pentru a obține singularitatea deformațiilor în punctul $\mathbf{x} = \mathbf{0}$ ($\xi = -1$), termenul din matricea lui Jacobi $\partial \mathbf{x} / \partial \xi$ trebuie să se anuleze.

Derivând ecuația (3.4.3.31) în raport cu ξ se obține:

$$\partial \mathbf{x} / \partial \xi = a_1 + 2a_2\xi + 3a_3\xi^3 \quad (3.4.3.32)$$

Condiția ca la $\xi = -1$, $\partial \mathbf{x} / \partial \xi = 0$ conduce la

$$\beta = 2\alpha + 2/9 \quad (3.4.3.33)$$

Pentru a avea o singularitate de forma $1/\sqrt{r}$ pentru deformația specifică $\varepsilon_x = \partial u / \partial x$:

$$\frac{\partial u}{\partial x} = \frac{\partial u}{\partial \xi} \frac{\partial \xi}{\partial x} = \frac{b_1 + 2b_2\xi + 3b_3\xi^2}{\partial \xi}$$

unde ξ trebuie să fie o funcție de forma $x^{1/2}$. Rezultă:

$$a_3 = 0 \quad \text{sau} \quad 1 + 3\alpha - 3\beta = 0 \quad (3.4.3.34)$$

Rezolvând sistemul format din ecuațiile (3.4.3.33) și (3.4.3.34) se obțin unghiurile

$$\alpha = 1/9 \quad \text{și} \quad \beta = 4/9$$

Înlocuind aceste valori în expresiile constantelor \mathbf{a}_i , respectiv \mathbf{b}_i și introducând apoi în (3.4.3.31) rezultă:

$$x = \frac{L}{4} (1+\xi)^2 \quad \text{sau} \quad \xi = -1 + 2\sqrt{\frac{x}{L}} \quad (3.4.3.35)$$

Agnihotri în lucrarea [A1] arată că modelarea cu astfel de elemente poate fi realizată cu un număr relativ mic de elemente eroarea maximă față de soluția analitică fiind de maximum 3%. Acesta fiind avantajul principal al utilizării elementelor finite izoparametrice speciale, ce modelează singularitatea de la vârful fisurii

3.5 CALCULUL PARAMETRILOR MECANICII RUPERII LINIAR ELASTICE

În programele de analiză cu elemente finite utilizate la aplicațiile de Mecanica ruperii după determinarea deplasărilor, deformațiilor specifice și a tensiunilor se necesită calculul parametrilor specifici Mecanicii ruperii. Parametrii care se utilizează în domeniul Mecanicii ruperii liniar elastice sunt factorul de intensitate a tensiunii K și forța de extensie a fisurii G .

La ora actuală factorul de intensitate a tensiunii este unanim acceptat ca parametru ce caracterizează câmpurile de deformații și tensiuni din jurul fisurilor aflate în medii liniar elastice. Pentru determinarea factorului de intensitate a tensiunii sunt utilizate în programele de analiză cu elemente finite diferite metode, [C3], [O2], [R4], [S2], [M6], [S16], [H6]. Cele mai utilizate metode vor fi tratate în continuare.

3.5.1 METODA EXTRAPOLĂRII DEPLASĂRII

Considerând cunoscute deplasările nodale, în urma rezolvării sistemului algebric de ecuații, pe baza acestor deplasări și a soluției Irwin de reprezentare a tensiunilor și deplasărilor în jurul fisurii se poate trece la determinarea factorului de intensitate a tensiunii.

Să considerăm că discretizarea s-a realizat cu elemente izoparametrice de tipul celor din Figura 3.4.3.1., pentru care deplasarea de-a lungul laturii 1-3 este dată de relația (3.4.3.7), care scrisă în funcție de raza polară r devine:

$$u = u_1 \cdot (4u_2 - u_3 - 3u_1) \sqrt{\frac{r}{L}} \cdot (2u_3 - 2u_1 - 4u_2) \frac{r}{L} \quad (3.5.1.1)$$

Similar se poate arăta că și pentru deplasarea pe direcția verticală v se obține o expresie de forma (3.5.1.1).

Soluția analitică a lui Irwin care dă expresiile deplasării în vecinătatea unei fisuri în funcție de factorul de intensitate a tensiunii K și coordonatele polare (r, θ) este:

$$u = \frac{K_I}{4G} \sqrt{\frac{r}{2\pi}} / (2\chi - 1) \cos \frac{\theta}{2} - \cos \frac{3\theta}{2} / - \frac{K_{II}}{4G} \sqrt{\frac{r}{2\pi}} / (2\chi + 3) \sin \frac{\theta}{2} \cdot \sin \frac{3\theta}{2} / \quad (3.5.1.2)$$

$$v = \frac{K_I}{4G} \sqrt{\frac{r}{2\pi}} / (2\chi + 1) \sin \frac{\theta}{2} - \sin \frac{3\theta}{2} / \frac{K_{II}}{4G} \sqrt{\frac{r}{2\pi}} / (2\chi - 3) \cos \frac{\theta}{2} \cos \frac{3\theta}{2} /$$

unde K_I , K_{II} reprezintă factorii de intensitate a tensiunii corespunzători modurilor I, respectiv II de deplasare a flancurilor fisurii

G modulul de elasticitate transversal

$\chi = (3-\nu)/(1+\nu)$ pentru starea plană de tensiune

$\chi = 3-4\nu$ pentru starea plană de deformație

ν coeficientul lui Poisson

Din relațiile (3.5.1.2) se pot exprima factorii de intensitate a tensiunii, după cum urmează:

$$\begin{aligned}
 K_I \begin{cases} (2\chi - 1)\cos\frac{\theta}{2} - \cos\frac{3\theta}{2} \\ (2\chi - 1)\sin\frac{\theta}{2} - \sin\frac{3\theta}{2} \end{cases} &= 4G\sqrt{\frac{2\pi}{r}} \begin{Bmatrix} u \\ v \end{Bmatrix} \\
 K_{II} \begin{cases} -(2\chi + 3)\sin\frac{\theta}{2} - \sin\frac{3\theta}{2} \\ (2\chi - 3)\cos\frac{\theta}{2} - \cos\frac{3\theta}{2} \end{cases} &= 4G\sqrt{\frac{2\pi}{r}} \begin{Bmatrix} u \\ v \end{Bmatrix}
 \end{aligned}
 \tag{3.5.1.3}$$

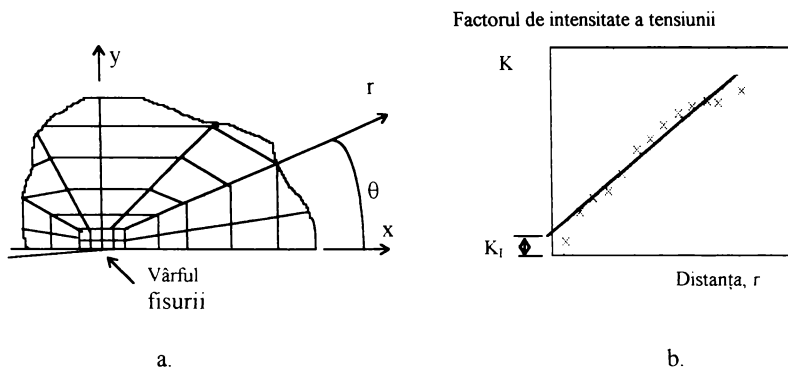


Figura 3.5.1.1

Înlocuind valorile deplasărilor u, v din nodurile considerate de-a lungul unei direcții radiale ce pornește din vârful fisurii, care face unghiul θ cu direcția x , se poate trasa variația factorului de intensitate a tensiunii K_I sau K_{II} în funcție de raza polară r , Figura 3.5.1.1.a Variația factorului de intensitate a tensiunii în funcție de distanța r se poate asimila ca fiind liniară. Apoi prin extrapolare pentru $r=0$ se obține valoarea factorului de intensitate a tensiunii la vârful fisurii, Figura 3.5.1.1.b.

În lucrarea [C11] se prezintă un studiu al preciziei estimării factorului de intensitate a tensiunii prin metoda extrapolării deplasării, studiu în care se prezintă limitele acestei metode precum și valorile unghiului θ pentru care se obține o bună precizie la determinarea factorului de intensitate a tensiunii.

Dintre avantajele acestei metode trebuie să amintim simplitatea ei, faptul că utilizează ca mărimi de calcul deplasările nodale care se obțin în urma analizei cu elemente finite, permite calculul factorilor de intensitate a tensiunii K_I și K_{II} , putând fi utilizată în cazul aplicațiilor la care apare modul mixt de deplasare a flancurilor fisurii. Dezavantajele acestei metode constau în faptul că pentru aplicarea ei este necesară cunoașterea soluției câmpului de deplasări din vecinătatea vârfului fisurii (aceste soluții nefiind cunoscute în cazul anumitor materiale compozite, la interfața dintre materialele multistrat, etc.), iar precizia estimării este influențată de finețea discretizării, de alegerea direcției după care se face extrapolarea, de numărul și poziția nodurilor considerate.

3.5.2 METODA EXTRAPOLĂRII TENSIUNILOR

Pornind de la metoda extrapolării deplasării am căutat să utilizez aceeași metodologie pentru a determina factorul de intensitate a tensiunii folosind exprimarea componentelor câmpului de tensiune în funcție de factorul de intensitate a tensiunii, relațiile (2.1.3.4), (2.1.3.5).

Astfel cunoscând valorile tensiunilor $\sigma_x, \sigma_y, \tau_{xy}$, obținute după analiza cu elemente finite, în nodurile având raza polară r_i de pe o direcție care face unghiul θ cu axa x se pot calcula valorile factorului de intensitate a tensiunii cu relațiile:

$$\begin{aligned}
 K_I \begin{Bmatrix} \cos \frac{\theta}{2} (1 - \sin \frac{\theta}{2} \sin \frac{3\theta}{2}) \\ \cos \frac{\theta}{2} (1 + \sin \frac{\theta}{2} \sin \frac{3\theta}{2}) \\ \sin \frac{\theta}{2} \cos \frac{\theta}{2} \cos \frac{3\theta}{2} \end{Bmatrix} &= \sqrt{2\pi r} \begin{Bmatrix} \sigma_x \\ \sigma_y \\ \tau_{xy} \end{Bmatrix} \\
 K_{II} \begin{Bmatrix} \sin \frac{\theta}{2} (2 + \cos \frac{\theta}{2} \cos \frac{3\theta}{2}) \\ \sin \frac{\theta}{2} \cos \frac{\theta}{2} \cos \frac{3\theta}{2} \\ \cos \frac{\theta}{2} (1 - \sin \frac{\theta}{2} \sin \frac{3\theta}{2}) \end{Bmatrix} &= \sqrt{2\pi r} \begin{Bmatrix} \sigma_x \\ \sigma_y \\ \tau_{xy} \end{Bmatrix}
 \end{aligned}
 \tag{3.5.2.1}$$

Reprezentând apoi valorile factorului de intensitate a tensiunii calculat cu relația (3.5.2.1) în funcție de distanța de la vârful fisurii a nodului respectiv r_i , se obține de asemenea o dependență liniară de forma celei din Figura 3.5.2.1.

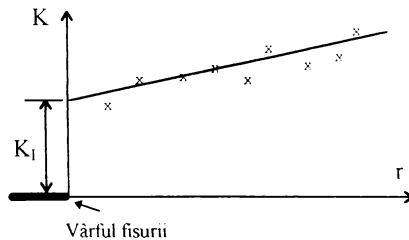


Figura 3.5.2.1

Se determină apoi pe baza perechilor de puncte (r_i, K_i) dreapta de regresie; iar prin extrapolare, intersecția dreptei de regresie cu axa K , adică punctul de la vârful fisurii pentru care $r = 0$, reprezintă valoarea factorului de intensitate a tensiunii K_I

Pentru calculul factorului de intensitate a tensiunii prin această metodă am elaborat un program în QBASIC, care este prezentat în **subcapitolul 7.2**.

Metoda propusă de autor are avantajul că permite determinarea factorilor de intensitate a tensiunii K_I și K_{II} , putând fi utilizată și în cazul modului mixt (I și II) de deplasare a flancurilor fisurii. De asemenea se remarcă ușurința de a estima valoarea factorului de intensitate a tensiunii utilizând tensiunile rezultate în urma analizei cu elemente finite. Deoarece într-un program de analiză cu elemente finite valorile tensiunilor sunt calculate pe baza deplasărilor nodale, metoda propusă este mai puțin precisă decât metoda extrapolării deplasărilor. Precizia estimării factorului de intensitate a tensiunii este influențată de modul de discretizare și anume de tipurile de elemente finite utilizate de finețea discretizării, de alegerea direcției după care se face extrapolarea, de numărul și poziția nodurilor luate în considerare pentru a determina ecuația drepte de regresie.

3.5.3 METODA FORȚEI DE EXTENSIE A FISURII

Forța de extensie a fisurii, \mathcal{G} este un alt parametru al Mecanicii ruperii în domeniul liniar-elastic. Dacă se consideră că o fisură de lungime a , avansează sub acțiunea încărcărilor exterioare cu o cantitate infinitesimală da , în același timp producându-se o eliberare a energiei elastice de deformație dU , forța de extensie a fisurii se definește:

$$\mathcal{G} = \frac{dU}{da} \quad [\text{N/mm}] \quad (3.5.3.1)$$

Această mărime se mai numește și rata de eliberare a energiei de deformație. Legătura dintre forța de extensie a fisurii \mathcal{G} și factorul de intensitate a tensiunii K este dată în Mecanica ruperii liniar-elastice, [C5] sub forma:

$$K_I = \left(\frac{8 G \mathcal{G}_I}{l \cdot \chi} \right)^{\frac{1}{2}} \quad K_{II} = \left(\frac{8 G \mathcal{G}_{II}}{l \cdot \chi} \right)^{\frac{1}{2}} \quad (3.5.3.2)$$

unde K_I , K_{II} sunt factorii de intensitate ai tensiunii corespunzători modurilor I, respectiv II de deplasare a flancurilor fisurii;

\mathcal{G}_I , \mathcal{G}_{II} forțele de extensie a fisurii corespunzătoare modurilor I și II de deplasare a flancurilor fisurii;

G modulul de elasticitate transversal

χ un coeficient în funcție de starea plană de tensiune sau de deformație a modelului.

Pentru evaluarea factorului de intensitate al tensiunii prin această metodă se consideră două lungimi diferite ale fisurii a și $a+da$, Figura 3.5.3.1 calculându-se energia specifică de deformație pentru ambele cazuri U_1 , respectiv U_2 . Apoi se calculează variația energiei specifice de deformație:

$$dU = U_1 - U_2 \quad (3.5.3.3)$$

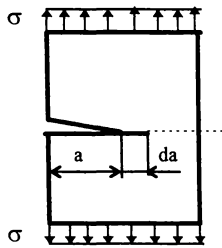


Figura 3.5.3.1

Energia specifică de deformare se calculează pe baza vectorului deplasărilor totale $\{\mathbf{f}\}$ și a matricei de rigiditate a structurii $[\mathbf{K}]$ după rezolvarea sistemului algebric de ecuații:

$$U = \{\mathbf{f}\}^T [\mathbf{K}] \{\mathbf{f}\} \quad (3.5.3.4)$$

Cu relația (3.5.3.1) se calculează apoi forța de extensie a fisurii \mathcal{G} , iar corespunzător modului de deplasare a flancurilor fisurii cu una din relațiile (3.5.3.2) se poate determina valoarea factorului de intensitate a tensiunii \mathbf{K} .

Avantajul principal al acestei metode este că obținerea unei precizii ridicate a estimării factorului de intensitate a tensiunii nu este influențată de finețea discretizării, mai mult metoda dând rezultate bune și dacă nu se utilizează elemente finite singulare.

Trebuie subliniat că această metodă necesită rezolvarea numerică a problemei pentru două lungimi diferite ale fisurii a și $a+da$, ceea ce duce la dublarea volumului de calcul, acesta fiind un mare dezavantaj al metodei. Un alt dezavantaj al metodei este acela că permite calculul factorilor de intensitate a tensiunii \mathbf{K}_I , respectiv \mathbf{K}_{II} doar separat, nu și în cazul modului mixt (I și II) de deplasare a flancurilor fisurii.

Aplicarea acestei metode a fost prezentată de autor în lucrarea [M6] pentru determinarea factorului de intensitate a tensiunii \mathbf{K}_I la o placă solicitată la tracțiune monoaxială, având o creștătură laterală ascuțită. Analiza cu elemente finite am realizat-o în programul COSMOS/M, care dă în fișierul datelor de ieșire energia specifică de deformare U .

3.5.4 METODA EXTENSIEI VIRTUALE A FISURII

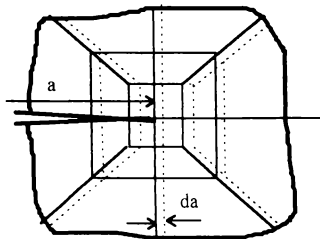


Figura 3.5.4.1

Aceasta este o variantă a metodei precedente. Și în acest caz analiza cu elemente finite se realizează inițial pentru o configurație cu fisură inițială și se calculează energia de deformare. Fisura se extinde apoi, după cum se observă în Figura 3.5.4.1, deplasând nodurile rețelei de discretizare, din zona vârfului fisurii, cu o distanță infinitesimală da pe direcția axei fisurii.

Energia de deformare se calculează ca la metoda precedentă apoi cu relațiile (3.5.3.1) și (3.5.3.2) se poate determina forța de extensie a fisurii \mathcal{G} , respectiv factorul de intensitate a tensiunii \mathbf{K} .

Este interesant de semnalat că în lucrarea [O2] se menționează că este posibilă o evaluare convențională a energiei de deformare asociate numai elementelor de la vârful fisurii (dU), cu relația (3.5.3.3), ceea ce micșorează considerabil volumul de calcule față de metoda precedentă.

Prin luarea în considerare, la calculul factorului de intensitate a tensiunii, doar a elementelor adiacente vârfului fisurii, scade semnificativ volumul de calcule ceea ce reprezintă principalul avantaj al metodei. De asemenea precizia estimării este ridicată și nu este influențată de finețea discretizării.

Dintre dezavantajele metodei trebuie amintit faptul că nu permite calculul factorilor de intensitate a tensiunii pentru cazul în care deplasarea flancurilor fisurii se produce după modul mixt (I și II), ci doar dacă flancurile fisurii se deplasează după modul I sau II independent.

3.5.5 EVALUAREA FACTORULUI DE INTENSITATE A TENSIUNII PE BAZA INTEGRALEI J

Dacă se consideră un contur de integrare Γ ca în Figura 3.5.5.1, care să înconjoare vârful fisurii, având punctele de plecare și sfârșit pe cele două fețe ale fisurii, s-a arătat de către Rice [R3] că următoarea integrală este independentă de contur pentru orice contur Γ ce respectă condițiile de mai sus, relația (2.2.4.1):

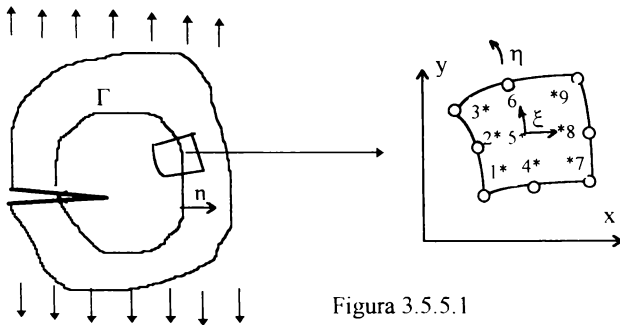


Figura 3.5.5.1

$$J = \int_{\Gamma} (U dy - p \frac{\partial f}{\partial \alpha} ds) \quad [N / mm] \quad (3.5.5.1)$$

Exprimarea mărimilor ce intervin în relația (3.5.5.1) a fost realizată în **paragraful 2.2.4**. Pentru materiale cu comportare liniar-elastică integrala J este egală cu forța de extensie a fisurii \mathcal{G} deci relațiile (3.5.3.2) se pot scrie înlocuind \mathcal{G} cu J. Astfel factorii de intensitate a tensiunii corespunzători modurilor I și II vor fi:

$$K_I = \left(\frac{8G J_I}{I + \chi}\right)^{\frac{1}{2}} ; \quad K_{II} = \left(\frac{8G J_{II}}{I + \chi}\right)^{\frac{1}{2}} \quad (3.5.5.2)$$

Câteva observații asupra utilizării integralei **J** pentru calculul factorului de intensitate a tensiunii:

- * integrala **J** pentru un contur închis (fără vârf de fisură) este 0
- * conturul de integrare Γ se poate descrie element cu element

Micșorând conturul Γ din Figura 3.5.5.1, până devine foarte mic, astfel încât el să înconjoare vârful fisurii, al doilea termen din relația (3.5.5.1) devine extrem de mic, el putându-se neglija. Rezultă astfel că:

$$J = \int_{\Gamma} U dy \quad (3.5.5.3)$$

Deci integrala **J** caracterizează energia înmagazinată la vârful fisurii, iar datorită independenței sale de contur ea se poate calcula într-o zonă convenabilă, chiar îndepărtată de zona singularității de la vârful fisurii.

Pentru a exemplifica modul cum se determină integrala **J** se consideră un element izoparametric dreptunghiular cu 8 noduri asemănător celui din Figura 3.4.3.1. Deoarece integrala **J** este independentă de conturul de integrare, acesta se poate alege convenabil astfel încât să coincidă cu linia $\xi = \xi_p = \text{constant}$, Figura 3.5.5.1.

În primul rând trebuie definit vectorul normal unitar **n**, în fiecare punct de pe conturul de integrare Γ . Pentru aceasta se consideră vectorii **{A}** și **{B}** de-a lungul direcțiilor $\xi = \text{const.}$ și $\eta = \text{const.}$:

$$\{A\}^T = \left[\frac{\partial x}{\partial \eta} \quad \frac{\partial y}{\partial \eta} \quad 0 \right] \quad (3.5.5.4)$$

$$\{B\}^T = \left[\frac{\partial x}{\partial \xi} \quad \frac{\partial y}{\partial \xi} \quad 0 \right]$$

Vectorul **{C}** care este normal pe planul elementului este determinat de produsul vectorial vectorilor **{A}** și **{B}**:

$$\{C\} = \{A\} \times \{B\}$$

$$C^T = \left[0 \quad 0 \quad \left(\frac{\partial x}{\partial \eta} \frac{\partial y}{\partial \xi} - \frac{\partial y}{\partial \eta} \frac{\partial x}{\partial \xi} \right) \right] \quad (3.5.5.5)$$

Un vector **{D}** normal pe direcția $\xi = \xi_p$ se poate obține prin produsul vectorial dintre **{C}** și **{A}**:

$$\{D\} = \{C\} X \{A\} = \begin{pmatrix} \frac{\partial y}{\partial \eta} \left(\frac{\partial y}{\partial \eta} \frac{\partial x}{\partial \xi} - \frac{\partial x}{\partial \eta} \frac{\partial y}{\partial \xi} \right) \\ \frac{\partial x}{\partial \eta} \left(\frac{\partial x}{\partial \eta} \frac{\partial y}{\partial \xi} - \frac{\partial y}{\partial \eta} \frac{\partial x}{\partial \xi} \right) \\ 0 \end{pmatrix} = \begin{Bmatrix} D_1 \\ D_2 \\ 0 \end{Bmatrix} \quad (3.5.5.6)$$

Vectorul normal $\{n\}$ va fi:

$$\{n\}^T = [n_1 \ n_2 \ 0] \begin{bmatrix} D_1 & D_2 & 0 \\ N & N & 0 \end{bmatrix} \quad (3.5.5.7)$$

$$cu \ N = \sqrt{D_1^2 + D_2^2}$$

Lungimea arcului ds de-a lungul direcției $\xi = \xi_p$ este dată de :

$$ds = \sqrt{dx^2 + dy^2} = \sqrt{\left(\frac{\partial x}{\partial \eta}\right)^2 + \left(\frac{\partial y}{\partial \eta}\right)^2} d\eta \quad (3.5.5.8)$$

$$unde \ dy = \frac{\partial y}{\partial \eta} d\eta$$

Pentru probleme plane energia de deformație se poate scrie:

$$U = \frac{1}{2} (\sigma_x \varepsilon_x + \sigma_y \varepsilon_y + 2\tau_{xy} \gamma_{xy}) \quad (3.5.5.9)$$

Iar vectorul $\{p\}$ se poate exprima:

$$\{p\} = \begin{Bmatrix} \sigma_x n_1 + \tau_{xy} n_2 \\ \tau_{xy} n_1 + \sigma_y n_2 \\ 0 \end{Bmatrix} \quad (3.5.5.10)$$

Atunci al doilea termen din integrala J va fi:

$$\{p\} \frac{\partial \{f\}}{\partial x} = (\sigma_x n_1 + \tau_{xy} n_2) \frac{\partial u}{\partial x} + (\tau_{xy} n_1 + \sigma_y n_2) \frac{\partial v}{\partial x} \quad (3.5.5.11)$$

În fine înlocuind relațiile (3.5.5.8), (3.5.5.9), (3.5.5.10) și (3.5.5.11) în (3.5.5.1) se obține contribuția dată de un element, la valoarea integralei \mathbf{J} :

$$J_e = \int_{-l}^l \int_{-l}^l \left[\frac{1}{2} \left(\sigma_x \frac{\partial u}{\partial x} + \tau_{xy} \left(\frac{\partial u}{\partial y} + \frac{\partial v}{\partial x} \right) + \sigma_y \frac{\partial v}{\partial y} \right) \frac{\partial y}{\partial \eta} - \right. \quad (3.5.5.12)$$

$$\left. - \left(\sigma_x n_1 + \tau_{xy} n_2 \right) \frac{\partial u}{\partial x} + \left(\tau_{xy} n_1 + \sigma_y n_2 \right) \frac{\partial v}{\partial x} \right] \sqrt{\left(\frac{\partial x}{\partial \eta} \right)^2 + \left(\frac{\partial y}{\partial \eta} \right)^2} d\eta = \int_{-l}^l I d\eta$$

Integrarea din relația (3.5.5.12) se face numeric pe baza cuadraturii lui Gauss într-un număr q de puncte gaussiene (ca în Figura 3.5.5.1), astfel:

$$J_e = \sum_{j=1}^q I(\xi_p, \eta_j) H_j \quad (3.5.5.13)$$

în care integrantul I se calculează în punctele de coordonate ξ_p, η_j iar H_j reprezintă ponderea corespunzătoare coordonatelor h_j .

În relația (3.5.5.12) derivatele carteziene ale componentelor deplasării sunt date de :

$$\frac{\partial u, v}{\partial x} = \sum_{i=1}^n \frac{\partial N_i}{\partial x} (u_i, v_i) ; \quad \frac{\partial u, v}{\partial y} = \sum_{i=1}^n \frac{\partial N_i}{\partial y} (u_i, v_i) \quad (3.5.5.14)$$

Valoarea totală a integralei \mathbf{J} se obține însumând contribuția tuturor elementelor ce formează conturul de integrare iar în final factorul de intensitate a tensiunii \mathbf{K} se calculează cu relațiile (3.5.5.2) în funcție de modul de deplasare a flancurilor fisurii.

Avantajul acestei metode este precizia ridicată obținută, care nu este influențată de finetea discretizării. Calculul factorului de intensitate a tensiunii prin această metodă nu impune utilizarea elementelor singulare pentru modelarea vârfului fisurii.

Metoda permite calculul integralei J în cazul materialelor cu comportare elasto-plastică.

Principalul dezavantaj al metodei este complexitatea sa și dificultățile legate de implementarea sa într-un program de calcul.

3.6 CALCULUL PARAMETRILOR MECANICII RUPERII ÎN DOMENIUL ELASTO-PLASTIC

Efectul de concentrare a tensiunilor la vârful fisurilor face ca acestea să depășească limita de curgere a materialului. În aceste situații conceptele Mecanicii ruperii liniar-elastice nu mai sunt valabile. Astfel s-au dezvoltat noi concepte valabile în domeniul elasto-plastic, noi criterii de rupere și noi parametri ce caracterizează tenacitatea la rupere, respectiv câmpul de tensiuni și deformații din jurul fisurilor. Acești parametri sunt:

- *integrala de contur, J*
- *deplasarea de deschidere la vârful fisurii δ (CTOD), deplasarea de deschidere la marginea fisurii CTOM, respectiv unghiul de deschidere la vârful fisurii Ψ (CTOA)*
- *modulul de rupere, T*

În programele specializate de analiză cu elemente finite a câmpului de tensiuni și deformații din jurul fisurilor aflate în medii elasto-plastice, au fost unanim acceptați ca parametri de rupere integrala de contur **J** și deplasarea de deschidere de la vârful fisurii δ .

Pentru că cel mai utilizat parametru din Mecanica ruperii elasto - plastice este integrala de contur **J** în continuare se va prezenta modul de calcul numeric al acesteia.

În paragraful 2.2.4 s-a prezentat modul în care se poate descrie câmpul de tensiuni și deformații prin intermediul integralei **J** în medii elasto - plastice, acceptând legătura dintre deformații și tensiune pe baza legii Ramberg - Osgood, având coeficientul de ecruisare λ , relațiile (2.2.4.5), (2.2.4.6).

Integrala **J** din expresiile (2.2.4.5), respectiv (2.2.4.6) a fost definită ca parametru de rupere în paragraful 2.2.4. De asemenea s-a arătat în paragraful 3.5.5 algoritmul de calcul al integralei **J**, în medii elastice cu fisuri, în vederea evaluării factorului de intensitate a tensiunii, **K**.

Utilizarea integralei **J** în aplicațiile elasto-plastice se fundamentează pe următoarele argumente:

- conceptul independenței de contur a integralei **J** este valabil și pentru materiale cu comportare neliniar-elastică
- materialele neliniar-elastice au o comportare după o anumită lege între deformațiile plastice și tensiuni
- conceptul integralei **J** este riguros aplicabil numai dacă corpul este supus încărcării monotone (nu apar descărcări). În acest caz integrala **J** se poate utiliza pentru monitorizarea avansării fisurii sub acțiunea încărcării monotone.

Considerând respectate ipotezele de mai sus, integrala **J** se poate determina analitic pentru diferite geometrii ale corpurilor. Totuși uneori aceste ipoteze nu sunt respectate, de exemplu prin apariția fenomenului de ecruisare. De aceea utilizarea unei analize numerice pentru evaluarea cu precizie a integralei **J**, devine necesară.

Pentru materialele cu comportare elasto-plastică singura cale de calculare a integralei **J** este prin exprimarea energiei specifice de deformație **U** în două componente una elastică:

$$U_{el} = \frac{1}{2} \sigma_{ij} \varepsilon_{ij,el} \quad (3.6.1)$$

și una plastică:

$$U_{pl} = \int_0^{\epsilon_{pl}} \bar{\sigma} d\bar{\epsilon}_{pl} \tag{3.6.2}$$

unde σ și ϵ_{pl} reprezintă tensiunile efective, respectiv deformațiile plastice efective date de criteriile de plasticitate Tresca sau Von Mises.

Deci energia specifică de deformație va fi:

$$U = U_{el} + U_{pl} \tag{3.6.3}$$

Pornind de la definiția integralei J și ținând cont de componenta plastică, expresia integralei J pentru un element va fi:

$$J_e = \int_{-1}^1 \left\{ \frac{l}{2} (\sigma_x \epsilon_{x,el} + \sigma_y \epsilon_{y,el} + \tau_{xy} \gamma_{xy,el}) \frac{\partial y}{\partial \eta} + U_{pl} \frac{\partial y}{\partial \eta} - \left[(\sigma_x n_1 + \tau_{xy} n_2) \frac{\partial u}{\partial x} + (\tau_{xy} n_1 + \sigma_y n_2) \frac{\partial v}{\partial x} \right] \sqrt{\left(\frac{\partial x}{\partial \eta}\right)^2 + \left(\frac{\partial y}{\partial \eta}\right)^2} \right\} d\eta \tag{3.6.4}$$

și în acest caz s-a considerat conturul de integrare $\xi = \xi_p = \text{const}$ pe elementele vecine vârfului fisurii, la fel ca în paragraful 3.5.5.

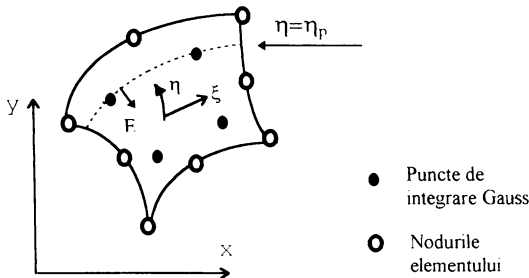


Figura 3.6.1

Integrarea numerică se face prin cuadratura lui Gauss.

În mod analog se poate calcula integrala J pe un contur de integrare având $\eta = \eta_p = \text{const}$, Figura 3.6.1.

Vectorul $\{E\}$ normal pe linia de integrare $\eta = \eta_p = \text{const}$. este dat de:

$$\{E\} = \{C\}x\{B\} = \begin{Bmatrix} \frac{\partial y}{\partial \xi} \left(\frac{\partial y}{\partial \eta} \frac{\partial x}{\partial \xi} - \frac{\partial x}{\partial \eta} \frac{\partial y}{\partial \xi} \right) \\ \frac{\partial x}{\partial \xi} \left(\frac{\partial x}{\partial \eta} \frac{\partial y}{\partial \xi} - \frac{\partial y}{\partial \eta} \frac{\partial x}{\partial \xi} \right) \\ 0 \end{Bmatrix} = \begin{Bmatrix} E_1 \\ E_2 \\ 0 \end{Bmatrix} \quad (3.6.5)$$

unde vectorii $\{C\}$ și $\{B\}$ sunt dați în relațiile (3.5.5.5), (3.5.5.4) din paragraful 3.5.5.
 Vectorul unitar corespunzător lui $\{E\}$ este:

$$n^T = \{n_1 \ n_2 \ 0\} = \left\{ \frac{E_1}{L} \ \frac{E_2}{L} \ 0 \right\}, \text{ cu } L = \sqrt{E_1^2 + E_2^2} \quad (3.6.6)$$

Lungimea incrementală a elementului de-a lungul conturului de integrare $\eta = \eta_p$ este:

$$ds = \sqrt{\left(\frac{\partial x}{\partial \xi}\right)^2 + \left(\frac{\partial y}{\partial \eta}\right)^2} d\xi \quad (3.6.7)$$

iar $dy = \frac{\partial y}{\partial \xi} d\xi$

Înlocuind relațiile (3.6.5), (3.6.6) și (3.6.7) în relația (3.5.5.12) se obține expresia contribuției unui element la valoarea integralei de contur J:

$$J_e = \int_{-l}^l \left\{ \frac{1}{2} \left[\sigma_x \frac{\partial u}{\partial x} \cdot \tau_{xy} \left(\frac{\partial u}{\partial y} \cdot \frac{\partial v}{\partial x} \right) \cdot \sigma_y \frac{\partial v}{\partial y} \frac{\partial y}{\partial \xi} + U_{pl} \frac{\partial y}{\partial \xi} \right. \right. \\ \left. \left. - \left(\sigma_x n_1 \cdot \tau_{xy} n_2 \right) \frac{\partial u}{\partial x} \cdot \left(\tau_{xy} n_1 \cdot \sigma_y n_2 \right) \frac{\partial v}{\partial x} \right] / \sqrt{\left(\frac{\partial x}{\partial \xi}\right)^2 + \left(\frac{\partial y}{\partial \xi}\right)^2} \right\} d\xi \quad (3.6.8)$$

Relația (3.6.8), valabilă pentru un contur având $\eta = \eta_p = \text{const}$, este similară cu relația (3.6.4) cu scrisă pentru un contur având $\xi = \xi_p = \text{const}$.

Dacă se consideră că discretizarea în jurul unei fisuri se face cu elemente izoparametrice, sub forma dată în Figura 3.6.2, în care am trasat și conturul de integrare, se observă în conturul de integrare curbe având $\xi = \xi_p = \text{const}$, $\eta = \eta_p = \text{const}$ și elemente de "colț" care fac legătura între cele două. În acest caz integrala **J** este suma integralelor pe contururile fiecărui element component al conturului de integrare. Dacă considerăm conturul de integrare format din **P** elemente la care integrarea se face pe conturul $\xi = \xi_p = \text{const}$, relația (3.6.4), **Q** elemente la care integrarea se face pe conturul $\eta = \eta_p = \text{const}$, relația (3.6.8) și **R** elemente de colț valoarea totală a integralei **J** va fi:

$$J = \sum_{e=1}^P J_e(\xi = \xi_p) + \sum_{e=1}^Q J_e(\eta = \eta_p) + \sum_{e=1}^R J_e(colt) \tag{3.6.9}$$

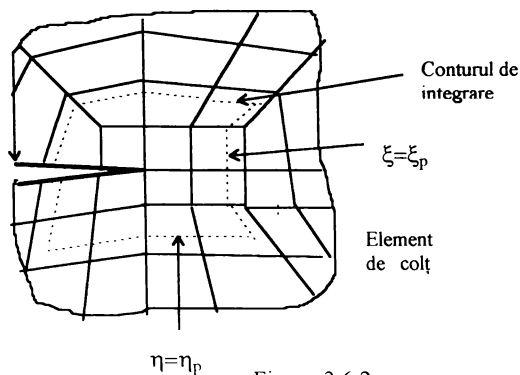


Figura 3.6.2

Integralele pentru elementele de colț se fac tot cu relațiile (3.6.4) sau (3.6.8), adică integrarea se face pe întregul element, dar aceste valori se înmulțesc cu un factor de scară S care se calculează în funcție de poziția punctelor de integrare Gauss P_G . Există două situații posibile pentru contururile de integrare ale elementelor de colț.

Pentru cazul conturului de integrare la elementul de colț din Figura 3.6.3.a factorul de scară $S = (1+P_G) / 2$, iar pentru cazul din Figura 3.6.3.b factorul de scară este $S = (1-P_G) / 2$.

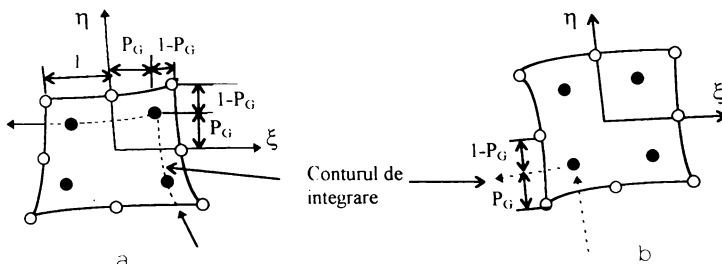


Figura 3.6.3

Cu ajutorul factorilor de scară se calculează cel de-al treilea termen din relația (3.6.9), înlocuind:

$$J_e(colt) = S J_e \tag{3.6.10}$$

integrala J_e fiind calculată pentru întregul element, considerând conturul de integrare $\xi = \xi_p$ sau $\eta = \eta_p$.

Modul de evaluarea numerică a integralei J , precum și aplicații al utilizării acesteia pentru caracterizarea fenomenului de rupere în medii elasto - plastice cu fisuri sunt prezentate în lucrările [O2], [S3], [Y1], [N4], [N5] și [D2].

3.7 ETAPELE PENTRU DETERMINAREA PARAMETRILOR DE MECANICA RUPERII PRIN METODA ELEMENTELOR FINITE

În continuare se vor prezenta etapele ce trebuie parcurse pentru determinarea parametrilor de Mecanica ruperii prin Metoda Elementelor Finite.

3.7.1 MODELAREA GEOMETRIEI

Modelarea geometriei trebuie făcută astfel încât modelul să reproducă cât mai fidel structura reală. Precizia rezultatelor obținute în urma analizei cu elemente finite este puternic influențată de modelul ales.

De asemenea este foarte importantă cunoașterea și introducerea în programul de calcul cu elemente finite, a proprietăților materialului: modul de elasticitate longitudinal E ; transversal G ; coeficientul de contracție transversală ν ; a coeficientului de dilatare termică α_t (la probleme în care apar variații de temperatură), etc.

3.7.2 ALEGEREA TIPULUI DE ELEMENTE FINITE.

Elementele finite diferă între ele prin forma lor geometrică, prin caracteristicile fizice ale materialului din care sunt alcătuite și prin numărul deplasărilor independente care se atașează nodurilor. Pentru determinarea caracteristicilor unui element finit se acceptă o lege convențională de variație a deplasărilor (câmp de deplasări) sau a tensiunilor (câmp de tensiuni) pe element. Aceste legi se aleg de preferință sub forma unor polinoame, ce introduc un număr de coeficienți arbitrari și care se determină din condiții de compatibilitate. Întrucât câmpul de deplasări sau de tensiuni ales nu reprezintă exact variația reală a deplasărilor sau tensiunilor pe domeniul elementului finit, aceasta constituie cauza principală a aproximațiilor pe care le introduce MEF. De aceea, alegerea tipului de element finit se corelează cu modul în care se face discretizarea structurii și va avea în vedere următoarele aspecte:

- Modelul de calcul în care se discretizează structura reală să fie cât mai apropiat de aceasta
- Alegerea tipului de element finit trebuie făcută ținând cont că o precizie mărită a rezultatelor se repercutează în mărirea cantității de calcule.
- Forma structurii poate impune utilizarea simultană a mai multor tipuri de elemente finite.

Pentru modelarea problemelor de Mecanica ruperii, în jurul fisurii trebuie definite elemente finite care să permită modelarea singularității vârfului fisurii, de forma celor prezentate în **subcapitolul 3.4.**

3.7.3. DISCRETIZAREA STRUCTURII.

Structura reală se discretizează în elemente finite numerotate de la 1 la NE, precizându-se apartenența fiecărui element la mulțimea nodurilor sale de conexiune. În această etapă se definește topologia modelului pe care se conduce calculul. Alegerea numărului de elemente finite în care se discretizează structura reală rămâne la latitudinea inginerilor urmărindu-se obținerea unui optim care să țină seama că o discretizare cât mai fină conduce la obținerea unor precizii ridicate, dar și de faptul că un număr foarte mare de elemente finite duce la mărirea timpului de rezolvare a sistemului (3.3.16) sau chiar la depășirea capacității calculatorului pe care se rulează aplicația.

3.7.4 ALCĂȚUIREA MATRICELOR DE RIGIDITATE A ELEMENTELOR FINITE.

Odată precizat tipul elementelor finite și câmpul de deplasări sau tensiuni definit, se poate trece la alcătuirea matricei de rigiditate a elementului finit. Aceasta are forma generală dată de relația (3.3.12) în care $[E]$ este matricea constantelor elastice având forma (3.2.7) pentru starea plană de tensiuni sau (3.2.8) pentru starea plană de deformații. Matricea $[B]$ de transformare a deplasărilor nodale în deformații specifice este specifică tipului de element finit ales.

Alcătuirea matricelor de rigiditate se poate face prin mai multe metode:

a) Metoda directă, care are avantajul simplității, dar aplicarea ei este limitată doar la calculul mecanic al structurilor alcătuite din elemente simple.

b) Metoda variațională, prezentată în **subcapitolul 3.3**, care este cea mai utilizată la ora actuală pentru determinarea parametrilor de Mecanica ruperii.

c) Metoda reziduurilor, folosită în general atunci când metoda variațională nu se poate aplica deoarece nu se cunoaște o mărime funcțională

3.7.5 DETERMINAREA FORȚELOR PE ELEMENTUL FINIT.

Așa cum am arătat trebuiesc evaluate contribuțiile forțelor de volum $\{F\}$, de suprafață $\{Q\}$ și forțelor ce acționează pe nod $\{p_n\}$, asupra elementelor finite. Contribuția tuturor încărcărilor este dată de vectorul forțelor generalizate $\{R\}$, relația (3.3.13).

3.7.6 ASAMBLAREA ECUAȚIILOR ELEMENTELOR ȘI REZOLVAREA SISTEMULUI DE ECUAȚII A STRUCTURII.

Comportarea structurii se obține prin "asamblarea" rigidităților elementelor finite $[k]_e$, ceea ce matematic revine în a combina ecuațiile matriceale ce exprimă comportarea elementelor finite în parte și în obținerea ecuației matriceale ce exprimă comportarea întregii structuri. În urma operației de asamblare se obține matricea de rigiditate a sistemului $[K]$.

La baza acestei operații stă faptul că, într-un nod comun mai multor elemente finite valoarea deplasării este aceeași pentru toate elementele cuplate în acel nod. Înainte de a trece la rezolvarea sistemului de ecuații algebrice astfel obținut, acesta se modifică în funcție de condițiile la limită pe care trebuie să le respecte structura.

Se obține sistemul de ecuații al structurii, dat de relația (3.3.16)

Rezolvarea sistemului de ecuații obținut se face prin una din metodele de rezolvare a sistemelor de ecuații algebrice: metoda Gauss, metoda Gauss cu pivotare, metoda Choleski, metoda Jacobi, metoda Gauss-Seidel, sau metoda frontală; prezentate detaliat în [O1], [B20].

Prin rezolvarea sistemului de ecuații se obțin valorile deplasărilor nodurilor structurii.

3.7.7. CALCULUL CELORLALTE MĂRIMI.

Soluțiile sistemului de ecuații, adică deplasările nodale se folosesc la determinarea ulterioară deformațiilor specifice respectiv a tensiunilor. Deformațiile specifice se determină cu ajutorul relației (3.2.2).

Cunoscând deformațiile specifice se pot determina cu relația (3.2.5) componentele vectorului tensiunilor în sistemul global de coordonate.

În continuare de exemplu pentru o problemă plană se pot calcula, cu relațiile cunoscute,

- tensiunile principale :

$$\sigma_{1,2} = \frac{\sigma_x + \sigma_y}{2} \pm \frac{1}{2} \sqrt{(\sigma_x - \sigma_y)^2 + 4\tau_{xy}^2} \quad (3.7.7.1)$$

- tensiunile tangențiale maxime:

$$\tau_{1,2} = \pm \frac{\sigma_1 - \sigma_2}{2} \quad (3.7.7.2)$$

- direcțiile principale:

$$\operatorname{tg} 2\alpha = \frac{2\tau_{xy}}{\sigma_y - \sigma_x} \quad (3.7.7.3)$$

Programele moderne de analiză elemente finite (ca de exemplu NASTRAN, COSMOS/M, ANSYS, ABAQUS) au în componența lor module performante de postprocesare a mărimilor obținute în urma rulării programului . Astfel se reprezintă grafic starea de tensiune și deformație, sub forma unor linii sau benzi de egală tensiune sau deformație. Reprezentarea se poate face pe modelul analizat sau pe deformată modelului, unele programe având și facilități de animație a deformațiilor structurilor.

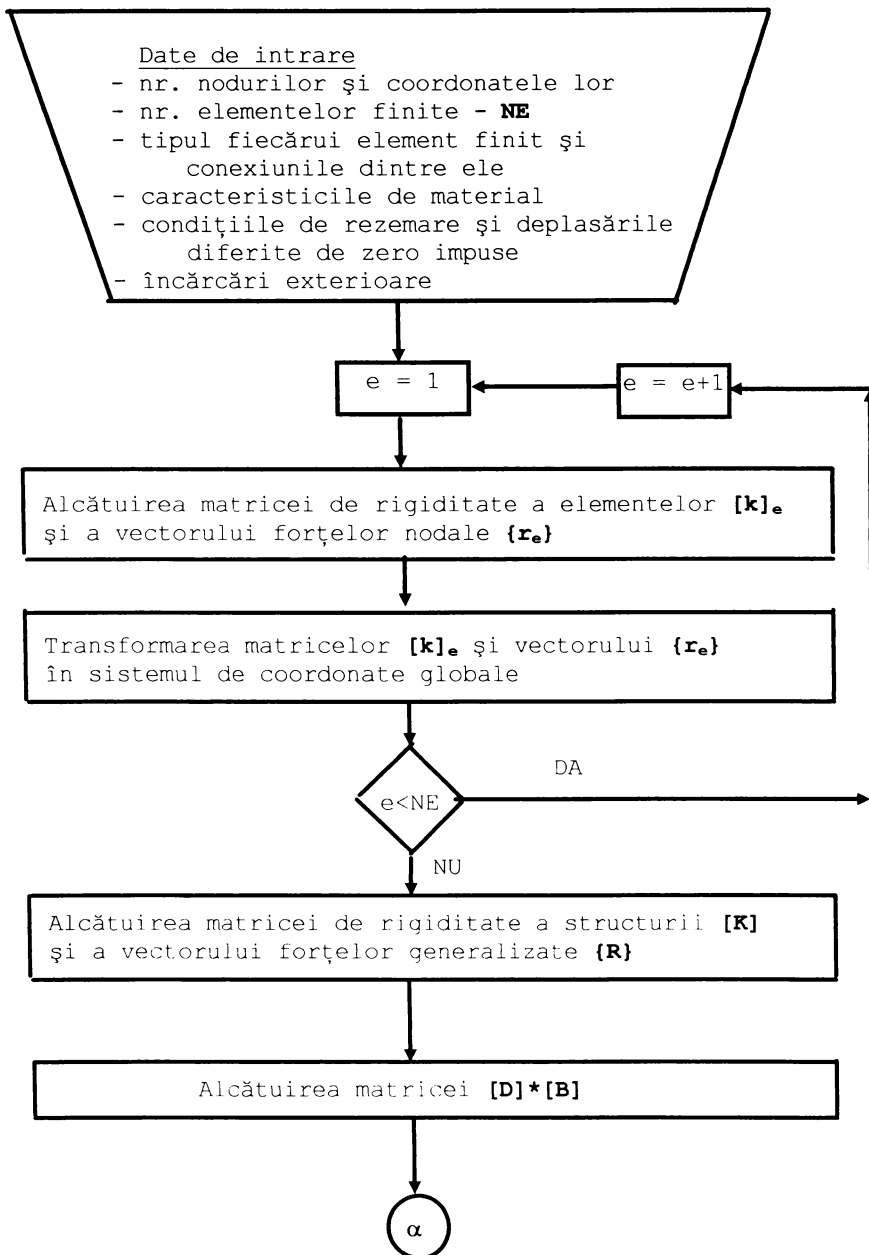
3.7.8. CALCULUL PARAMETRILOR DE MECANICA RUPERII

Pentru elementele de rezistență ce prezintă discontinuități geometrice de forma fisurilor în această etapă se calculează parametrii definiți în Mecanica ruperii. Pentru structurile elastice parametrul ce caracterizează starea de tensiuni și deformație în vecinătatea vârfului fisurii este *factorul de intensitate a tensiunii* K . Metodele de evaluare a factorului de intensitate a tensiunii prin MEF au fost prezentate în **subcapitolul 3.5**.

Parametrii Mecanicii ruperii utilizați pentru materiale cu comportare elasto - plastică sunt integrala J , deplasările de deschidere a fisurii δ , unghiul de deschidere la vârful fisurii Ψ . Modul de evaluare numerică a acestora este prezentat în **subcapitolul 3.6**.

În Figura 3.7.1 am prezentat etapele descrise sub forma unei scheme logice pentru un program de calcul cu elemente finite a parametrilor de Mecanica ruperii.

La programele recente FRANC2DL și FRANC3D, specializate pentru analiza cu finite a parametrilor de Mecanica ruperii, etapele de rezolvare sunt diferite față de programele clasice de analiză cu elemente finite. Astfel se modelează geometria, se discretizează cu elemente izoparametrice clasice, se rezolvă sistemul de ecuații și se calculează mărimile de ieșire fără a ține cont de discontinuitățile geometrice de forma fisurilor. Apoi se definesc fisurile, programul șterge elementele învecinate fisurii și discretizează cu elemente singulare, care modelează singularitatea vârfului fisurii și cu elemente de legătură între acestea și elementele inițiale. Această modelare se bazează pe elemente de topologie matematică. Apoi rezolvă din nou sistemul de ecuații, se recalculează deformațiile specifice, tensiunile și apoi parametrii de Mecanica ruperii. Aceste programe au incorporate și subrutine pentru studiul cu elemente finite a propagării fisurii, astfel pentru fiecare nouă lungime a fisurii programul rediscretizează zona adiacentă vârfului fisurii, rezolvă sistemul de ecuații și calculează parametrii de rupere. Rularea acestor programe necesită calculatoare cu procesoare de viteză foarte mare și cu suficientă memorie.



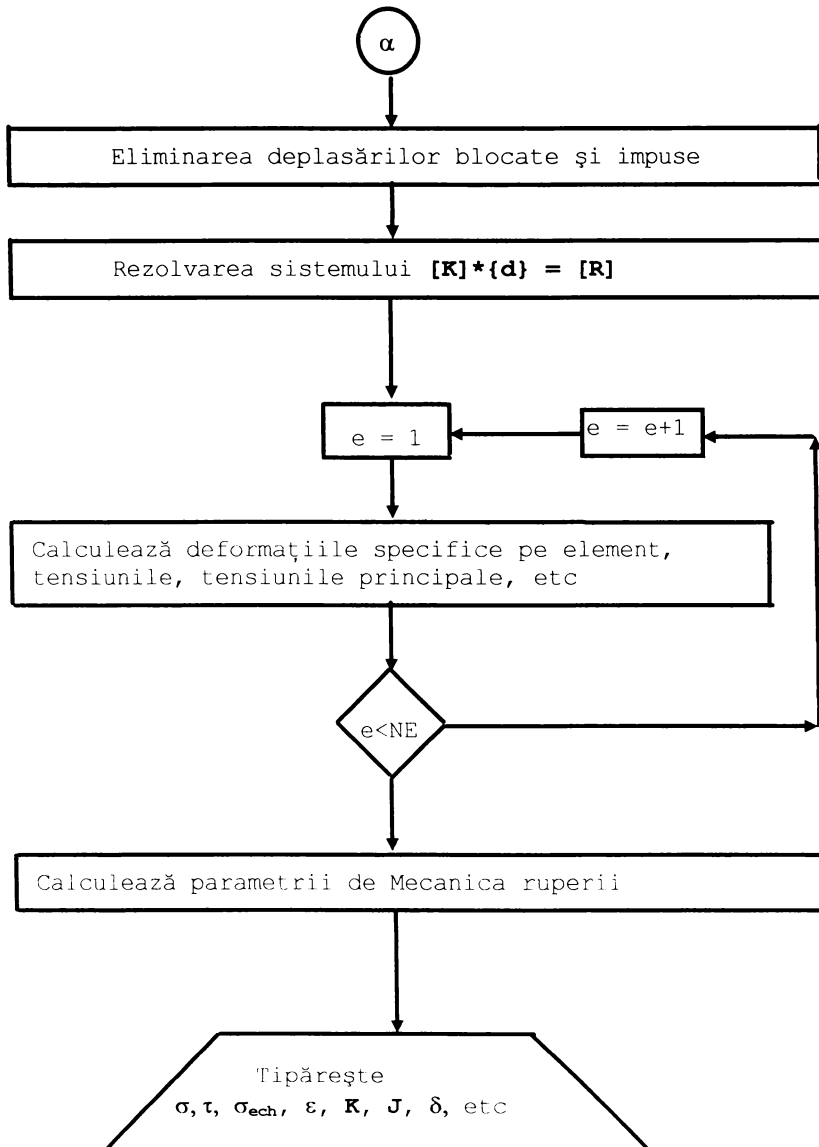


Figura 3.7.1

CAPITOLUL 4

APLICAȚII ALE UTILIZĂRII ANALIZEI CU ELEMENTE FINITE PENTRU DETERMINAREA PARAMETRILOR DIN MECANICA RUPERII

În acest capitol vor fi prezentate câteva rezultate obținute de autor pentru determinarea factorului de intensitate a tensiunii **K** prin Metoda elementelor finite. Aplicațiile considerate se referă la geometrii pentru care nu am găsit în literatura de specialitate soluțiile analitice ale factorului de intensitate a tensiunii. Pentru modelarea vârfului fisurii s-au considerat elemente finite de tipul celor prezentate în **subcapitolul 3.4**, iar pentru calculul factorului de intensitate a tensiunii s-au utilizat metodele prezentate în **subcapitolul 3.5**. Determinarea factorului de intensitate a tensiunii s-a realizat un program elaborat de autor în **QBASIC**, bazat pe metoda extrapolării tensiunilor.

4.1 DETERMINAREA FACTORULUI DE INTENSITATE A TENSIUNII LA VÂRFUL UNEI CRESTĂTURI LATERALE

În ultima perioadă tot mai mulți cercetători au fost preocupați de extinderea conceptelor de Mecanica ruperii la elemente de rezistență cu concentratori de tensiune de forma creștăturilor. Cunoașterea parametrilor caracteristici Mecanicii ruperii pentru piese cu concentratori de tensiune permite extinderea criteriilor de Mecanica ruperii la aceste tipuri de elemente de rezistență, putându-se apoi efectua studii privind inițierea, respectiv propagarea prin oboseală a ruperii.

Distribuția tensiunilor în vecinătatea unei creștături poate fi determinată prin metode analitice, experimentale sau numerice.

Și pentru cazul creștăturilor se definește, ca parametru ce caracterizează distribuția tensiunilor **factorul de intensitate a tensiunii la vârful creștăturii**.

Un studiu al metodelor analitice pentru calculul factorului de intensitate a tensiunilor la vârful creștăturilor este prezentat în lucrarea [B21]. Expresia factorului de intensitate a tensiunii pentru creștătură ascuțită, fără rază de racordare ($\rho = 0$) la vârful creștăturii este de forma, [B21]:

$$K_I = \sqrt{2\pi} \lim_{r \rightarrow 0} [r^{2-n} \sigma_\theta(r, 0)] \tag{4.1.1}$$

unde (r, θ) reprezintă coordonatele sistemului polar cu originea în vârful creștăturii, Figura 4.1.1.

σ_θ tensiunea normală circumferențială,

$n \geq 1,5$ un exponent în funcție de unghiul creștăturii β

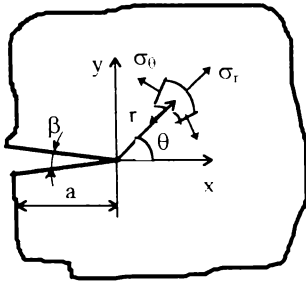


Figura 4.1.1

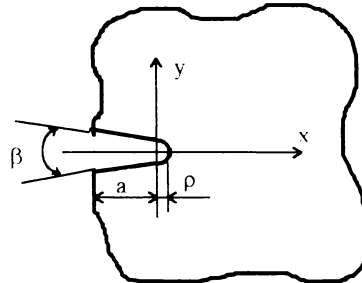


Figura 4.1.2

Pentru cazul unei creștături de lungime a , având o rază de racordare la vârful fisurii ρ , Figura 4.1.2, Creager dă soluția factorului de intensitate a tensiunii sub forma, [C12]:

$$K_I = \sigma_y(a) \sqrt{\pi a} \frac{\left(2 + \frac{\rho}{a}\right)^{3/2}}{2 \left(1 + \frac{\rho}{a}\right)} \quad (4.1.2)$$

unde $\sigma_y(a)$ este valoarea componenteii după direcția y a tensiunii în dreptul lungimii creștăturii a .

Distribuția tensiunilor σ_x, σ_y din jurul creștăturilor se poate stabili prin metode analitice, numerice sau experimentale.

Din relațiile (4.1.1) și (4.1.2) se obține expresia factorului de intensitate a tensiunii pentru o fisură, ca un caz particular pentru: $\beta = 0$; $\rho = 0$.

O altă metodă analitică pentru calculul factorului de intensitate a tensiunii la vârful unei creștături este dată de Fett în lucrarea [F3]. El consideră o creștătură având unghiul β și adâncimea a , aflată într-o placă semiinfinită, Figura 4.1.3.

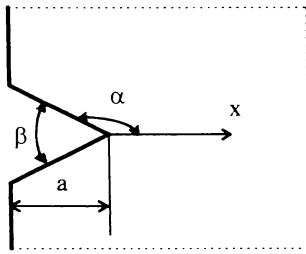


Figura 4.1.3

Factorul de intensitate a tensiunii la vârful creștăturii este pentru acest caz:

$$K_{I,\beta} = \sigma \sqrt{\pi a^\omega} f(\beta) \quad (4.1.3)$$

unde σ reprezintă tensiunea ce acționează la asupra plăcii,

a adâncimea creștăturii

ω este un exponent funcție de unghiul creștăturii, fiind prima rădăcină a ecuației:

$$\sin[2(\omega - 1)\alpha] + (\omega - 1) \sin 2\alpha = 0 \quad (4.1.4)$$

În Tabelul 4.1.1 se prezintă valorile exponentului ω și a funcției $f(\beta)$ pentru câteva valori ale unghiului β .

Tabelul 4.1.1

Unghiul β [°]	Exponentul ω [-]	$f(\beta) = \frac{K_{I,\beta}}{\sigma \sqrt{\pi a^\omega}}$
0	0,499	1,122
20	0,498	1,128
40	0,500	1,140
60	0,504	1,172
90	0,500	1,272
120	0,495	1,468
140	0,500	1,467
160	0,505	1,750
180	0,504	1,414

Cu ajutorul relației (4.1.3) se poate determina factorul de intensitate a tensiunii la vârful unei creștături ascuțite aflată într-o placă semiinfinită.

Metodele analitice de determinare a factorului de intensitate a tensiunii la vârful creștăturii sunt greu de aplicat la piese având geometrii finite. De aceea am utilizat pentru determinarea factorului de intensitate a tensiunii la vârful unei creștături ascuțite metoda elementului finit. Am considerat că factorul de intensitate a tensiunii pentru o placă cu o creștătură laterală având unghiul β , (Figura 4.1.3) este de de forma:

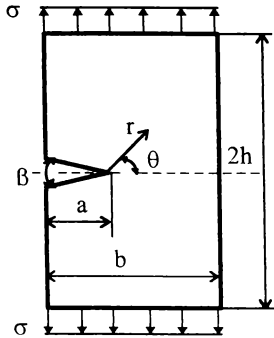


Figura 4.1.4

$$K_{I,\beta} = \sigma \sqrt{\pi a} f(\beta) \tag{4.1.5}$$

unde σ este tensiunea ce acționează asupra plăcii,
 a este adâncimea creștăturii,
 $f(\beta)$ este o funcție de unghiul creștăturii β .

Determinarea factorului de intensitate a tensiunii $K_{I,\beta}$ s-a realizat prin metoda extrapolării tensiunii σ_y , descrisă în paragraful 3.5.2, cu ajutorul unui program elaborat de autor în QBASIC.

Analiza cu elemente finite am realizat-o cu programul COSMOS/M, utilizând elemente finite izoparametrice cu 8 noduri. Decizia de alegerea a elementelor izoparametrice cu 8 noduri a fost luată pe baza unui studiu al discretizării, folosind elemente triunghiulare cu 3 noduri, 6 noduri, elemente izoparametrice cu 4, respectiv 8 noduri. Cea mai fidelă reprezentare a câmpului de tensiuni din vecinătatea vârfului creștăturii s-a obținut când s-au utilizat elemente izoparametrice cu 8 noduri. De asemenea folosirea acestor elemente mi-a furnizat un număr suficient de date pentru analiza prin regresie liniară a tensiunilor și aplicarea metodei extrapolării tensiunii pentru determinarea factorului de intensitate a tensiunii.

Am considerat o platbandă având lățimea $b = 60$ mm, lungimea $2h = 120$ mm, adâncimea creștăturii $a = 24$ mm și diferite unghiuri pentru creștătură. Elementele de rezistență de forma platbenzilor cu creștături laterale ascuțite apar în construcțiile tiranților mașinilor grele.

Modul de discretizare este prezentat în Figura 4.1.5, pentru unghiul $\beta = 30^\circ$, discretizarea efectuându-se în 154 elemente, legate între ele prin cele 521 noduri. Am considerat o încărcare monoaxială, constantă cu tensiunea $\sigma = 15,33$ MPa.

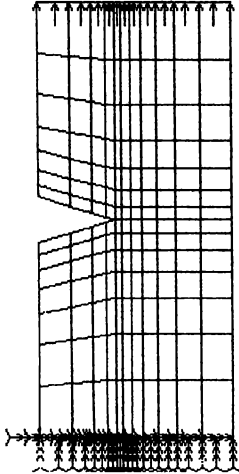
În Tabelul 4.1.2 sunt prezentate o parte din rezultatele obținute în urma rulării (care a durat 76 secunde) și anume variația tensiunii σ_y pe două direcții $\theta = 0^\circ$ și $\theta = 90^\circ$. Alegerea acestor direcții pentru extrapolarea deplasărilor s-a făcut pe baza considerentelor că pe aceste direcții sunt un număr suficient de noduri pentru a trasa dreapta de regresie și pe observațiile din lucrările [S11] și [S12] care indică pentru determinarea factorului de intensitate a tensiunii prin extrapolare direcția $\theta = 90^\circ$.

Metoda extrapolării tensiunii presupune determinarea factorului de intensitate a tensiunii pe baza drepte de regresie $K_i = f(r)$, unde :

$$K_i = \frac{\sigma_{yi} \sqrt{2\pi r_i}}{\cos \frac{\theta}{2} \left(1 + \sin \frac{\theta}{2} \sin \frac{3\theta}{2} \right)} \tag{4.1.6}$$

unde θ reprezintă direcția după care se face extrapolarea,

r_i este distanța de la vârful creștăturii până la nodul i considerat, măsurată pe direcția θ ,
 σ_{y_i} este valoarea tensiunii după direcția y în nodul i



Modelul considerat

- $b = 60 \text{ mm}$
- $2h = 120 \text{ mm}$
- $a = 24 \text{ mm}$
- $a/b = 0,4$
- grosimea 5 mm
- $\beta = 30^\circ$
- $\sigma = 15,33 \text{ MPa}$

Discretizare

- Tip element PLANE2D,
- cu 8 noduri pe element
- Număr elemente = 154
- Număr noduri = 521

Figura 4.1.5

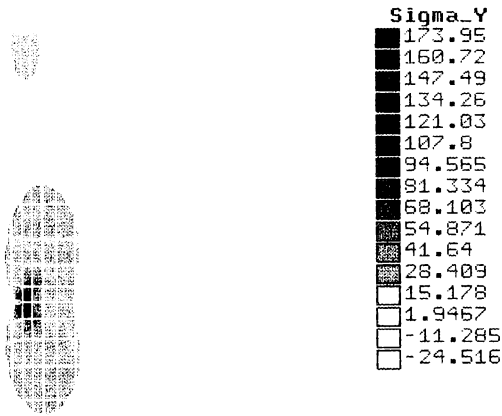


Figura 4.1.6

În Figura 4.1.6 este prezentată variația tensiunii σ_y , obținută în urma rulării.

Tabelul 4.1.2

$\theta = 0^\circ$				$\theta = 90^\circ$			
Nodul	r_i [mm]	σ_{vi} [MPa]	K_i [N/mm ^{3/2}]	Nodul	r_i [mm]	σ_{vi} [MPa]	K_i [N/mm ^{3/2}]
361	1,02	123,9	313,662	120	1,69	115,70	355,460
362	2,17	64,02	236,393	129	3,62	60,03	269,921
363	3,47	54,82	255,973	134	5,79	52,60	299,115
364	4,95	46,55	259,605	143	8,25	42,97	291,680
365	6,62	39,92	257,460	148	11,04	37,34	293,206
366	8,51	32,96	241,014	157	14,19	31,51	280,513
367	10,65	28,37	232,073	162	17,76	28,56	284,442
368	13,08	23,60	213,947	171	21,79	25,44	280,646
369	15,82	19,21	191,523	176	26,34	23,59	286,121
370	18,92	14,82	161,584	185	31,53	21,64	287,166
371	22,43	9,51	112,898	190	37,39	21,51	310,836
$K_{I,extrap}$	294,998			$K_{I,extrap}$	300,477		
$K_{I,mediu}$	297,737						

În Tabelul 4.1.2 se prezintă și valorile calculate cu relația (4.1.6) ale lui K_i , cu programul elaborat, precum și rezultatele extrapolării după cele două direcții considerate, adică valoarea factorului de intensitate a tensiunii $K_{I,extrap}$ și media celor două valori $K_{I,med}$.

Pentru $\theta = 0^\circ$, în Figura 4.1.7 am reprezentat variația tensiunii σ_{vi} în funcție de distanța de la vârful creștăturii r_i , iar în Figura 4.1.8 am reprezentat variația lui K_i în funcție de r_i , precum și dreapta de regresie. Analog pentru $\theta = 90^\circ$ am reprezentat $\sigma_{vi} = f(r_i)$, în Figura 4.1.9 și $K_i = f(r_i)$ în Figura 4.1.10. Figurile 4.1.7. - 4.1.10. s-au trasat pe calculator cu utilitarul matematic MathCAD.

În Figurile 4.1.7 și 4.1.9 se observă fenomenul de puternică concentrare a tensiunii σ_v din vecinătatea vârfului creștăturii, ceea ce confirmă abordarea acestor probleme prin intermediul factorului de intensitate a tensiunii de la vârful creștăturii.

Valorile obținute ale factorului de intensitate a tensiunii după cele două direcții considerate diferă cu 1,8%. Am găsit că o precizie ridicată în determinarea factorului de intensitate se obține ca valoare medie a celor două determinări. Astfel, pentru cazul fisurii, pentru care este cunoscută soluția analitică, [T1], când unghiul creștăturii $\beta = 0^\circ$, eroarea cea mai mică a factorului de intensitate a tensiunii se obține pentru valoarea medie:

$$K_{I,mediu} = \frac{K_{I,extrap0} + K_{I,extrap90}}{2} \tag{4.1.7}$$

$K_{I,extrap0}$ - valoarea factorului de intensitate a tensiunii obținută luând în considerare nodurile de pe direcția $\theta = 0^\circ$

$K_{I,extrap90}$ - valoarea factorului de intensitate a tensiunii obținută luând în considerare nodurile de pe direcția $\theta = 90^\circ$

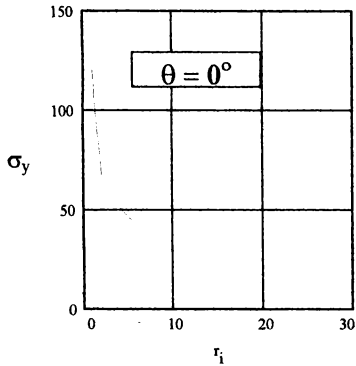


Figura 4.1.7: $\sigma_{y1} = f(r_i)$

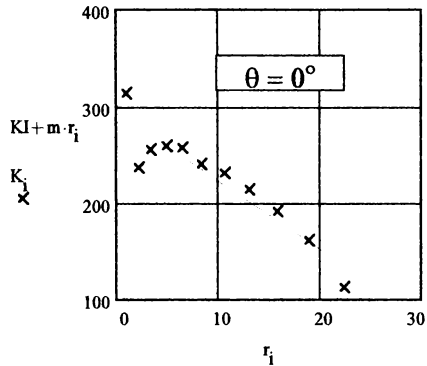


Figura 4.1.8: $K_I = 294,998 - 7,413 r_i$
 $K_I = 294,998 \text{ N/mm}^{3/2}$

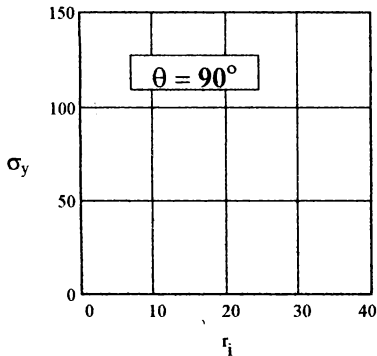


Figura 4.1.9: $\sigma_{y1} = f(r_i)$

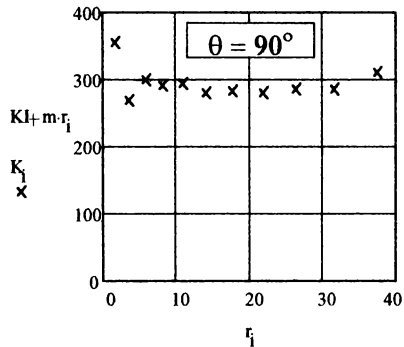
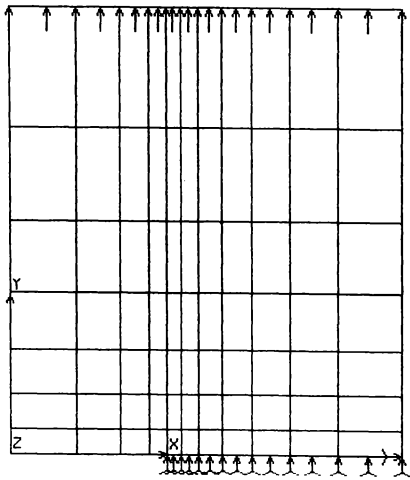


Figura 4.1.10: $K_I = 300,477 - 0,367 r_i$
 $K_I = 300,477 \text{ N/mm}^{3/2}$

Pentru cazul unei fisuri laterale am modelat jumătate din platbandă cu elemente izoparametrice cu 8 noduri, folosind aceiași parametrii de discretizare ca în cazul precedent (număr noduri, număr elemente, mărimea elementelor), Figura 4.1.11.

Condițiile de rezemare impuse au fost blocarea deplasării pe direcția y a nodurilor din axa de simetrie și blocarea deplasării după direcția x a nodului exterior, Figura 4.1.11.

În urma rulării, care a durat 58 secunde, s-a obținut deformata platbandei cu fisură laterală, prezentată în Figura 4.1.12 comparativ cu poziția nedeformată, respectiv distribuția distribuția tensiunii σ_y , prezentată în Figura 4.1.13.



Modelul considerat

$b = 60 \text{ mm}$

$h = 60 \text{ mm}$

$a = 24 \text{ mm}$

$a/b = 0,4$

grosimea 5 mm

$\beta = 0^\circ$

$\sigma = 15,33 \text{ MPa}$

Discretizare

Tip element PLANE2D,

cu 8 noduri pe element

Număr elemente = 77

Număr noduri = 268

Figura 4.1.11

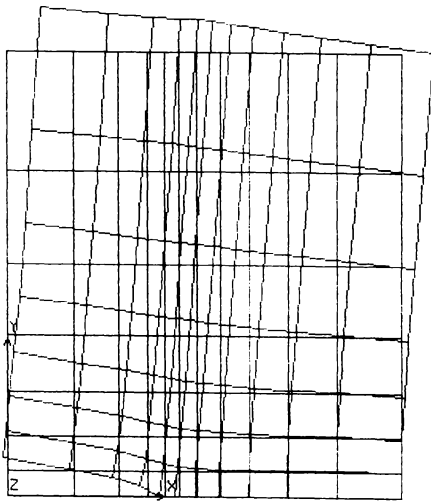


Figura 4.1.12

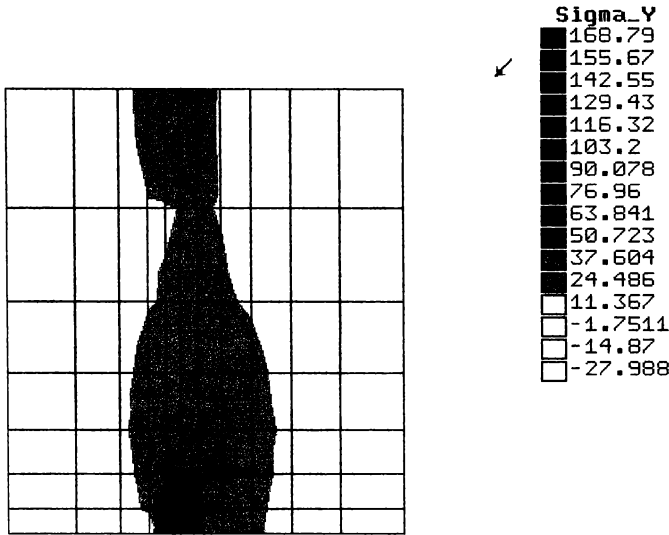


Figura 4.1.13

Pe baza distribuției tensiunii obținută în urma analizei cu elemente finite am determinat cu ajutorul programului propriu EXTENS, factorul de intensitate a tensiunii la vârful fisurii, K_I . În Figurile 4.1.14 și 4.1.15 se prezintă variațiile lui $K_i = f(r_i)$ pentru cele două direcții considerate: $\theta = 0^\circ$ și $\theta = 90^\circ$.

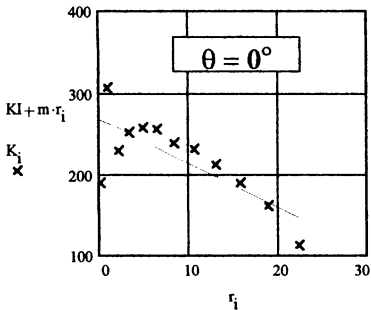


Figura 4.1.14: $K_I = 268,239 - 5.38 r_i$
 $K_I = 268,239 \text{ N/mm}^{3/2}$

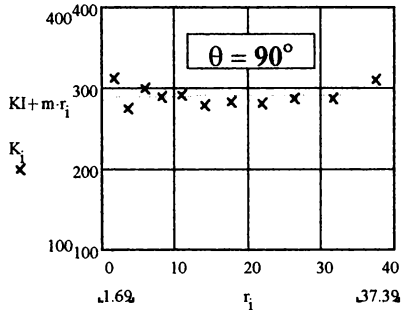


Figura 4.1.15: $K_I = 289,998 + 0.055 r_i$
 $K_I = 289,926 \text{ N/mm}^{3/2}$

Rezultatele obținute pentru cazul fisurii laterale (pentru unghiul creștăturii $\beta=0$) sunt prezentate în Tabelul 4.1.3 și comparate cu valoarea analitică dată în [T1]:

$$K_I = \sigma \sqrt{\pi a} f(a / b) \tag{4.1.8}$$

Pentru $\sigma = 15,33 \text{ MPa}$, $a = 24 \text{ mm}$, $b = 60 \text{ mm}$, $a/b = 0,4$, $2h = 120 \text{ mm}$ și grosimea 5 mm

$$f(a/b) = 1,12 - 0,231(a/b) + 10,55(a/b)^2 - 21,72(a/b)^3 + 30,39(a/b)^4 = 2,103 \quad (4.1.9)$$

rezultă $K_{I,analitic} = 279,938 \text{ N/mm}^{3/2}$.

Tabelul 4.1.3

$\beta = 0^\circ$	$K_{I,extrap} (\theta = 0^\circ)$	$K_{I,extrap} (\theta = 90^\circ)$	$K_{I,mediu}$	$K_{I,analitic} \text{ [T1]}$
$K_I \text{ [N/mm}^{3/2}]$	268,239	289,926	279,083	279,938
Eroarea [%]	-4,2	3,5	0,3	-

Din Tabelul 4.1.3 se observă că abaterea minimă față de valoarea analitică a factorului de intensitate a tensiunii $K_{I,analitic}$, calculată pe baza relațiilor (4.1.8) și (4.1.9), se obține dacă se consideră valoarea medie $K_{I,mediu}$, calculată pe baza celor două valori obținute prin extrapolare $K_{I,extrap}$, cu relația (4.1.7).

De asemenea, comparând dreptele de regresie trasate pentru cele două valori ale unghiului θ (0° și 90°), se observă că ambele tind spre valoarea factorului de intensitate a tensiunii $K_{I,analitic}$. Valoarea factorului de tensiune analitic $K_{I,analitic}$ aflându-se între cele două valori determinate prin extrapolarea tensiunilor.

În concluzie valoarea cea mai precisă a factorului de intensitate a tensiunii este valoarea medie, $K_{I,mediu}$ a celor două valori obținute prin extrapolarea tensiunilor $K_{I,extrap}$.

În continuare am determinat, prin analiză cu elemente finite și prin metoda extrapolării tensiunii, expresia factorului de intensitate a tensiunii la vârful creștăturii $K_{I,\beta}$ și funcția $f(\beta)$ pentru diferite valori ale unghiului β .

S-au considerat aceleași dimensiuni ale plăcii:

$a = 24 \text{ mm}$, $b = 60 \text{ mm}$, $a/b = 0,4$, $2h = 120 \text{ mm}$ și grosimea 5 mm

Încărcarea s-a considerat monoaxială și constantă cu tensiunea $\sigma = 15,33 \text{ MPa}$.

Discretizarea s-a realizat identic cu cea prezentată în Figura 4.1.5 în 154 elemente izoparametrice cu 8 noduri, conectate în 521 noduri.

Valorile factorilor de intensitate a tensiunii $K_{I,\beta}$ și a funcției $f(\beta) = \frac{K_{I,\beta}}{\sigma \sqrt{\pi a}}$ obținute

pentru 9 valori diferite ale unghiului β sunt prezentate în Tabelul 4.1.4.

Tabelul 4.1.4

β [$^\circ$]	$K_{I,\beta} = K_{I,mediu}$ [N/mm ^{3/2}]	$f(\beta) = \frac{K_{I,\beta}}{\sigma \sqrt{\pi a}}$ [-]
0	279,083	2,097
15	287,925	2,613
30	297,737	2,237
45	305,230	2,293
60	314,414	2,362
75	320,405	2,407
90	327,593	2,461
105	345,296	2,594
120	400,800	3,011

Cu valorile din Tabelul 4.1.4 am încercat găsirea unei corelații a funcției $f(\beta)$. În acest scop am elaborat un program pentru interpolare polinomială, bazat pe metoda celor mai mici pătrate. Programul a fost scris în utilitarul matematic MathCAD. Astfel pentru placa considerată s-a obținut:

$$f(\beta) = 2,096 + 0,006 \beta - 1,856 \cdot 10^{-4} \beta^2 + 5,975 \cdot 10^{-6} \beta^3 - 7,863 \cdot 10^{-8} \beta^4 + 3,533 \cdot 10^{-10} \beta^5 \quad (4.1.10)$$

Relația (4.1.10) permite determinarea funcției $f(\beta)$, respectiv a factorului de intensitate a tensiunii la vârful creștăturii pentru orice valoare a unghiului β , cuprinsă între 0° și 120° .

Precizia estimării funcției $f(\beta)$ este dată parametrii estimării: coeficientul de determinare $R_d = 0,99989$, coeficientul de corelație $cor = 0,99978$ și eroarea standard a estimării $er.s.e. = 0,67\%$.

În Figura 4.1.16 am reprezentat variația funcției $f(\beta)$, găsită prin interpolare polinomială (trasată cu linie continuă), precum și valorile funcției $f(\beta)$ calculate pe baza factorilor de intensitate a tensiunii determinați prin extrapolarea tensiunilor rezultate în urma analizei cu elemente finite (marcate cu x).

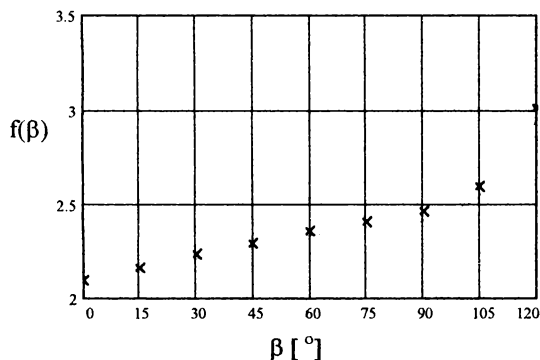


Figura 4.1.16

Obținerea funcției $f(\beta)$ reprezintă o contribuție originală a autorului, privind determinarea factorului de intensitate a tensiunii la vârful unei creștături cu unghiul β .

Importanța soluției obținute de autor constă în faptul că aceasta permite determinarea factorului de intensitate a tensiunii de la vârful unei creștături ascuțite aflată într-o platbandă, ale cărei dimensiuni satisfac rapoartele $2h/b = 2$ și $a/b = 0,4$. Din diagrama de variație a funcției $f(\beta)$ sau prin calcul din relația (4.1.10) se poate estima valoarea funcției $f(\beta)$ pentru orice unghi β cuprins între 0° și 120° , iar apoi cu ajutorul relației (4.1.5) se poate calcula valoarea factorului de intensitate a tensiunii la vârful creștăturii ascuțite.



4.2 DETERMINAREA FACTORULUI DE INTENSITATE A TENSIUNII PENTRU O PLATBANDĂ CU UN ORIFICIU CIRCULAR DIN CARE SE DEZVOLTĂ FISURI.

4.2.1 FISURI DEZVOLTATE DIN ORIFICII CIRCULARE.

Cazul platbandelor ce conțin orificii circulare este des întâlnit în practică. Realizarea unor orificii circulare în elementele de rezistență de forma platbandelor, este necesară în scopul asamblării prin șuruburi, bolțuri sau nituri, precum și în scop tehnologic, de exemplu găuri de acces, orificii pentru trecerea sau asamblarea conductelor. Platbandele, având orificii circulare intră în componența structurilor de rezistență de tipul tiranților. Prezența acestor orificii produce concentrări ale tensiunilor în vecinătatea lor și chiar apariția unor fisuri care se dezvoltă de pe suprafața orificiilor. Pentru aprecierea siguranței în exploatare a unor astfel de elemente de rezistență pe baza principiilor Mecanicii ruperii materialelor este necesară cunoașterea factorilor de intensitate a tensiunii.

Pentru o platbandă cu orificiu circular și fisură, Figura 4.2.1.1 expresia generală a factorului de intensitate a tensiunii este:

$$K_I = \sigma \sqrt{\pi a} f(a, D, b, h) \tag{4.2.1.1}$$

unde σ este tensiunea ce soliciță platbanda la tracțiune monoaxială,
 a lungimea fisurii,
 $f(a, D, b, h)$ este o funcție de geometria platbandei.

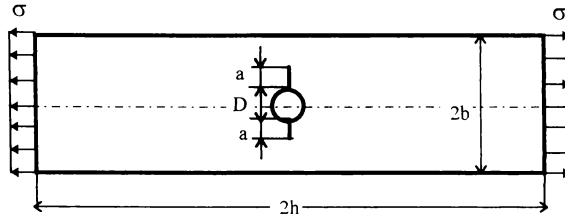


Figura 4.2.1.1

O primă estimare a factorului de intensitate a tensiunii este dată în [B15], pentru cazul când lungimea fisurii a este comparabilă cu diametrul orificiului D . Această aproximare inginerească, așa cum este denumită în [B15] consideră o fisură efectivă a_{ef} având lungimea egală cu lungimea fisurii a plus diametrul orificiului circular D . Astfel:

- pentru cazul când din orificiu se dezvoltă o singură fisură, Figura 4.2.1.2.a,

$$2 a_{ef} = D + a$$

rezultă:

$$K_I = \sigma \sqrt{\pi a_{ef}} = \sigma \sqrt{\pi a} \sqrt{\frac{D}{2a} + \frac{1}{2}} = \sigma \sqrt{\pi a} f_1\left(\frac{a}{D}\right) \tag{4.2.1.2}$$

cu $f_1\left(\frac{a}{D}\right) = \sqrt{\frac{D}{2a} + \frac{1}{2}}$

- pentru cazul când din orificiu se dezvoltă două fisuri simetrice, Figura 4.2.1.2.b,

$$2 a_{ef} = D + 2 a$$

rezultă:

$$K_I = \sigma \sqrt{\pi a_{ef}} = \sigma \sqrt{\pi a} \sqrt{\frac{D}{2a} + 1} = \sigma \sqrt{\pi a} f_2 \left(\frac{a}{D} \right) \quad (4.2.1.3)$$

cu $f_2 \left(\frac{a}{D} \right) = \sqrt{\frac{D}{2a} + 1}$.

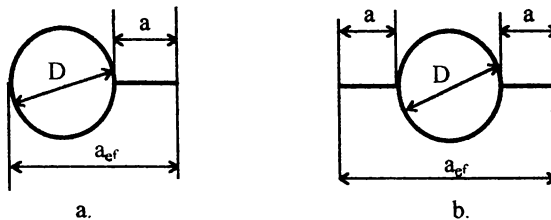


Figura 4.2.1.2

Variația funcțiilor $f_1(a/D)$, respectiv $f_2(a/D)$ este trasată în Figurile 4.2.1.3.a respectiv 4.2.1.3.b.

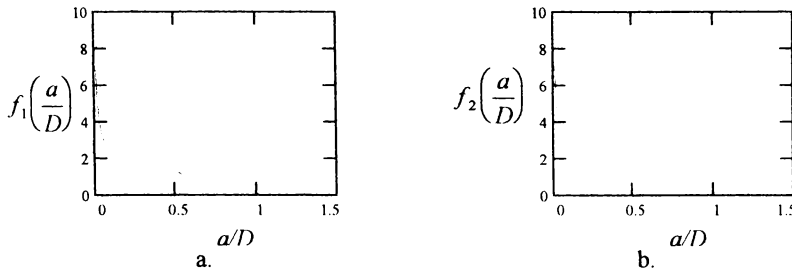


Figura 4.2.1.3

Soluția factorului de intensitate a tensiunii obținută considerând orificiul circular ca o fisură, dată de relațiile (4.2.1.2) și (4.2.1.3), este valabilă doar pentru cazul fisurilor de lungime mare.

Newman determină factorul de intensitate a tensiunii al unei platbenzi de dimensiuni finite având un orificiu circular din care se dezvoltă două fisuri simetrice, de forma celei din Figura 4.2.1.1, prin metoda colocației. Influența geometriei platbenzii este luată în considerare prin intermediul funcției: $f(a/b, R/b, h/b)$, unde $R = D/2$ reprezintă raza orificiului circular.

Rezultatele obținute de Newman sunt prezentate sub formă grafică în lucrarea [T1] și reproduse în Figura 4.2.1.4.

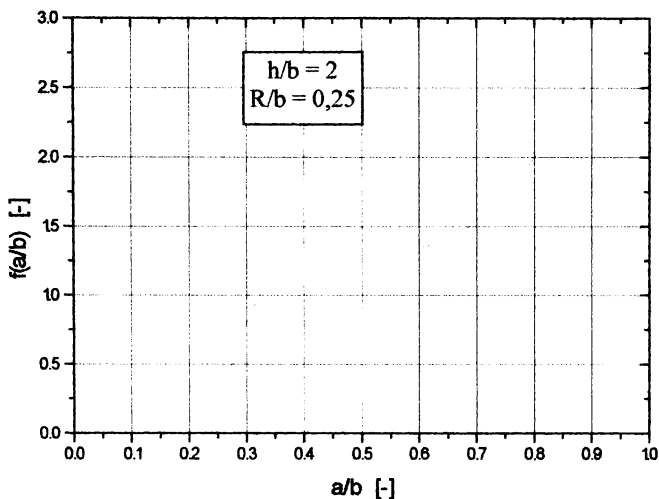


Figura 4.1.2.4

Precizia pentru soluția lui Newman este estimată în [T1], ca fiind afectată de erori mai mici de 0,1%. Dezavantajul acestei soluții este că nu se prezintă sub o formă matematică care să permită introducerea ei într-un program de calcul al factorului de intensitate a tensiunii.

În bibliografia studiată nu am găsit o soluție analitică pentru orificiu circular din care se dezvoltă o singură fisură perpendiculară pe direcția încărcării, respectiv pentru o fisură care face un anumit unghi cu direcția încărcării. La acest din urmă caz deplasarea flancurilor fisurii realizându-se după modul mixt (I și II). De aceea am apelat la Metoda elementului finit pentru a determina o soluție numerică a factorului de intensitate a tensiunii. Pentru determinarea numerică a factorului de intensitate a tensiunii am utilizat programul **FRANC2D/L** (FRacture ANalysis Code).

4.2.2. PROGRAMUL **FRANC2D/L**

Programul **FRANC2D** este specializat pentru determinarea factorului de intensitate a tensiunii, la vârful unor discontinuități geometrice de forma fisurilor, bazat pe Metoda elementului finit. El a fost elaborat de un grup de cercetători (Computational Fracture Group) de la Cornell University, SUA sub conducerea Prof. Anthony Ingraffea și a Dr. Paul Wawrzynek. Acest program rulează numai pe stații grafice în sistemul de operare UNIX de tipul Sun, DEC Alpha, Silicon Graphics, IBM RS6000, Hewlett Packard.

La Kansas State University, SUA Prof. Daniel Swenson și cercetătorul Mark James au dezvoltat o variantă a acestui program, numită **FRANC2D/L**, care are în plus facilități de calcul a structurilor multistrat și o variantă pentru calculatoare compatibile IBM PC. Această versiune pentru PC lucrează pe 32 biți și realizarea ei a fost posibilă după apariția sistemului de operare WINDOWS'95. Rularea acestui program necesită resurse hardware considerabile și anume un procesor cu o frecvență de minimum 133 MHz și o memorie de minimum 16 MRAM, recomandabil fiind 32 MRAM.

Am obținut programul FRANC2D/L prin INTERNET, pe baza unui acord primit din partea Prof. D. Swenson de la Kansas State University.

Programul FRANC2D/L realizează analiza liniară elastică cu elemente finite pentru elemente de rezistență, aflate în stare plană de tensiune sau deformație și axial simetrice, având posibilitatea definirii unor fisuri și a determinării factorului de intensitate a tensiunii pentru acestea, [S20].

Datele de intrare în programul FRANC2D/L sunt fișiere (cu extensia *.inp) în care se dau:

- numărul de straturi, numărul de materiale care compun elementul de rezistență;
- tipul problemei: stare plană de tensiune, de deformație, axialsimetrică;
- tipul de material: izotrop, anizotrop;
- caracteristicile de material: modulele de elasticitate, coeficientul lui Poisson pentru fiecare material;
- tenacitatea la rupere K_{IC} ;
- grosimea straturilor;
- numărul de elemente finite în care se face discretizarea structurii;
- numărul de noduri al structurii;
- topografia discretizării: definirea nodurilor pentru fiecare element, poziția nodurilor.

Programul FRANC2D/L acceptă numai elemente izoparametrice cu 6 (pentru structuri solicitate la încovoiere) și 8 noduri, de forma celor descrise în **paragraful 3.4**. Datele referitoare la discretizarea structurii se introduc fără a ține cont de prezența fisurilor, acestea urmând a fi definite în sesiunea de lucru cu FRANC. Avantajul acestui mod de introducere a discretizării este că ea poate fi efectuată într-un program general de analiză cu elemente finite, ca de exemplu COSMOS/M, NASTRAN, ANSYS sau într-un preprocesor special numai pentru discretizare, ca de exemplu CASCA și importată în FRANC.

Preprocesarea în FRANC constă în introducerea rezemărilor, a încărcărilor, permite modificarea constantelor de material și a tipului problemei (stare plană de tensiune, de deformație sau axialsimetric).

Rezemările se pot defini pentru noduri sau pe anumite porțiuni ale laturilor. De asemenea este posibilă impunerea unor deplasări pe anumite noduri sau porțiuni din contur.

Tipurile de încărcări acceptate sunt: încărcări cu forțe concentrate; încărcări cu sarcini distribuite, care pot fi constante, liniare sau pătratice; încărcări masice la care se dă accelerația; încărcări termice la care se specifică distribuția temperaturii.

Apoi se poate face analiza cu elemente finite a piesei. Programul FRANC2D/L are posibilitatea de a rezolva sistemul de ecuații caracteristic prin două metode :

- metoda de eliminare a lui Gauss
- metoda relaxării dinamice a lui Underwood.

După rulare postprocesarea rezultatelor constă în posibilitatea vizualizării **tensiunilor** σ_x , σ_y , τ_{xy} ; a tensiunilor principale σ_1 , σ_2 ; a tensiunii tangențiale maxime τ_m ; a deformației, a deplasărilor u , v și a deformațiilor specifice ϵ_x , ϵ_y , γ_{xy} . Rezultatele pot fi afișate sub formă de text sau reprezentate sub formă de benzi sau linii.

Determinarea parametrilor de Mecanica ruperii se face definind una sau mai multe fisuri. Acestea pot fi interne sau laterale, pornind de la una din marginile piesei. După definirea fisurilor programul FRANC2D/L șterge elementele din vecinătatea fisurii și rediscrtează creând la vârful fisurilor singularitatea câmpului de deformație și tensiune. Aceasta discretizare poate fi modificată de utilizator sau acceptată soluția dată de program.

Se rulează din nou programul iar ca date de ieșire, pe lângă cele amintite anterior, se pot obține factorii de intensitate a tensiunii K_I și K_{II} calculați prin trei metode diferite:

- extrapolarea deplasărilor;
- pe baza forței de extensie a fisurii, G_I și G_{II} afișându-se și valorile acestora;
- pe baza integralei J_I și J_{II} , de asemenea afișându-se și valorile acestora.

Programul are opțiune pentru propagarea unei fisuri existente prin re poziționarea vârfului fisurii; aceasta se poate face prin introducerea noilor coordonate ale vârfului fisurii de către utilizator sau automat de către program.

În cazul opțiunii de propagare a fisurii prin oboseală, aceasta se face după legea lui Paris, iar programul necesită introducerea coeficientului și a exponentului din legea lui Paris. Propagarea fisurii se realizează automat, direcția de propagare fiind direcția tensiunii tangențiale maxime din jurul fisurii. Există și posibilitatea de a se impune de către operator direcția de propagare a fisurii.

De asemenea se poate obține o "istorie" a evoluției factorului de intensitate a tensiunii în funcție de lungimea fisurii pe parcursul propagării fisurii, precum și variația lungimii fisurii în funcție de numărul de cicluri de oboseală.

Analiza propagării fisurii se face prin rediscrretizarea și rularea după fiecare creștere incrementală a fisurii. Aceasta necesită un timp de rulare foarte mare care impune rularea pe calculatoare cu viteză de lucru mare și memorie cât mai mare.

4.2.3 DETERMINAREA FACTORULUI DE INTENSITATE A TENSIUNII PENTRU O PLATBANDĂ CU ORIFICIU CIRCULAR DIN CARE SE DEZVOLTĂ DOUĂ FISURI SIMETRICE.

Am considerat o platbandă cu un orificiu circular având forma și geometria ca în Figura 4.2.3.1

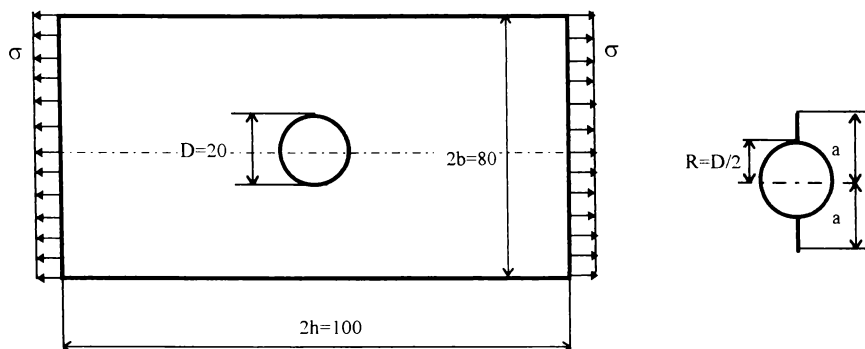


Figura 4.2.3.1

Dimensiunile platbenzii s-au considerat: lungimea $2h = 100$ mm; lățimea $2b = 80$ mm, grosimea 5 mm iar diametrul orificiului circular $D=2R=20$ mm, deci raportul $R/b=0,25$.

Ținând cont de simetria plăcii am modelat cu ajutorul programului CASCA numai o jumătate din placă.

Discretizarea s-a realizat în 248 de elemente izoparametrice cu 8 noduri, legate între ele în 829 noduri. Geometria discretizată, precum și constantele de material (modulul de elasticitate alngitudinal $E=2,1 \cdot 10^5$ MPa și coeficientul lui Poisson $\nu = 0,3$) le-am salvat într-un fișier cu date de intrare pentru FRANC2D/L: **orif.inp**

Discretizarea s-a importat în FRANC2D/L, apoi s-au definit rezemările (blocând deplasările după direcțiile x și y a porțiunii inferioare a platbenzii și blocând deplasarea pe direcția x a marginii, în axa de simetrie a platbenzii cu orificiu, pe baza considerentului că

nodurile respective sunt legate în axa de simetrie de nodurile celeilalte jumătăți a platbenzii) și încărcarea cu o tensiune liniar distribuită având valoarea $\sigma = 10$ MPa.

În urma rulării programului FRANC s-a obținut deformata, Figura 4.2.3.2 și variația tensiunii σ_y , reprezentată în Figura 4.2.3.3. sub formă de benzi de tensiune. În Figura 4.2.3.3 se observă fenomenul de concentrare a tensiunilor în jurul orificiului circular.

Pe baza rezultatelor obținute, tensiunea maximă la frontiera orificiului $\sigma_{max} = 31,93$ MPa am calculat coeficientul de concentrare a tensiunilor:

$$k_{t,MEF} = \frac{\sigma_{max}}{\sigma} = \frac{31,93}{10} = 3,193$$

Valoarea analitică a coeficientului de concentrare a tensiunii, dată în [P13] este pentru $R/b = 0,25$: $k_{t,teor} = 3,24$. Între valoarea analitică a coeficientului de concentrare a tensiunii $k_{t,teor}$ și cea determinată prin analiză cu elemente finite există o abatere de 1,45%.

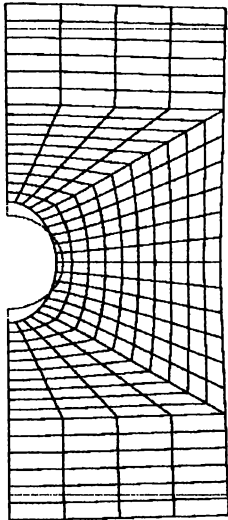


Figura 4.2.3.2



Figura 4.2.3.3

Am definit apoi o fisură având lungimea de 2 mm pornită din orificiul circular, adică $a = 12$ mm. Programul FRANC a șters în mod automat elementele din jurul vârfului fisurii definite și a rediscretizat zona respectivă, Figura 4.2.3.5.a Singularitatea corespunzătoare vârfului fisurii s-a creat prin introducerea unor elemente izoparametrice degenerate și prin deplasarea nodurilor de la mijlocul laturilor la un sfert din lungimea laturilor spre vârful fisurii, procedură descrisă în paragraful 3.4.

Rulând s-a obținut variația tensiunii σ_y din jurul vârfului fisurii ca în Figura 4.2.3.5.b., iar cu ajutorul opțiunii de calcul a factorului de intensitate a tensiunii s-a obținut valoarea factorului de intensitate a tensiunii pentru modul I de deplasare a flancurilor fisurii: $K_I = 68,22$ MPa mm^{1/2}. Valoarea factorului de intensitate a tensiunii s-a calculat prin metoda de extrapolare a deplasărilor.

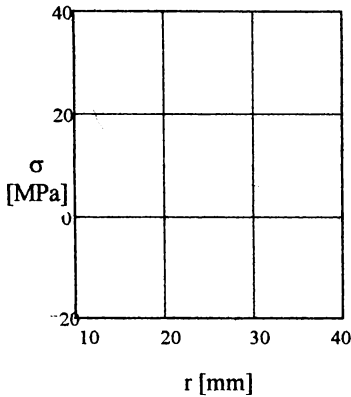


Figura 4.2.3.4

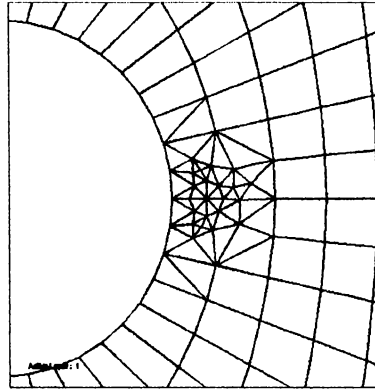


Figura 4.2.3.5.a



Figura 4.2.3.5.b

Am reluat problema pentru alte lungimi ale fisurii de la 14 mm la 36 mm cu un pas de 2 mm, păstrând nemodificate rezemările și încărcarea, efectuând rediscritizarea și rulând programul FRANC2D/L pentru fiecare lungime a fisurii. Pentru fiecare lungime a fisurii a , s-a obținut valoarea factorului de intensitate a tensiunii $K_{I,MEF}$, prin metoda extrapolării tensiunii. Cu această valoare s-a calculat factorul adimensional de intensitate a tensiunii $f(a/b, R/b)$.

Datele obținute sunt prezentate în Tabelul 4.2.3.1 comparativ cu valorile analitice prezentate în [T1], pentru funcția $f_T(a/b, R/b)$.

Tabelul 4.2.3.1

Nr.crt	Lungime fisură a [mm]	Raportul a/b [-]	Factorul de intensitate a tensiunii, MEF K_{I,MEF} [MPa mm ^{1/2}]	Funcția $f\left(\frac{a}{b}, \frac{R}{b}\right) = \frac{K_{I,MEF}}{\sigma\sqrt{\pi a}}$ [-]	Funcția după Tada f_T(a/b, R, b) [-]	Abate-rea Δ [%]
1	10	0,25	0	0	0	-
2	12	0,30	68,22	1,111	1,10	-1,00
3	14	0,35	77,90	1,175	1,18	0,28
4	16	0,40	86,15	1,215	1,22	0,41
5	18	0,45	93,75	1,247	1,26	1,03
6	20	0,50	102,70	1,296	1,30	0,31
7	22	0,55	113,40	1,364	1,35	-1,05
8	24	0,60	122,17	1,407	1,40	-0,50
9	26	0,65	138,20	1,529	1,52	-0,59
10	28	0,70	149,30	1,592	1,60	0,50
11	30	0,75	163,33	1,682	1,70	1,06
12	32	0,80	193,11	1,926	1,93	0,21
13	34	0,85	228,65	2,212	2,22	0,36
14	36	0,90	279,60	2,629	2,65	0,79

Din Tabelul 4.2.3.1 se observă că diferențele dintre valoarea analitică a funcției f(a/b, R/b) și valoarea determinată prin analiză cu elemente finite sunt în jur de 1,00 %, ceea ce validează modelarea cu elemente finite.

În Figura 4.2.3.6 se prezintă discretizarea din zona învecinată fisurii de lungime 32 mm. În Figura 4.2.3.7 este dată distribuția tensiunii pentru fisura de lungime 32 mm iar în Figura 4.2.3.8 deformata platbenzii pentru cazul fisurii de lungime 32 mm.

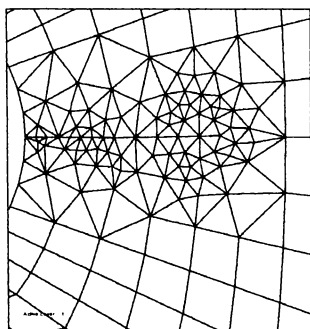


Figura 4.2.3.6

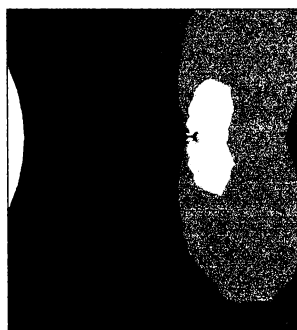
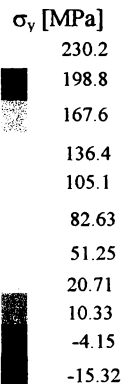


Figura 4.2.3.7



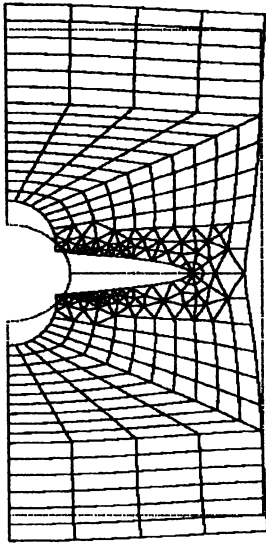


Figura 4.2.3.8

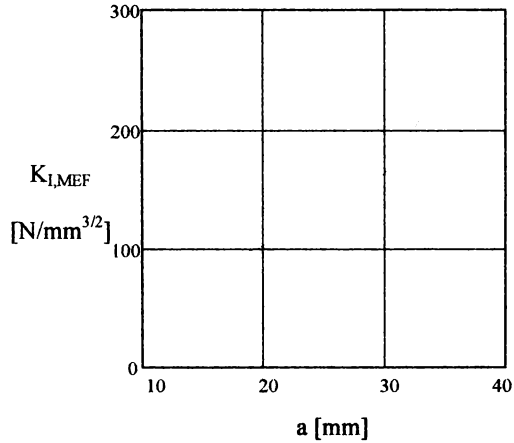


Figura 4.2.3.9

În Figura 4.2.3.9 s-a trasat variația factorului de intensitate a tensiunii obținut prin metoda elementului finit $K_{I,MEF}$ în funcție de lungimea fisurii a .

S-a încercat determinarea prin interpolare polinomială a expresiei funcției $f(a/b)$, pe baza rezultatelor obținute în urma analizei cu elemente finite. Interpolarea polinomială s-a realizat cu ajutorul unui program de interpolare polinomială bazat pe metoda celor mai mici pătrate și scris în MathCAD. Astfel s-a obținut expresia funcției $f(a/b)$ sub forma:

$$f(a/b) = 2,332 - 12,127 (a/b) + 41,744 (a/b)^2 - 58,307 (a/b)^3 + 30,336 (a/b)^4 \quad (4.2.1.4)$$

Pentru funcția determinată parametrii ce caracterizează precizia estimării sunt: coeficientul de determinare $Rd = 0,99913$; coeficientul de corelație $cor = 0,99826$ iar eroarea standard a estimării este de 2,29 %. Trebuie menționat că soluția originală obținută, dată de relația (4.2.1.4) este valabilă pentru o platbandă cu orificiu circular, la care dimensiunile respectă rapoartele $h/b = 2$ iar $R/b = 0,25$, iar raportul între lungimea fisurii și lățimea platbenzii, a/b este cuprins în intervalul $[0,3...0,9]$.

În Figura 4.2.3.10 s-a reprezentat funcția $f(a/b)$ obținută prin interpolare polinomială (cu linie continuă), precum și punctele pe baza cărora s-a efectuat interpolarea (■). Aceste puncte reprezintă valorile funcției $f(a/b)$ obținute prin analiză cu elemente finite.

Soluția obținută de autor prin interpolare polinomială se bazează pe valorile funcției $f(a/b)$ rezultate în urma analizei cu elemente finite. Avantajul exprimării sub formă polinomială a funcției $f(a/b)$, față de exprimarea sub formă grafică din Figura 4.1.2.4, dată în [T1], constă în aceea că soluția propusă de autor poate fi introdusă într-un program de calcul în scopul determinării factorului de intensitate a tensiunii.

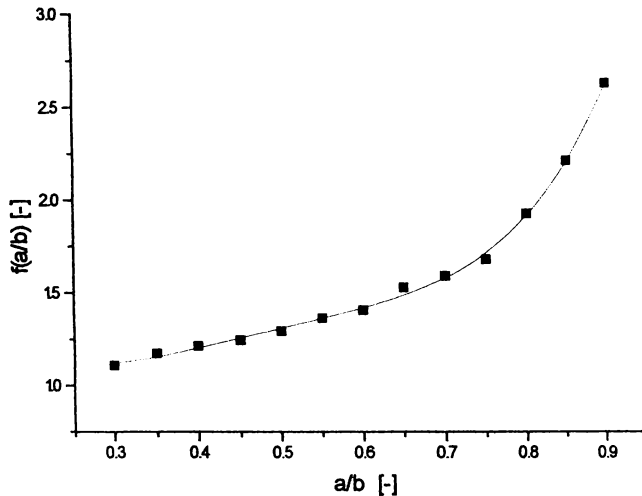


Figura 4.2.3.10

Pentru a studia precizia estimării în Tabelul 4.2.3.2 sunt prezentate comparativ pentru diferite valori ale raportului a/b , valorile funcției $f(a/b)$ obținute prin analiză cu elemente finite, cu soluția propusă de autor și cele analitice date în [T1]. Se observă că erorile față de soluția analitică [T1] sunt de până la 2%, ceea ce confirmă valabilitatea soluției determinată de autor prin interpolare pe baza rezultatelor obținute prin analiză cu elemente finite.

Tabelul 4.2.3.2

Nr.crt	Raportul a/b [-]	Funcția după analiză MEF f_{MEF} [-]	Funcția după interp. f_{interp} [-]	Funcția după Tada f_T [-]	Abate- rea Δ [%]
1	0,25	0	0	0	-
2	0,30	1,111	1,122	1,10	-2,00
3	0,35	1,175	1,157	1,18	1,95
4	0,40	1,215	1,205	1,22	1,22
5	0,45	1,247	1,258	1,26	0,16
6	0,50	1,296	1,312	1,30	-0,92
7	0,55	1,364	1,364	1,35	-1,03
8	0,60	1,407	1,421	1,40	-1,50
9	0,65	1,529	1,489	1,52	2,04
10	0,70	1,592	1,582	1,60	1,12
11	0,75	1,682	1,718	1,70	-1,06
12	0,80	1,926	1,919	1,93	0,57
13	0,85	2,212	2,212	2,22	0,36
14	0,90	2,629	2,628	2,65	0,83

4.2.4. DETERMINAREA FACTORULUI DE INTENSITATE A TENSIUNII PENTRU O PLATBANDĂ CU ORIFICIU CIRCULAR DIN CARE SE DEZVOLTĂ O FISURĂ

Dacă pentru cazul platbenzii cu orificiu circular din care se dezvoltă două fisuri simetrice se găsește în bibliografie [T1], [B15] soluția pentru factorul de intensitate a tensiunii, nu am întâlnit în bibliografia studiată soluția pentru cazul unei singure fisuri care se dezvoltă din orificiul circular.

De asemenea în acest paragraf voi prezenta o soluție originală a expresiilor factorilor de intensitate a tensiunii K_I și K_{II} determinată pentru modul mixt de deplasare a flancurilor fisurii, în cazul în care fisura face un unghi β . Soluțiile sunt determinate prin Metoda elementelor finite cu ajutorul programului FRANC2DL.

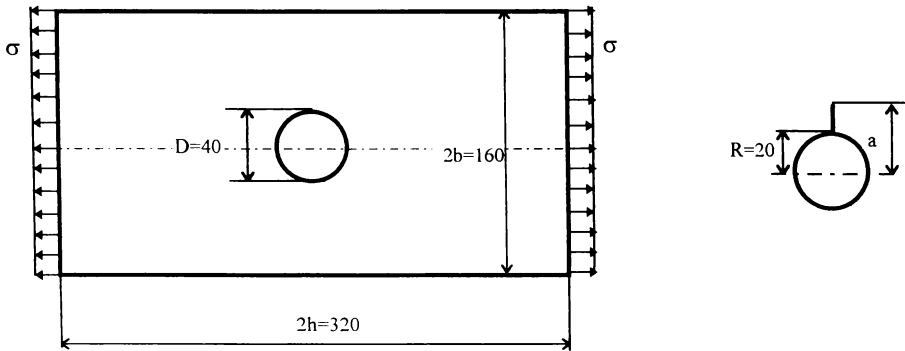


Figura 4.2.4.1

S-a considerat o placă având forma și dimensiunile din Figura 4.2.4.1.

În prima etapă s-a determinat variația factorului de intensitate a tensiunii K_I în funcție de lungimea fisurii pentru diferite valori ale lungimii fisurii a . În acest scop am modelat în preprocesorul CASCA geometria plăcii cu orificiu circular și am realizat discretizarea, Figura 4.2.4.2. Discretizarea plăcii s-a realizat cu 400 de elemente izoparametrice cu 8 noduri, conectate între ele prin 1280 noduri. Această discretizare s-a importat în programul FRANC2DL, s-au definit rezemările și o încărcare monoaxială cu tensiune constantă $\sigma = 10$ MPa. Apoi s-a definit o fisură ce se dezvoltă din orificiul circular având lungimea $a = 22$ mm. Programul a rediscretizat zona din vecinătatea vârfului fisurii, creând elemente singulare, conform Figurii 4.2.4.3. Rulând programul FRANC2DL am obținut valoarea factorului de intensitate a tensiunii $K_I = 89,04$ MPa $\text{mm}^{1/2}$. Am reluat problema pentru alte 11 valori ale lungimii fisurii valorile obținute sunt prezentate în Tabelul 4.2.4.1.

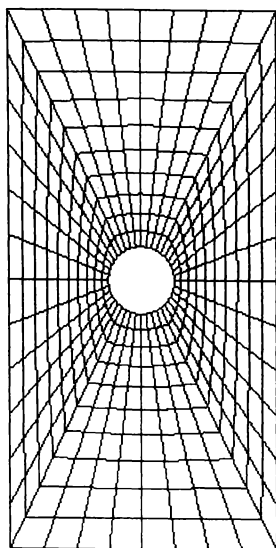


Figura 4.2.4.2

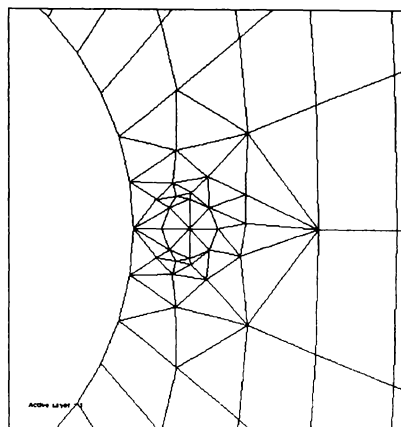


Figura 4.2.4.3

Tabelul 4.2.4.1

Lungimea fisurii a [mm]	Raportul a/b [-]	Factorul de intensitate a tensiunii K _I [MPa mm ^{1/2}]	Funcția $f(a/b) = \frac{K_I}{\sigma\sqrt{\pi a}}$ [-]
22	0,275	89,04	1,071
24	0,300	93,20	1,073
28	0,350	101,72	1,084
32	0,400	109,21	1,089
36	0,450	116,13	1,091
40	0,500	122,69	1,094
44	0,550	129,40	1,101
48	0,600	136,42	1,111
52	0,650	143,40	1,122
56	0,700	155,01	1,169
60	0,750	170,04	1,238
64	0,800	213,81	1,508

În Figura 4.2.4.4 am reprezentat variația factorului de intensitate a tensiunii K_I în funcție de lungimea fisurii, rezultate obținute în urma rulării cu programul FRANC2DL.

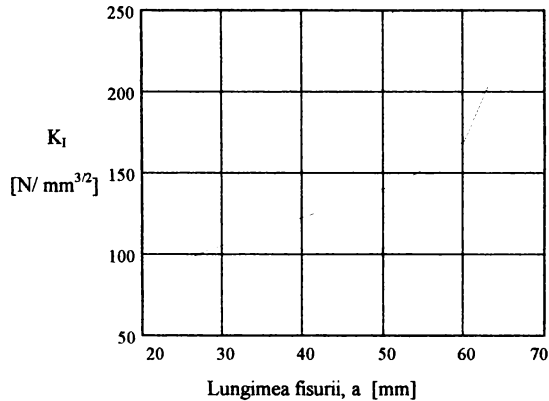


Figura 4.2.4.4

Pentru a găsi o soluție analitică care să exprime funcția $f(a/b)$, numită și factorul de intensitate a tensiunii adimensional, definit de relația:

$$f(a/b) = \frac{K_I}{\sigma \sqrt{\pi a}} \quad (4.2.4.1)$$

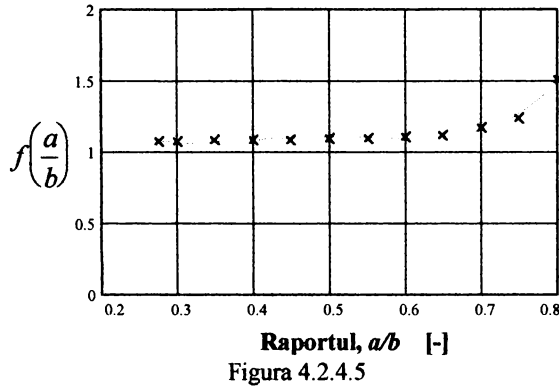
s-a realizat o interpolare polinomială, a rezultatelor obținute prin analiză cu elemente finite, cu ajutorul unui program ce utilizează metoda celor mai mici pătrate, scris în utilitarul matematic **MathCAD 5**.

Luând în considerare perechile de valori care reprezintă raportul a/b și funcția $f(a/b)$, date în Tabelul 4.2.4.1 am obținut prin interpolare polinomială expresia funcției $f(a/b)$ sub forma unui polinom de ordinul 4:

$$f(a/b) = 3,087 - 19,032 \frac{a}{b} + 64,793 \left(\frac{a}{b}\right)^2 - 94,191 \left(\frac{a}{b}\right)^3 + 49,781 \left(\frac{a}{b}\right)^4 \quad (4.2.4.2)$$

Precizia estimării este dată de parametrii: coeficientul de determinare $R_d=0,99295$; coeficientul de corelație $cor=0,98595$ și eroarea standard a estimării $er.s.e = 1,8\%$.

În Figura 4.2.4.5 am reprezentat cu linie continuă funcția găsită iar cu "x" punctele din Tabelul 4.2.4.1 pe baza cărora s-a efectuat interpolarea:



Soluția propusă în relația (4.2.4.2) este originală și poate fi utilizată pentru determinarea factorului de intensitate a tensiunii pentru o placă având un orificiu circular din care se dezvoltă o fisură.

În cazul când fisura nu pornește din orificiul circular astfel încât ea să fie perpendiculară pe direcția încărcării (Figura 4.2.4.1), ci formează un anumit unghi β , Figura 4.2.4.6, ruperea se produce după modurile I și II. Parametrii de rupere care trebuie să fie determinați în acest caz sunt factorii de intensitate a tensiunii corespunzători celor două moduri de deplasare a flancurilor fisurii, adică K_I și K_{II} . Determinarea acestor parametri s-a efectuat prin analiză cu elemente finite utilizând programul FRANC2DL.

S-au considerat aceleași dimensiuni ale plăcii ca în Figura 4.2.4.1. și am modelat fisuri înclinate cu unghiul $\beta = 0; 5^0; 10^0; \dots; 90^0$. Lungimea fisurii s-a considerat aceeași pentru toate înclinările fisurii $a=40$ mm, adică $a/b = 0,5$.

Pentru fiecare geometrie cu fisură înclinată am păstrat aceeași încărcare $\sigma = 10$ MPa și aceeași rezemare.

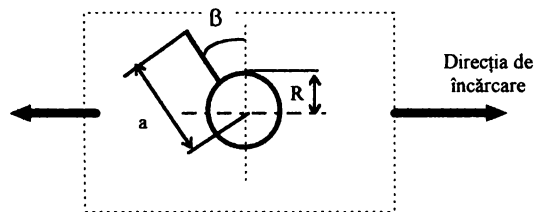


Figura 4.2.4.6

Discretizările zonei învecinate vârfului fisurii pentru înclinarea fisurii cu unghiul β de 10^0 , respectiv 45^0 sunt prezentate în figurile 4.2.4.7, respectiv 4.2.4.8.

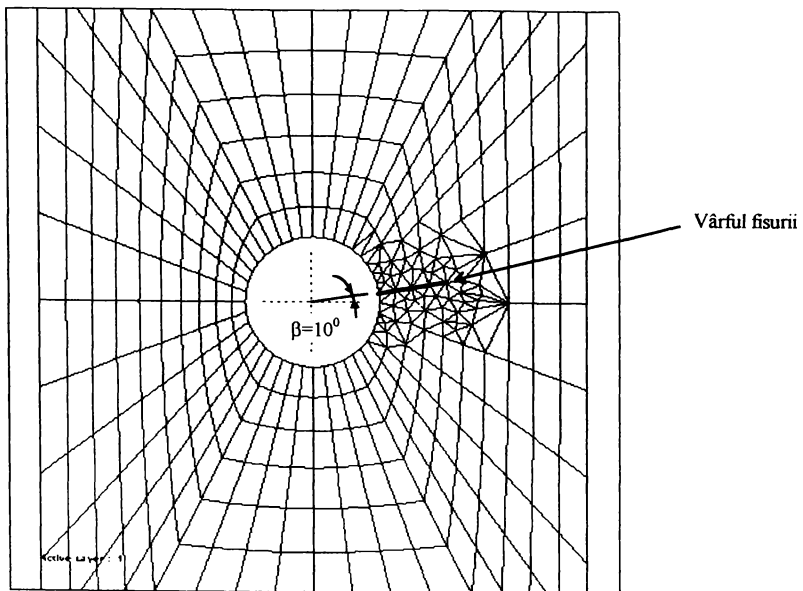


Figura 4.2.4.7

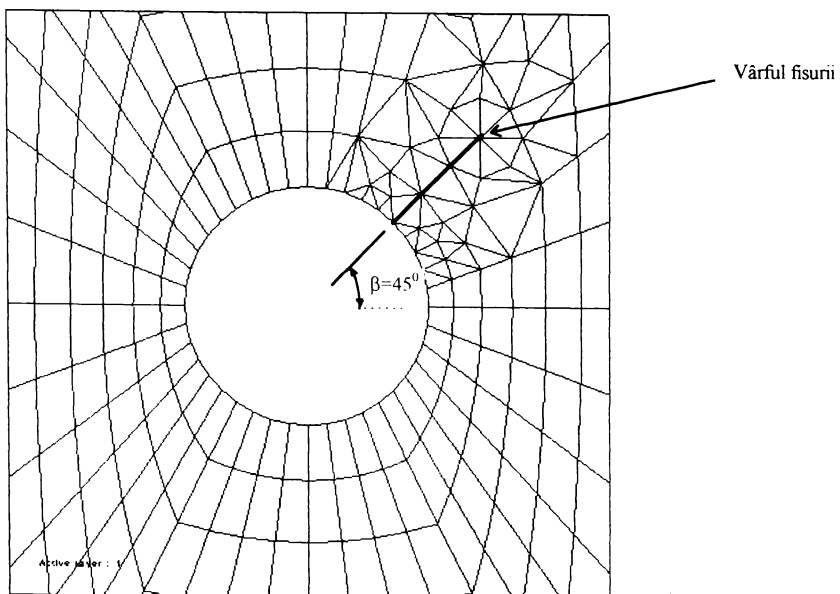


Figura 4.2.4.8

Rezultatele obținute în urma analizei cu elemente finite sunt prezentate în Tabelul 4.2.4.2

Tabelul 4.2.4.2

Unghiul β [$^{\circ}$]	Factorul de intensitate a tensiunii K_I	Factorul de intensitate a tensiunii K_{II}	Funcția $f_I(\beta) = \frac{K_I}{\sigma\sqrt{\pi a}}$	Funcția $f_{II}(\beta) = \frac{K_{II}}{\sigma\sqrt{\pi a}}$
	[$N/mm^{3/2}$]	[$N/mm^{3/2}$]	[-]	[-]
0	122,69	0,00	1,094	0,000
5	116,44	9,75	1,039	0,087
10	110,75	21,41	0,988	0,191
15	108,07	31,70	0,964	0,283
20	104,81	41,93	0,935	0,374
25	98,20	52,67	0,876	0,470
30	92,58	64,14	0,826	0,572
35	89,47	72,19	0,798	0,644
40	83,04	77,90	0,741	0,695
45	77,70	86,75	0,693	0,774
50	70,28	93,38	0,627	0,833
55	62,00	99,20	0,553	0,885
60	54,25	105,04	0,484	0,937
65	44,39	109,97	0,396	0,981
70	34,86	114,57	0,311	1,022
75	27,35	118,71	0,244	1,059
80	18,72	119,38	0,167	1,065
85	8,41	121,40	0,075	1,083
90	0,00	122,75	0,000	1,095

Variația factorilor de intensitate a tensiunii K_I și K_{II} în funcție de unghiul de înclinare al fisurii β este prezentată în Figura 4.2.4.9.

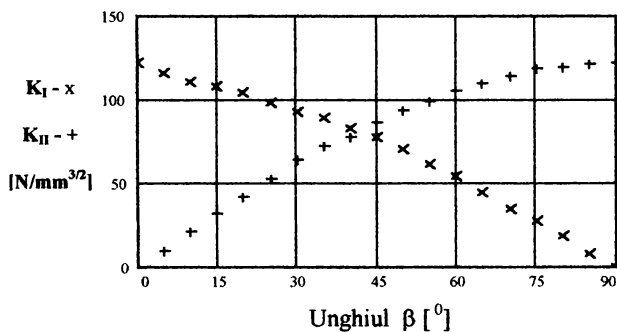


Figura 4.2.4.9

Cu ajutorul valorilor funcțiilor $f_I(\beta)$ și $f_{II}(\beta)$ obținute prin analiză cu elemente finite am încercat să găsim o soluție originală care să exprime funcțiile adimensionale $f_I(\beta)$ și $f_{II}(\beta)$. Această soluție s-a obținut prin interpolarea polinomială cu metoda celor mai mici pătrate. În acest scop am folosit un program scris în utilitarul matematic **MathCAD 5** și rulat pe un calculator PC486. Expresiile funcțiilor $f_I(\beta)$ și $f_{II}(\beta)$ obținute prin interpolare sunt:

$$\begin{aligned}
 f_{I,int}(\beta) &= 1,088 - 0,011 \cdot \beta + 1,849 \cdot 10^{-4} \beta^2 - 4,431 \cdot 10^{-6} \beta^3 + 2,426 \cdot 10^{-8} \beta^4 \\
 f_{II,int}(\beta) &= 0,02 \cdot \beta - 1,43 \cdot 10^{-5} \beta^2 - 1,26 \cdot 10^{-6} \beta^3 + 4,995 \cdot 10^{-9} \beta^4
 \end{aligned}
 \tag{4.2.4.3}$$

În figurile 4.2.4.10 și 4.2.4.11 am reprezentat variațiile funcțiilor $f_I(\beta)$ și $f_{II}(\beta)$ obținute prin interpolare polinomială și valorile funcțiilor respective pe baza cărora s-a realizat interpolarea.

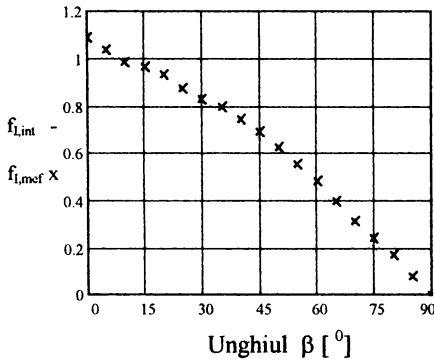


Figura 4.2.4.10

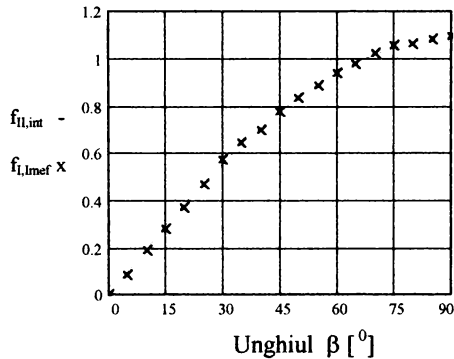


Figura 4.2.4.11

Calculul parametrilor ce caracterizează precizia estimării au indicat că soluția obținută este foarte precisă, astfel pentru determinarea funcției $f_I(\beta)$ coeficientul de determinare $Rd=0,99977$, coeficientul de corelație $cor=0,99954$ și eroarea standard a estimării $se.s.d=0,84\%$ iar pentru funcția $f_{II}(\beta)$ coeficientul de determinare $Rd=0,99978$, coeficientul de corelație $cor=0,99957$ și eroarea standard a estimării $se.s.d=0,85\%$.

În concluzie soluțiile date de:

- relația (4.2.4.2) pentru platbandă cu orificiu circular din care se dezvoltă o fisură perpendicular pe direcția de încărcare, valabilă pentru platbenzi cu orificiu circular la care dimensiunile respectă rapoartele $h/b = 2$, $R/b = 0,25$ și pentru valori ale raportului a/b cuprinse în intervalul $[0,275...0,8]$

- relațiile (4.2.4.3) pentru platbandă cu orificiu circular din care se dezvoltă o fisură sub unghi β , la care $h/b = 2$, $R/b = 0,25$ și $a/b = 0,5$

reprezintă contribuții originale ale autorului.

CAPITOLUL 5

DETERMINAREA EXPERIMENTALĂ A PARAMETRILOR DIN MECANICA RUPERII

5.1 INTRODUCERE

Pe lângă metodele analitice și numerice, pentru determinarea parametrilor de Mecanica ruperii și a câmpurilor de tensiune și deformație din vecinătatea fisurilor se utilizează și metode experimentale.

Adaptarea metodelor de analiză experimentală a tensiunilor pentru determinarea parametrilor de Mecanica ruperii a preocupat în ultimii 30 de ani foarte mulți cercetători.

Dintre metodele experimentale utilizate la calculul parametrilor de mecanica ruperii trebuie să amintim:

- metoda fotoelasticității,
- metoda causticelor,
- metoda tensometriei electrice rezistive,
- metode interferometrice și holografice,
- metoda lacurilor casante,
- metode combinate.

Metoda fotoelasticității este cea mai utilizată, preocuparea în acest sens fiind de a găsi algoritmi de interpretare a datelor fotoelastice în parametri de Mecanica ruperii, [B14], [C9], [C10], [E2], [G3], [H12], [I3], [S6].

Metoda causticelor dezvoltată de P.S.Teocharis în [T2], [T3], [T4] propune determinarea parametrilor de Mecanica ruperii: factorul de intensitate a tensiunii, raza zonei plastice, ordinul singularității câmpului de tensiune din vecinătatea unei fisuri pe baza analizei curbei caustice. Ulterior metoda causticelor a fost utilizată și pentru determinarea experimentală a valorii integralei J la materiale cu comportare elasto-plastică, [L3]. Exemple ale utilizării metodei causticelor pentru determinarea parametrilor de Mecanica ruperii sunt prezentate în lucrările: [F1], [G2], [T5], [T6], [T7].

Tensometria electrică rezistivă fiind o metodă experimentală foarte precisă, având o mare sensibilitate, măsurătorile efectuându-se în condiții reale de funcționare direct pe structura reală este o altă metodă utilizată la determinarea parametrilor de mecanica ruperii. Ca și în cazul fotoelasticității, s-au dezvoltat diferite procedee de estimare a parametrilor de rupere pe baza măsurătorilor tensometrice. Berger [B6], [B7], Dally [D1] și Sanford [S1] au dezvoltat diferite metode de determinare a factorului de intensitate a tensiunii folosind traductoare electrice rezistive. De asemenea Itoh și Murakami, în [I4] propun determinarea factorului de intensitate a tensiunii prin metoda extrapolării deformațiilor, măsurătorile realizându-se cu ajutorul unei rozete speciale.

Bazele utilizării interferometriei și holografiei pentru determinarea factorului de intensitate a tensiunii au fost puse de Post și Dudderar în anii '70. Totuși aceste metode nu s-au impus deoarece densitatea mare a franjelor la vârful fisurilor, datorită puternicii concentrări a tensiunilor face imposibilă numărarea acestor franje, deci evaluarea parametrilor de rupere se face cu erori mari. În lucrările [H5], [T11], [T12] sunt prezentate aplicații ale interferometriei pentru determinarea parametrilor de mecanica ruperii.

Metoda lacurilor casante descrisă în [M6] este o metodă calitativă care permite localizarea zonelor cu puternice concentrări ale tensiunilor, la sarcini mult sub încărcarea reală a structurii. Ea este

utilizată ca metodă nedistructivă pentru localizarea apariției fisurilor. Prin această metodă este dificilă determinarea cantitativă a stării de tensiune, respectiv a parametrilor de Mecanica ruperii.

S-a încercat combinarea metodelor experimentale pentru determinarea parametrilor de Mecanica ruperii, ca de exemplu fotoelasticimetrie cu tensometrie electrică rezistivă, [I3] sau fotoelasticimetrie cu interferometrie [S8], [S11], [S12], [S13], astfel încât estimarea parametrilor de Mecanica ruperii să se facă cu o precizie cât mai ridicată.

5.2 METODA FOTOELASTICIMETRIEI

Fotoelasticimetria a fost una din primele metode experimentale cu care s-a încercat determinarea stării de tensiune și deformație din vecinătatea fisurilor. Primele încercări aparțin lui Irwin, prelucrarea datelor fotoelastice bazându-se pe soluția aproximativă a lui Irwin.

Dacă metoda fotoelasticimetriei este deja o metodă experimentală clasică, aplicarea ei la studiul stării de tensiune din jurul fisurilor și la estimarea parametrilor de mecanica ruperii este de strictă actualitate. În lucrările: [E2], [A5], [B8], [B14], [L5], [M1], [M5], [S6], [S9], [S10], [R2], [T9], [W1], [P10] sunt prezentate aplicații ale metodei fotoelasticimetriei pentru determinarea parametrilor de Mecanica ruperii.

Fotoelasticimetria este o metodă optică de analiză experimentală a stării de tensiune, care se bazează pe proprietatea de birefrință accidentală a unor materiale transparente, omogene și izotrope din punct de vedere optic în stare nesolicitată, dar care solicitate devin optic active. Practic birefrința accidentală constă în descompunerea unui fascicol de lumină polarizată (liniar sau circular), la trecerea printr-o placă birefringentă, în două fascicule polarizate, paralele cu direcțiile tensiunilor principale.

5.3 INTERPRETAREA DATELOR FOTOELASTICE

Primele investigații fotoelastice pentru determinarea parametrilor din mecanica ruperii, în special a factorului de intensitate a tensiunii K , s-au făcut de către Post și Wells în anii '50. Ulterior Irwin a arătat că factorul de intensitate a tensiunii, corespunzător modului I de deplasare a flancurilor fisurii, K_I poate fi determinat dintr-o singură izocromată ce apare pe modelul fotoelastic cu fisură.

De-a lungul anilor mulți cercetători au încercat să dea metode proprii de transformare a datelor fotoelastice în parametri ai mecanicii ruperii. În continuare voi prezenta câteva dintre cele mai folosite astfel de metode la ora actuală.

5.3.1 METODA IRWIN

Pentru a lua în considerare tensiunile nesingulare ce apar datorită condițiilor de încărcare și rezemare, Irwin introduce pe lângă factorul de intensitate a tensiunii K_I , o tensiune nesingulară orientată de-a lungul direcției ox , paralelă cu direcția tensiunii σ_{0x} ¹.

¹ Metodele care utilizează ca parametri factorul de intensitate a tensiunii K și tensiunea nesingulară σ_{0x} , sunt cunoscute în bibliografie ca metode biparametrice

Introducând tensiunea nesingulară σ_{0x} în soluția Irwin dată de ecuațiile (2.1.3.4), aceasta se poate rescrie, pentru modul I de deplasare a flancurilor fisurii, având o placă semiinfinită fisurată supusă unei încărcări monoaxiale, sub forma:

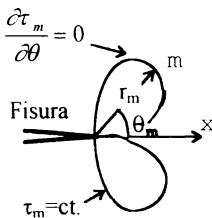
$$\begin{aligned} \sigma_x &= \frac{K_I}{\sqrt{2\pi r}} \cos \frac{\theta}{2} \left(1 - \sin \frac{\theta}{2} \sin \frac{3\theta}{2}\right) - \sigma_{0x} \\ \sigma_y &= \frac{K_I}{\sqrt{2\pi r}} \cos \frac{\theta}{2} \left(1 + \sin \frac{\theta}{2} \sin \frac{3\theta}{2}\right) \\ \tau_{xy} &= \frac{K_I}{\sqrt{2\pi r}} \sin \frac{\theta}{2} \cos \frac{\theta}{2} \cos \frac{3\theta}{2} \end{aligned} \tag{5.3.1.1}$$

Tensiunea tangențială maximă τ_m exprimată cu ajutorul tensiunilor σ_x , σ_y și τ_{xy} este:

$$(2 \tau_m)^2 = (\sigma_1 - \sigma_2)^2 = (\sigma_x - \sigma_y)^2 + (2 \tau_{xy})^2 \tag{5.3.1.2}$$

Înlocuind în relația (5.3.1.2) tensiunile cu expresiile (5.3.1.1) se obține:

$$(2 \tau_m)^2 = \frac{K_I^2}{2\pi r} \sin^2 \theta + \frac{2 \sigma_{0x} K_I}{\sqrt{2\pi r}} \sin \theta \sin \frac{3\theta}{2} - \sigma_{0x}^2 \tag{5.3.1.3}$$



Apoi Irwin, studiind geometria izocromatei obținute, a observat că punctul **m** corespunde poziției extreme a franjei izocromate, Figura 5.3.1.1 adică pentru $r = r_m$, $\theta = \theta_m$:

$$\frac{\partial \tau_m}{\partial \theta} = 0 \tag{5.3.1.4}$$

Figura 5.3.1.1

Astfel, derivând expresia tensiunii tangențiale maxime τ_m în raport cu unghiul θ și înlocuind $\theta = \theta_m$ și $r = r_m$, se obține:

$$\sigma_{0x} = \frac{K_I}{\sqrt{2\pi r_m}} \frac{\sin \theta_m \cos \theta_m}{\cos \theta_m \sin^3 \frac{\theta_m}{2} \cdot \frac{3}{2} \sin \theta_m \cos^3 \frac{\theta_m}{2}} \tag{5.3.1.5}$$

Cei doi parametri necunoscuți K_I și σ_{0x} se determină rezolvând sistemul format din ecuațiile (5.3.1.3) și (5.3.1.4), în funcție de tensiunea tangențială maximă τ_m , obținând:

$$\sigma_{\theta x} = \frac{-2 \tau_m \cos \theta_m}{\cos \frac{3 \theta_m}{2} (\cos^2 \theta_m + \frac{9}{4} \sin^2 \theta_m)^{1/2}} \tag{5.3.1.6}$$

$$K_I = \frac{2 \tau_m \sqrt{2 \pi r_m}}{\sin \theta_m} [1 + (\frac{2}{3 \operatorname{tg} \theta_m})^2]^{1/2} (1 + \frac{2 \operatorname{tg} \frac{3 \theta_m}{2}}{3 \operatorname{tg} \theta_m})$$

Practic, dacă în urma încărcării unui model fotoelastic, pe imaginea din analizor se obține o izocromată, pe care se poate măsura raza maximă r_m , respectiv unghiul θ_m și ținând cont de legea cantitativă a fotoelasticității:

$$\tau_m = \frac{\sigma_1 - \sigma_2}{2} = \frac{k f_\sigma}{2} \tag{5.3.1.7}$$

unde k este ordinul franjei izocromate iar f_σ constanta fotoelastică a modelului, se poate determina tensiunea tangențială maximă τ_m . Apoi cu relațiile (5.3.1.5) și (5.3.1.6) se pot calcula factorul de intensitate a tensiunii K_I și a tensiunea nesingulară $\sigma_{\theta x}$ pe baza datelor fotoelastice.

Studiind variația parametrilor K_I și $\sigma_{\theta x}$ în funcție de unghiul maxim al izocromatei θ_m dintr-un model fotoelastic cu fisură se desprind următoarele concluzii:

- reprezentând raportul $\sigma_{\theta x} / (2 \tau_m)$ - Figura 5.3.1.2, respectiv $K_I / (2 \tau_m \sqrt{2 \pi r_m})$ - Figura 5.3.1.3, în funcție de unghiul de înclinare al izocromatei θ_m se observă că din punct de vedere fizic metoda Irwin este aplicabilă pentru valori ale unghiului θ_m cuprinse între (69,4°-148,8°)
- mai mult, pentru valori ale unghiului θ_m cuprinse între (73,5°-134°), abaterea în estimarea valorii K_I este de ±2%.
- precizia măsurării unghiului θ_m , respectiv a razei r_m influențează semnificativ precizia determinării parametrilor K_I și $\sigma_{\theta x}$.

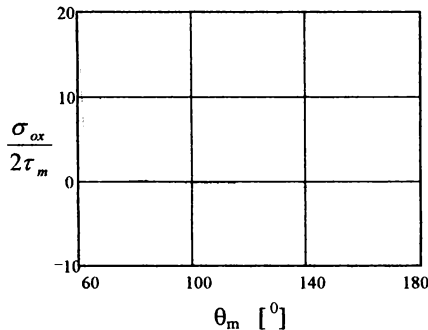


Figura 5.3.1.2

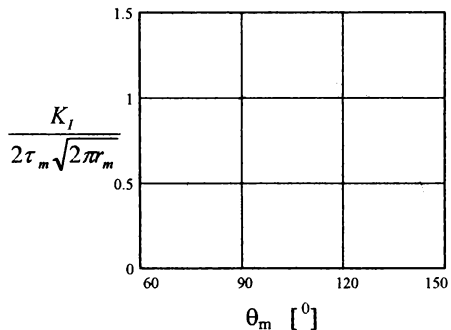


Figura 5.3.1.3

5.3.2 METODA BRADLEY - KOBAYASHI

Ulterior Bradley și Kobayashi în lucrările [B14], [K5] și [K6], studiind starea de tensiune într-un model fotoelastic, în timpul încărcării dinamice prin intermediul unei pene, pentru a reduce influența unghiului θ_m asupra preciziei de determinare a factorului de intensitate a tensiunii, consideră componenta nesingulară a tensiunii de forma:

$$\sigma_{ox} = \alpha \sigma = \alpha \frac{K_I}{\sqrt{\pi a}} \tag{5.3.2.1}$$

- unde σ este tensiunea aplicată asupra modelului perpendicular pe direcția fisurii
- α un coeficient, în cazul particular $\alpha=1 \Rightarrow \sigma_{ox}=\sigma$
- a lungimea fisurii
- K_I factorul de intensitate a tensiunii

Folosind această substituție în expresia tensiunii tangențiale maxime (5.3.1.3) se obține:

$$(2 \tau_m)^2 \frac{K_I^2}{2\pi r} (\sin^2 \theta \cdot 2\alpha \sqrt{\frac{2r}{a}} \sin \theta \sin \frac{3\theta}{2} \cdot \frac{2r \alpha^2}{a}) \tag{5.3.2.2}$$

Derivând această ecuație în raport cu unghiul θ și anulând această derivată pentru $r = r_m$ și $\theta = \theta_m$, (condiția (5.3.1.4)), se obține:

$$\alpha \sqrt{\frac{2 r_m}{a}} \frac{-\sin \theta_m \cos \theta_m}{\cos \theta_m \sin^3 \frac{\theta_m}{2} - \sin^3 \theta_m \cos^3 \frac{\theta_m}{2}} \tag{5.3.2.3}$$

Din relația (5.3.2.2) factorul de intensitate a tensiunii se poate exprima sub forma:

$$K_I \frac{2 \tau_m \sqrt{2\pi r_m}}{(\sin^2 \theta_m + 2\alpha \sqrt{\frac{2 r_m}{a}} \sin \theta_m \sin^3 \frac{\theta_m}{2} + \frac{2 r_m \alpha^2}{a})^{1/2}} \tag{5.3.2.4}$$

înlocuind în această expresie relația (5.3.2.3), în urma efectuării calculelor se obține expresia factorului de intensitate a tensiunii sub forma:

$$K_I = \frac{\pm 2 \tau_m \sqrt{2\pi r_m}}{\sin \theta_m} \left(1 + \frac{2tg \frac{3\theta_m}{2}}{3tg \theta_m}\right) \left[1 + \left(\frac{2}{3tg \theta_m}\right)^2\right]^{\frac{1}{2}} \quad (5.3.2.5)$$

unde valoarea pozitivă corespunde domeniului $69,4^\circ < \theta_m < 148,8^\circ$.

Comparând expresiile factorului de intensitate a tensiunii date de metoda Irwin, relația (5.3.1.6) și de metoda Bradley-Kobayashi, relația (5.3.2.5), se observă că ele sunt identice.

Ca și la metoda precedentă înlocuind $2\tau_m = k f_\sigma$, conform legii cantitative a fotoelasticității, se poate determina cu relația (5.3.2.5) valoarea factorului de intensitate a tensiunii K_I .

Bradley și Kobayashi au studiat erorile produse în determinarea factorului de intensitate a tensiunii K_I , când unghiul θ_m se apropie de valorile $69,4^\circ$, respectiv $148,8^\circ$. În aceste zone mici erori în măsurarea unghiului θ_m , produc mari erori în evaluarea factorului de intensitate a tensiunii K_I . Pentru a minimaliza aceste erori cei doi autori propun în [B14] folosirea a două franje izocromate. În acest caz, se încarcă modelul până la nivelul la care în imaginea din analizor se obțin două franje izocromate. Scriind ecuația (5.3.2.2) pentru cele două franje și efectuând diferența dintre acestea se obține:

$$K_I = \frac{2\sqrt{2\pi} (\tau_{m1} - \tau_{m2}) \sqrt{r_1 r_2}}{f_2 \sqrt{r_1} - f_1 \sqrt{r_2}} \quad (5.3.2.6)$$

unde r_1, r_2 sunt razele celor două izocromate

τ_{m1}, τ_{m2} tensiunile tangențiale maxime corespunzătoare celor două izocromate

k_1, k_2 ordinul izocromatei

f_σ valoarea benzii

$$f_i = \frac{1}{\sin^2 \theta} + 2\alpha \sqrt{\frac{2r_i}{a}} \sin \theta \sin \frac{3\theta}{2} : \frac{2r_i \alpha^2}{a} \Big|^{1/2} \quad i = 1, 2 \quad (5.3.2.7)$$

Astfel, factorul de intensitate a tensiunii K_I se determină utilizând izocromatele având ordinele de bandă k_1 și k_2 , respectiv cu tensiunile tangențiale $\tau_{m1} = k_1 f_\sigma/2$ și $\tau_{m2} = k_2 f_\sigma/2$.

Studiind variația parametrului $\alpha \sqrt{(2r_m/a)}$ în funcție de unghiul de înclinare al izocromatei θ_m , Figura 5.3.2.1, Bradley și Kobayashi au arătat că pentru $82^\circ < \theta_m < 113^\circ$, acest parametru are o valoare mică (mai mică de 0,2), ceea ce reflectă că variația acestui parametru în domeniul menționat, este aproape insensibilă la variația unghiului θ_m . Deci, dacă se fac erori la măsurarea unghiului θ_m în domeniul amintit, aceste erori nu vor influența esențial valoarea factorului de intensitate a tensiunii K_I , ceea ce prezintă un mare avantaj în comparație cu metoda Irwin.

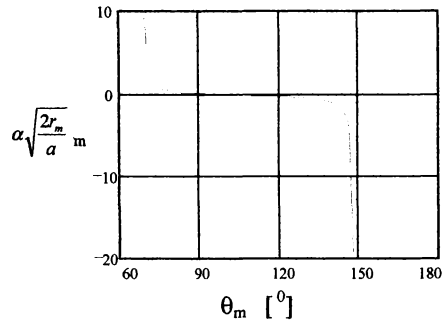


Figura 5.3.2.1

5.3.3 METODA SCHROEDEL - SMITH

În lucrarea [S24], autorii acesteia propun, pentru interpretarea datelor fotoelastice, utilizarea ordinului benzii franjelor izocromate pe o dreaptă perpendiculară pe direcția fisurii, adică $\theta = 90^\circ$. Introducând această valoare a unghiului θ în relația (5.3.1.3) se obține:

$$(2 \tau_m)^2 = \frac{K_I^2}{2\pi r} + \frac{K_I \sigma_{0x}}{\sqrt{\pi r}} + \sigma_{0x}^2 \quad (5.3.3.1)$$

Ecuția (5.3.3.1) poate fi asimilată unei ecuații de gradul doi în K_I , sub forma:

$$\frac{K_I^2}{2\pi r} + \frac{K_I \sigma_{0x}}{\sqrt{\pi r}} + \sigma_{0x}^2 - 4 \tau_m^2 = 0 \quad (5.3.3.2)$$

care are rădăcina pozitivă:

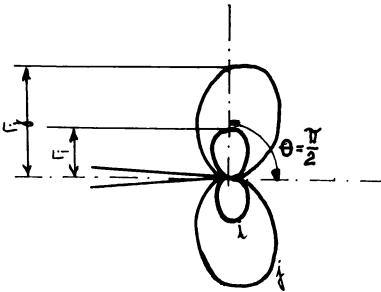
$$K_I = \sqrt{\pi r} [(8 \tau_m^2 - \sigma_{0x}^2)^{1/2} - \sigma_{0x}] \quad (5.3.3.3)$$

Smith în lucrarea [S8], simplifică relația (5.3.3.3) neglijând termenul σ_{0x}^2 în comparație cu $8 \tau_m^2$, obținând în final:

$$K_I = \sqrt{\pi r} (2\sqrt{2} \tau_m - \sigma_{0x}) \quad (5.3.3.4)$$

Separarea parametrilor K_I și σ_{ox} se face adoptând tehnica diferenței a lui Bradley-Kobayashi, adică considerând două franje izocromate i și j , Figura 5.3.3.1, la care se măsoară distanțele r_i , respectiv r_j , perpendicular pe direcția fisurii ($\theta=90^\circ$) și se calculează tensiunile tangențiale maxime corespunzătoare: $2\tau_{mi} = k_i \cdot f_\sigma$, respectiv $2\tau_{mj} = k_j \cdot f_\sigma$

Dacă se scrie ecuația (5.3.3.4) pentru cele două franje i și j și se elimină tensiunea nesingulară σ_{ox} , se obține expresia factorului de intensitate a tensiunii sub forma:



$$K_I = \frac{\sqrt{2\pi r_i} (2\tau_{mi} - 2\tau_{mj})}{1 - \sqrt{\frac{r_i}{r_j}}} \tag{5.3.3.5}$$

Figura 5.3.1.1

Determinând valorile factorului de intensitate a tensiunii K_I cu relația (5.3.3.5) pentru toate combinațiile posibile ale perechilor de franje izocromate (i,j), care apar pe model în urma încărcării, se obține un set de valori K_{Ii} , care este supus apoi analizei statistice. Aceasta constă în determinarea

- mediei aritmetice

$$\bar{K}_I = \frac{1}{n} \sum_{i=1}^n K_{Ii} \tag{5.3.3.6}$$

- abaterii medii pătratice

$$s_{K_I} = \sqrt{\frac{1}{n} \sum_{i=1}^n n_i (K_{Ii} - \bar{K}_I)^2} \tag{5.3.3.7}$$

unde n este numărul de perechi pentru care se determină factorul de intensitate a tensiunii K_{Ii} .

Pentru creșterea preciziei determinării se elimină apoi din setul de date K_{Ii} , cu $i \in [1, n]$, cele m valori care depășesc intervalul $K_I \pm s_{K_I}$, iar cu valorile rămase se recalculează valoarea medie:

$$\bar{K}_{Imed} = \frac{1}{n-m} \sum_{i=1}^{n-m} K_{Ii} \tag{5.3.3.8}$$

Utilizând această prelucrare statistică erorile în estimarea factorului de intensitate a tensiunii nu depășesc $\pm 5\%$, dacă razele r_i și r_j se măsoară fără erori și ordinele de bandă k_i , k_j se determină cât mai precis, de obicei utilizând procedeele de compensare Tardy sau de multiplicare a ordinului de bandă Post.

5.3.4 METODA SMITH

C.W. Smith propune în lucrările [S6], [S7], [S8], [S11], [S14] utilizarea unui alt algoritm pentru determinarea factorului de intensitate a tensiunii în vecinătatea unei fisuri, pe baza datelor obținute în urma analizei fotoelastice.

Smith exprimă tensiunea tangențială maximă, dată de relația (5.3.3.1) și scrisă pentru $\theta=90^\circ$, sub forma:

$$\tau_m = \frac{K}{\sqrt{8\pi r}} \cdot \frac{\sigma_0}{\sqrt{8}} \quad (5.3.4.1)$$

unde $\sigma_0/\sqrt{8}$ reprezintă influența tensiunii nesingulare asupra tensiunii tangențiale maxime.

Apoi definește factorul de intensitate a tensiunii aparent:

$$K_{AP} = \tau_m \sqrt{8\pi r} \quad (5.3.4.2)$$

și împarte ecuația (5.3.4.1) cu $\sigma\sqrt{\pi a}$, unde σ reprezintă tensiunea cu care se realizează încărcarea, a este lungimea fisurii pentru fisuri marginale sau semilungimea fisurii pentru fisuri înglobate în corp. Se obține:

$$\frac{K_{AP}}{\sigma\sqrt{\pi a}} = \frac{K}{\sigma\sqrt{\pi a}} = \frac{\sigma_0}{\sigma} \left(\frac{r}{a}\right)^{1/2} \quad (5.3.4.3)$$

Reprezentând ecuația (5.3.4.3), adică $K_{AP}/\sigma\sqrt{\pi a}$ în funcție de $(r/a)^{1/2}$, Figura 5.3.4.1.b, se obține o dreaptă ce are panta σ_0/σ . Prin extrapolare pentru $(r/a)^{1/2}=0$ se obține valoarea factorului de intensitate a tensiunii K_I , pentru modul I de deplasare a flancurilor fisurii, corespunzător singularității câmpului de tensiune, creată la vârful fisurii.

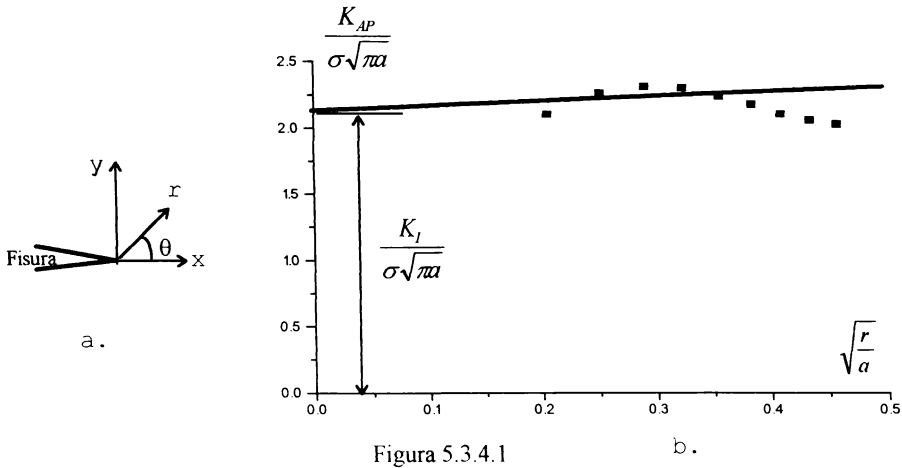


Figura 5.3.4.1

Experiența a arătat că precizia maximă în evaluarea factorului de intensitate a tensiunii K_I prin această metodă, se obține dacă se iau în considerare doar punctele cuprinse în intervalul $(r/a)^{1/2} \in [0, 2 \dots 0, 4]$. Explicația acestui fenomen este reliefată în Figura 5.3.4.2., în care s-a reprezentat variația tensiunii σ_y în funcție de distanța de la vârful fisurii. Se observă trei zone distincte:

- zona 1 puternic deformată, în care tensiunile depășesc limita de curgere, reprezintă enclava plastică ce se formează la vârful fisurii.
- zona 2 în care sunt valabile conceptele mecanicii ruperii linear-elastice, reprezentând regiunea în care singularitatea câmpului de tensiune este predominantă. Smith a arătat că zona 2 se extinde în intervalul $0, 2 \leq (r/a)^{1/2} \leq 0, 4$ [S6], [S13].
- zona 3 care este afectată puternic de condițiile de încărcare și rezemare și este caracterizată de tensiunea nesingulară σ_0 .

În concluzie, trasând dreapta de ecuație (5.3.4.3) și luând în considerare doar datele ce se încadrează în zona 2, cu măsurarea coordonatei r perpendicular pe direcția fisurii, se poate determina apoi atât valoarea tensiunii nesingulare σ_0 din panta dreptei trasate, cât și valoarea factorului de intensitate a tensiunii K_I la intersecția dreptei de regresie cu axa $K_{AP} / \sigma \sqrt{\pi a}$, adică pentru $r = 0$.

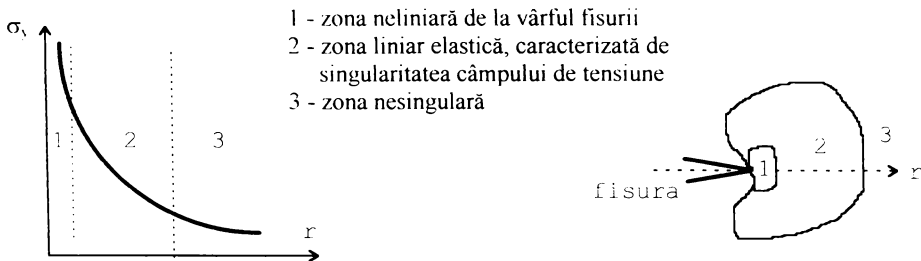


Figura 5.3.4.2

5.4 DETERMINĂRI EXPERIMENTALE ALE FACTORULUI DE INTENSITATE A TENSIUNII K_I

Pentru verificarea experimentală a soluțiilor factorului de intensitate a tensiunii obținute prin Metoda elementelor finite s-a utilizat metoda fotoelasticității.

5.4.1 DETERMINAREA EXPERIMENTALĂ CU METODA FOTOELASTICITĂȚII PRIN REFLEXIE, A FACTORULUI DE INTENSITATE A TENSIUNII LA VÂRFUL UNEI CRESTĂTURI LATERALE, AFLATĂ ÎNTR-O PLATBANDĂ

În paragraful 4.1. s-a prezentat soluția factorului de intensitate a tensiunii la vârful unei creștături ascuțite, cu unghiul β , creștătură aflată într-o platbandă. Valorile factorului de intensitate a tensiunii au fost determinate numeric prin Metoda elementului finit. În continuare se vor prezenta determinările experimentale efectuate prin metoda fotoelasticității prin reflexie, în vederea verificării valorilor obținute prin Metoda elementelor finite.

Experimentul

Pentru determinările experimentale s-a folosit un polariscop cu reflexie produs de firma VISHAY, seria 030. Epruveta s-a confecționat din folie fotoelastică tip PS -1C, cu grosime de 1,06 mm, de fabricație VISHAY. Una din fețele foliei are depus un strat reflectorizant. Caracteristicile fotoelastice ale foliei indicate de producător sunt: coeficientul de deformație optică a foliei $C = 0,15$; constanta fotoelastică de deformație a foliei $f_\epsilon = 1,8 \mu\text{m/mm}$ franjă; modulul de elasticitate $E = 2600 \text{ MPa}$; coeficientul de contracție $\nu = 0,4$. Deoarece în algoritmul Smith de interpretare a datelor fotoelastice apare constanta fotoelastică de tensiune a foliei f_σ , acesata se poate calcula cu relația, [M10] :

$$f_\sigma = \frac{E}{1 + \nu} f_\epsilon \quad (5.4.1.1)$$

Înlocuind în relația (5.4.1.1) se obține constanta fotoelastică de tensiune a foliei $f_\sigma = 3,358 \text{ MPa/franjă}$.

Din folia fotoelastică s-a confecționat o epruvetă având forma dată în Figura 5.4.1.1 și dimensiunile: lungime $2h = 120 \text{ mm}$, $b = 60 \text{ mm}$.

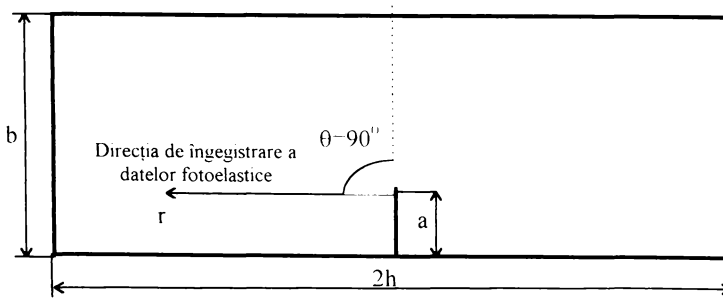


Figura 5.4.1.1

În epruvetă s-a tăiat în primă fază o fisură laterală de lungime $a = 24$ mm în planul de simetrie al epruvetei. Operația de tăiere efectuându-se cu o pânză de grosime 0,2 mm.

Epruveta s-a încărcat la tracțiune într-un dispozitiv prevăzut cu încărcare directă cu greutateți etalonate, Figura 5.4.1.2.

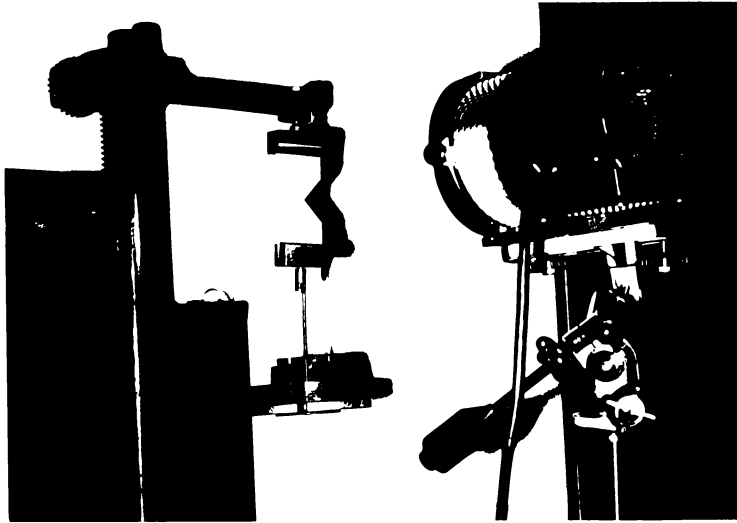


Figura 5.4.1.2

Modelul fotoelastic, montat în dispozitivul de încărcare, a fost iluminat cu un polariscop cu reflexie arătat în Figura 5.4.1.2. Pentru fiecare creștătură încărcarea epruvetei s-a realizat la trei nivele diferite cu tensiunea σ de 0,6 MPa; 0,751 MPa și 0,925 MPa.

Apoi succesiv s-au tăiat în modelul fotoelastic creștături laterale ascuțite cu unghiurile $\beta = 30^\circ$, 60° , 90° .

Imaginea obținută în analizor a fost simetrică față de planul fisurii, ceea ce confirmă că deplasarea flancurilor fisurii s-a realizat după **modul I**.

Imaginea din analizor a fost fotografiată, câteva din aceste fotografii fiind prezentate în Figura 5.4.1.3 pentru fisură, Figura 5.4.1.4 pentru creștătură cu unghiul $\beta = 30^\circ$, Figura 5.4.1.5 pentru creștătură cu unghiul $\beta = 60^\circ$, respectiv în Figura 5.4.1.6 pentru creștătură cu unghiul $\beta = 90^\circ$. La toate fotografiile încărcarea epruvetei fiind $\sigma = 0,925$ MPa.



Figura 5.4.1.3
 $\beta = 0^\circ$, $\sigma = 0,925$ MPa

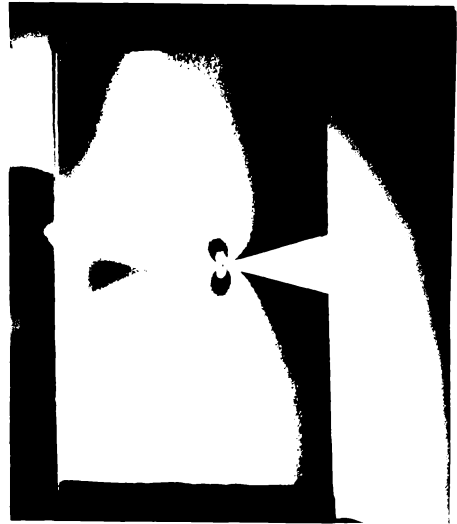


Figura 5.4.1.4
 $\beta = 30^\circ$, $\sigma = 0,925$ MPa

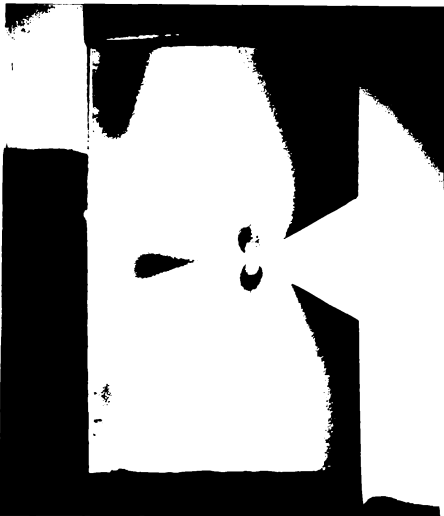


Figura 5.4.1.5
 $\beta = 60^\circ$, $\sigma = 0,925$ MPa

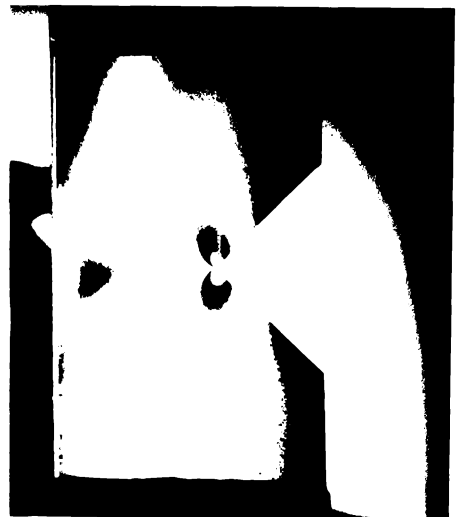


Figura 5.4.1.6
 $\beta = 90^\circ$, $\sigma = 0,925$ MPa

Înregistrarea datelor fotoelastice

Deoarece pentru interpretarea datelor fotoelastice s-a utilizat metoda Smith, prezentată în paragraful 5.3.4., înregistrarea datelor fotoelastice s-a realizat pe o direcție perpendiculară pe vârful creștăturii, corespunzătoare unghiului $\theta = 90^{\circ}$. Pentru a aplica metoda Smith pe suprafața epruvetei și pe direcția $\theta = 90^{\circ}$ s-au realizat marcaje din milimetru în milimetru în scopul determinării ordinului benzii.

Pentru măsurarea ordinului fracționar al benzii, în punctele marcate pe epruvetă, s-a utilizat metoda de compensare Babinet-Soleil, care constă în introducerea în câmpul polariscopului cu lumină polarizată circulară a unei surse de birefrință suplimentară, [M10].

În urma solicitării epruvetei, s-au determinat cu ajutorul compensatorului valorile ordinului fracționar al benzii k_i în puncte marcate pe epruvetă, r_i . Rezultatele măsurătorilor sunt prezentate în Tabelul 5.4.1.1 pentru fisură, în Tabelul 5.4.1.2. pentru creștătură cu unghiul $\beta = 30^{\circ}$, în Tabelul 5.4.1.3 pentru creștătură cu unghiul $\beta = 60^{\circ}$ și în Tabelul 5.4.1.4 pentru creștătură cu unghiul $\beta = 90^{\circ}$.

Tabelul 5.4.1.1

FISURĂ ($\beta = 0^{\circ}$)			
Distanța de la vârful creștăturii r [mm]	Ordinul benzii		
	k [franje]		
	$\sigma = 0,600$ MPa	$\sigma = 0,751$ MPa	$\sigma = 0,925$ MPa
1	1,30	1,63	2,00
2	1,00	1,20	1,68
3	0,80	1,00	1,32
4	0,60	0,80	1,10
5	0,50	0,60	0,90
6	0,38	0,50	0,80
7	0,32	0,44	0,70

Tabelul 5.4.1.2

CREȘTĂTURĂ CU UNGHIUL $\beta = 30^{\circ}$			
Distanța de la vârful creștăturii r [mm]	Ordinul benzii		
	k [franje]		
	$\sigma = 0,600$ MPa	$\sigma = 0,751$ MPa	$\sigma = 0,925$ MPa
1	1,42	1,75	2,10
2	1,15	1,40	1,75
3	0,90	1,15	1,45
4	0,75	0,94	1,20
5	0,60	0,76	1,05
6	0,50	0,66	0,90
7	0,45	0,62	0,80

Tabelul 5.4.1.3

CRESTĂTURĂ CU UNGHIUL $\beta = 60^{\circ}$			
Distanța de la vârful crestăturii r [mm]	Ordinul benzii		
	k [franje]		
	$\sigma = 0,600$ MPa	$\sigma = 0,751$ MPa	$\sigma = 0,925$ MPa
1	1,42	1,86	2,20
2	1,12	1,50	1,80
3	0,90	1,20	1,50
4	0,70	0,93	1,20
5	0,55	0,75	1,00
6	0,40	0,60	0,85
7	0,35	0,50	0,75

Tabelul 5.4.1.4

CRESTĂTURĂ CU UNGHIUL $\beta = 90^{\circ}$			
Distanța de la vârful crestăturii r [mm]	Ordinul benzii		
	k [franje]		
	$\sigma = 0,600$ MPa	$\sigma = 0,751$ MPa	$\sigma = 0,925$ MPa
1	1,55	1,94	2,38
2	1,30	1,60	2,00
3	1,05	1,30	1,65
4	0,85	1,10	1,40
5	0,70	0,95	1,20
6	0,54	0,80	1,00
7	0,45	0,70	0,90

Rezultatele experimentale prezentate în Tabelele 5.4.1.1 - 5.4.1.2., și anume variația ordinului benzii k_i în funcție de distanța de la vârful crestăturii, pentru cele trei încărcări, sunt prezentate sub formă grafică în Figurile 5.4.1.7 - 5.4.1.10.

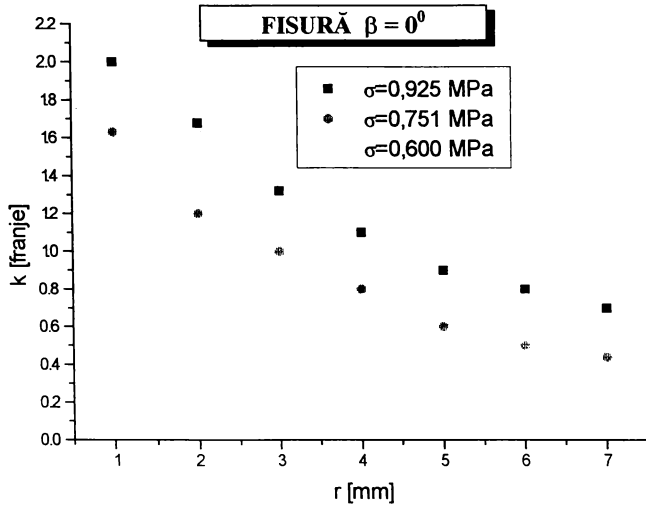


Figura 5.4.1.7

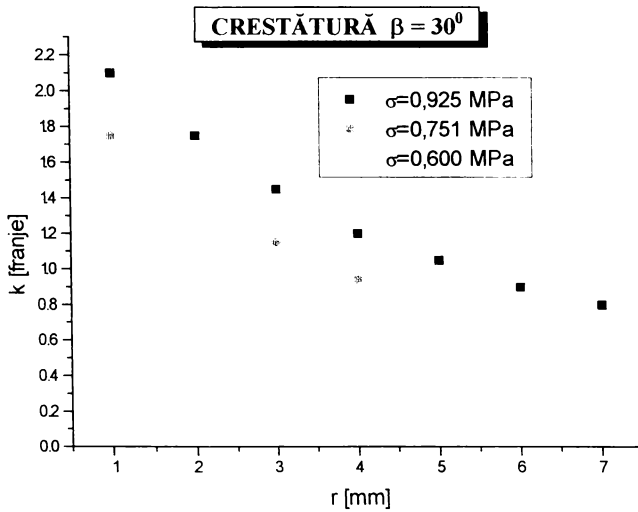


Figura 5.4.1.8

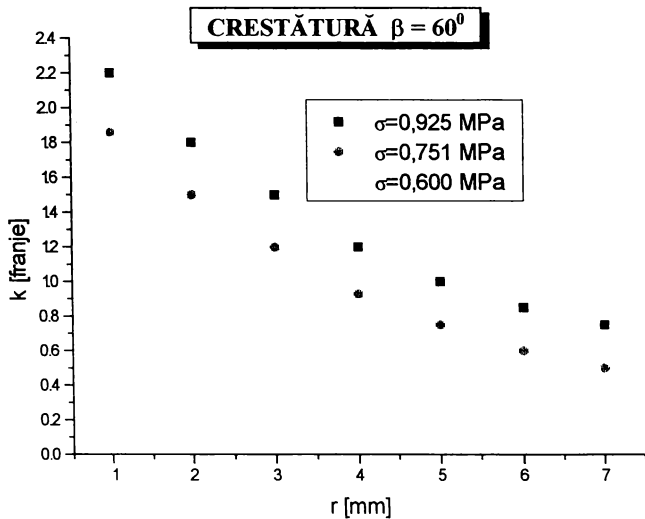


Figura 5.4.1.9

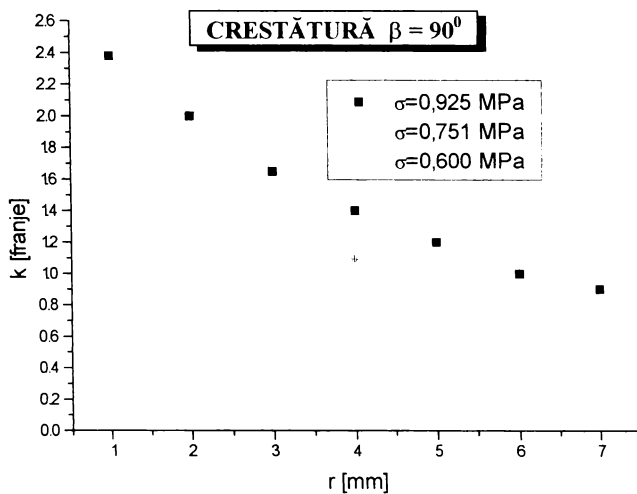


Figura 5.4.1.10

Pe baza valorilor ordinului de bandă obținute experimental s-a determinat, cu ajutorul programului de interpolare polinomială scris de autor în utilitarul matematic MathCAD, legea de variație a ordinului de bandă k în funcție de distanța de la vârful fisurii, r . S-a ales un polinom de ordinul 3 pentru legile de variație $k = f(r)$, care sunt prezentate în Tabelul 5.4.1.5. împreună cu parametrii ce caracterizează precizia determinării: coeficientul de determinare R_d , coeficientul de corelație cor și eroarea standard a estimării $er.s.e$.

Tabelul 5.4.1.5

Unghiul creștăturii	Tensiunea	Variația ordinului benzii k în funcție de distanța r	Coef. de determinare	Coef. de corelație	Eroarea standard estimării
β	σ	$k = f(r)$	R_d	cor	$er.s.e$
[$^\circ$]	[MPa]		[-]	[-]	[%]
0	0,600	$k=1,657-0,400 r+0,041 r^2-0,001 r^3$	0,9994	0,9989	1,66
	0,751	$k=2,074-0,518 r+0,056 r^2-0,0025 r^3$	0,9977	0,9950	1,41
	0,925	$k=2,431-0,450 r+0,029 r^2-2,49 \cdot 10^{-18} r^3$	0,9992	0,9983	2,68
30	0,600	$k=1,753-0,360 r+0,029 r^2-5,55 \cdot 10^{-4} r^3$	0,9996	0,9993	1,32
	0,751	$k=2,128-0,412 r+0,028 r^2-6,18 \cdot 10^{-18} r^3$	0,9997	0,9994	1,37
	0,925	$k=2,543-0,480 r+0,043 r^2-0,0014 r^3$	0,9998	0,9996	1,33
60	0,600	$k=1,734-0,340 r+0,020 r^2-3,64 \cdot 10^{-18} r^3$	0,9995	0,9990	1,71
	0,751	$k=2,281-0,450 r+0,030 r^2-2,78 \cdot 10^{-4} r^3$	0,9999	0,9998	0,89
	0,925	$k=2,643-0,474 r+0,029 r^2-1,93 \cdot 10^{-18} r^3$	0,9998	0,9996	1,40
90	0,600	$k=1,841-0,302 r+0,012 r^2+2,78 \cdot 10^{-4} r^3$	0,9997	0,9995	1,26
	0,751	$k=2,391-0,500 r+0,054 r^2-0,0025 r^3$	0,9998	0,9996	1,33
	0,925	$k=2,840-0,494 r+0,037 r^2-8,33 \cdot 10^{-4} r^3$	0,9997	0,9995	1,75

Determinarea funcțiilor $k=f(r)$ date în Tabelul 5.4.1.5 a permis calculul valorilor ordinului benzii în orice punct de pe direcția $\theta = 90^\circ$.

Interpretarea rezultatelor

Determinarea experimentală a factorului de intensitate a tensiunii la vârful creștăturii s-a realizat pe baza metodei Smith. Astfel pentru fiecare încărcare, s-au determinat valorile ordinului de bandă k , cu funcțiile $k=f(r)$, într-un număr suficient de puncte pe direcția perpendiculară pe axa creștăturii. Apoi pe baza legii cantitative a fotoelasticității am calculat tensiunea tangențială maximă în fiecare din punctele considerate $\tau_{mi} = (k_i \cdot f_\sigma) / 2$.

În continuare, conform algoritmului Smith (paragraful 3.5.4), s-au calculat valorile factorului de intensitate a tensiunii aparent $K_{APi} = \tau_{mi} \sqrt{8\pi r_i}$ și valoarea normalizată cu $\sigma \sqrt{\pi a}$ a factorului de intensitate a tensiunii aparent $\frac{K_{APi}}{\sigma \sqrt{\pi a}}$. Valorile calculate pentru erpruveta cu fisură ($\beta=0$) și solicitată cu tensiunea $\sigma = 0,600$ MPa sunt prezentate în Tabelul 5.4.1.6

Tabelul 5.4.1.6

Punctul	Distanța	Ordinul benzii	Tensiunea tangențială maximă	Factorul de intensitate a tensiunii aparent	Raportul	Raportul
i	r_i	k_i	$\tau_{mi} = \frac{k_i f_\sigma}{2}$	$K_{APi} = \tau_{mi} \sqrt{8\pi r_i}$	$(r_i/a)^{1/2}$	$\frac{K_{APi}}{\sigma \sqrt{\pi a}}$
	[mm]	[franje]	[N/mm ²]	[N/mm ^{3/2}]	[-]	[-]
1	1,0	1,30	2,183	10,944	0,204	2,100
2	1,5	1,14	1,914	11,752	0,250	2,256
3	2,0	1,01	1,696	12,023	0,289	2,308
4	2,5	0,90	1,511	11,978	0,323	2,299
5	3,0	0,80	1,343	11,663	0,354	2,238
6	3,5	0,72	1,209	11,338	0,382	2,176
7	4,0	0,65	1,091	10,942	0,408	2,100
8	4,5	0,60	1,007	10,713	0,433	2,056
9	5,0	0,56	0,940	10,540	0,456	2,023
10	5,5	0,53	0,890	10,462	0,479	2,008
11	6,0	0,52	0,873	10,721	0,500	2,057

Valorile raportului $\frac{K_{APi}}{\sigma \sqrt{\pi a}}$ s-au reprezentat în funcție de raportul $(r_i/a)^{1/2}$, Figura 5.4.1.11.

Metoda Smith propune trasarea unei drepte de regresie a cărei intersecție cu axa y, obținută prin extrapolare, permite determinarea factorului de intensitate a tensiunii, [S6], [S13] Pentru trasarea dreptei de regresie s-au luat în considerare doar punctele pentru care valorile raportului $(r_i/a)^{1/2}$ sunt cuprinse în intervalul [0,2...0,4], [S13] Determinările experimentale efectuate au validat raționamentul, conform căruia trasarea dreptei de regresie trebuie făcută doar pe baza punctelor corespunzătoare zonei în care este predominantă singularitatea câmpului de tensiune, descrisă prin parametrul "factor de intensitate a tensiunii".

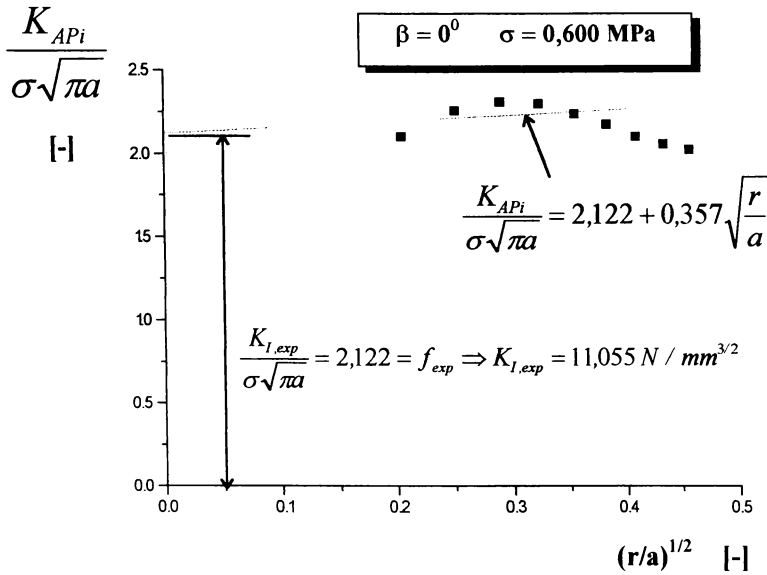


Figura 5.4.1.11

Ecuția dreptei de regresie obținută este:

$$\frac{K_{AP}}{\sigma\sqrt{\pi a}} = 2,122 + 0,357\sqrt{\frac{r}{a}}$$

iar prin extrapolare la vârful fisurii $r = 0$, se obține valoarea factorului de intensitate a tensiunii $K_{I,exp}$:

$$\frac{K_{AP}}{\sigma\sqrt{\pi a}} = 2,122 + 0,357\sqrt{\frac{r}{a}} \Rightarrow \frac{K_{I,exp}}{\sigma\sqrt{\pi a}} = f_{exp} = 2,122 \Rightarrow K_{I,exp} = 11,055 \text{ N} / \text{mm}^{3/2}$$

După cum se observă ordonata la origine a dreptei de regresie reprezintă valoarea factorului adimensional de intensitate a tensiunii, obținut prin fotoelasticimetrie $f_{exp} = \frac{K_{I,exp}}{\sigma\sqrt{\pi a}}$

Determinarea experimentală a factorului de intensitate a tensiunii $K_{I,exp}$ și a factorului adimensional de intensitate a tensiunii f_{exp} , s-a făcut pentru fiecare unghi al creștăturii β la trei încărcări diferite $\sigma = 0,600 \text{ MPa}$; $0,751 \text{ MPa}$; $0,925 \text{ MPa}$. S-a calculat apoi valoarea medie a factorului adimensional de intensitate a tensiunii f_{exp} . Rezultatele obținute pentru cazul fisurii ($\beta = 0^\circ$) sunt prezentate în Tabelul 5.4.1.7.

Tabelul 5.4.1.7

FIGURĂ ($\beta = 0^\circ$)				
Tensiunea	Ecuatia dreptei de regresie	Factorul de intensitate a tensiunii	Factorul adimensional de intensitate a tensiunii	Factorul adimensional de intensitate a tensiunii mediu
σ [MPa]	$\frac{K_{AF}}{\sigma\sqrt{\pi a}} = f\left(\sqrt{\frac{r}{a}}\right)$	K_{LE0} [N/mm ^{3/2}]	f_{LE0} [-]	$\overline{f_{exp}}$ [-]
0,600	$\frac{K_{AF}}{\sigma\sqrt{\pi a}} = 2,122 - 0,357\sqrt{\frac{r}{a}}$	11,055	2,122	2,160
0,751	$\frac{K_{AF}}{\sigma\sqrt{\pi a}} = 2,271 - 0,348\sqrt{\frac{r}{a}}$	14,809	2,271	
0,925	$\frac{K_{AF}}{\sigma\sqrt{\pi a}} = 2,086 - 0,841\sqrt{\frac{r}{a}}$	16,755	2,086	

În Tabelul 5.4.1.8 sunt prezentate rezultatele experimentale obținute pentru creștătura cu unghiul $\beta = 30^\circ$, în Tabelul 5.4.1.9 pentru creștătura cu unghiul $\beta = 60^\circ$, iar în Tabelul 5.4.1.10 pentru creștătura cu unghiul $\beta = 90^\circ$.

Tabelul 5.4.1.8

CREȘTĂTURĂ CU UNGHIUL $\beta = 30^\circ$				
Tensiunea	Ecuatia dreptei de regresie	Factorul de intensitate a tensiunii	Factorul adimensional de intensitate a tensiunii	Factorul adimensional de intensitate a tensiunii mediu
σ [MPa]	$\frac{K_{AF}}{\sigma\sqrt{\pi a}} = f\left(\sqrt{\frac{r}{a}}\right)$	K_{LE30} [N/mm ^{3/2}]	f_{LE30} [-]	$\overline{f_{exp}}$ [-]
0,600	$\frac{K_{AF}}{\sigma\sqrt{\pi a}} = 2,255 - 0,347\sqrt{\frac{r}{a}}$	11,738	2,255	2,247
0,751	$\frac{K_{AF}}{\sigma\sqrt{\pi a}} = 2,345 - 0,447\sqrt{\frac{r}{a}}$	15,292	2,345	
0,925	$\frac{K_{AF}}{\sigma\sqrt{\pi a}} = 2,144 - 0,746\sqrt{\frac{r}{a}}$	17,221	2,144	

Tabelul 5.4.1.9

CRESTĂTURĂ CU UNGHIUL $\beta = 60^{\circ}$				
Tensiunea	Ecuția drepte de regresie	Factorul de intensitate a tensiunii	Factorul adimensional de intensitate a tensiunii	Factorul adimensional de intensitate a tensiunii mediu
σ [MPa]	$\frac{K_{AP}}{\sigma\sqrt{\pi a}} = f\left(\sqrt{\frac{r}{a}}\right)$	K_{Lexp} [N/mm ^{3/2}]	f_{exp} [-]	$\overline{f_{exp}}$ [-]
0,600	$\frac{K_{AP}}{\sigma\sqrt{\pi a}} = 2,317 + 0,527\sqrt{\frac{r}{a}}$	12,071	2,317	2,312
0,751	$\frac{K_{AP}}{\sigma\sqrt{\pi a}} = 2,363 + 0,867\sqrt{\frac{r}{a}}$	15,409	2,363	
0,925	$\frac{K_{AP}}{\sigma\sqrt{\pi a}} = 2,257 + 1,105\sqrt{\frac{r}{a}}$	18,128	2,257	

Tabelul 5.4.1.10

CRESTĂTURĂ CU UNGHIUL $\beta = 90^{\circ}$				
Tensiunea	Ecuția drepte de regresie	Factorul de intensitate a tensiunii	Factorul adimensional de intensitate a tensiunii	Factorul adimensional de intensitate a tensiunii mediu
σ [MPa]	$\frac{K_{AP}}{\sigma\sqrt{\pi a}} = f\left(\sqrt{\frac{r}{a}}\right)$	K_{Lexp} [N/mm ^{3/2}]	f_{exp} [-]	$\overline{f_{exp}}$ [-]
0,600	$\frac{K_{AP}}{\sigma\sqrt{\pi a}} = 2,692 + 0,335\sqrt{\frac{r}{a}}$	14,025	2,692	2,535
0,751	$\frac{K_{AP}}{\sigma\sqrt{\pi a}} = 2,503 + 0,963\sqrt{\frac{r}{a}}$	16,322	2,503	
0,925	$\frac{K_{AP}}{\sigma\sqrt{\pi a}} = 2,409 + 1,450\sqrt{\frac{r}{a}}$	19,349	2,409	

Valoarea experimentală a factorului adimensional de intensitate a tensiunii, pentru cazul platbandei cu creștătură laterală (cu raportul $a/b = 0,4$) este comparată cu valoarea obținută numeric prin metoda elementelor finite, dată în subcapitolul 4.1, iar pentru cazul fisurii și cu valoarea analitică, dată în [T1], Tabelul 5.4.1.11

Tabelul 5.4.1.11

Unghiul creștăturii	Factorul adimensional de intensitate a tensiunii analitic, [T1]	Factorul adimensional de intensitate a tensiunii numeric, (scap. 4.1)	Factorul adimensional de intensitate a tensiunii, experimental	Eroarea față de soluția analitică $\Delta = \frac{f - f_{exp}}{f} 100$	Eroarea față de soluția numerică $\Delta_{MEF} = \frac{f_{MEF} - f_{exp}}{f_{MEF}} 100$
β [°]	$f(a/b)$ [-]	f_{MEF} [-]	f_{exp} [-]	[%]	[%]
0 (fisură)	2,103	2,097	2,122	- 0,90	- 1,19
30	-	2,237	2,247	-	- 0,45
60	-	2,362	2,312	-	2,12
90	-	2,461	2,535	-	- 3,00

Concluzii

În acest paragraf s-au prezentat rezultatele determinărilor experimentale ale factorului de intensitate a tensiunii f_{exp} la vârful unei creștături laterale, aflate într-o platbandă, ale cărei dimensiuni respectă rapoartele $h/b = 1$ și $a/b = 0,4$. Scopul măsurătorilor experimentale a fost verificarea soluției numerice obținute prin metoda elementelor finite în subcapitolul 4.1.

Pentru determinarea experimentală a factorului de intensitate a tensiunii la vârful creștăturii, s-a utilizat metoda fotoelasticității prin reflexie

Adaptarea metodei fotoelasticității prin reflexie, împreună cu metoda Smith pentru interpretarea datelor fotoelastice în scopul determinării factorului adimensional de intensitate a tensiunii la vârful unei creștături ascuțite reprezintă contribuția autorului.

Pe baza rezultatelor experimentale obținute și prezentate în Tabelul 5.4.1.11 se observă că:

- valoarea experimentală a factorului adimensional de intensitate a tensiunii pentru cazul fisurii prezintă o eroare de 0,9% față de soluția analitică [T1], ceea ce confirmă corectitudinea metodei utilizate.

- erorile valorilor experimentale ale factorului adimensional de intensitate a tensiunii, față de cele obținute numeric, prin Metoda elementelor finite (subcapitolul 4.1) sunt de maximum 3%. În acest caz se observă că rezultatele experimentale validează soluția numerică.

Precizia determinării factorului de intensitate a tensiunii prin metoda Smith este influențată de numărul punctelor luate în considerare pentru trasarea dreptei de regresie $\frac{K_{AP}}{\sigma\sqrt{\pi a}} = f\left(\sqrt{\frac{r}{a}}\right)$ și de

domeniul de variație al raportului $\sqrt{\frac{r}{a}}$. Autorul a adus îmbunătățiri metodei Smith în scopul creșterii preciziei determinării. Astfel pentru a avea cât mai multe puncte în care să se calculeze factorul aparent de intensitate a tensiunii K_{APi} am determinat prin regresie polinomială, pe baza datelor fotoelastice, variația ordinului benzii k_i în funcție de distanța de la vârful creștăturii r_i . Cu ajutorul funcției $k_i = f(r_i)$ s-au determinat prin interpolare, valorile benzii în puncte intermediare punctelor de măsurare.

Studiul efectuat asupra domeniului punctelor luate în considerare pentru trasarea dreptei de regresie a confirmat recomandările lui Smith [S6],[S13], conform căruia precizia maximă se obține dacă se iau în considerare punctele ce aparțin intervalului: $0,2 \leq \sqrt{\frac{r}{a}} \leq 0,4$.

Avantajul utilizării metodei fotoelasticimetrice prin reflexie constă în aceea că studiile se pot extinde pe piese reale cu fisuri sau creștături, prin lipirea foliei fotoelastice, permițând astfel determinarea experimentală a factorului de intensitate a tensiunii în condițiile impuse de exploatare.

5.4.2 DETERMINAREA EXPERIMENTALĂ PRIN METODA FOTOELASTICIMETRIEI A FACTORULUI DE INTENSITATE A TENSIUNII PENTRU O PLATBANDĂ CU ORIFICIU CIRCULAR DIN CARE SE DEZVOLTĂ O FISURĂ

Metoda fotoelasticimetriei s-a utilizat pentru a verifica experimental soluția factorului adimensional de intensitate a tensiunii pentru o platbandă cu orificiu circular din care se dezvoltă o fisură, soluție determinată prin metoda elementelor finite.

Experimentul

S-a utilizat o epruvetă din Araldyt având forma și dimensiunile din Figura 5.4.2.1 (lungime $2h = 110$ mm, lățime $2b = 55$ mm, grosime $g = 10$ mm), în care s-a executat un orificiu circular având diametrul $d = 2R = 13,75$ mm.

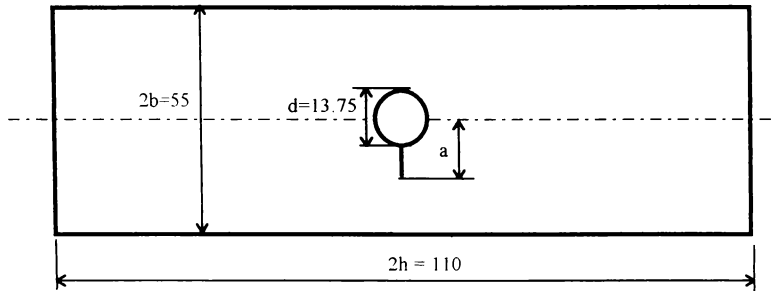


Figura 5.4.2.1

Valoarea benzii materialului s-a determinat prin etalonare pe aceeași epruvetă, dar înainte de realizarea orificiului circular. Operația de etalonare s-a efectuat solicitând modelul la încovoiere pură, obținându-se valoarea benzii $f_{\sigma} = 1,875$ MPa/franță.

Epruveta s-a încărcat la tracțiune într-un dispozitiv de solicitare, Figura 5.4.2.2. Dispozitivul de solicitare a fost proiectat de autor, fiind compus dintr-o ramă metalică 2 care se montează între polarizorul și analizorul unui polariscop cu lumină polarizată circular. Încărcarea modelului fotoelastic 1 se realizează prin intermediul pârghiei orizontale 3, care este articulată în rama metalică. Încărcarea se face prin intermediul greutăților G. La celălalt capăt al pârghiei greutatea G_1 are rolul de a compensa greutatea pârghiei. Transmiterea încărcării de la pârghie la epruvetă se face prin intermediul tijelor 4, 5 și a bolțurilor, sistem ce asigură o centrare cât mai bună a modelului. În partea superioară modelul este susținut de rama metalică prin intermediul tijelor 6 și 7, articulate cu bolțuri.

În primă fază s-a determinat coeficientul de concentrare a tensiunilor pentru platbanda cu orificiu circular ale cărei dimensiuni au rapoartele: $h/b = 2$ și $R/b = 0,25$.

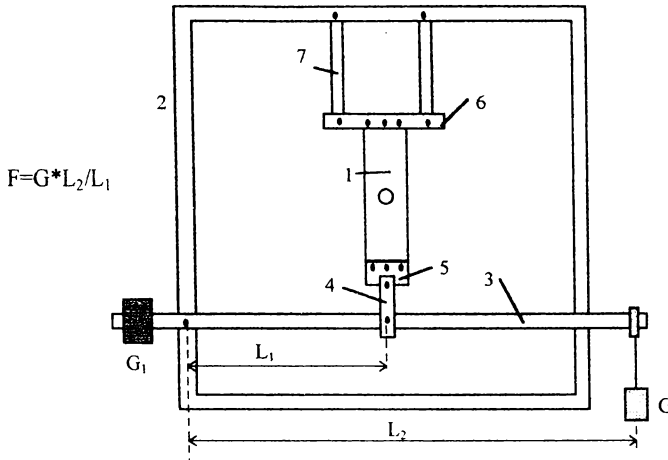


Figura 5.4.2.2

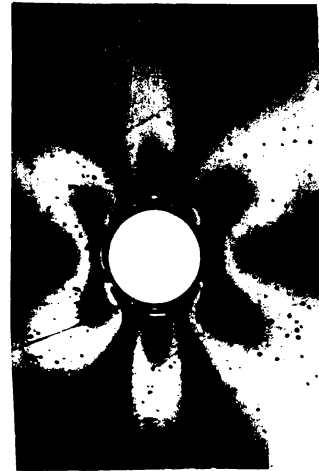


Figura 5.4.2.3

Rezultatele obținute în urma încărcării modelului sunt prezentate în Tabelul 5.4.2.1.

Tabelul 5.4.1

Nr.crt.	Încărcarea F [N]	Tensiunea nominală $\sigma_n = F / A$ [MPa]	Ordinul benzii k [franje]	Tensiunea maximă $\sigma_{max} = k \cdot f_{\sigma}$ [MPa]	Coeficientul de concentrare $k_{t,exp} = \frac{\sigma_{max}}{\sigma_n}$	de a tensiunilor $k_{t,exp}$
1	475,41	0,576	1	1,875	3,255	3,254
2	633,88	1,152	2	3,750	3,255	
3	950,95	1,729	3	5,625	3,253	
4	1267,91	2,305	4	7,500	3,254	

În continuare s-a tăiat o fisură de diferite lungimi ($a = 8,25 ; 11 ; 13,75 ; 16,5 ; 19,25 ; 22$ mm) cu ajutorul unei pânze de grosime 0,2 mm. La fiecare lungime a fisurii s-a solicitat la tracțiune epruveta cu diferite valori ale forței și s-a fotografiat imaginea din analizor. S-a observat că imaginea obținută în analizor a fost simetrică față de planul fisurii, ceea ce confirmă faptul că deplasarea flancurilor fisurii s-a realizat după modul I.

O parte din fotografiile realizate sunt prezentate în Figurile 5.4.2.3 - 5.4.2.9. Imaginea obținută în analizor a fost simetrică față de planul fisurii ceea ce confirmă că deplasarea flancurilor fisurii s-a realizat după modul I.

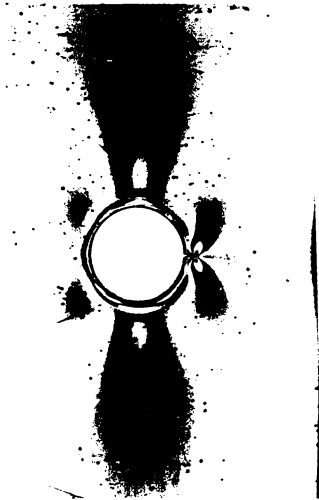


Figura 5.4.2.4 : a = 8,25 mm
a/b = 0,3 ; $\sigma=1,152$ MPa

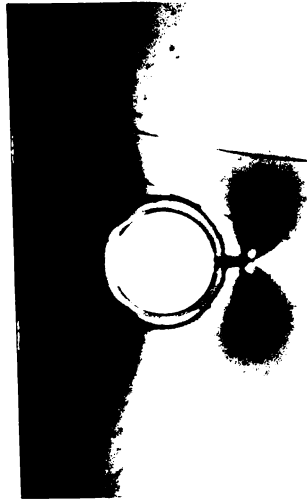


Figura 5.4.2.5 : a = 11 mm
a/b = 0,4 ; $\sigma=0,576$ MPa

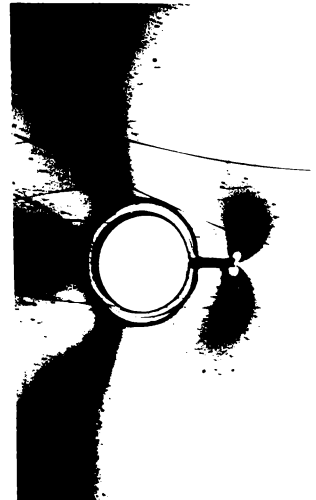


Figura 5.4.2.6 : a = 13,75 mm
a/b = 0,5 ; $\sigma=0,576$ MPa

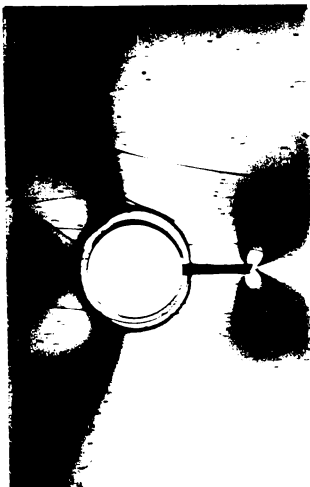


Figura 5.4.2.7 : a = 16,5 mm
a/b = 0,6 ; $\sigma=0,576$ MPa

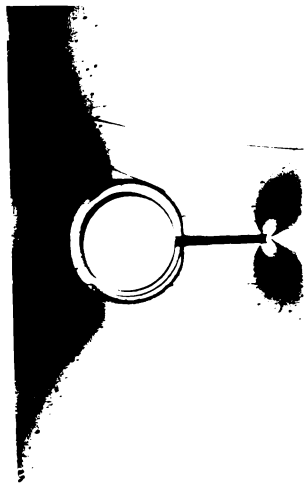


Figura 5.4.2.8 : a = 19,25 mm
a/b = 0,7 ; $\sigma=0,576$ MPa

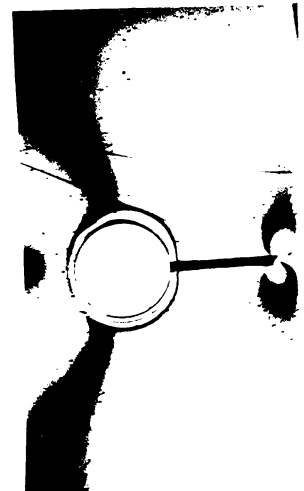


Figura 5.4.2.9 : a = 22 mm
a/b = 0,8 ; $\sigma=0,576$ MPa

Interpretarea rezultatelor prin metoda Irwin

Pentru a determina valoarea factorului de intensitate a tensiunii $K_{I,exp}$ pe baza datelor fotoelastice obținute am utilizat metoda Irwin, descrisă în **paragraful 5.3.1**. De pe fiecare fotografie s-a determinat punctul corespunzător mijlocului franjei izocromate, cel mai îndepărtat de vârful fisurii m , ținând cont de factorul de mărire. Pentru acest punct s-au măsurat coordonatele x_m, y_m , Figura 5.4.2.10. Măsurarea coordonatelor punctului m (x_m, y_m) s-a făcut în scopul diminuării erorilor de măsurare directă a unghiului θ_m , erori ce influențează în mare măsură precizia determinării factorului de intensitate a tensiunii.

Apoi s-au calculat coordonatele polare ale punctului m :

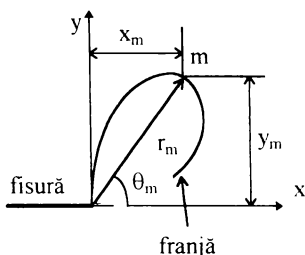


Figura 5.4.2.10

$$r_m = \sqrt{x_m^2 + y_m^2}$$

$$\theta_m = \arctg \frac{y_m}{x_m}$$

Valorile r_m, θ_m s-au utilizat pentru calculul factorului de intensitate a tensiunii $K_{I,exp}$, calcul realizat cu un program elaborat de autor în MathCAD. Datele de intrare în program sunt valoarea încărcării F [N], ordinul benzii k [franțe], valoarea benzii f_σ [MPa], raza maximă r_m [mm], unghiul maxim θ_m [°], programul calculând valoarea tensiunii σ [MPa], tensiunea tangențială maximă $\tau_m = k f_\sigma / 2$ [MPa], tensiunea nesingulară σ_{ox} [MPa] și factorul de intensitate a tensiunii determinat experimental $K_{I,exp}$ [N/mm^{3/2}] cu rel. (5.3.1.6), factorul adimensional de intensitate a tensiunii determinat experimental f_{exp} .

Pentru fiecare lungime a fisurii s-au efectuat mai multe încărcări în scopul determinării unei valori medii a factorului adimensional de intensitate a tensiunii. La valorile mici ale lungimii fisurii au fost necesare încărcări mai mari pentru a putea măsura coordonatele punctului de pe izocromată cel mai îndepărtat de vârful fisurii. La valorile mari ale lungimii fisurii încărcările au trebuit limitate deoarece la aceste valori franța izocromată este deformată datorită efectelor de margine.

Rezultatele obținute experimental pentru factorul de intensitate a tensiunii $K_{I,exp}$ și pentru factorul adimensional de intensitate a tensiunii f_{exp} sunt prezentate în Tabelul 5.4.2.2.

În Figura 5.4.2.11 s-a reprezentat variația factorului de intensitate a tensiunii $K_{I,exp}$ determinat prin fotoelasticimetrie în funcție de lungimea fisurii pentru diferite valori ale încărcării.

Tabelul 5.4.2.2

Nr. crt	Lungimea fisurii a [mm]	Raportul a/b [-]	Forța F [N]	Tensiunea σ [MPa]	Raza maximă r _m [mm]	Unghiul maxim θ _m [°]	F.I.T experimental K _{I,exp} [N/mm ^{3/2}]	Funcția exp. $f_{exp} = \frac{K_{I,exp}}{\sigma\sqrt{za}}$ [-]	Valoarea medie $\overline{f_{exp}}$ [-]
1	8.25	0.3	475.41	0.864	2.30	76.2	4.646	1.049	1.058
2	8.25	0.3	554.64	1.008	3.05	76.5	5.442	1.060	
3	8.25	0.3	633.88	1.152	3.97	76.6	6.254	1.066	
4	11.00	0.4	316.94	0.576	5.00	72.12	3.726	1.100	1.077
5	11.00	0.4	396.17	0.720	9.08	71.83	4.605	1.088	
6	11.00	0.4	475.41	0.864	15.93	71.70	5.536	1.150	
7	11.00	0.4	554.64	1.008	19.25	71.66	6.335	1.069	1.088
8	11.00	0.4	633.88	1.152	22.00	71.60	7.164	0.979	
9	13.75	0.5	237.70	0.432	1.42	74.50	3.067	1.080	
10	13.75	0.5	316.94	0.576	3.28	73.67	4.159	1.098	1.088
11	13.75	0.5	396.17	0.720	6.82	72.86	5.191	1.096	
12	13.75	0.5	475.41	0.864	10.55	72.64	6.159	1.084	
13	13.75	0.5	554.64	1.008	13.74	72.80	7.276	1.098	1.127
14	13.75	0.5	633.88	1.152	16.82	72.84	8.118	1.072	
15	16.50	0.6	237.70	0.432	2.76	73.20	3.538	1.137	
16	16.50	0.6	316.94	0.576	6.04	72.66	4.681	1.128	1.127
17	16.50	0.6	396.17	0.720	11.75	72.15	5.759	1.110	
18	16.50	0.6	475.41	0.864	18.65	72.05	7.154	1.134	
19	19.25	0.7	158.47	0.288	1.98	72.51	2.590	1.156	1.213
20	19.25	0.7	237.70	0.432	5.55	72.10	3.903	1.161	
21	19.25	0.7	316.94	0.576	10.50	72.27	5.621	1.246	
22	19.25	0.7	396.17	0.720	16.81	72.33	7.220	1.289	1.448
23	22.00	0.8	158.47	0.288	1.19	75.60	3.154	1.317	
24	22.00	0.8	237.70	0.432	3.17	76.00	5.351	1.484	
25	22.00	0.8	316.94	0.576	5.32	76.50	7.186	1.486	1.448
26	22.00	0.8	396.17	0.720	8.15	76.70	9.027	1.507	

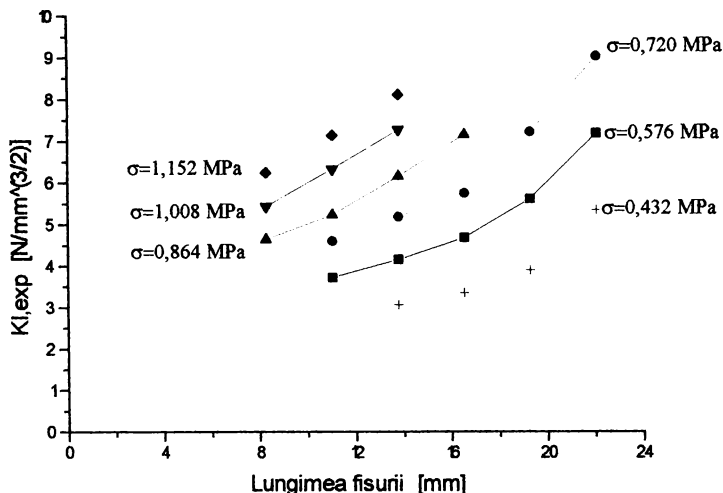


Figura 5.4.2.11

Concluzii

Comparând valorile coeficientului de concentrare a tensiunii k_t obținute teoretic [P13], numeric (paragraful 4.2.4) și experimental pentru platbandă cu orificiul circular, ale cărei dimensiuni respectă rapoartele $h/b=2$ și $R/b=0,25$, se observă buna concordanță a acestora, Tabelul 5.4.2.3.

Tabelu 5.4.2.3

Dimens. platbandă	Coef. de concentrare a tensiunii teoretic k_t [-]	Coef. de concentrare a tensiunii numeric $k_{t,MEF}$ [-]	Coef. de concentrare a tensiunii experimental $k_{t,exp}$ [-]	Eroarea la determinarea numerică $\Delta_{MEF} = \frac{k_t - k_{t,MEF}}{k_t} 100$ [%]	Eroarea la determinarea experimentală $\Delta_{exp} = \frac{k_t - k_{t,exp}}{k_t} 100$ [%]
$h/b = 2$ $R/b = 0,25$	3,240	3,193	3,254	1,45	- 0,43

Determinarea pentru punctul m de pe izocromată cel mai îndepărtat de vârful fisurii a coordonatelor polare r_m, θ_m prin măsurarea coordonateelor x_m, y_m reprezintă contribuția autorului în scopul creșterii preciziei estimării factorului de intensitate a tensiunii $K_{I,exp}$.

Analizând valorile unghiului θ_m (din Tabelul 5.4.2.2.) se observă că acestea se încadrează în domeniul de valabilitate corespunzător metodei Irwin $69,4 < \theta_m < 148,8$, (paragraful 5.3.1).

Metoda Irwin de interpretare a datelor fotoelastice a permis trasarea variației factorului de intensitate a tensiunii $K_{I,exp}$ în funcție de lungimea fisurii a pentru diferite valori ale încărcării σ , Figura 5.4.2.11.

În Tabelul 5.4.2.4. se prezintă comparativ, pentru o platbandă cu orificiu circular, din care se dezvoltă o fisură, soluțiile pentru factorul adimensional de intensitate a tensiunii, reprezentat de funcția $f = \frac{K_I}{\sigma\sqrt{\pi a}}$ obținute prin metoda elementului finit (paragraful 4.2.4) respectiv prin metoda fotoelasticimetrice.

Tabelul 5.4.2.4

Nr.crt.	Raportul	Funcția	Funcția	Abaterăa
	a/b [mm]	f_{MEF} [-]	f_{exp} [-]	$\Delta = \frac{f_{MEF} - f_{exp}}{f_{MEF}} 100$ [%]
1	0,3	1,073	1,058	1,4
2	0,4	1,089	1,077	1,1
3	0,5	1,094	1,088	0,6
4	0,6	1,111	1,127	-1,4
5	0,7	1,169	1,213	-3,8
6	0,8	1,508	1,448	4,0

Valorile experimentale obținute pentru factorul adimensional de intensitate a tensiunii f_{exp} au abateri mici față de valorile obținute prin metoda elementelor finite, Tabelul 5.4.2.4.

Erorile mai mari obținute pentru valorile raportului a/b de 0,7 și 0,8 se explică prin faptul că la lungimi mari ale fisurii aceasta se apropie de marginea modelului, iar izocromata este deformată datorită efectelor de margine.

Prin determinările experimentale ale factorului de intensitate a tensiunii $K_{I,exp}$ și ale factorului adimensional de intensitate a tensiunii f_{exp} autorul a căutat să valideze soluția numerică, obținută prin analiză cu elemente finite, propusă în paragraful 4.2.4 pentru cazul unei platbenzi care conține un orificiu circular din care se dezvoltă o fisură (cu dimensiunile $h/b = 2$; $R/b = 0,25$). Se poate aprecia că determinările experimentale confirmă corectitudinea soluției numerice propusă.

CAPITOLUL 6

CONTRIBUȚII PRIVIND ESTIMAREA DURABILITĂȚII TIRANȚILOR EXCAVATOARELOR PE BAZA PRINCIPIILOR MECANICII RUPERII

6.1 INTRODUCERE

Excavatoarele care lucrează în exploatările miniere sunt utilaje grele ce funcționează în condiții deosebite de exploatare. Un astfel de utilaj este **excavatorul ERC-1300**, Figura 6.1.1.

Tirantul unui astfel de excavator este unul din elementele cele mai importante din cadrul structurii metalice, Figura 6.1.2. Tirantul susține elinda pe care se află montat rotorul port cupe. Sarcinile variabile în timp asociate cu apariția unor fisuri pot conduce la ruperea tirantului fapt ce poate determina distrugerea structurii metalice, favorizând în același timp și apariția unor grave accidente.

Ca urmare se impune după anumite perioade de funcționare efectuarea unor inspecții prin care să se verifice starea tiranților.

Programul de evaluare a durabilității tiranților trebuie să cuprindă evaluarea după anumite perioade de exploatare a caracteristicilor clasice și caracteristicilor de Mecanica ruperii, ambele evidențiind modul în care evoluează în timp proprietățile de material. Pe lângă acestea un rol important revine analizei stării de tensiune și a distribuției defectelor care coroborate permit o analiză a interacțiunii defecte - tensiuni, [B22], [M13], [M14].

În acest sens am abordat problema durabilității tiranților pe baza conceptelor Mecanicii ruperii. Pentru acest studiu s-a pornit inițial cu analiza stării materialului debitat dintr-un tirant care a funcționat 12 ani.

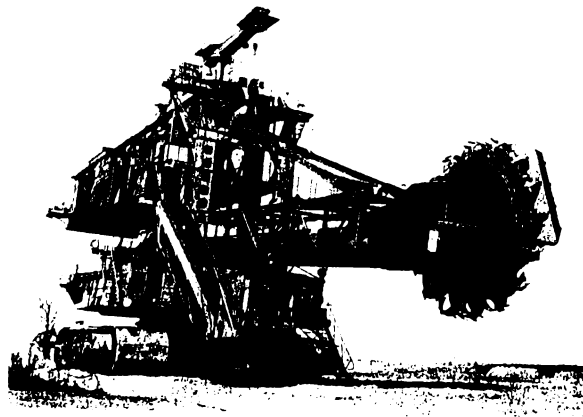


Figura 6.1.1

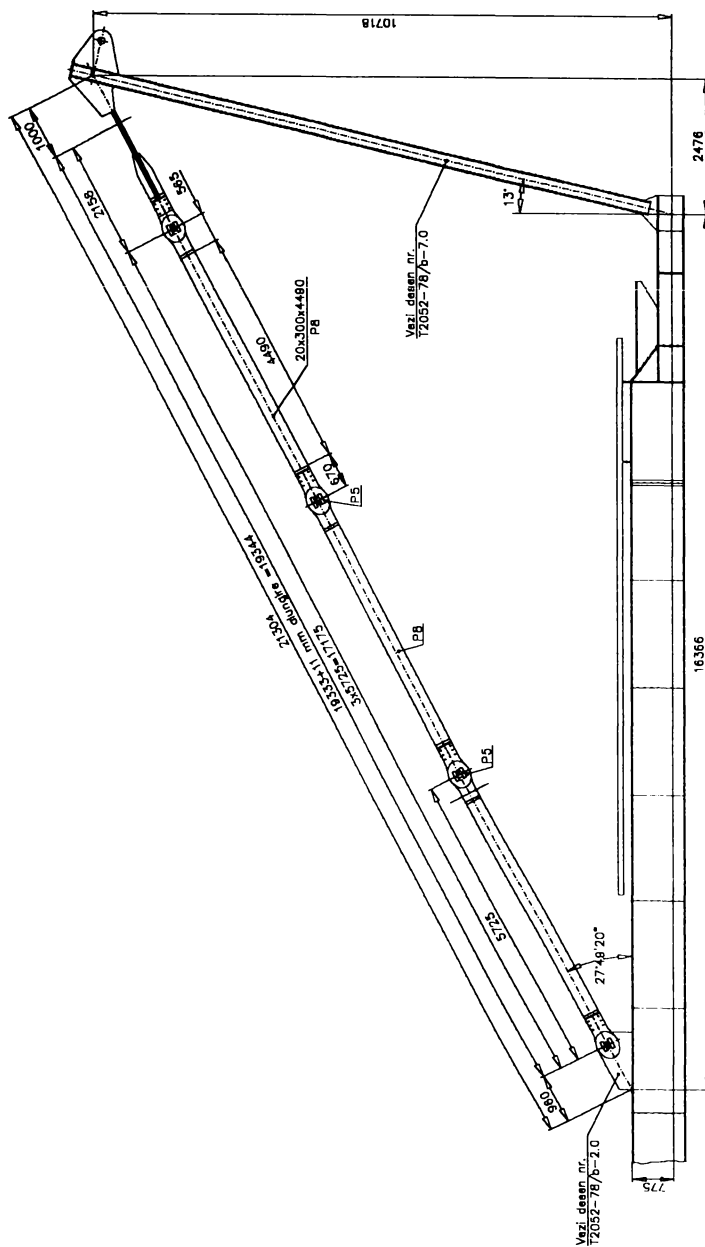


Figura 6.1.2

6.2 COMPOZIȚIA CHIMICĂ

Materialul din care este executat tirantul este St 52-3 sau OL 52.

Înainte de a efectua încercările de material s-a efectuat analiza chimică a oțelului St 52-3 și a oțelului OL 52 din platbenzile sudate.

În tabelul 6.2.1 este prezentată compoziția chimică a oțelului St 52-3 comparativ cu cea indicată pentru același material în lucrarea [S22].

Tabelul 6.2.1

Elemente chimice	C [%]	Si [%]	Mn [%]	P [%]	S [%]	Al [%]	N [%]	Fe [%]
St 52-3 (prin analize)	0,173	0,572	1,77	0,075	0,024	0,015	-	Rest
St 52-3 (bibliografie [22])	0,190	0,42	1,10	0,020	0,029	0,037	0,007	Rest

În Tabelul 6.2.2 este indicată compoziția chimică a oțelului OL 52 obținută în urma analizei și cea indicată conform standardelor în vigoare.

Tabelul 6.2.2

Elementele chimice	C [%]	Mn [%]	Si [%]	P [%]	S [%]	Alte elemente [%]
OL 52-4K (prin analiză)	0,176 - 0,197	1,62 - 1,79	0,344 - 0,348	0,011 - 0,013	0,019 - 0,028	Al 0,063- 0,065
OL 52 (STAS-500)	0,18 - 0,22	1,10 - 1,50	0,50	0,035 - 0,055	0,040 - 0,055	Al.min. 0,025

6.3. CARACTERISTICI STATICE.

Principalele caracteristici mecanice ale oțelului St 52-3 au fost obținute prin încercări la tracțiune statice conform STAS 200-75 [9] și STAS 10290-75 [10]. Încercările s-au efectuat pe o mașină de tracțiune de **100 kN**, utilizând epruvete de secțiune circulară, [9].

În Figura 6.3.1 este indicată curba caracteristică $\sigma - \epsilon$ obținută pentru oțelul St 52-3 până la atingerea limitei de curgere. Trebuie menționat că încercările la tracțiune au evidențiat existența unei limite de curgere aparente. Apoi după atingerea acesteia s-a demontat extensometru și s-a continuat încercarea până la rupere înregistrându-se forța maximă pe baza căruia s-a calculat rezistența la rupere R_m .

În Tabelul 6.3.1 sunt indicate valorile medii ale principalelor caracteristici (rezistența la rupere R_m , limita de curgere $R_{p0,2}$, alungirea la rupere A_n , gătuirea la rupere Z), obținute prin încercarea la tracțiune.

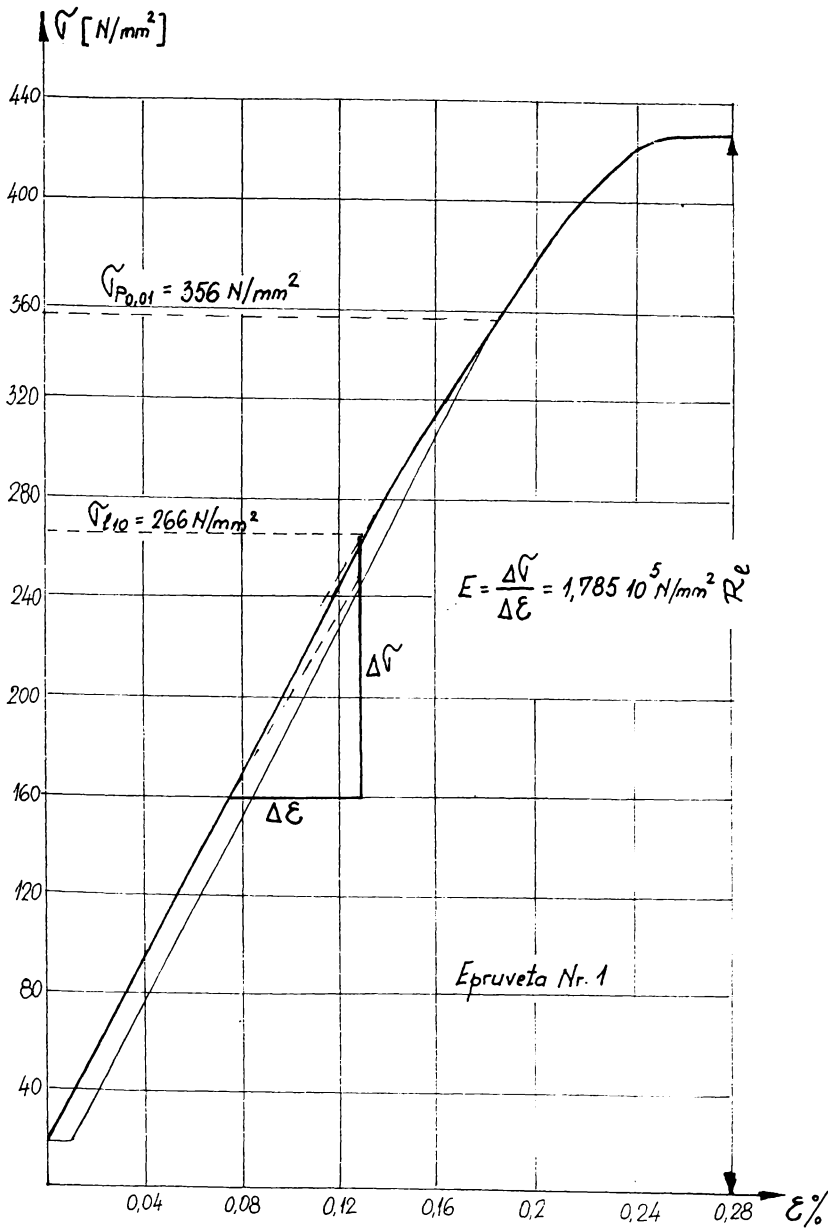


Figura 6.3.1

Tabelul 6.3.1

Materialul	Rezistența la rupere R_m [MPa]	Limita de curgere $R_{p0,2}$ [MPa]	Alungirea la rupere A_n [%]	Gâtuirea la rupere Z [%]
St 52-3 (prin încercări)	567	434	20	56,6
St 52-3 (bibliografie [S22])	590	410	27	66
Ol 52 4K (STAS 500)	520-620	350-360	22	-
A 533 (SUA, bibl.[B4])	585	427	28	72

Pentru comparație în Tabelul 6.3.1 s-au prezentat aceleași caracteristici și pentru alte oțeluri de aceeași calitate dar de producție diferită.

Pe lângă aceste caracteristici mecanice uzuale în Figura 6.3.1 s-au determinat, pentru oțelul St 52-3 și limita de proporționalitate σ_{110} , limita de elasticitate $\sigma_{p0,01}$ precum și modulul de elasticitate longitudinal E , Tabelul 6.3.2

Tabelul 6.3.2

Materialul	Limita de proporționalitate σ_{110} [MPa]	Limita de elasticitate $\sigma_{p0,01}$ [MPa]	Modulul de elasticitate E MPa]
St 52-3 (prin încercări)	272	360	$1,78 \cdot 10^5$

Prelucrarea statistică a datelor experimentale obținute pe un număr mare de epruvete a permis o comparație între caracteristicile mecanice și de deformabilitate ale materialului utilizat și cel din [S22]. S-a evidențiat astfel că în urma exploatării materialul s-a durificat, micșorându-se în același timp caracteristicile de deformabilitate.

Comparând caracteristicile mecanice obținute prin încercări ale oțelului St 52-3 cu cele indicate în lucrarea [S22] pentru același oțel, se constată o tendință de reducere a rezistenței la rupere și o diminuare a caracteristicilor de deformabilitate respectiv a alungirii la rupere A_n și a gâtuirii la rupere Z . În schimb limita de curgere a manifestat o tendință de creștere.

Din Tabelul 6.3.1 se observă, de asemenea că valorile obținute pentru caracteristicile mecanice ale oțelului St 52-3 se încadrează în limitele indicate de STAS-500 pentru oțelul OL 52 de producție românească.

În Figura 6.3.2 sunt indicate aspectele microfractografice ale ruperii la tracțiune.

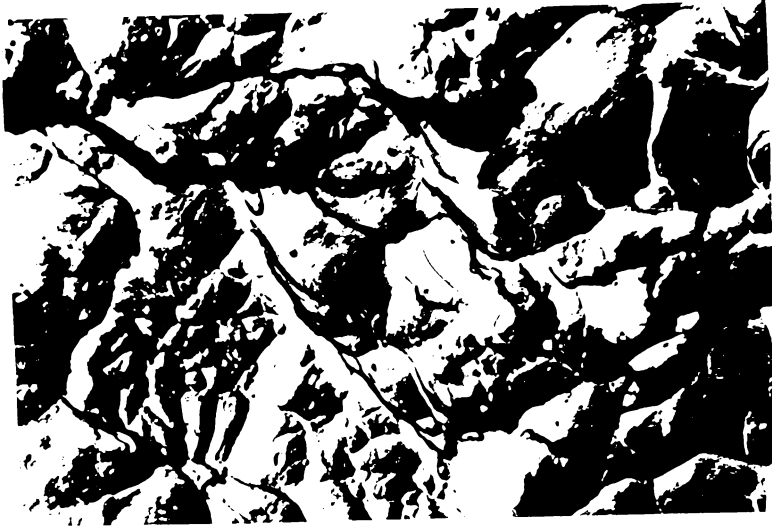


Figura 6.3.2

6.4 STUDIU PRIVIND COMPORTAREA LA SOLICITĂRI VARIABILE A MATERIALULUI TIRANTULUI.

Încercările la solicitări variabile s-au făcut pe epruvete din oțel St 52-3, debitate din tirant și pe epruvete din oțel O1. 52 în construcție sudată.

S-au folosit epruvete plate debitate în lungul plăcilor prelevate din tirant. Epruvetele au respectat grosimea produsului și calitatea suprafețelor acestuia și au respectat condițiile impuse de STAS 8027-78. Figura 6.4.1.

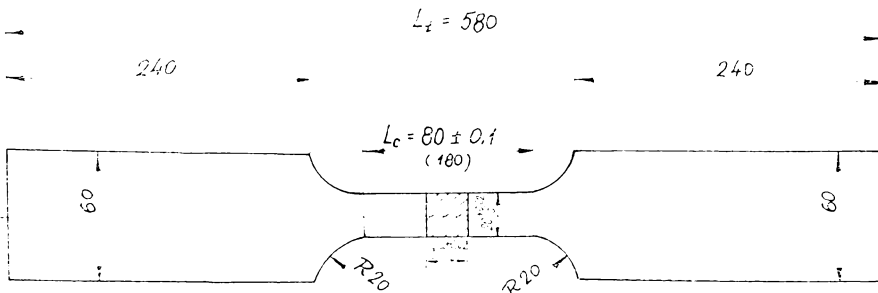


Figura 6.4.1

Încercările s-au făcut pe o mașină de tracțiune de 1000 kN prevăzută cu pulsator activat hidraulic pentru cicluri oscilante pozitive la solicitări de tracțiune, compresiune.

Ciclurile de solicitare atât pentru epruvetele din St 52-3 cât și pentru cele OL 52 în construcție sudată s-au caracterizat prin aceeași tensiune minimă $\sigma_{min} = 73,6$ MPa. Conform înregistrărilor din exploatare, această tensiune este determinată de greutatea proprie a subsansamblurilor susținute de tirant, Figura 6.4.2

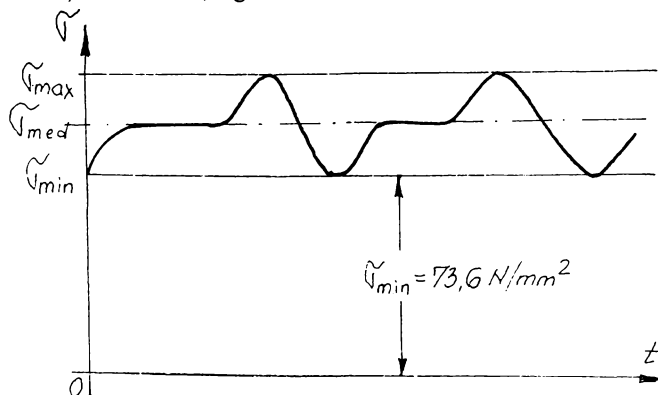


Figura 6.4.2.

Rezultatele încercărilor obținute la solicitări variabile pe epruvete fără concentrator, sunt prezentate în Tabelul 6.4.1 și reprezentate prin puncte în Figura 6.4.3. În Figura 6.4.3 curbele I și II au fost preluate din lucrarea [H14] și se referă la oțelul St 52-3, deci același oțel cu cel analizat.

Tabelul 6.4.1

Epruveta	Material	Tensiunea minimă	Tensiunea maximă	Coeficient de asimetrie $R_S = \sigma_{min} / \sigma_{max}$ [-]	Număr de cicluri până la rupere N [cicluri]
		σ_{min} [MPa]	σ_{max} [MPa]		
O 1	St 52	73,6	283,0	0,260	50.800
O 2	St 52	73,6	245,3	0,300	376.200
O 3	St 52	73,6	147,2	0,500	5.100.000
O 4	St 52	73,6	157,3	0,468	823.700
O 5	St 52	73,6	96,8	0,760	11.381.000
O 6	St 52	73,6	130,0	0,566	6.152.000
O 7	St 52	73,6	200,0	0,368	638.100
O 8	St 52	73,6	263,0	0,280	61.000
O 9	OL 52	73,6	400,0	0,184	9.300
O10	OL 52	73,6	283,0	0,260	178.500
O11	OL 52	73,6	147,2	0,500	1.286.000
O12	OL 52	73,6	245,3	0,300	432.000

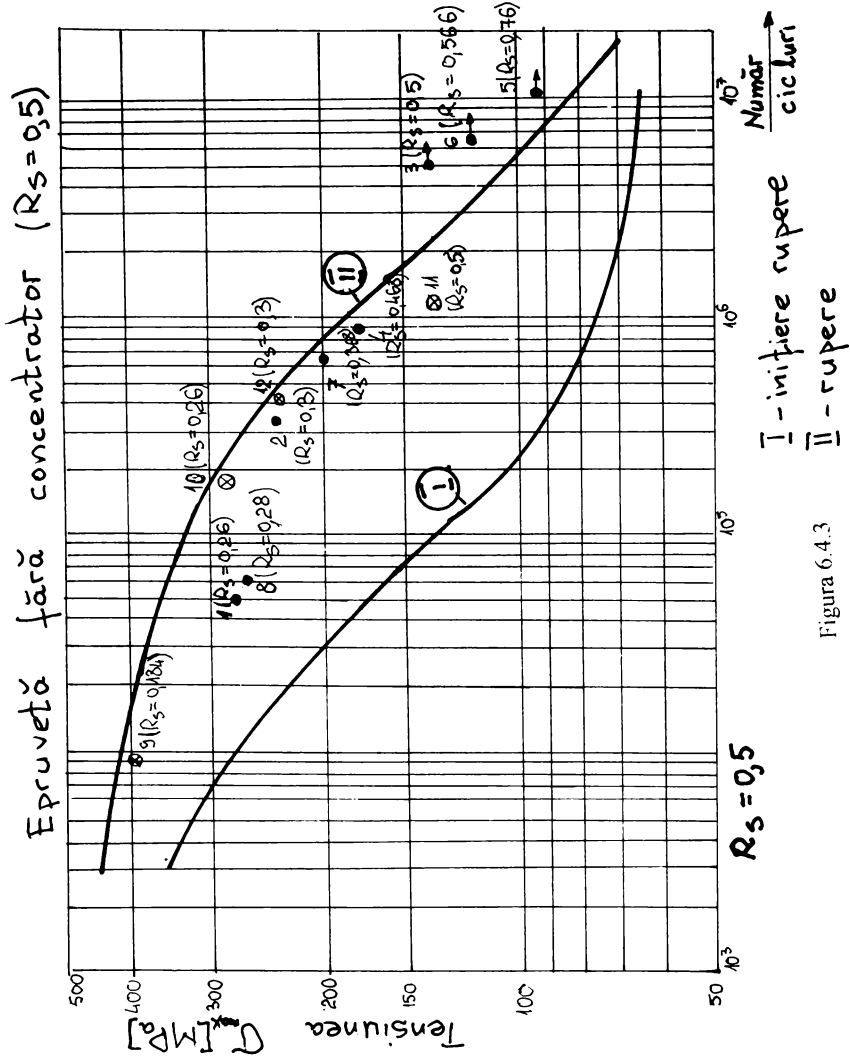


Figura 6.4.3

Curba I corespunde inițierii ruperii prin oboseală și curba II corespunde ruperii prin oboseală, corespunzător gradului de asimetrie $R_s = 0,5$. Punctele 1,2,3,4,5,6,7 și 8 corespund încercărilor la oboseală a epruvetelor din oțel St 52-3 iar punctele 9, 10, 11 și 12 încercărilor la oboseală a epruvetelor din OL 52 în construcție sudată.

Comparând rezultatele obținute pentru $\sigma_{\min} = 73,6$ MPa la diferite grade de asimetrie cu cele caracterizate prin $R_s = 0,5$ se constată că pentru tensiuni maxime $\sigma_{\max} > 150$ MPa, rezultatele obținute se plasează în jurul curbei de oboseală. Excepție au făcut două dintre epruvete, corespunzător lui $\sigma_{\max} = 275$ MPa și 263 MPa (punctele 1 și 8 din Figura 6.4.3). Pentru tensiuni $\sigma_{\max} < 150$ MPa durabilitățile epruvetelor încercate au depășit durabilitatea indicată pentru $R_s = 0,5$. Punctele marcate cu săgeți reprezintă epruvetele care nu s-au rupt și la care încercările au fost oprite.

Se remarcă că o dată cu creșterea coeficientului de asimetrie a ciclului R_s , crește și durabilitatea. Faptul că durabilitatea epruvetelor sudate (punctul 10 și 12 Figura 6.4.4) a depășit durabilitatea oțelului St 52-3 se explică prin aceea că epruveta din OL 52 din construcție sudată a fost debitată dintr-un material nesolicitat anterior. Analizând modul de rupere al epruvetelor sudate s-a constatat următoarele:

- la epruveta O10 corespunzătoare lui $\sigma_{\max} = 283$ MPa, inițierea fisurii s-a făcut în sudură, dar continuarea rupturii s-a efectuat în zona influențată termic.
- la epruvele O9, O11 și O12, ruperea s-a făcut în sudură.

În Figura 6.4.4 este indicată una dintre epruvetele rupte prin oboseală iar în Figura 6.4.5 aspectul secțiunii de rupere în cele două zone și anume zona lucioasă care corespunde ruperii prin oboseală și zona cu aspect fibros care corespunde ruperii finale. Din Figura 6.4.5 se observă că inițierea ruperii prin oboseală se produce într-unul din colțurile epruvetei, propagarea fisurii de oboseală extinzându-se pe aproximativ 20-25% din secțiune.

În Figura 6.4.6 este indicată microfractografia ruperii prin oboseală corespunzătoare epruvetei O1, Figura 6.4.4 cu $\sigma_{\max} = 283$ MPa și la care numărul de cicluri până la rupere a fost $N = 50.800$ cicluri.

Figura 6.4.7 indică aceleași microfractografie pentru epruveta O2, solicitată cu $\sigma_{\max} = 245,3$ MPa și la care numărul de cicluri până la rupere a fost $N = 376.200$ cicluri.

Microfractografiile din Figurile 6.4.6 și 6.4.7 au fost făcute în zona corespunzătoare propagării fisurii de oboseală.

Aspectele microfractografice din zona ruperii prin oboseală pun în evidență prezența striatiunilor, distanța dintre acestea reprezentând viteza de propagare a fisurii și care este determinată de nivelul tensiunii maxime.

Pentru a studia influența concentrării tensiunilor asupra durabilității materialului s-au confecționat din materialul St 52 epruvete de oboseală de forma celor indicate în Figura 6.4.4, în care s-a executat un orificiu circular cu diametrul de 5 mm. Coeficientul teoretic de concentrare a tensiunilor, corespunzător acestui caz este pentru $d/B = 5/20 = 0,25$ este $k_t = 3,24$, [P13]. În Tabelul 6.4.2 sunt prezentate rezultatele obținute în urma încercărilor iar în Figura 6.4.8 rezultatele experimentale sunt comparate cu curbele de oboseală trasate pentru o epruvetă cu orificiu circular pentru care coeficientul de concentrare a tensiunilor a fost $k_t = 2,5$ iar coeficientul de asimetrie $R_s = 0,5$ [H14].



Figura 6.4.4



Figura 6.4.5



Figura 6.46

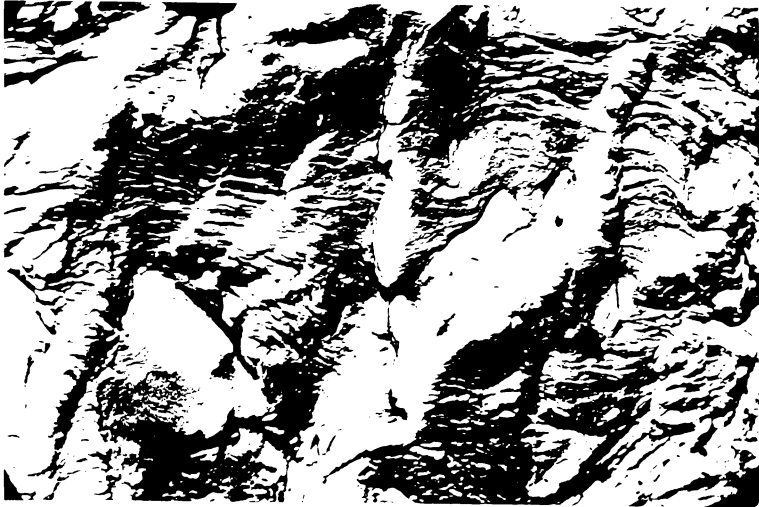


Figura 6.47

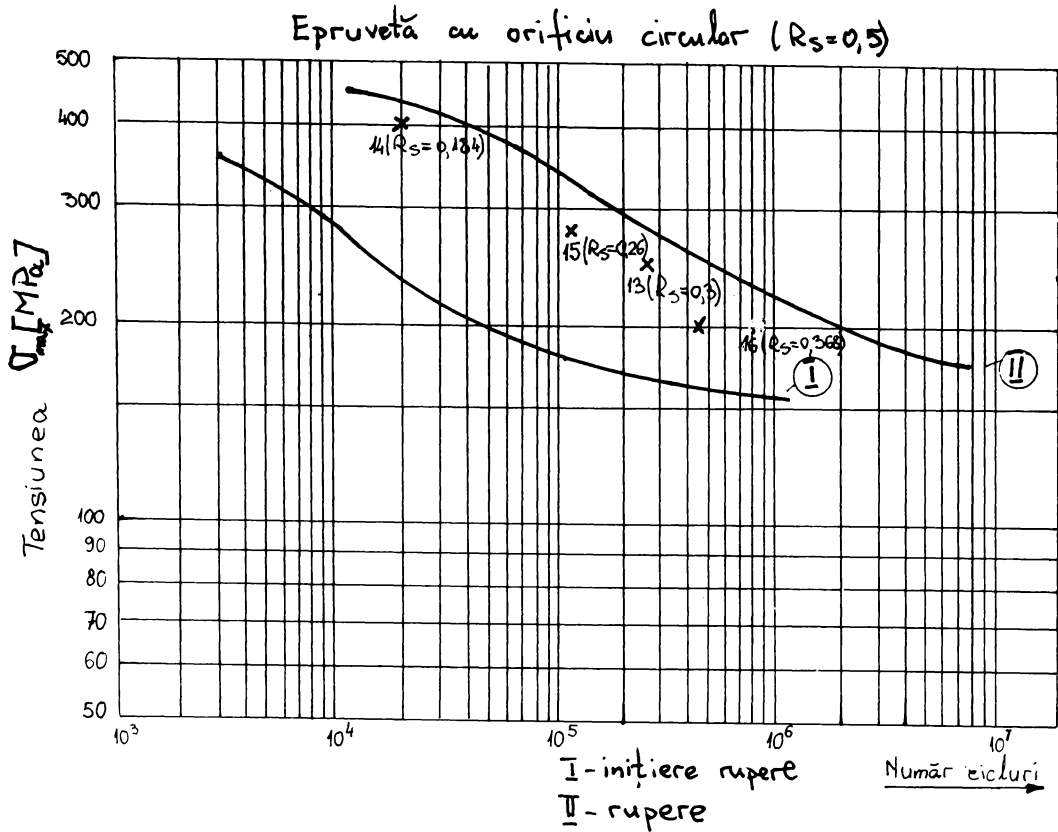


Figura 6.4.8

Tabelul 6.4.2

Epruveta	Material	Tensiunea minimă	Tensiunea maximă	Coefficient de asimetrie	Număr de cicluri până la rupere
		σ_{min} [MPa]	σ_{max} [MPa]	$R_s = \sigma_{min} / \sigma_{max}$ [-]	N [cicluri]
O13	St 52	73,6	245,3	0,300	268.000
O14	St 52	73,6	400,0	0,184	21.800
O15	St 52	73,6	283,0	0,260	135.000
O16	St 52	73,6	200,0	0,368	452.800

Din Figura 6.4.8 se observă că numărul de cicluri până la rupere pentru epruvetele cu concentrator de tensiune se află sub curba de durabilitate dată în [H14] pentru același material. Aceasta poate avea două explicații: coeficienții de asimetrie ai ciclurilor, folosiți la încercările efectuate ($R_s = 0,184 - 0,368$), au fost mai mici decât $R_s=0,5$ considerat în [H14], iar coeficientul de concentrare a tensiunilor k_t a fost mai mare la epruvetele încercate de autor (3,24 față de 2,5 în [H14]).

6.5 ÎNCERCĂRI DE REZILIENȚĂ

Determinarea rezilienței s-a efectuat pe epruvetele cu creștătură V, conform STAS 7511-81. Încercarea s-a realizat pe un ciocan Charpy la diferite temperaturi. Temperaturile scăzute obținându-se prin imersarea și menținerea epruvetei într-un vas adiabatic de răcire ce a conținut un amestec de azot lichid și acetonă.

Rezultatele încercărilor la reziliență pentru oțelul St 52-3 la diferite temperaturi sunt indicate în Tabelul 6.5.1.

Tabelul 6.5.1

Marcaj epruvetă	Temperatura de încercare	Energia la rupere [J]	
		Valori individuale	Media
V1 V2 V3	+20 ^o	67 68 64	66,3
V4 V5 V6	0	66 68 69	67,6
V7 V8 V9	-20 ^o	66 68 68	67,3
V10 V11 V12	-30 ^o	66 66 69	67
V13 V14 V15	-40 ^o	60 59 61	60

Analizând rezultatele prezentate în Tabelul 6.5.1 se constată că la toate temperaturile de încercare energia de rupere este mult superioară valorii critice corespunzătoare ruperii fragile de 27 J, ceea ce indică că materialul mai are rezervă pentru a-și păstra capacitatea de deformare.

De asemenea analizând secțiunea de rupere se observă că aspectul ruperii este mixt și nu apare fenomenul de fragilizare în intervalul de temperaturi studiate [-40^oC... 20^oC].

6.6 CERCETĂRI PRIVIND COMPORTAREA LA SOLICITĂRI AXIALE CU ȘOC

Deoarece în timpul funcționării excavatoarelor apar foarte des șocuri, am considerat că este necesar un studiu al comportării materialului din care este confecționat tirantul la solicitări axiale cu șoc.

Aspectele legate de comportarea unor oțeluri la viteze mari de deformație în cazul șocurilor longitudinale sunt prezentate în [D8].

Încercările la tracțiune prin șoc s-au efectuat pe un ciocan Chapy cu rezerva de energie maximă $W_0 = 750 \text{ J}$ care a fost adaptat special pentru încercări la tracțiune dinamică, Figura 6.6.1. Epruvetele folosite s-au confecționat din oțel St 52-3. Forma epruvetelor folosite la încercări este indicată în Figura 6.6.2. Trebuie menționat că epruvetele au avut marcate pe porțiunea calibrată o serie de repere situate la distanța $\Delta x = 2 \text{ mm}$ (Figura 6.6.1 Detaliu A). Măsurând după rupere, distanțele între repere, s-a putut reprezenta variația deformațiilor specifice pe lungimea calibrată.

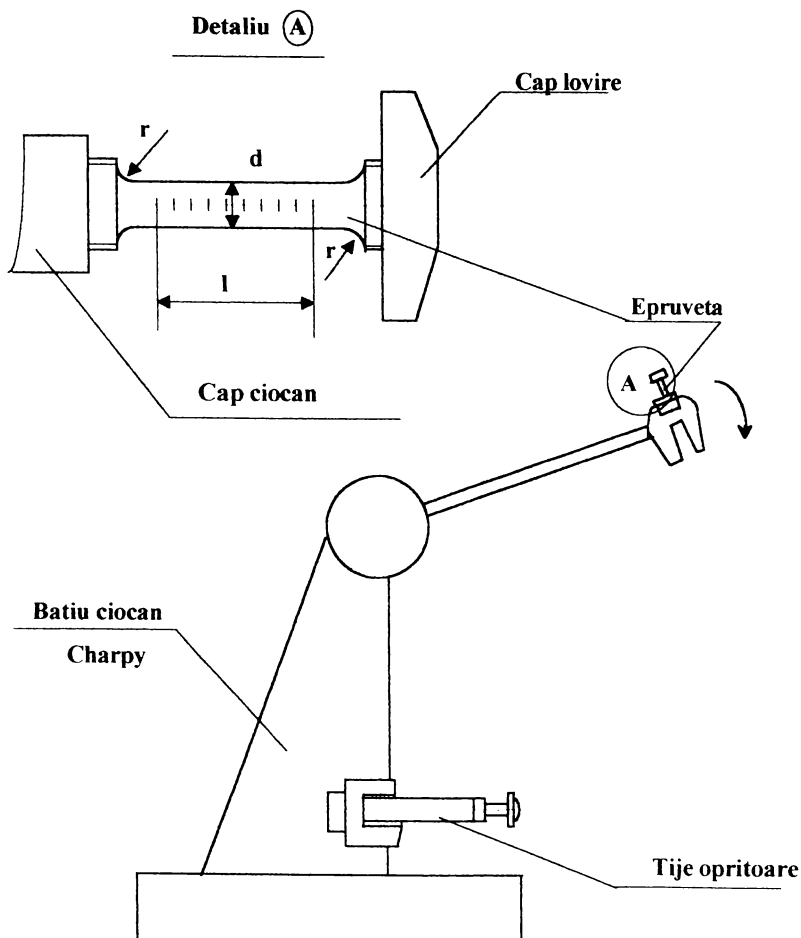


Figura 6.6.1

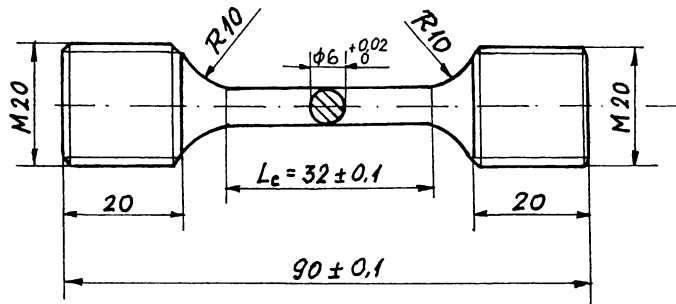


Figura 6.6.2

S-au efectuat încercări la șase viteze de deformație diferite.

În Figurile 6.6.3 și 6.6.4 este indicată variația energiei consumată pentru ruperea epruvetelor W în funcție de energia totală W_0 , respectiv în funcție viteza de impact v .

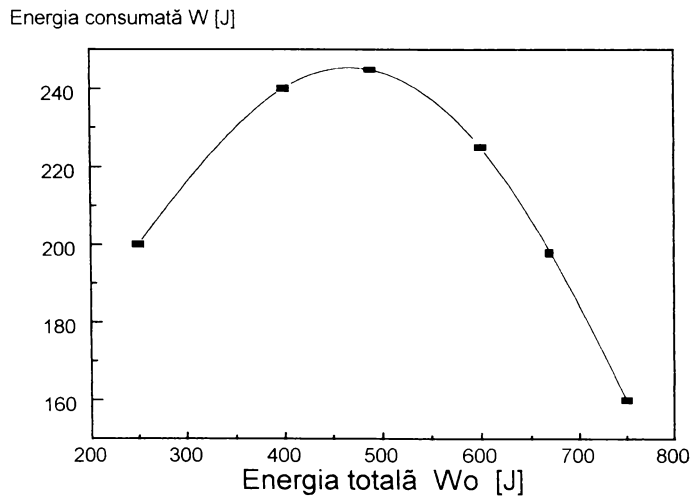


Figura 6.6.3

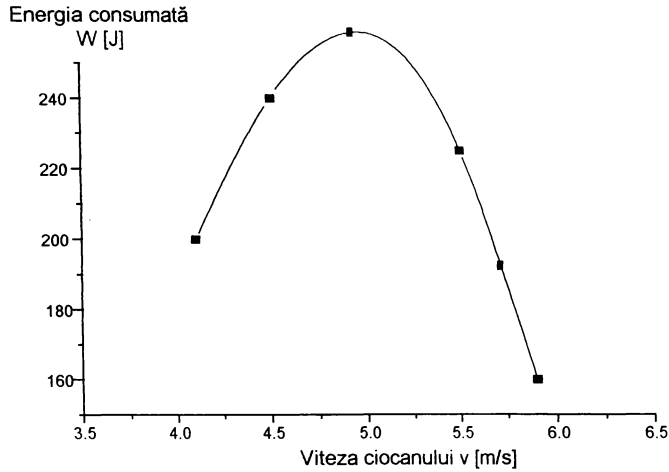


Figura 6.6.4

Cercetările efectuate la viteze de impact cuprinse între 4...6 m/s au evidențiat că oțelul St 52-3 poate înmagazina o energie maximă la viteza de 4,85 m/s. După depășirea acestei viteze energia de deformație înmagazinată scade simțitor.

Măsurând alungirile Δl_i fiecărui interval $l_i = 2 \text{ mm}$ marcat pe zona calibrată a epruvetei s-a calculat deformația specifică a fiecărui interval:

$$\varepsilon_i = \frac{\Delta l_i}{l_i} \cdot 100 \quad [\%] \quad (6.6.1)$$

Apoi s-au calculat deformațiile specifice cumulate:

$$\varepsilon_{i, cum} = \frac{\sum l_i \varepsilon_i}{\sum l_i} \cdot 100 \quad [\%] \quad (6.6.2)$$

În Figurile 6.6.5 și 6.6.6 s-au reprezentat variațiile deformațiilor specifice ε și a deformațiilor specifice cumulate ε_{cum} , corespunzătoare vitezei de impact $v = 5,5 \text{ m/sec}$. În ambele cazuri se remarcă tenacitatea ridicată a materialului la această viteză de impact.

Repartiția deformațiilor specifice ε (Figura 6.6.5) și deformațiilor specifice cumulate ε_{cum} (Figura 6.6.6) este neuniformă pe lungimea calibrată a epruvetei. Această repartiție este influențată în principal de viteza de deformație, dar și de condițiile de rezemare ale epruvetei.

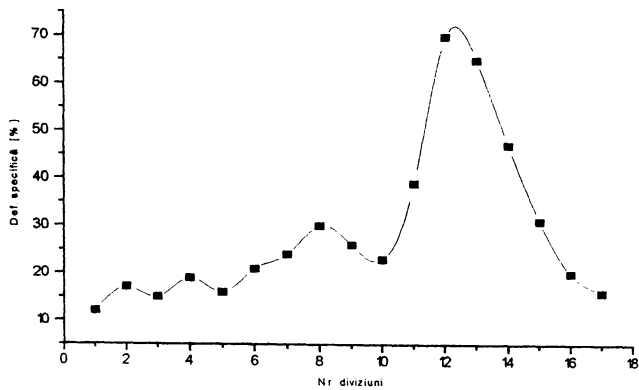


Figura 6.6.5

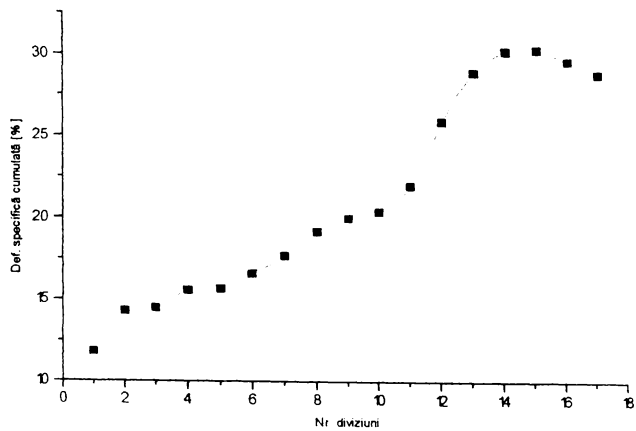


Figura 6.6.6

6.7 DETERMINAREA TENACITĂȚII LA RUPERE

6.7.1 DETERMINAREA FACTORULUI CRITIC DE INTENSITATE A TENSIUNII PRIN METODA CHEVRON

Aprecierea tenacității la rupere a materialului se poate face pe baza valorii critice a factorului de intensitate al tensiunii, K_{IC} . Deoarece pentru materialul studiat grosimea minimă a epruvetei impusă de STAS 9760-84, [7] este mult mai mare decât grosimea plăcii debitată din tirant s-a adoptat metoda Chevron pentru determinarea tenacității la rupere.

Valoarea critică a factorului de intensitate a tensiunii s-a obținut prin încercări pe epruvete de tip Chevron, Figura 6.7.1.1. S-a efectuat determinarea tenacității la rupere pe epruvete Chevron, deoarece această metodă prezintă câteva avantaje notabile față de metoda K_{IC} de determinare a tenacității la rupere, [S23], [B23]. Dintre acestea cele mai importante sunt respectarea stării plane de deformare pe epruvete de dimensiuni mult mai mici față de metoda K_{IC} , datorită formei epruvetei; aceste epruvete nu necesită o prefisurare prin oboseală; cost redus față de metoda K_{IC} , o bună repetabilitate și o precizie ridicată, evidențiată prin abaterea medie pătratică, care este mult mai mică decât la metoda K_{IC} , [B23].

Folosirea epruvetelor Chevron asigură respectarea condițiilor stării plane de deformare, datorită formei epruvetei, care asigură și menținerea fisurii în planul de rupere, ce conține creștătura.

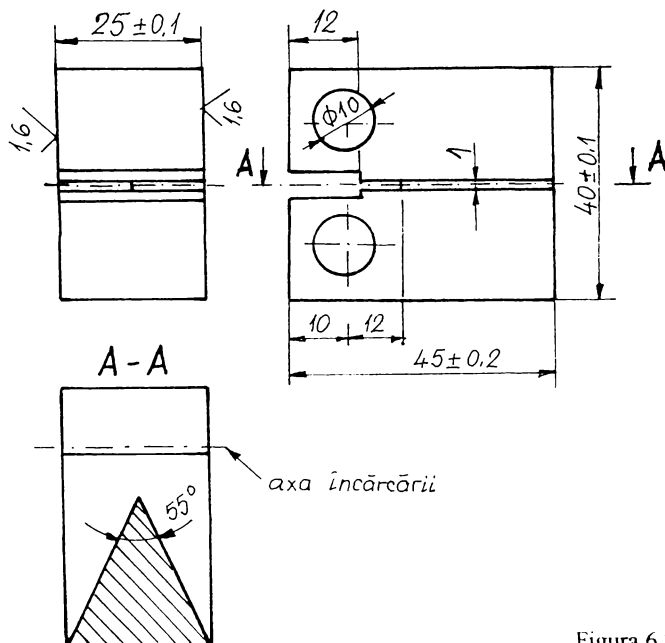


Figura 6.7.1.1

În Figura 6.7.1.2 este prezentată, după [B23], corelația dintre valoarea tenacității la rupere determinată pe epruveta Chevron K_{IV} și valoarea tenacității determinată după metoda K_{IC} .

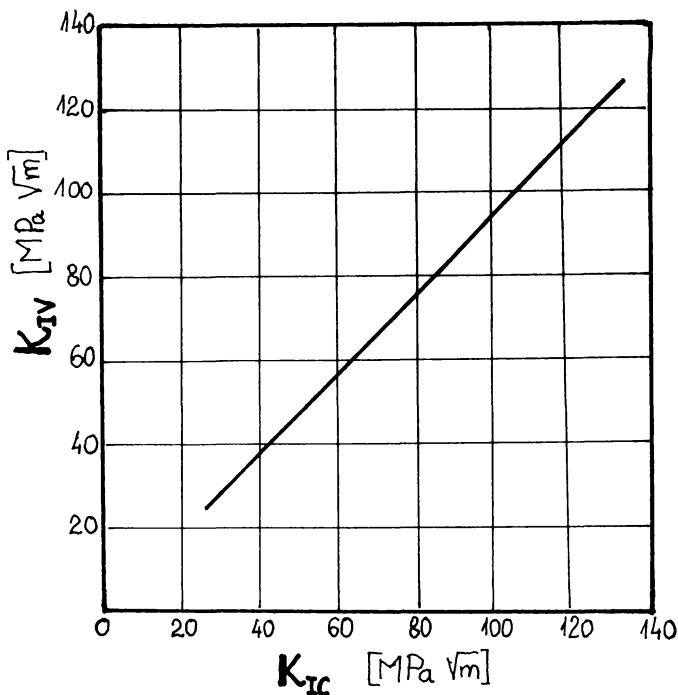


Figura 6.7.1.2

Încercarea s-a realizat pe o mașină de încercat la tracțiune adaptată pentru încercările de Mecanica ruperii. Schița încercării este prezentată în Figura 6.7.1.3. Forța s-a măsurat prin intermediul unui traductor de forță (doză tensometrică), iar deplasarea de deschidere a orificiului epruvetei, am măsurat-o cu ajutorul unui traductor de deplasare inductiv.

Sarcina s-a aplicat lent, continuu, progresiv și fără șocuri.

Tenacitatea la rupere pe epruvete Chevron, K_{IV} s-a determinat cu relația:

$$K_{IV} = A \cdot \frac{F_{\max}}{B^{3/2}} \quad [\text{N/mm}^{3/2}] \quad (6.7.1.1)$$

unde A - un coeficient în funcție de tipul epruvetei.

$A = 22.0$ pentru epruveta dreptunghiulară folosită, [B23];

F_{\max} - este forța maximă din înregistrarea forță deplasare;

B - grosimea epruvetei.

La toate epruvetele analizate inițierea fisurării s-a produs la vârful creștăturii, iar ruperea a rămas în planul creștăturii.

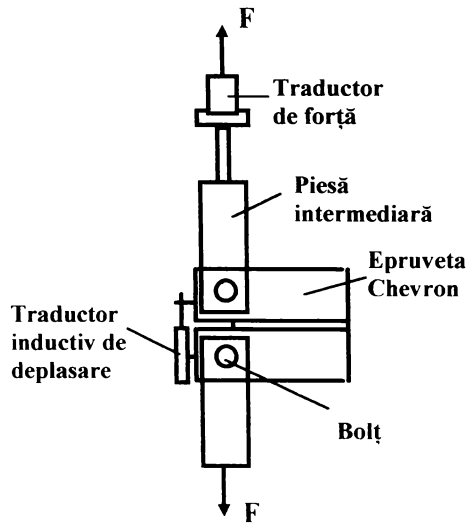


Figura 6.7.1.3

Una din diagramele forță - deplasare ridicată la încercarea epruvetei CV5 este prezentată în Figura 6.7.1.4

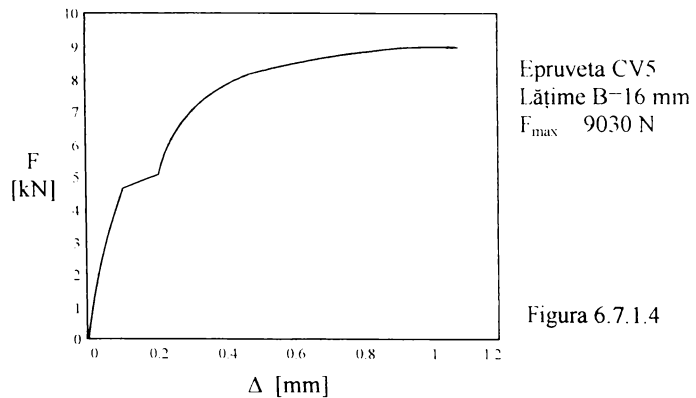


Figura 6.7.1.4

S-a determinat experimental tenacitatea la rupere K_{IV} pe 3 epruvete din materialul tirantului St 52-3, după 12 ani de funcționare și pe 3 epruvete din OL 52-4K, construcție sudată. Rezultatele obținute la temperatura de 20°C sunt prezentate în Tabelul 6.7.1.1

Tabelul 6.7.1.1

Materialul	Epruveta	Lățimea epruvetei B [mm]	Forța maximă F_{max} [N]	Tenacitatea la rupere K_{IV} [N/mm ^{3/2}]	Tenacitatea la rupere medie $\overline{K_{IV}}$ [N/mm ^{3/2}]
St 52-3	CV1	25	18710	3292,96	3297,65
St 52-3	CV2	25	19100	3361,60	
St 52-3	CV3	25	18400	3238,40	
OL 52-4K	CV4	16	8500	2921,87	3036,45
OL 52-4K	CV5	16	9030	3104,06	
Ol 52-4K	CV6	16	8970	3083,44	

Valoarea medie obținută în urma încercării unui număr de 3 epruvete pentru fiecare material a fost :

- pentru materialul St 52-3 : $\overline{K_{IV}} = 3297,65 \text{ N} / \text{mm}^{3/2}$

- pentru materialul OL 52-4K: $\overline{K_{IV}} = 3036,45 \text{ N} / \text{mm}^{3/2}$

Conform corelației dată în Figura 6.7.1.2, din [B23], se poate obține valoarea tenacității la rupere $K_{IC} = K_{IV} / 0,95$.

În Tabelul 6.7.1.2 se prezintă comparativ valorile tenacității la rupere obținute experimental pentru cele două oțeluri și valorile indicate în bibliografie pentru oțelul St 52-3 și pentru oțelul american A533, care are compoziția chimică și caracteristicile mecanice apropiate de cele ale oțelurilor studiate.

Tabelul 6.7.1.2

Materialul	Tenacitatea la rupere K_{IV} [N/mm ^{3/2}]	Tenacitatea la rupere K_{IC} = K_{IV} / 0,95 [N/mm ^{3/2}] [MPa mm ^{1/2}]	Tenacitatea la rupere K_{IC} [MPa m ^{1/2}]
St 52 - 3 (analizat)	3297,65	3471,21	109,76
St 52 - 3 (bibliografie [S22])	-	-	100 - 110
OL 52 - 4K construcție sudată (analizat)	3036,45	3196,26	101,07
A533 (bibliografie [B4])	-	-	100

Se observă, pentru materialul St 52-3 că valoarea determinată experimental, a tenacității la rupere K_{IC} se încadrează în limitele prescise în bibliografie [S22]. Valoarea tenacității K_{IC} obținută pe epruvete prelevate din tirantul unui excavator, care a funcționat 12 ani, indică faptul că nu apare fenomenul de fragilizare al materialului datorită exploatării

6.7.2 DETERMINAREA FACTORULUI CRITIC DE INTENSITATE A TENSIUNII PE BAZA CORELĂRII CU CELELALTE CARACTERISTICI DE MATERIAL.

În literatură există o serie de încercări privind corelarea tenacității la rupere K_{IC} cu celelalte caracteristici de material: limita de curgere a materialului σ_c ($R_{P0,2}$), respectiv energia consumată la rupere, KV determinată la încercarea de încovoiere prin șoc a epruvetelor cu creștătură în V.

Importanța acestor corelații este că la ora actuală există un volum mare de date experimentale pentru caracteristicile de material clasice, valori estimate prin analize statistice complexe, dar mult mai puține valori ale tenacității la rupere.

O astfel de corelație propusă de Rolfe-Novak-Barsoum pertinentă mărcii de oțel americană A533, care are compoziția chimică și caracteristicile statice apropiate de cele ale oțelurilor studiate, este prezentată în [B4] sub forma:

$$\left(\frac{K_{IC}}{\sigma_c}\right)^2 = 4\left(\frac{KV}{\sigma_c} - 0,05\right) \quad (6.7.2.1)$$

în care K_{IC} este factorul critic de intensitate a tensiunii, corespunzător stării plane de deformație, în $ksi\sqrt{inch}$

KV este energia consumată la rupere la încercarea de încovoiere prin șoc pe epruvete cu creștătură în V, în $ft-lb$

σ_c este limita de curgere a materialului, în ksi

Ținând cont de conversia unităților de măsură:

$$1 \text{ Joule} = 0,737 \text{ ft-lb} ; 1 \text{ MPa} = 0,145 \text{ ksi} ; 1 \text{ MPa}\sqrt{m} = 0,91 \text{ ksi}\sqrt{inch}$$

și introducând valorile medii ale caracteristicilor de material obținute experimental pentru oțelul St 52 - 3:

$$\sigma_c = 410 \text{ MPa} = 59,465 \text{ ksi}$$

$$KV = 66,3 \text{ J} = 48,9 \text{ ft-lb}$$

din relația (6.7.2.1) se obține valoarea factorului critic de intensitate a tensiunii:

$$K_{IC,cor} = 104,52 \text{ ksi}\sqrt{inch} = 114,86 \text{ MPa}\sqrt{m}$$

Între valoarea factorului critic de intensitate a tensiunii obținută prin corelația cu celelalte caracteristici de material $K_{IC,cor} = 114,86 \text{ MPa}\sqrt{m}$ și cea obținută experimental prin încercările de Mecanica ruperii pe epruvete Chevron $K_{IC,exp} = 109,76 \text{ MPa}\sqrt{m}$ (conform Tabelului 6.7.1.2) există o bună concordanță. Abaterea relativă dintre valoarea obținută experimental și cea corelată fiind de:

$$\Delta = \frac{K_{IC,cor} - K_{IC,exp}}{K_{IC,cor}} 100 = 4,44 \%$$

6.7.3 DETERMINAREA TENACITĂȚII LA RUPERE LA TEMPERATURI SCĂZUTE.

Întrucât utilajele grele, de forma excavatoarelor lucrează și în condiții de temperaturi scăzute mi-am propus determinarea tenacității la rupere la temperaturi scăzute și găsirea unei corelații între valoarea tenacității la rupere K_{IV} și temperatura de lucru T în intervalul de temperaturi $[-30^{\circ}\text{C} \dots 20^{\circ}\text{C}]$.

În acest scop răcirea epruvetelor s-a efectuat într-un vas adiabatic, cu un amestec de azot lichid și acetonă. Apoi metodologia de încercare și de interpretare a rezultatelor a fost identică cu cea de la încercarea de determinare a tenacității la rupere la temperatura ambiantă, utilizând epruvete Chevron. Epruvetele utilizate au fost prelevate dintr-un tirant aflat în exploatare o durată 12 ani și confecționat din material St 52-3. Forma și dimensiunile epruvetelor este cea din Figura 6.7.1.1. (epruvetele au avut grosimea de 25 mm).

Valorile experimentale ale tenacității la rupere obținute cu relația (6.7.1.1) atât la temperaturi scăzute cât și la temperatura ambiantă sunt prezentate în Tabelul 6.7.3.1.

Tabelul 6.7.3.

Epruveta	Temperatura T [$^{\circ}\text{C}$]	Forța maximă F [kN]	Tenacitatea la rupere K_{IV} [$\text{MPa mm}^{1/2}$]	Tenacitatea la rupere K_{IV} [$\text{MPa m}^{1/2}$]	Tenacitatea la rupere medie $\overline{K_{IV}}$ [$\text{MPa m}^{1/2}$]
CV1	20	18,71	3292,96	104,13	104,28
CV2	20	19,10	3361,60	106,30	
CV3	20	18,40	3238,40	102,41	
CV7	0	19,65	3458,40	109,36	110,88
CV8	0	20,80	3660,80	115,76	
CV9	0	19,32	3400,32	107,53	
CV10	-20	21,06	3706,56	117,21	120,45
CV11	-20	21,73	3824,48	120,94	
CV12	-20	22,14	3896,64	123,22	
CV13	-30	22,75	4004,00	126,61	127,69
CV14	-30	23,15	4074,40	128,84	
CV15	-30	22,93	4035,68	127,62	

Pentru a găsi o corelație între tenacitatea la rupere K_{IV} și temperatura T , valabilă în intervalul de temperaturi $[-30^{\circ}\text{C} \dots 20^{\circ}\text{C}]$ am trasat dreapta de regresie $K_{IV} = f(T)$ pe baza valorilor experimentale obținute, Figura 6.7.3.1.

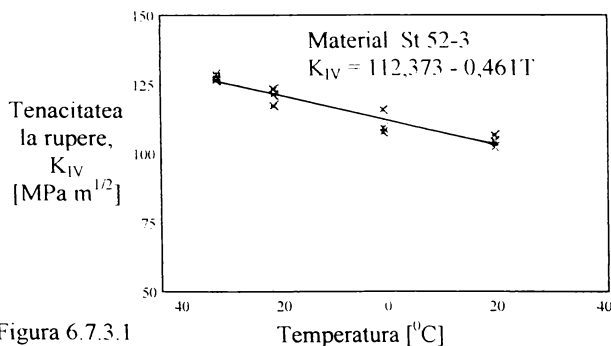


Figura 6.7.3.1

Pentru intervalul de temperatură considerat $[-30^{\circ}\text{C}...20^{\circ}\text{C}]$ am obținut următoarea corelație:

$$K_{IV} = 112,373 - 0,461 T \quad [\text{MPa m}^{1/2}] \quad (6.7.3.1)$$

Din Tabelul 6.7.3.1 precum și din Figura 6.7.3.1 se constată că la temperaturi cuprinse între $[-30^{\circ}\text{C}...20^{\circ}\text{C}]$ nu se produce fenomenul de fragilizare a oțelului St 52-3, respectiv temperatura de tranziție ductil-fragil nu este cuprinsă în intervalul de temperaturi considerat.

În lucrarea [B4] este prezentată curba de variație a tenacității la rupere K_{IC} în funcție de temperatura T pe un domeniu mai larg de temperaturi $[-100^{\circ}\text{C}...20^{\circ}\text{C}]$, pentru oțelul A533 care are compoziția chimică și caracteristicile mecanice apropiate de oțelul studiat. Am reprodus această curbă în Figura 6.7.3.2.

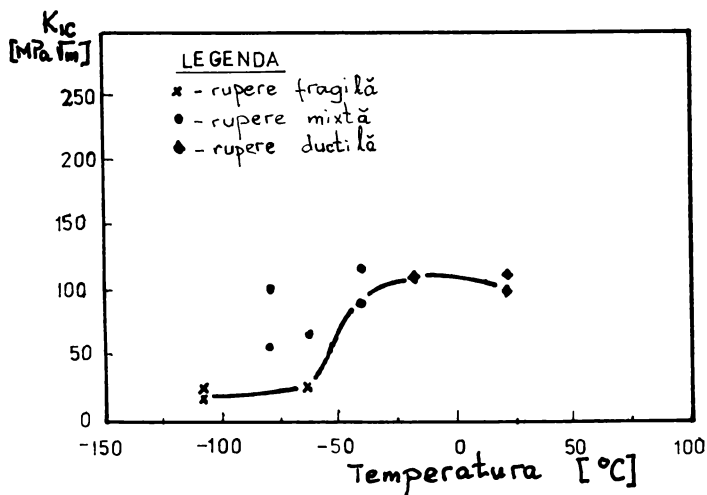


Figura 6.7.3.2

Din Figura 6.7.3.2 se observă că pentru oțelul A533 tranziția ductil - fragil se produce în jurul temperaturii de -60°C . De asemenea se remarcă și la oțelul A533 că pe intervalul de temperaturi $[-30^{\circ}\text{C}...20^{\circ}\text{C}]$ tenacitatea la rupere prezintă o ușoară tendință de scădere. Aceeași tendință fiind obținută și pentru oțelul St 52-3 studiat.

6.8 CONTRIBUȚII LA ESTIMAREA DURABILITĂȚII TIRANȚILOR EXCAVATOARELOR ÎN IPOTEZA APARIȚIEI UNOR FISURI

Presupunând că în tirant apare, un defect de forma unei microfisuri aceasta se poate dezvolta sub acțiunea solicitărilor variabile, la care este supus tirantul. Pornind de la acest aspect s-a făcut un studiu asupra durabilității tirantului în diferite ipoteze corespunzătoare dispunerii fisurilor și dimensiunilor acestora.

Conform metodologiei privind evaluarea siguranței în exploatare a elementelor de rezistență, paragraful 1.1, o analiză a propagării prin oboseală a fisurii trebuie să se facă ținând cont de caracteristicile de material stabilite de autor prin încercări de materiale, de geometria structurii și de ciclurile de solicitare efective. Rezultatele obținute sunt exprimate în număr de cicluri până la rupere, Figura 6.8.1.



Figura 6.8.1

Analiza propagării prin oboseală a fisurii s-a făcut pe baza conceptelor Mecanicii ruperii liniar elastice. Ruperea tirantului se poate produce dacă:

- factorul de intensitate a tensiunii maxim $K_{I\max}$ atinge valoarea tenacității la rupere K_{IC} , producându-se ruperea instabilă;
- fisura a străbătut întreaga lățime a tirantului.

Este cunoscută corelația dintre variația factorul de intensitate a tensiunii: $\Delta K_I = K_{I\max} - K_{I\min}$ și viteza de propagare a fisurii de oboseală da/dN pe baza legii lui Paris [B4]:

$$\frac{da}{dN} = C \cdot \Delta K_I^n \quad [\text{mm/ciclu}] \quad (6.8.1)$$

unde C este un coeficient iar n un exponent specifici fiecărui material, care se determină experimental prin încercări de oboseală.

Pentru materialul studiat St 52-3 și pentru coeficientul de asimetrie a ciclului $R_s = \sigma_{\min} / \sigma_{\max} = 0,5$ în lucrarea [S22] se dau:

$$C = 3,92 \cdot 10^{-10} \text{ mm}^{2,5} / \text{nr. cicluri} \text{ și } n = 2,82.$$

Întrucât spectrul de solicitare al tirantului în anumite regimuri se caracterizează prin coeficient de asimetrie $R_s \neq 0,5$ în calcule am utilizat o formă corectată a relației (6.8.1), care să țină cont de coeficientul de asimetrie al ciclului;

$$\frac{da}{dN} = C \cdot \frac{\Delta K_I^n}{\sqrt{1 - R_s}} \quad (6.8.2)$$

Calculul factorului de intensitate a tensiunii maxim $K_{I_{max}}$, respectiv minim $K_{I_{min}}$ s-a făcut cu relația:

$$K_{I_{max,min}} = \sigma_{max,min} \sqrt{\pi a} f(a/b) \quad [N/mm^{3/2}] \quad (6.8.3)$$

unde $\sigma_{max,min}$ este tensiunea maximă, respectiv minimă [MPa],

a lungimea sau semilungimea fisurii [mm],

$f(a/b)$ un coeficient ce ține seama de modul de dispunere al fisurii; a fiind lungimea sau semilungimea fisurii iar b lățimea sau semilățimea tirantului.

Pentru studiul durabilității tirantului au fost considerate trei ipoteze de calcul în funcție de modul de dispunere a fisurii de oboseală.

A) Tirantul cu fisură centrală (Figura 6.8.2), [T1], pentru care:

$$f(a/b) = \frac{1 - 0,5(a/b) + 0,37(a/b)^2 - 0,044(a/b)^3}{\sqrt{1 - (a/b)}} \quad (6.8.4)$$

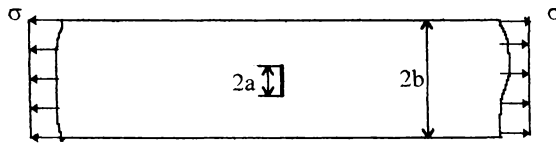


Figura 6.8.2. Tirant cu fisură centrală

B) Tirantul cu fisură laterală (Figura 6.8.3), [T1], pentru care:

$$f(a/b) = 1,12 - 0,231\left(\frac{a}{b}\right) + 10,55\left(\frac{a}{b}\right)^2 - 21,72\left(\frac{a}{b}\right)^3 + 30,39\left(\frac{a}{b}\right)^4 \quad (6.8.5)$$

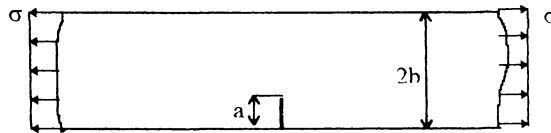


Figura 6.8.3. Tirant cu fisură laterală

C) Tirantul cu două fisuri laterale simetrice (Figura 6.8.4), [T1], pentru care:

$$f(a/b) = \frac{1,122 - 0,561(a/b) - 0,015(a/b)^2 + 0,091(a/b)^3}{\sqrt{1 - (a/b)}} \quad (6.8.6)$$

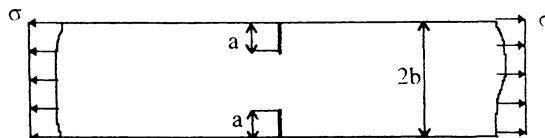


Figura 6.8.4. Tirant cu două fisuri laterale simetrice

Deoarece materialul St 52-3 prezintă o rupere mixtă precum și datorită nivelului încărcării, σ_{max} și concentrării puternice a tensiunii în jurul vârfului fisurii se formează o zonă plastică limitată.

Pentru a lua în considerare enclava plastică ce se formează la vârful fisurii am calculat pe baza criteriului de plasticitate Von Mises (paragraful 2.2.1), raza zonei plastice de la vârful fisurii, r_p :

$$r_p = \frac{1}{6\pi} \left(\frac{K_{I_{max}}}{\sigma_c} \right)^2 \quad (6.8.7)$$

Ținând cont de raza zonei plastice am recalculat factorii de intensitate a tensiunii maxim $K_{I_{max,cor}}$ și minim $K_{I_{min,cor}}$ înlocuind lungimea fisurii cu o lungime corectată egală cu lungimea fisurii plus raza zonei plastice:

$$a_{cor} = a + r_p \Rightarrow K_{I_{max,min}} = \sigma_{max,min} \sqrt{\pi(a + r_p)} f(a/b) \quad (6.8.8)$$

Pentru studiul propagării prin oboesală a fisurilor, care reprezintă un proces iterativ de integrare a relației (6.8.2), la diferite creșteri ale lungimii fisurii da am realizat un program de calcul, numit **DURABIL**. Programul este scris în QBASIC și a fost rulat pe un calculator PC 486. Datele de intrare în program sunt:

- Încărcările: tensiunile maximă σ_{max} și minimă σ_{min} , în [MPa]
- Caracteristicile de material: limita de curgere σ_c , în [MPa]; tenacitatea la rupere K_{IC} , în [N/mm^{3/2}]; constanta din legea lui Paris C, în [mm^{2.5}/ciclu] și exponential din legea lui Paris n
- Geometria tirantului: modul de dispunere al fisurii (centrală, laterală sau două fisuri laterale); lățimea tirantului b, în [mm]; lungimea fisurii a, în [mm]; creșterea fisurii da, în [mm].

Programul calculează inițial funcția de formă $f(a/b)$, factorii de intensitate ai tensiunii inițiali $K_{I_{max,ini}}$, $K_{I_{min,ini}}$, variația inițială factorului de intensitate al tensiunii $\Delta K_{I,ini}$, raza zonei plastice inițială $r_{p,ini}$; iar apoi prin iterații valorile funcției de formă $f(ai/b)$; factorilor de intensitate ai tensiunii $K_{I_{max,i}}$, $K_{I_{min,i}}$; variația factorilor de intensitate ai tensiunii $\Delta K_{I,i}$; raza zonei plastice r_{pi} ; recalculează valorile corectate ale factorilor de intensitate a tensiunii $\Delta K_{I_{max,cor}}$, $\Delta K_{I_{min,cor}}$ ținând cont de zona plastică formată la vârful fisurii; numărul de cicluri N după care se realizează o creștere a fisurii da impusă.

Programul se oprește în momentul în care fisura de oboesală a străbătut întreaga lățime a tirantului b sau când factorul de intensitate a tensiunii maxim $K_{I_{max,fin}}$ a atins valoarea tenacității la rupere K_{IC} . Datele de ieșire din program sunt: raza zonei plastice finale $r_{p,fin}$; factorii de intensitate ai tensiunii finali $K_{I_{max,fin}}$, $K_{I_{min,fin}}$, variația finală a factorului de intensitate al tensiunii $\Delta K_{I,fin}$, lungimea fisurii la care se produce ruperea tirantului a_{fin} și numărul de cicluri la care se produce ruperea N.

De asemenea programul trasează:

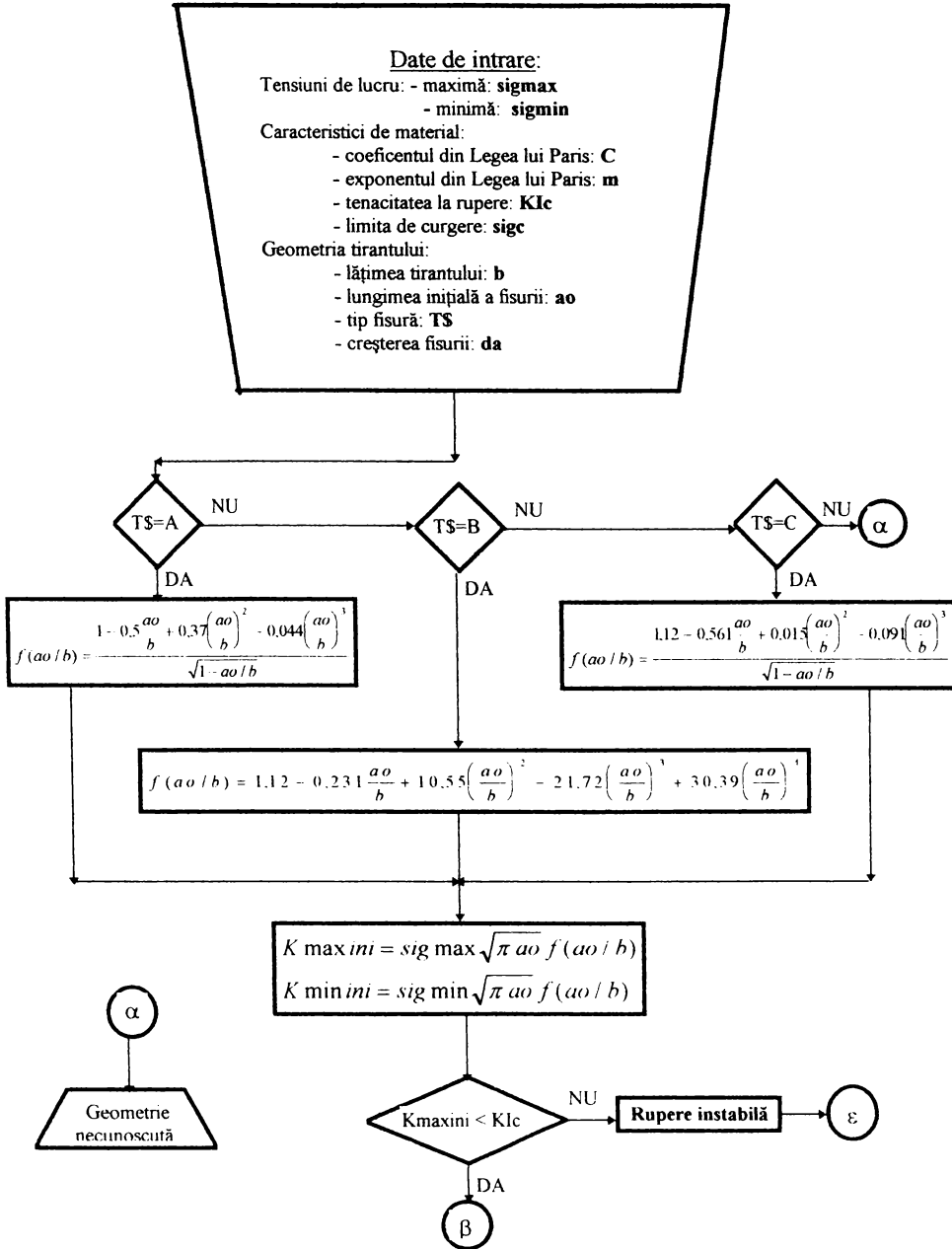
- variația factorului maxim de intensitate al tensiunii $K_{I_{max}}$ în funcție lungimea fisurii $K_{I_{max}} = f(a)$
- variația lungimii fisurii în funcție de numărul total de cicluri $a = f(N)$.

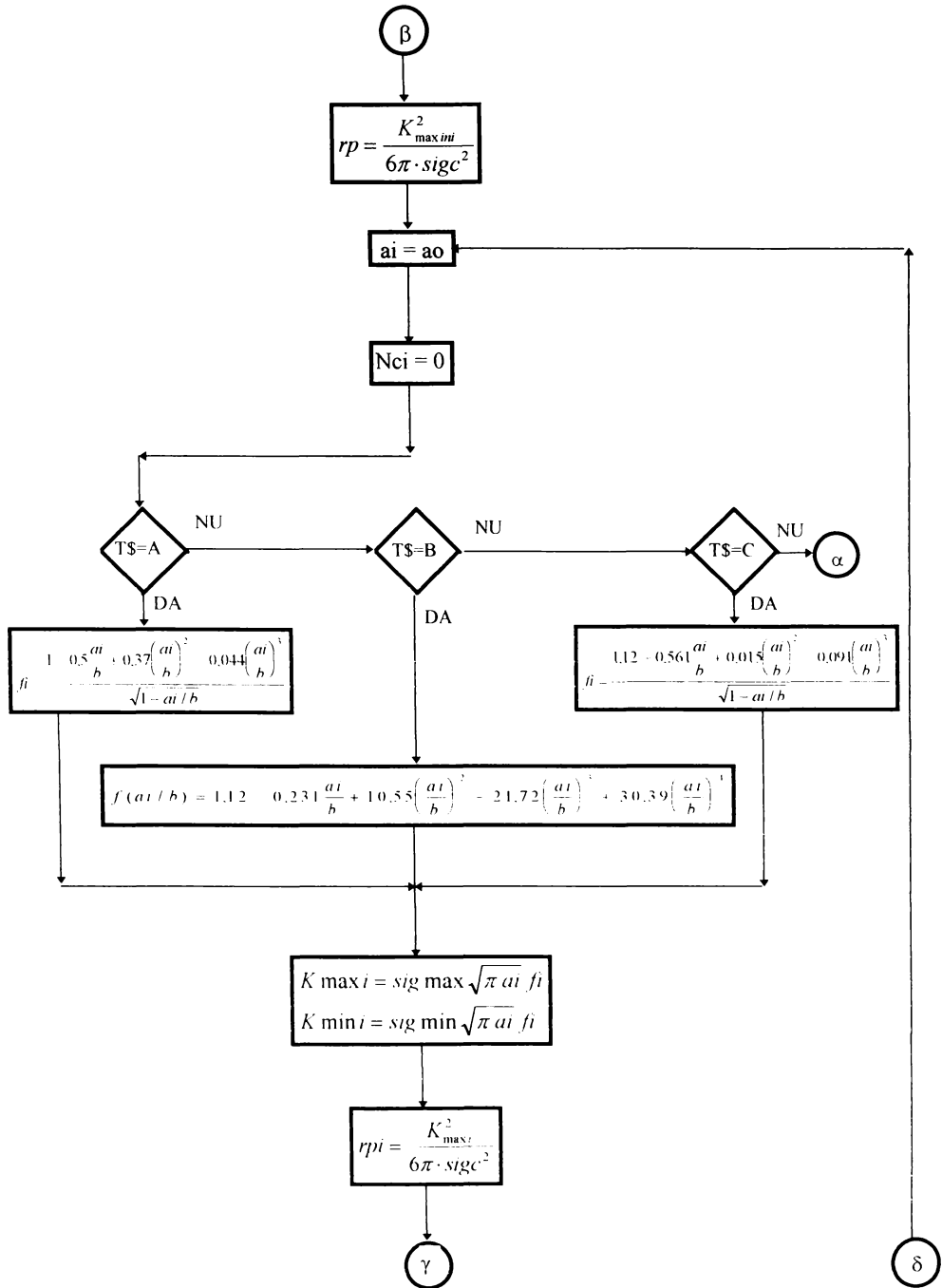
Schema logică a programului este prezentată în Figura 6.8.5.

Rezultatele obținute pentru câteva rulări, considerându-se pentru fiecare din cele trei tipuri de dispunere (A, B și C) a fisurii patru lungimi diferite ale fisurii inițiale (2, 5, 10 și 15 mm) sunt prezentate în Tabelul 6.8.1.

În Figurile 6.8.6 - 6.8.12 se prezintă variațiile $a = f(N)$ și $K_{I_{max}} = f(a)$ trasate pentru cele trei tipuri de fisuri (A - centrală, B - laterală și C - două fisuri laterale), pornind în fiecare caz de la o lungime inițială a fisurii $a = 2$ mm.

**SCHEMA LOGICĂ A PROGRAMULUI DURABIL PENTRU
DETERMINAREA NUMĂRULUI DE CICLURI PÂNĂ LA RUPERE,
DATORATĂ PROPAGĂRII PRIN OBOSEALĂ A UNEI FISURI**





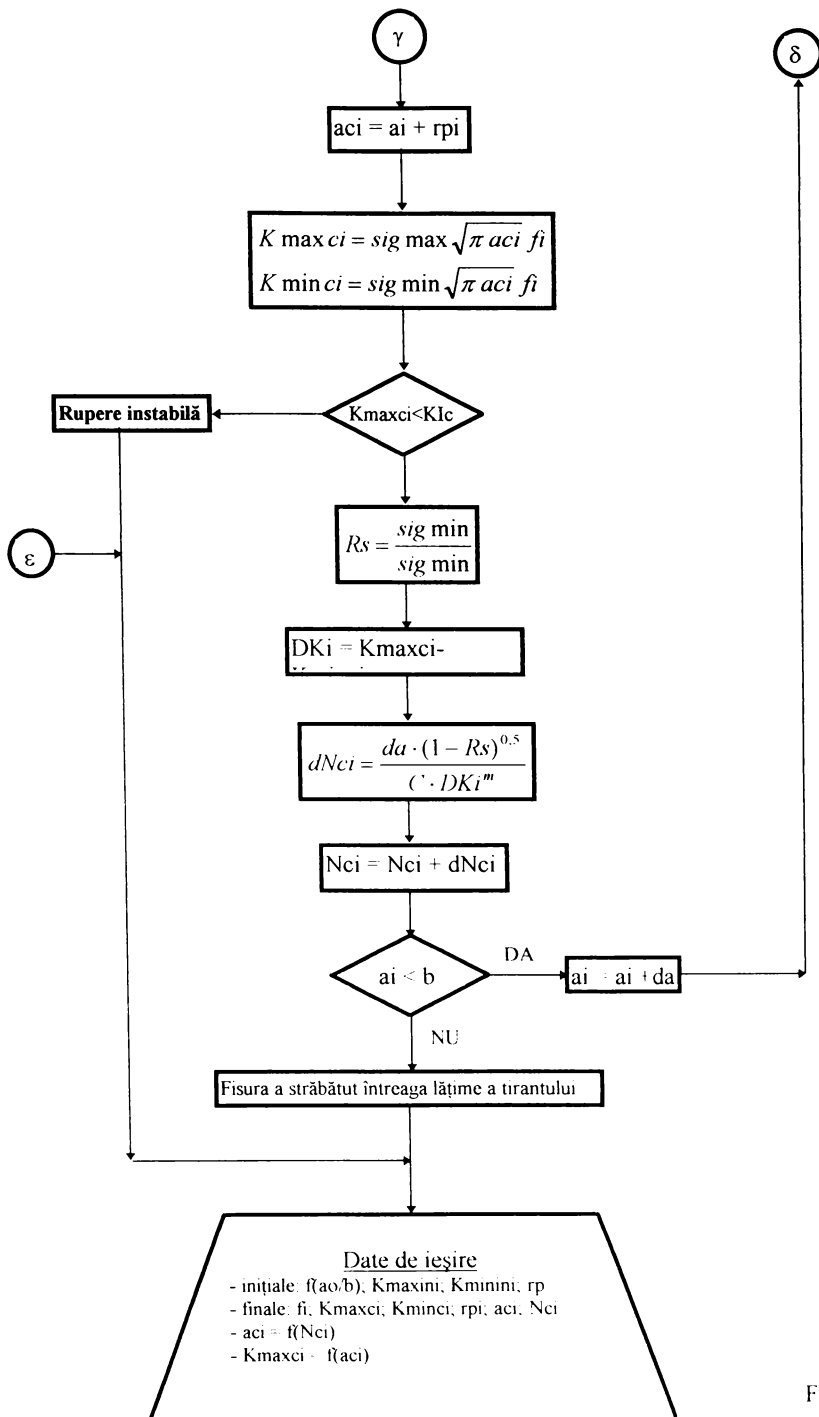


Figura 6.8.5

Tabelul 6.8.1

Tip fisură	Lung. inițială fisură	Funcția	F.i.t. maxim inițial	F.i.t. minim inițial	Raza plastică inițial	Funcția	F.i.t. maxim final	F.i.t. minim final	Raza plastică final	Lung. critică a fisuri	Nr. de cicluri până la rupere
	a	f(a/b) _{ini}	K _{I,max,ini} ^{3/2}	K _{I,min,ini} ^{3/2}	r _{p,ini}	f(a/b) _{fin}	K _{I,max,fin} ^{3/2}	K _{I,min,fin} ^{3/2}	r _{p,fin}	a _C	N
	mm	-	N/mm ^{3/2}	N/mm ^{3/2}	mm	-	N/mm ^{3/2}	N/mm ^{3/2}	mm	mm	cicluri
A	2	1,0001	248,93	184,50	0,019	1,756	3400,06	2520,09	3,541	120,95	37877,9
A	5	1,0006	393,78	291,86	0,049	1,756	3400,06	2520,09	3,541	120,95	22442,9
A	10	1,0023	557,85	413,47	0,092	1,756	3400,05	2520,08	3,541	120,94	14080,7
A	15	1,0052	685,23	507,89	0,148	1,756	3400,04	2520,08	3,541	120,95	10208,3
B	2	1,1189	278,51	206,43	0,024	1,855	3400,05	2520,08	3,529	108,44	26517,9
B	5	1,1198	440,38	326,41	0,061	1,855	3400,05	2520,08	3,529	108,44	15301,6
B	10	1,1232	625,17	463,37	0,123	1,855	3400,04	2520,07	3,529	108,44	9233,1
B	15	1,1323	771,85	572,08	0,188	1,855	3400,04	2520,07	3,529	108,44	6451,1
C	2	1,1220	279,27	206,99	0,025	1,703	3400,11	2520,12	3,548	128,47	28187,0
C	5	1,1221	441,63	327,37	0,061	1,704	3401,65	2521,30	3,548	128,46	17064,9
C	10	1,1226	624,83	463,11	0,123	1,704	3400,11	2520,12	3,548	128,46	11076,4
C	15	1,1235	765,84	567,63	0,185	1,703	3400,15	2520,11	3,548	128,46	8216,2

S-au considerat:

- încărcările : $\sigma_{max} = 99,3$ MPa, $\sigma_{min} = 73,6$ MPa
- constantele de material : $K_{Ic} = 3400$ N/mm^{3/2}, $\sigma_C = 410$ MPa, $C = 3,92 \cdot 10^{-10}$, $n = 2,82$
- lățimea tirantului: b = 300 mm
- creșterea fisurii da = 0,01 mm

Tirant cu fisură centrală

Date de intrare:

$\sigma_{max} = 99.3 \text{ MPa}$
 $\sigma_{min} = 73.6 \text{ MPa}$
 $\sigma_C = 410 \text{ MPa}$
 $K_{IC} = 3400 \text{ N/mm}^{3/2}$
 $C = 3.92 \cdot 10^{-10}$
 $n = 2.82$
 $b = 150 \text{ mm}$
 $a = 2 \text{ mm}$
 Fisura tip A

Date de iesire:

- initiale:
 $f(a/b)_{fin} = 1,0001$
 $K_{I_{max,fin}} = 248.93 \text{ N/mm}^{3/2}$
 $K_{I_{min,fin}} = 184.50 \text{ N/mm}^{3/2}$
 $r_p = 0.019 \text{ mm}$
 - finale:
 $f(a/b)_{fin} = 1,756$
 $K_{I_{max,fin}} = 3400.06 \text{ N/mm}^{3/2}$
 $K_{I_{min,fin}} = 2520.09 \text{ N/mm}^{3/2}$
 $r_p = 3.541 \text{ mm}$
 $a_C = 120.95 \text{ mm}$
 $N = 37877.9 \text{ cicluri}$

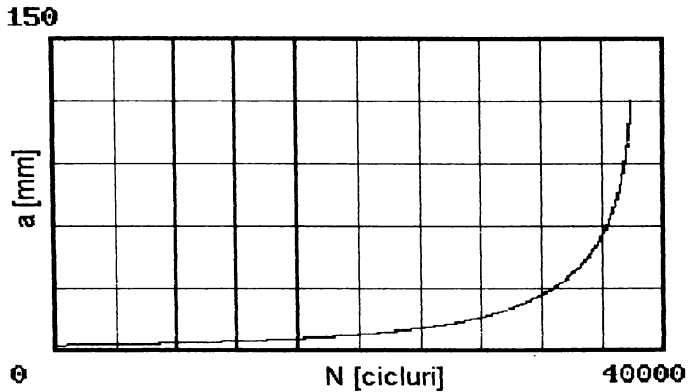


Figura 6.8.6

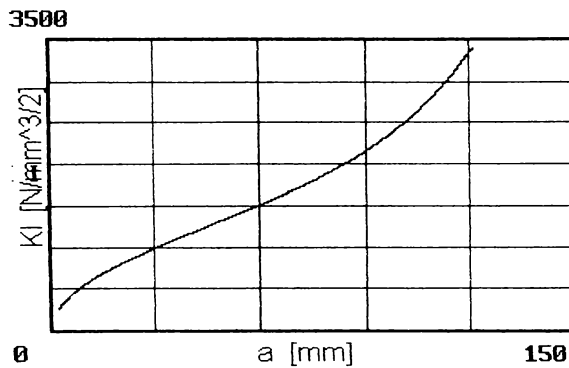


Figura 6.8.7

Tirant cu fisură laterală

Date de intrare:

$\sigma_{max} = 99.3 \text{ MPa}$
 $\sigma_{min} = 73.6 \text{ MPa}$
 $\sigma_C = 410 \text{ MPa}$
 $K_{IC} = 3400 \text{ N/mm}^{3/2}$
 $C = 3.92 \cdot 10^{-10}$
 $n = 2.82$
 $b = 300 \text{ mm}$
 $a = 2 \text{ mm}$
 Fisura tip B

Date de iesire:

- initiale:
 $f(a/b)_{fin} = 1,1189$
 $K_{I_{max,fin}} = 278.51 \text{ N/mm}^{3/2}$
 $K_{I_{min,fin}} = 206.43 \text{ N/mm}^{3/2}$
 $r_p = 0.024 \text{ mm}$
 - finale:
 $f(a/b)_{fin} = 1,855$
 $K_{I_{max,fin}} = 3400.05 \text{ N/mm}^{3/2}$
 $K_{I_{min,fin}} = 2520.08 \text{ N/mm}^{3/2}$
 $r_p = 3.529 \text{ mm}$
 $a_C = 108.44 \text{ mm}$
 $N = 26517.9 \text{ cicluri}$

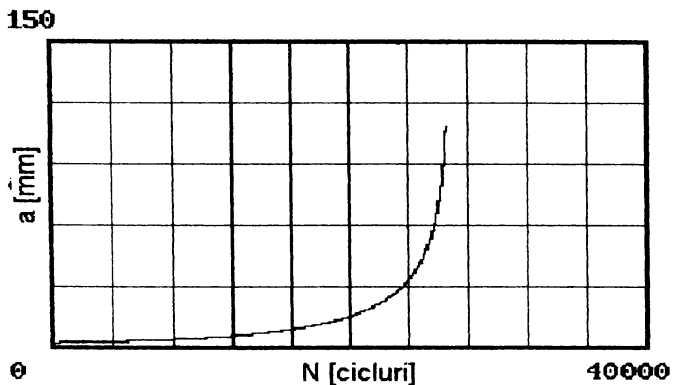


Figura 6.8.9

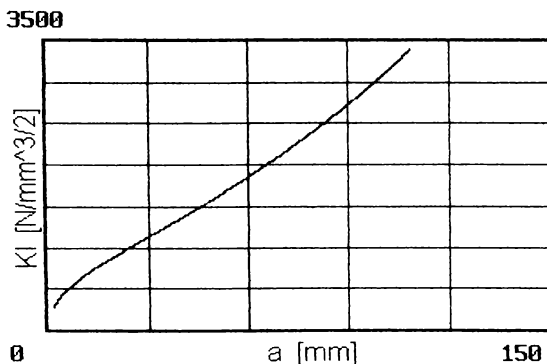


Figura 6.8.10

Tirant cu două fisuri laterale

Date de intrare:

$\sigma_{max} = 99.3 \text{ MPa}$
 $\sigma_{min} = 73.6 \text{ MPa}$
 $\sigma_C = 410 \text{ MPa}$
 $K_{IC} = 3400 \text{ N/mm}^{3/2}$
 $C = 3.92 \cdot 10^{-10}$
 $n = 2.82$
 $b = 150 \text{ mm}$
 $a = 2 \text{ mm}$
 Fisura tip C

Date de iesire:

- initiale:
 $f(a/b)_{fin} = 1,1220$
 $K_{I_{max,fin}} = 279.51 \text{ N/mm}^{3/2}$
 $K_{I_{min,fin}} = 206.99 \text{ N/mm}^{3/2}$
 $r_p = 0.025 \text{ mm}$
 - finale:
 $f(a/b)_{fin} = 1,703$
 $K_{I_{max,fin}} = 3400.11 \text{ N/mm}^{3/2}$
 $K_{I_{min,fin}} = 2520.12 \text{ N/mm}^{3/2}$
 $r_p = 3.548 \text{ mm}$
 $a_C = 128.47 \text{ mm}$
 $N = 28187.0 \text{ cicluri}$

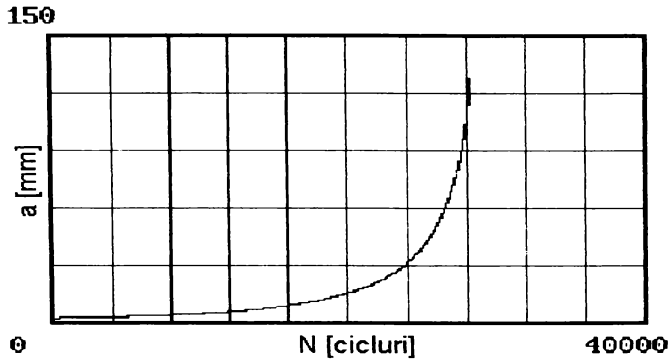


Figura 6.8.11

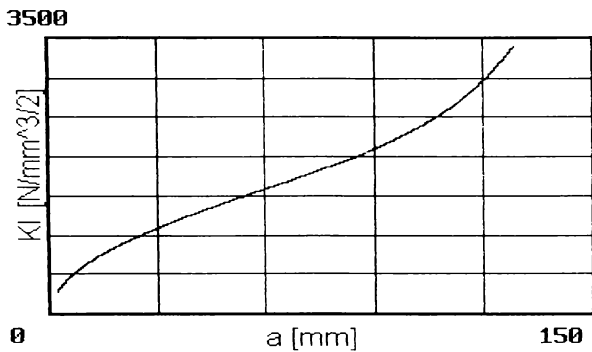


Figura 6.8.12

În Figura 6.8.13 se prezintă variația numărului de cicluri până la rupere în funcție de lungimea inițială a fisurii pentru cele trei cazuri considerate.

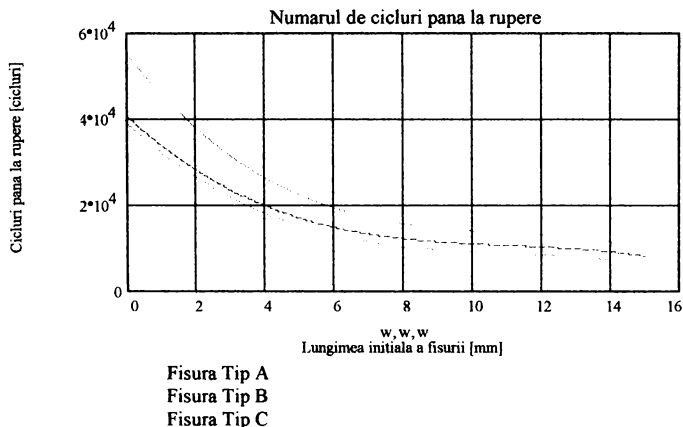


Figura 6.8.13

Programul **DURABIL** realizat de autor precum și diagramele din Figurile 6.8.6 .. 6.8.13 pot fi utilizate direct pentru evaluarea durabilității tiranților. Astfel dacă printr-o anumită metodă se detectează în tirant o fisură, cu ajutorul programului realizat, sau cu ajutorul diagramele de mai sus se poate estima numărul de cicluri până la ruperea tirantului.

În acest paragraf s-a prezentat un model matematic de estimare a durabilității unui tirant în cazul în care după o anumită perioadă de funcționare apare o fisură. Această metodologie se bazează pe conceptele Mecanicii ruperii materialelor.

La calculul durabilității tirantului s-a ținut cont și de enclava plastică care se formează la vârful fisurii.

Analizând cele trei cazuri studiate se remarcă că indiferent de lungimea inițială a fisurii pentru un anumit mod de dispunere a acesteia, lungimea critică a fisurii de la care se produce ruperea instabilă este aceeași, a_c .

Cea mai defavorabilă situație corespunde apariției în tirant a unei fisuri laterale (Figura 6.8.3).

Se observă că apariția unor fisuri în tirant diminuează considerabil durata de viață în comparație cu numărul de cicluri până la rupere obținut prin încercările la oboseală, în care se include și perioada de incubanție a fisurii.

Se recomandă efectuarea unor investigații nedistructive pe tirant după anumite numere de cicluri, care împreună cu metodologia prezentată mai sus să poată furniza informații privind durabilitatea tirantului.

6.9 CONTRIBUȚII LA DETERMINAREA STĂRII DE TENSIUNE ȘI A PARAMETRILOR DE MECANICA RUPERII DIN ELEMENTELE DE ÎMBINARE ALE TIRANTULUI UNUI EXCAVATOR

6.9.1 INTRODUCERE

Tirantul unui excavator este realizat din mai multe tronsoane rigidizate prin elemente de îmbinare. Cercetările teoretice și experimentale au dovedit că în zonele de îmbinare apare un puternic efect de concentrare al tensiunilor, fapt ce poate conduce la apariția unor fisuri sau ruperi.

Un astfel de element de legătură, este urechea de prindere, prezentată în Figura 6.9.1.1.

Aplicarea metodei elementelor finite a permis modelarea stării de tensiune din urechile de prindere ale tirantului, unde solicitările de contact asociate cu o serie de condiții de lucru specifice utilajelor miniere favorizează apariția fisurilor, care au condus în unele cazuri la ruperea tiranților. S-a utilizat metoda elementelor finite și pentru determinarea factorului de intensitate a tensiunii considerând o fisură, care se dezvoltă din orificiul circular al urechii. În final s-a efectuat, tot cu ajutorul metodei elementelor finite un studiu al propagării fisurii, datorită solicitărilor variabile.

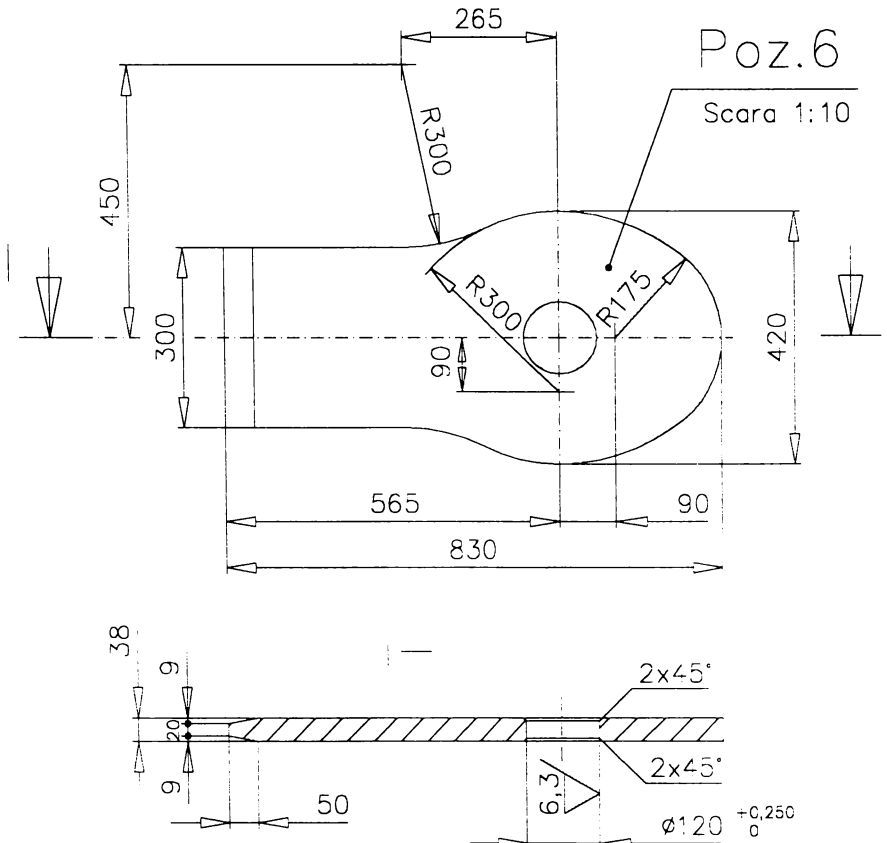


Figura 6.9.1.1

6.9.2. DETERMINAREA PRIN ANALIZĂ CU ELEMENTE FINITE A STĂRII DE TENSIUNE DIN URECHEA TIRANTULUI UNUI EXCAVATOR

S-a efectuat analiza stării de tensiune, din urechea având geometria dată în Figura 6.9.1.1 cu ajutorul programului FRANC2DL. Preprocesarea s-a realizat cu programul CASCA. Astfel după definirea geometriei, a constantelor de material și a constantelor geometrice (în acest caz grosimea urechii 38 mm), am realizat discretizarea utilizând elemente finite triunghiulare cu 6 noduri pe element de tip placă SHELL3. Discretizarea s-a făcut în 493 de elemente conectate în 1055 noduri, Figura 6.9.2.1

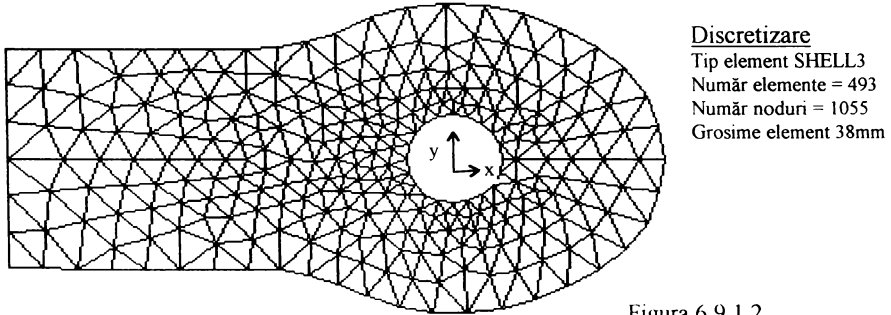


Figura 6.9.1.2

După discretizare s-a trecut la definirea rezemărilor și încărcărilor. Astfel am blocat deplasările pe direcțiile x și y ale nodurilor din partea stângă a urechii, partea rigidizată cu tirantul. Pentru a modela cât mai exact încărcarea care se transmite urechii, datorită imbinării cu bolt, am considerat următoarele ipoteze:

- calculul urechii s-a efectuat pe baza valorii maxime a încărcării tirantului în timpul exploatării, corespunzătoare tensiunii maxime $\sigma_{max} = 99,3$ MPa. Ținând cont că la capetele fiecărui tirant există două urechi de prindere rezultă $\sigma_{max,ureche} = 49,65$ MPa.
- întrucât transmiterea sarcinii se realizează prin intermediul unui bolt, s-a considerat că încărcarea se face cu sarcină distribuită, normală pe suprafața orificiului, iar variația acesteia este după o lege parabolică, Figura 6.9.2.2.
- definirea încărcării s-a făcut pe jumătate din suprafața orificiului astfel: având valoarea 0 la extremități și valoarea p_{max} la mijloc. Expresia valorii maxime a încărcării p_{max} este dată în [S20] de relația:

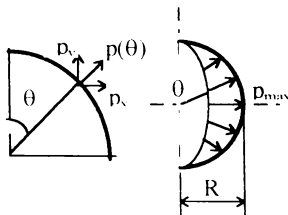


Figura 6.9.2.2

$$p_{max} = \frac{F \cdot \pi^2}{16 R t} \tag{6.9.2.1}$$

unde:

F reprezintă forța axială transmisă de ureche:

$$F = \sigma_{max,ureche} \cdot A_{ureche} = 49,65 \times 300 \times 38 = 566010 \text{ N}$$

R = 60 mm raza orificiului urechii

t = 38 mm grosimea urechii

$$\text{Rezultă : } p_{\max} = \frac{566010 \cdot \pi^2}{16 \cdot 60 \cdot 38} = 153,13 \text{ MPa}$$

În Figura 6.9.2.3 se prezintă variația tensiunii σ_x obținută în urma rulării programului FRANC2DL,

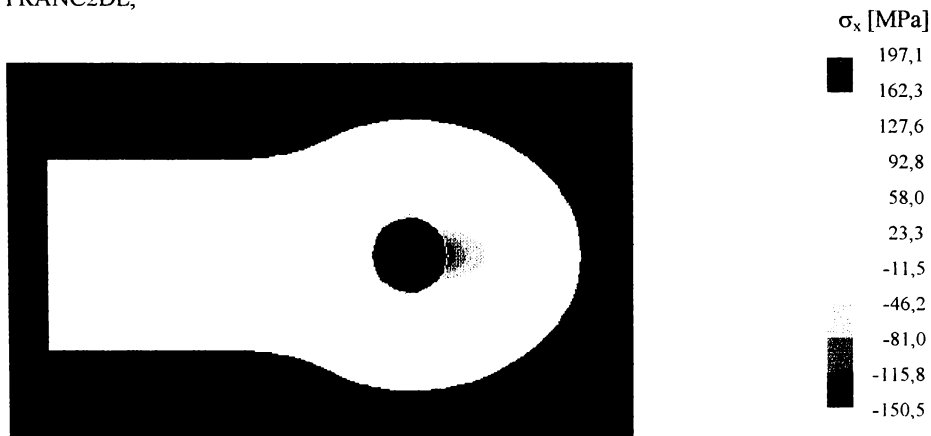


Figura 6.9.2.3

iar în Figura 6.9.2.4 variația tensiunii σ_y .

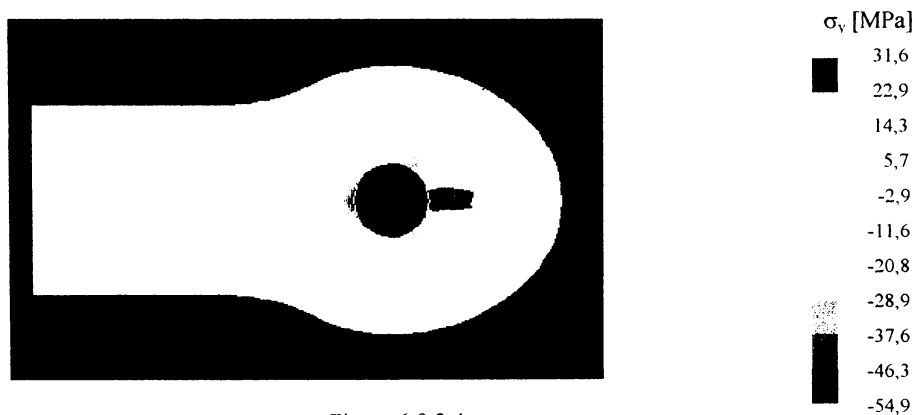


Figura 6.9.2.4

Din Figurile 6.9.2.3. și 6.9.2.4 se observă fenomenul de concentrare a tensiunilor, în jurul orificiului circular.

În Tabelul 6.9.2.1 se prezintă variația tensiunilor σ_x și σ_y pe direcția x, pornind de la suprafața orificiului circular spre extremitatea urechii.

Tabelul 6.9.2.1

NOD	DISTANȚA DE LA MARGINEA ORIFICIULUI x [mm]	TENSIUNEA σ_x [MPa]	TENSIUNEA σ_y [MPa]
65	0,00	-147,89	27,24
1028	10,33	-119,47	30,84
70	18,60	-102,31	30,81
913	37,20	-72,51	27,98
71	53,73	-50,70	24,56
765	70,26	-38,87	22,70
72	86,80	-28,66	21,82
617	105,04	-20,89	21,00
73	126,07	-14,59	20,86
474	148,80	-9,19	20,86
74	171,53	-4,77	20,76
283	188,07	-2,45	20,85
1	205,00	-0,64	20,95

În Tabelul 6.9.2.2 se prezintă variația tensiunilor σ_x și σ_y pe direcția y, pornind de la suprafața orificiului circular spre extremitatea urechii.

Tabelul 6.9.2.2

NOD	DISTANȚA DE LA MARGINEA ORIFICIULUI y [mm]	TENSIUNEA σ_x [MPa]	TENSIUNEA σ_y [MPa]
50	0,00	204,45	-3,31
934	10,81	118,44	9,19
104	21,62	87,19	12,18
642	35,52	58,91	10,72
640	47,88	52,15	8,93
499	63,33	42,19	5,69
497	80,32	34,53	3,23
316	98,86	26,58	1,62
314	126,66	15,22	0,20
50	150,00	3,91	0,07

În Figurile 6.9.2.5 și 6.9.2.6 am reprezentat variațiile tensiunilor σ_x și σ_y pe direcțiile x, respectiv y care pornesc din orificiul circular.

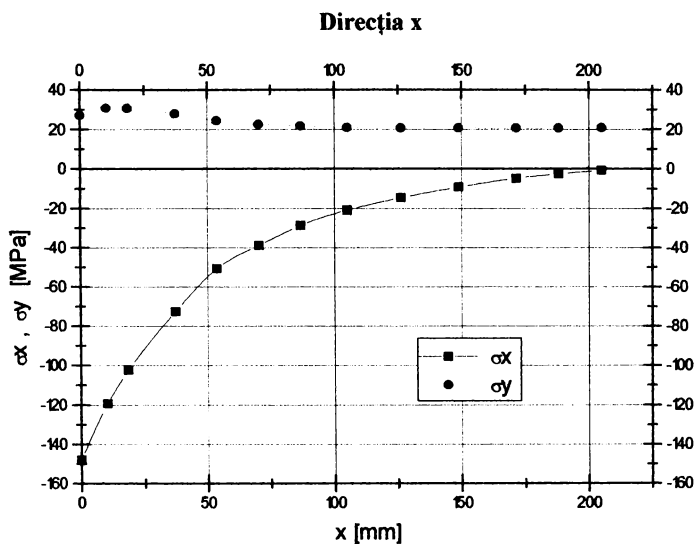


Figura 6.9.2.5

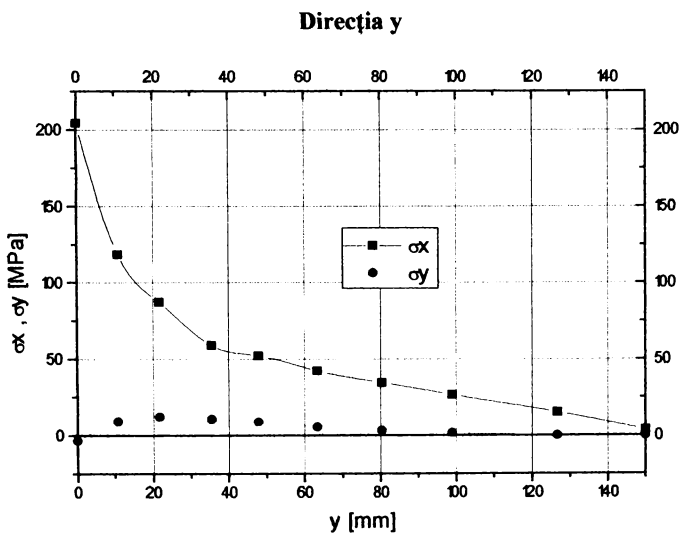


Figura 6.9.2.6

Se observă că tensiunea maximă σ_x se obține pe conturul orificiului, pe direcția y : $\sigma_x=204,45$ MPa. Pe baza acestei valori s-a calculat coeficientul teoretic de concentrare a tensiunilor k_t , obținut în urma analizei cu elemente finite:

$$k_t = \frac{\sigma_{\max, \text{orificiu}}}{\sigma_{\max, \text{ureche}}} = \frac{204,45}{49,65} = 4,118 \quad (6.9.2.2)$$

6.9.3 DETERMINAREA FACTORULUI DE INTENSITATE A TENSIUNII PENTRU O FISURĂ CE SE DEZVOLTĂ DIN ORIFICIUL CIRCULAR

În continuare s-a determinat variația factorului de intensitate a tensiunii K_I în funcție de lungimea unei fisuri, care se dezvoltă din orificiul circular

Pentru a studia variația factorului de intensitate a tensiunii K_I în funcție de lungimea fisurii a am definit în programul FRANC2DL fisuri cu lungimi de 10, 15, 30, ..., 135 mm, programul a rediscretizat zona adiacentă fisurii, creând singularitatea la vârful acesteia, apoi pentru fiecare lungime a fisurii am rulat programul, înregistrând valoarea factorului de intensitate a tensiunii, obținut prin metoda extrapolării deplasărilor. Pentru exemplificare în Figura 6.9.3.1 se prezintă zona adiacentă fisurii pentru lungimea fisurii $a=15$ mm, iar în Figura 6.9.3.2 distribuția tensiunii în vecinătatea fisurii. De asemenea în Figura 6.9.3.3 am prezentat deformata zonei din vecinătatea fisurii pentru lungimea maximă a fisurii $a=135$ mm.

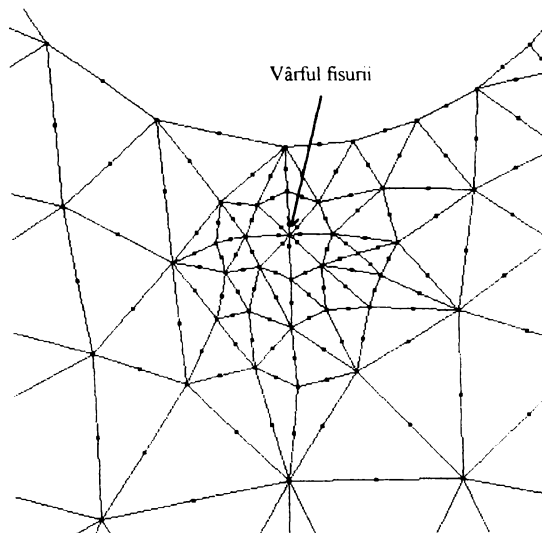


Figura 6.9.3.1

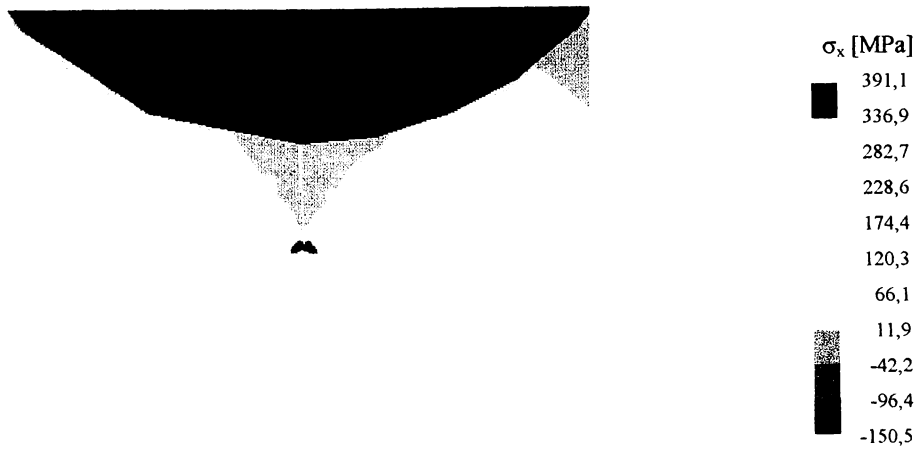


Figura 6.9.3.2

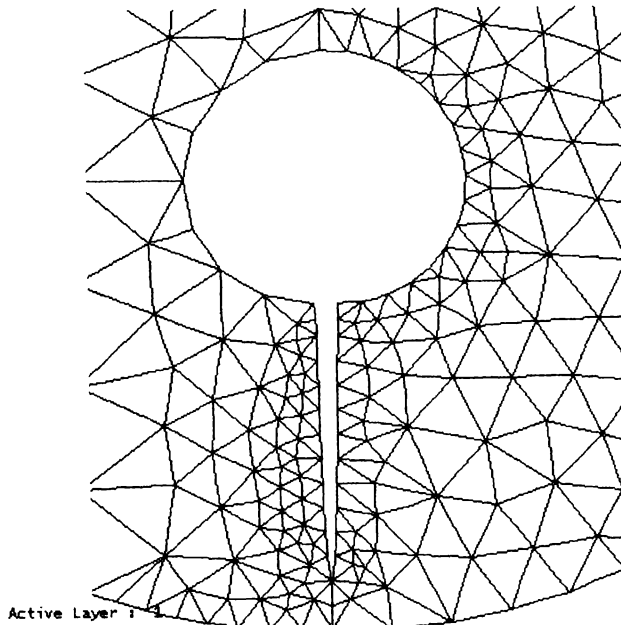


Figura 6.9.3.3

Rezultatele obținute în urma rulărilor sunt prezentate în Tabelul 6.9.3.1 iar variația factorului de intensitate a tensiunii K_I în funcție de lungimea fisurii a este prezentată în Figura 6.9.3.4.

Tabelul 6.9.3.1

Lung. fisura a mm	10	15	30	45	60	75	90	105	120	135
F.i.t K_I N — mm ^{3/2}	845,8	910,5	951,1	967,0	997,2	1029	1087	1175	1326	1615

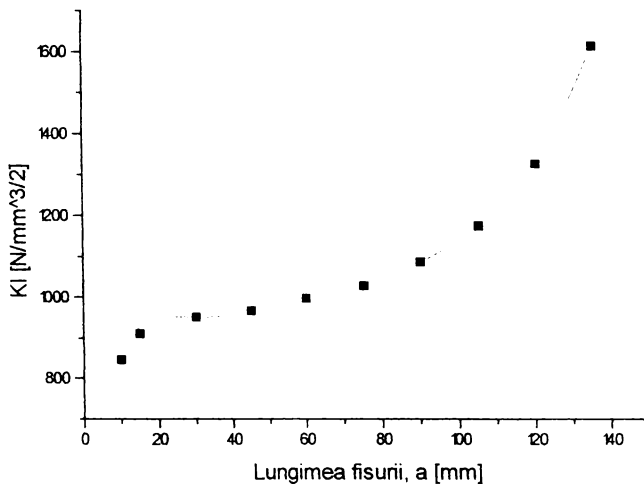


Figura 6.9.3.4

Comparând valorile factorului de intensitate a tensiunii K_I pentru fisura ce se dezvoltă din orificiul circular al urechii de prindere cu valoarea tenacității la rupere pentru oțelul St52-3 din care este confecționată urechea: $K_{IC} = 3471,21 \text{ N/mm}^{3/2}$ (paragraful 6.7.1), se poate aprecia că pentru toate lungimile fisurii $K_I < K_{IC}$, adică factorul de intensitate a tensiunii nu atinge valoarea tenacității la rupere, deci nu apare pericolul ruperii instabile a urechii datorită dezvoltării unei fisuri din orificiul circular.

6.9.4 DETERMINAREA DURABILITĂȚII ȚRECHII SUB ACȚIUNEA SARCINILOR VARIABILE

Problema care s-a pus în continuare a fost determinarea creșterii lungimii unei fisuri dezvoltate din orificiul circular al ureauii de prindere sub acțiunea ciclurilor de oboseală și care este numărul de cicluri până la rupere.

Determinarea numărului de cicluri în funcție de lungimea fisurii s-a efectuat cu opțiunea PROPAGATE a programului **FRANC2DL**. Pentru studiul propagării fisurii, cu ajutorul metodei elementelor finite, programul rediscrctizează și rezolvă sistemul de ecuații pentru fiecare creștere a fisurii, fapt ce a condus la o durată de 73 minute pentru efectuarea întregii analize.

Programul **FRANC2DL** calculează pentru fiecare creștere a fisurii direcția de propagare a acesteia. Pentru cazul studiat direcția de propagare a fost perpendiculară pe axa longitudinală.

Deoarece studiul propagării fisurii se realizează pe baza legii lui Paris, relația (6.8.1), trebuie să introduși ca și constante de material: coeficientul din legea lui Paris, **C**; exponentul din legea lui Paris, **n** și tenacitatea la rupere, **K_{IC}**. Deoarece urechea este confecționată din același material ca și tirantul, adică St 52-3 am folosit valorile: **C = 3,92 · 10⁻¹⁰ mm^{2,5}/nr. cicluri** și **n = 2,82**

Analiza propagării fisurii s-a efectuat pornind de la o lungime inițială a fisurii **a₀ = 10 mm** iar propagarea s-a realizat în 70 de pași, pentru fiecare pas considerându-se o creștere a fisurii **da=2 mm**. Variația tensiunii care produce solicitarea variabilă s-a considerat:

$$\Delta\sigma = \sigma_{\max,ureche} - \sigma_{\min,ureche} = 49,65 - 36,8 = 12,85 \text{ MPa}$$

Rularea a durat 73 minute în final obținând variația numărului de cicluri **N** în funcție de lungimea fisurii **a**, Figura 6.9.4.1

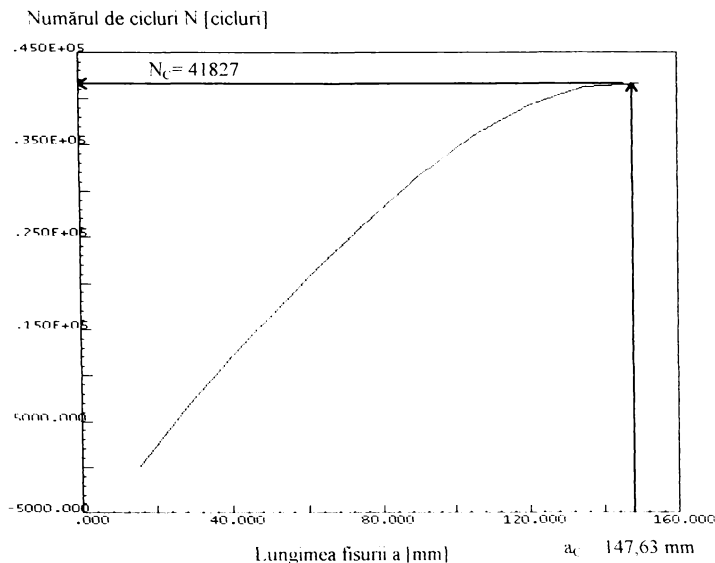


Figura 6.9.4.1

De asemenea programul **FRANC2DL** permite și vizualizarea variației factorului maxim de intensitate a tensiunii $K_{I_{max}}$ în funcție de lungimea fisurii a , Figura 6.9.4.2.

Factorul maxim de intensitate a tensiunii $K_{I_{max}}$ [$N/mm^{3/2}$]

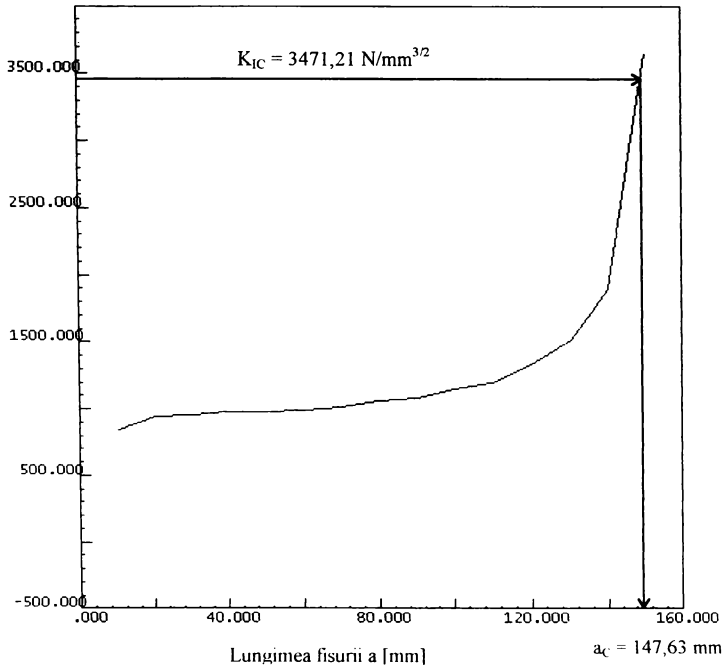


Figura 6.9.4.2

După cum se observă din Figura 6.9.4.2, curba care reprezintă variația factorului maxim de intensitate a tensiunii $K_{I_{max}}$ în funcție de lungimea fisurii a la propagarea prin oboseală a fisurii are aceeași alură ca și variația factorului de intensitate a tensiunii trasată pe baza analizei cu elemente finite, Figura 6.9.3.4.

Comparând valoarea tenacității la rupere a materialului St 52-3, determinată experimental (paragraful 6.7.1): $K_{IC} = 3471,21$ $N/mm^{3/2}$ cu curba de variație a factorului maxim de intensitate a tensiunii se poate determina lungimea critică a fisurii a_c la care $K_{I_{max}} = K_{IC}$, rezultând:

$$a_c = 147,63 \text{ mm}$$

Cunoscând lungimea critică a fisurii, a_c , din Figura 6.9.4.2 se poate determina numărul de cicluri până la rupere. Astfel pentru ca fisura inițială (de lungime $a=15$ mm) să ajungă la lungimea critică $a_c = 147,63$ mm sunt necesare un număr de cicluri $N_c = 41827$ cicluri.

6.10 CONCLUZII

Pe baza studiului efectuat asupra durabilității tiranților excavatoarelor se desprind următoarele concluzii:

I.) - Caracteristicile mecanice la tracțiune ale oțelului St 52-3 nu prezintă modificări importante față de oțelul similar St 52-3 și se încadrează în limitele prescrise pentru OL 52-4K.

II.) - Încercările la oboseală la diferite grade de asimetrie ale ciclurilor, caracterizate prin $\sigma_{min} = 73,6 \text{ N/mm}^2$ au evidențiat următoarele:

a) la epruvetele confecționate din St 52-3 pentru tensiuni $\sigma_{max} > 150 \text{ MPa}$ rezultatele experimentale se plasează în jurul curbei de rupere prin oboseală obținute la $R = 0,5$; ceea ce este satisfactor, deoarece la grade de asimetrie $R < 0,5$ rezistența la oboseală scade.

b) pentru tensiuni maxime $\sigma_{max} < 150 \text{ MPa}$ durabilitățile epruvetelor au depășit durabilitatea corespunzătoare gradului de asimetrie $R = 0,5$, încercările fiind oprite înainte de rupere.

c) încercările pe epruvetele sudate din OL 52-4K au dovedit de asemenea o comportare bună la solicitări variabile corespunzătoare gradului de asimetrie $R = 0,184$ și $R = 0,26$. Deși epruvetele au suduri și gradele de asimetrie au fost mai mici decât $R = 0,5$ punctele s-au plasat foarte aproape de curba de rupere la oboseală a oțelului St 52-3 nesudat.

d) încercările pe epruvete cu concentrator de tensiune, de forma orificiului circular au evidențiat o scădere a durabilității. Astfel durabilitățile tuturor epruvetelor încercate, la diferite grade de asimetrie ale ciclurilor, s-au situat sub curba de rupere prin oboseală.

Comportarea la solicitări variabile relevă faptul că ruperea epruvetelor s-a făcut în jurul curbei de durabilitate atât pentru epruvetele confecționate din materialul tirantului St 52-3 cât și pentru epruvetele sudate confecționate din OL 52-4K. De exemplu pentru un ciclul de solicitare având $\sigma_{max} = 245 \text{ MPa}$ și $R_s = 0,3$ rezultatele experimentale sunt prezentate comparativ în Tabelul 6.10.1, respectiv în Figura 6.10.1.

Tabelul 6.10.1

Tip epruvetă	Material	Număr cicluri		
		inițiere rupere [H14]	rupere [H14]	rupere (experimental)
Plată	St 52-3	24.000	500.000	376.200
Cu orif. circular	St 52-3			268.000
Sudată	OL 52-4K			432.000

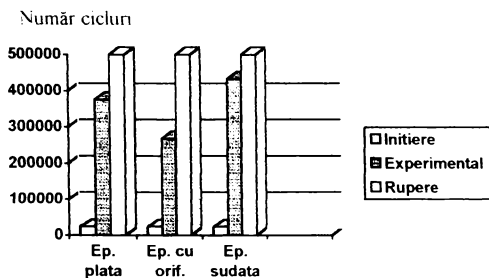


Figura 6.10.1

III.) - Încercările de reziliență pentru oțelul St 52-3 la toate temperaturile au evidențiat că energia de rupere este mult superioară valorii limită de 27 J, ceea ce indică că acest oțel mai are rezervă pentru a-și păstra capacitatea de deformare.

IV.) - Încercările la întindere dinamică au dovedit existența unui punct de maxim în ceea ce privește energia consumată la rupere corespunzătoare vitezei de șoc $v_0 = 4,85$ m/sec. La depășirea acestei viteze de impact scade capacitatea de absorbție a energiei de rupere la tracțiunea prin șoc.

V.) - Încercările de mecanica ruperii pentru determinarea lui K_{IC} au evidențiat următoarele:

a) valoarea tenacității la rupere a oțelului St 52-3 determinată la temperatura ambiantă s-a plasat în limitele prescise în literatură pentru oțeluri cu compoziție chimică și caracteristici mecanice statice asemănătoare.

b) tenacitatea la rupere a oțelului St 52-3 obținută în condiții de temperatură scăzute până la -30°C nu a evidențiat fenomenul de fragilizare. Autorul propune pentru intervalul de temperaturi studiat $[-30^{\circ}\text{C}....+20^{\circ}\text{C}]$ o corelație între tenacitatea la rupere și temperatură.

VI.) - Pe baza tenacității la rupere determinată experimental se propune un model de calcul al durabilității la oboseală a unui tirant pe baza conceptelor mecanicii ruperii. Modelul de calcul se bazează pe legea lui Paris, care exprimă corelația dintre viteza de propagare a fisurii de oboseală da/dN și variația factorului de intensitate a tensiunii ΔK_I , dar ține cont și de coeficienții de asimetrie ai ciclurilor. De asemenea modelul propus de autor ia în considerare raza zonei plastice care se formează la vârful fisurii, pe baza criteriului de plasticitate Von Mises.

Calculul durabilității tiranților se face cu ajutorul unui program elaborat de autor, care ia în considerare trei moduri diferite de dispunere a fisurilor în tirant.

Prezența unor fisuri detectate prin metode nedestructive asociate cu această metodă de calcul permite estimarea durabilității la solicitări variabile.

VII.) - Studiul cu elemente finite a urechii de prindere a tirantului a evidențiat:

a) efectul de concentrare a tensiunilor datorat orificiului circular, exprimat prin coeficientul teoretic de concentrare a tensiunilor, având valoarea $k_t = 4,118$.

b) variația factorului de intensitate a tensiunii maxim $K_{I_{max}}$ în funcție de lungimea unei fisuri ce se dezvoltă din orificiul circular.

c) studiul propagării prin oboseală a fisurii a permis determinarea lungimii critice a fisurii la care urechea tirantului se rupe $a_c = 147,63$ mm și numărul de cicluri până la rupere $N_c = 41827$ cicluri. Comparând această valoare a numărului de cicluri până la rupere a urechii cu valorile durabilității tirantului cu fisură, prezentate în Tabelul 6.8.1 se remarcă faptul că durabilitatea urechii este mai mare decât cea a tirantului. În Figura 6.10.2 se prezintă comparativ durabilitățile tirantului, respectiv a urechii în ipoteza existenței unei fisuri inițiale de lungime $a_0 = 10$ mm.

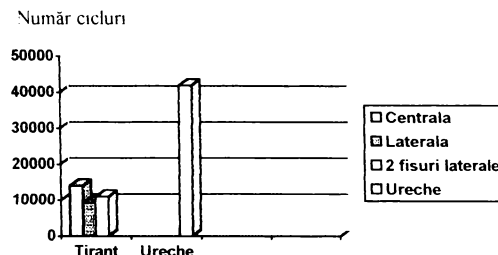


Figura 6.10.2

CAPITOLUL 7 PROGRAME REALIZATE PENTRU CALCULUL PARAMETRILOR DIN MECANICA RUPERII

Pentru calculul parametrilor din MECANICA RUPERII am realizat mai multe programe, unele dintre acestea au fost scrise în utilitarul matematic **MathCAD**, altele mai complexe au necesitat scrierea lor într-un limbaj de programare: **QBASIC** și **Visual BASIC**. Dintre aceste programe, programul **DURABIL** elaborat pentru calculul durabilității tiranților a fost prezentat în capitolul 6, paragraful 6.8. În acest capitol sunt prezentate alte două programe realizate.

7.1 PROGRAMUL **EXTENS** PENTRU DETERMINAREA FACTORULUI DE INTENSITATE A TENSIUNII PRIN METODA EXTRAPOLĂRII TENSIUNILOR

Interpretarea rezultatelor analizei cu elemente finite și estimarea parametrilor de Mecanica ruperii pe baza datelor de ieșire se poate face prin mai multe metode, prezentate detaliat în paragraful 3.5. O astfel de metodă, pentru calculul factorului de intensitate a tensiunii, este metoda extrapolării tensiunii (paragraful 3.5.2). Determinarea factorului de intensitate a tensiunii prin această metodă necesită utilizarea unei drepte de regresie, trasată pe baza tensiunilor obținute în urma rulării unui program de analiză cu elemente finite. Valoarea factorului de intensitate a tensiunii la vârful fisurii K_i , reprezintă ordonata la origine obținută prin extrapolarea dreptei de regresie, Figura 7.1.1.

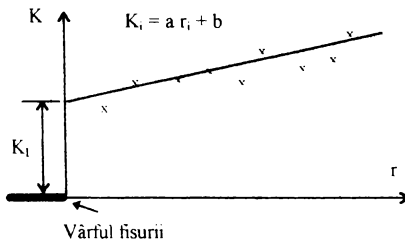


Figura 7.1.1

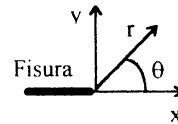


Figura 7.1.2

- Coordonatele punctelor, marcate cu "x" în Figura 7.1.1, (r_i, K_i) , reprezintă:
- r_i poziția nodurilor pe direcția considerată, respectiv
 - K_i valoarea factorului de intensitate a tensiunii calculat cu relația (7.1.1), pe baza tensiunii σ_{yi} conform sistemului polar de coordonate, ales cu originea la vârful fisurii, Figura 7.1.2:
 - $i = 1, \dots, N$, unde N este numărul de noduri pe direcția considerată

$$K_i = \frac{\sigma_{yi} \sqrt{2\pi r_i}}{\cos \frac{\theta}{2} \left(1 + \sin \frac{\theta}{2} \sin \frac{3\theta}{2} \right)} \tag{7.1.1}$$

Pentru trasarea dreptei de regresie programul folosește metoda celor mai mici pătrate. Această metodă se bazează pe minimizarea sumei pătratelor abaterilor, [D7]. Astfel dacă se cunosc în N noduri de coordonate (r_i, θ) valorile tensiunii σ_{yi} se caută o dreaptă de regresie de forma:

$$K_i = a r_i + b \tag{7.1.2}$$

unde a - este panta dreptei de regresie,

$b = K_i$ este ordonata la origine a dreptei de regresie, adică valoarea factorului de intensitate a tensiunii la vârful fisurii.

Calculul parametrilor dreptei de regresie a, b se face minimizând suma pătratelor abaterilor

$$d_i = K_i - a r_i - b \tag{7.1.3}$$

dintre valoarea calculată cu relația (7.1.1) și valoarea interpolată a lui K_i dată de relația (7.1.2):

$$S = \sum_{i=1}^N d_i^2 = \sum_{i=1}^N (K_i - a r_i - b)^2 \tag{7.1.4}$$

Pentru minimizarea sumei pătratelor abaterilor se egalează cu zero derivatele în raport cu a și b :

$$\begin{aligned} \frac{\partial S}{\partial a} &= \sum_{i=1}^N 2(a r_i^2 + b r_i - r_i K_i) = 0 \\ \frac{\partial S}{\partial b} &= \sum_{i=1}^N 2(a r_i + b - K_i) = 0 \end{aligned} \tag{7.1.5}$$

Ordonând relațiile din (7.1.5) se obține sistemul liniar cu necunoscutele a și b :

$$\begin{aligned} a \sum_{i=1}^N r_i^2 + b \sum_{i=1}^N r_i &= \sum_{i=1}^N r_i K_i \\ a \sum_{i=1}^N r_i + N b &= \sum_{i=1}^N K_i \end{aligned} \tag{7.1.6}$$

care are soluțiile:

$$\begin{aligned} a &= \frac{N \sum_{i=1}^N r_i K_i - \sum_{i=1}^N r_i \sum_{i=1}^N K_i}{N \sum_{i=1}^N r_i^2 - \left(\sum_{i=1}^N r_i \right)^2} \\ b &= \frac{\sum_{i=1}^N r_i^2 \sum_{i=1}^N K_i - \sum_{i=1}^N r_i \sum_{i=1}^N r_i K_i}{N \sum_{i=1}^N r_i^2 - \left(\sum_{i=1}^N r_i \right)^2} \end{aligned} \tag{7.1.7}$$

Programul elaborat calculează și parametrii regresiei: - coeficientul de determinare, Rd :

$$Rd = \frac{\left(\sum_{i=1}^N r_i K_i - \frac{1}{N} \sum_{i=1}^N r_i \sum_{i=1}^N K_i \right)^2}{\sum_{i=1}^N K_i^2 - \frac{1}{N} \left(\sum_{i=1}^N K_i \right)^2} \tag{7.1.8}$$

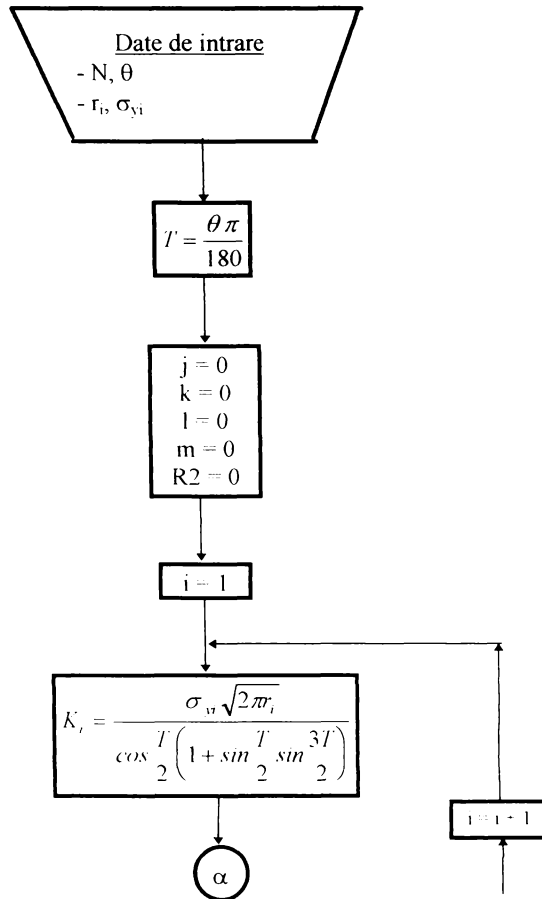
- coeficientul de corelație, **cor**:

$$cor = \sqrt{Rd} = \frac{\sum_{i=1}^N r_i K_i - \frac{1}{N} \sum_{i=1}^N r_i \sum_{i=1}^N K_i}{\sqrt{\sum_{i=1}^N K_i^2 - \frac{1}{N} \left(\sum_{i=1}^N K_i \right)^2}} \quad (7.1.9)$$

- eroarea standard a estimării, **er.s.e.**:

$$er.s.e. = \sqrt{\frac{\sum_{i=1}^N K_i^2 - a \sum_{i=1}^N K_i - b \sum_{i=1}^N r_i K_i}{N - 2}} \quad (7.1.10)$$

Schema logică a programului **EXTENS** este prezentată în Figura 7.1.3.



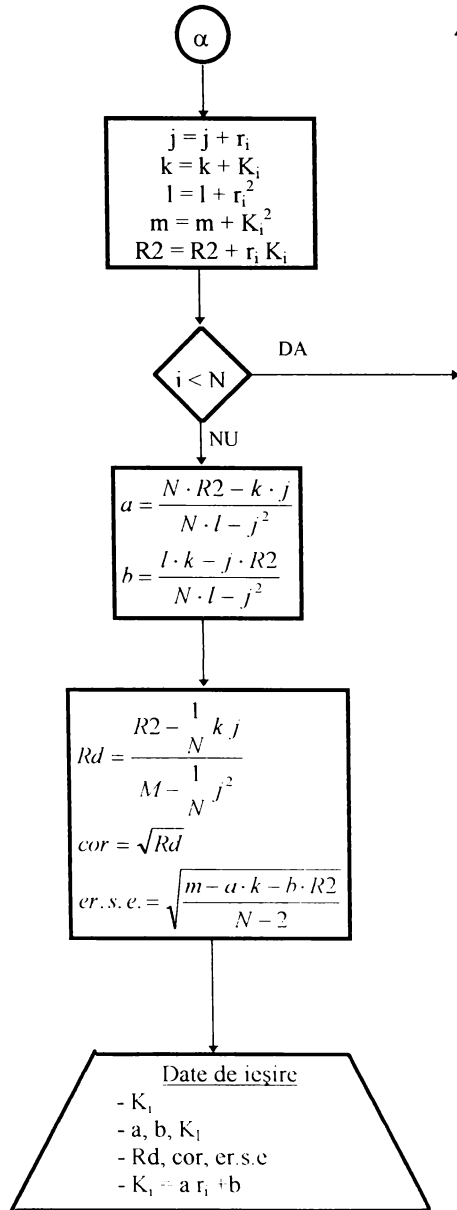


Figura 7.1.3

Datele de intrare în program sunt:

- numărul de noduri, N
- unghiul după care se face extrapolarea, θ
- perechile de puncte : raza polară r_i , tensiunea σ_{yi} (obținută în urma analizei cu elemente finite)

Rezultatele obținute în urma rulării programului sunt:

- valorile K_i
- ecuația dreptei de regresie: $K_i = a r_i + b$
- valoarea factorului de intensitate a tensiunii $K_I = b$, ordonata la origine a dreptei de regresie
- coeficientul de determinare, Rd
- coeficientul de corelație, cor
- eroarea standard a estimării, $er.s.e.$
- reprezentarea grafică a dreptei de regresie.

Programul **EXTENS** a fost utilizat pentru determinarea factorului de intensitate a tensiunii la o platbandă cu creștătură laterală, având diferite unghiuri β (paragraful 4.1).

Un exemplu de rulare, pentru o platbandă cu creștătură laterală ascuțită cu unghiul $\beta=30^0$ este prezentat în continuare:

Date de intrare:

- numărul de puncte $N = 11$
- unghiul $\theta = 0^0$
- perechile de puncte (r_i, σ_{yi}) date în Tabelul 7.1.1

Tabelul 7.1.1

i	1	2	3	4	5	6	7	8	9	10	11
r_i [mm]	1,02	2,17	3,47	4,95	6,62	8,51	10,65	13,08	15,82	18,92	22,43
σ_{yi} [MPa]	123,90	64,02	54,82	46,55	39,92	32,96	28,37	23,60	19,21	14,82	9,51

Rezultatele obținute în urma rulării sunt:

Tabelul 7.1.2

i	1	2	3	4	5	6	7	8	9	10	11
K_i [N/mm ^{3/2}]	313,66	236,39	255,97	259,6	257,46	241,01	232,07	213,9	191,5	161,58	112,90

- Ecuația dreptei de regresie: $K_i = -7,143 r_i + 294,998$
- Factorul de intensitate a tensiunii: $K_I = 294,998$
- Coeficientul de determinare: $Rd = 0,8713$
- Coeficientul de corelație: $cor = 0,9334$
- Eroarea standard a estimării: $er.s.e. = 12,48 \%$
- Reprezentarea dreptei de regresie, Figura 7.1.4:

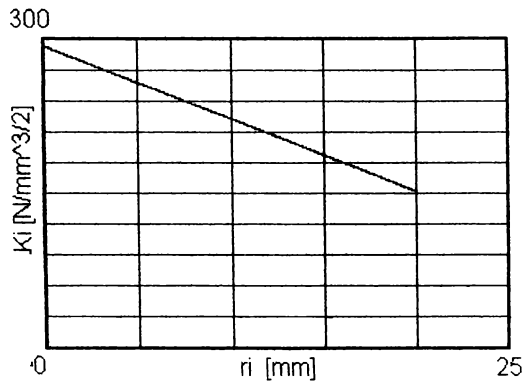


Figura 7.1.4

În concluzie programul **EXTENS** permite determinarea factorului de intensitate a tensiunii K_I prin metoda extrapolării tensiunii σ_y . El poate fi utilizat pentru determinarea factorului de intensitate a tensiunii K_I preluând rezultatele obținute în urma rulării unui program de analiză cu elemente finite (unghiul θ , pozițiile nodurilor r , tensiunile σ_y). Pe lângă valoarea factorului de intensitate a tensiunii K_I , programul calculează parametrii ce caracterizează precizia estimării: coeficientul de determinare **Rd**, coeficientul de corelație **cor** și eroarea standard a estimării **er.s.e.**

Programul realizat poate fi utilizat pentru determinarea factorului de intensitate a tensiunii atunci când programele de analiză cu elemente finite nu dispun de facilități pentru calculul parametrilor de Mecanica ruperii.

Avantajele programului realizat sunt:

- originalitatea lui,
- precizia ridicată pentru estimarea factorului de intensitate a tensiunii, deoarece folosește metoda celor mai mici pătrate pentru determinarea dreptei de regresie,
- calculul parametrilor ce caracterizează precizia estimării: coeficientul de determinare **Rd**, coeficientul de corelație **cor** și eroarea standard a estimării **er.s.e.**

Acest program a fost utilizat de autor pentru determinarea factorului de intensitate a tensiunii la vârful unei creștături laterale aflată într-o platbandă, paragraful 4.1.

7.2 PROGRAMUL **Profik** PENTRU CALCULUL FACTORILOR DE INTENSITATE A TENSIUNII

Pentru sintetizarea soluțiilor de calcul a factorilor de intensitate a tensiunii K_I , K_{II} și K_{III} , luând în considerare cele mai întâlnite geometrii și încărcări am elaborat programul **Profik**. Programul este realizat în **VisualBASIC** și rulează în mediul **WINDOWS 3.x** sau **WINDOWS 95**.

Programul **Profik** se constituie ca o bază de date cu soluții pentru determinarea factorilor de intensitate a tensiunii, sintetizând soluții consacrate în bibliografie dar și soluții originale propuse în această lucrare. Programul este realizat sub forma multifereastră caracteristică mediului **WINDOWS**.

La realizarea programului **Profik** am introdus corpuri cu fisuri având geometrii finite, acestea fiind cele mai întâlnite în aplicațiile practice. Tipurile de geometrii introduse în program se pot împărți în 4 mari grupe:

- **epruvete** disc, de încovoiere, de tracțiune utilizate la determinarea tenacității la rupere K_{IC} , conform standardului român de Mecanica ruperii, [7].
- **plăcând** cu fisură centrală, laterală (solicitate la încovoiere, respectiv la tracțiune), cu două fisuri laterale simetrice, cu creștătură laterală, cu orificiu circular din care se dezvoltă o fisură perpendiculară pe direcția de încărcare sau o fisură înclinată;
- **plăci** cu fisură înclinată sau cu orificiu circular din care se dezvoltă două fisuri coliniare simetrice, solicitate la tracțiune monoaxială sau biaxială;
- **bare de secțiune circulară** cu fisură circumferențială, cu fisură interioară sau cu fisură eliptică exterioară, solicitate la încovoiere, tracțiune sau torsiune.

Varianta 2.0 a programului **Profik** conține un număr de 21 de geometrii distincte.

Fiecare din cele patru tipuri de geometrii este prezentat sub forma unui meniu "pull down" care conține geometriile și încărcările aferente. Meniul principal care apare la lansarea programului mai conține un meniu **File**, în care este opțiunea **Exit** pentru ieșirea din program. Meniul principal al programului **Profik** este prezentat în Figura 7.2.1

După selectarea uneia din geometrii programul afișează trei ferestre, Figura 7.2.2, astfel:

- prima fereastră conține descrierea geometriei, metoda prin care s-a obținut soluția, precizia soluției și bibliografia de unde s-a extras soluția;
- a doua fereastră conține schița geometriei și a încărcării, precum și relațiile pentru calculul factorilor de intensitate a tensiunii;
- a treia fereastră permite calculul factorilor de intensitate a tensiunii. Ea conține casete pentru introducerea datelor de intrare (mărimile caracteristice ale geometriei și încărcarea) și casete pentru afișarea rezultatelor (coeficienții f_I , f_{II} , f_{III} funcție de geometrie și încărcare, respectiv factorii de intensitate a tensiunii K_I , K_{II} , K_{III}). Introducerea datelor se face de la tastatură, trecerea dintr-o casetă de introducere a datelor în alta realizându-se cu "mouse"-ul sau cu tasta "**Tab**". Tipărirea rezultatelor în casetele pentru afișarea rezultatelor, care se selectează tot cu "mouse"-ul sau cu "**Tab**", se face prin apăsarea tastei "**Space**".

Dimensiunile celor trei ferestre pot fi modificate, minimizezate sau maximizate în funcție de opțiunile utilizatorului. Dacă se dorește fereastra cu descrierea geometriei, Figura 7.2.3 se închid sau se minimizează ferestrele conținând geometria, respectiv fereastra de calcul. Dacă se dorește vizualizarea geometriei și a relațiilor de calcul, Figura 7.2.4 se închide sau se minimizează fereastra de calcul a factorilor de intensitate a tensiunii. Secvențele din program din Figurile 7.2.2.; 7.2.3; 7.2.4 se referă la epruveta de tracțiune.

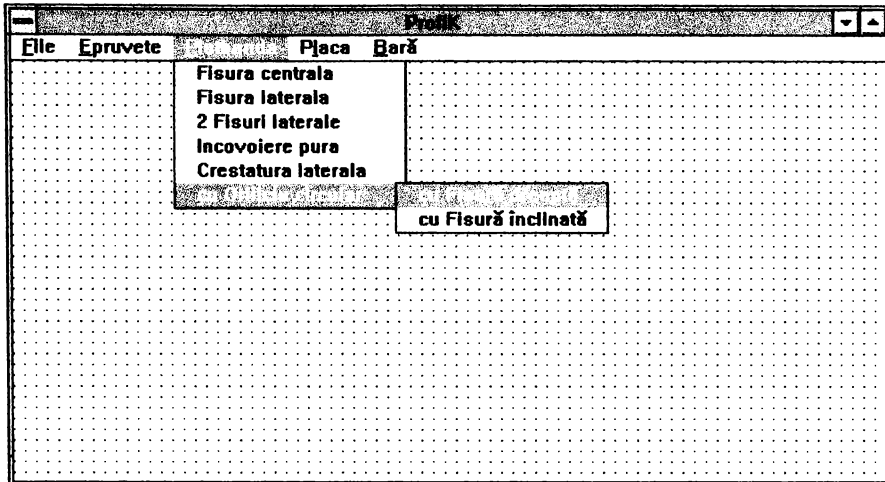


Figura 7.2.1

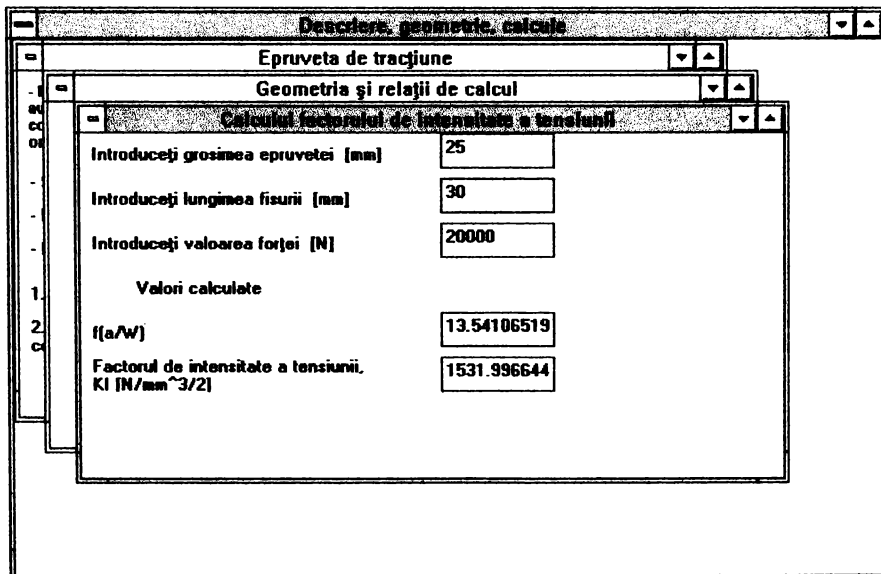


Figura 7.2.2

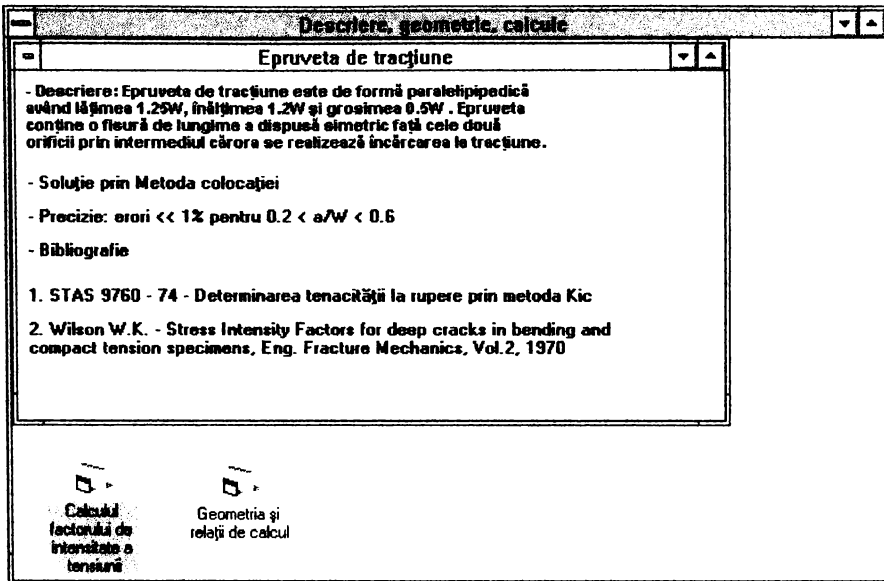


Figura 7.2.3

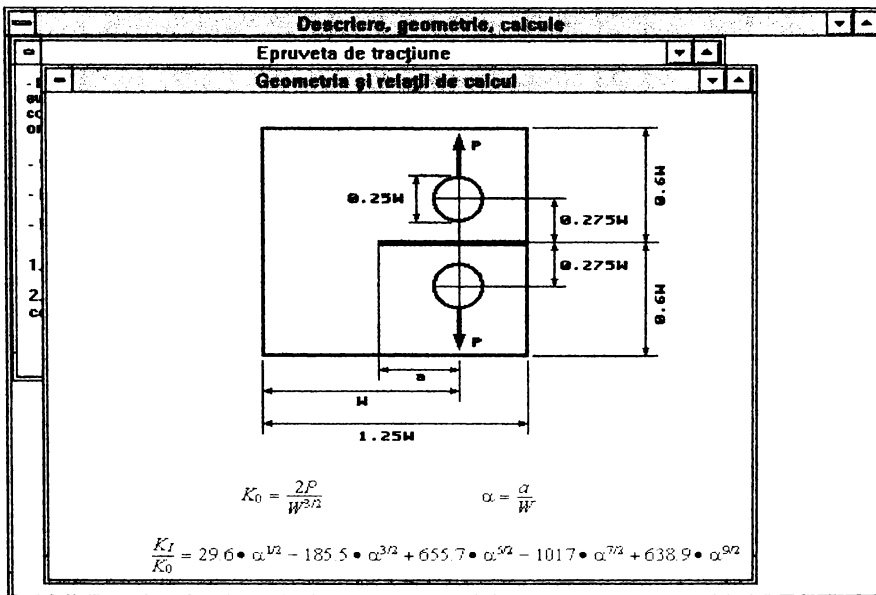


Figura 7.2.4

Schema logică a programului Profik este prezentată în Figura 7.2.5.

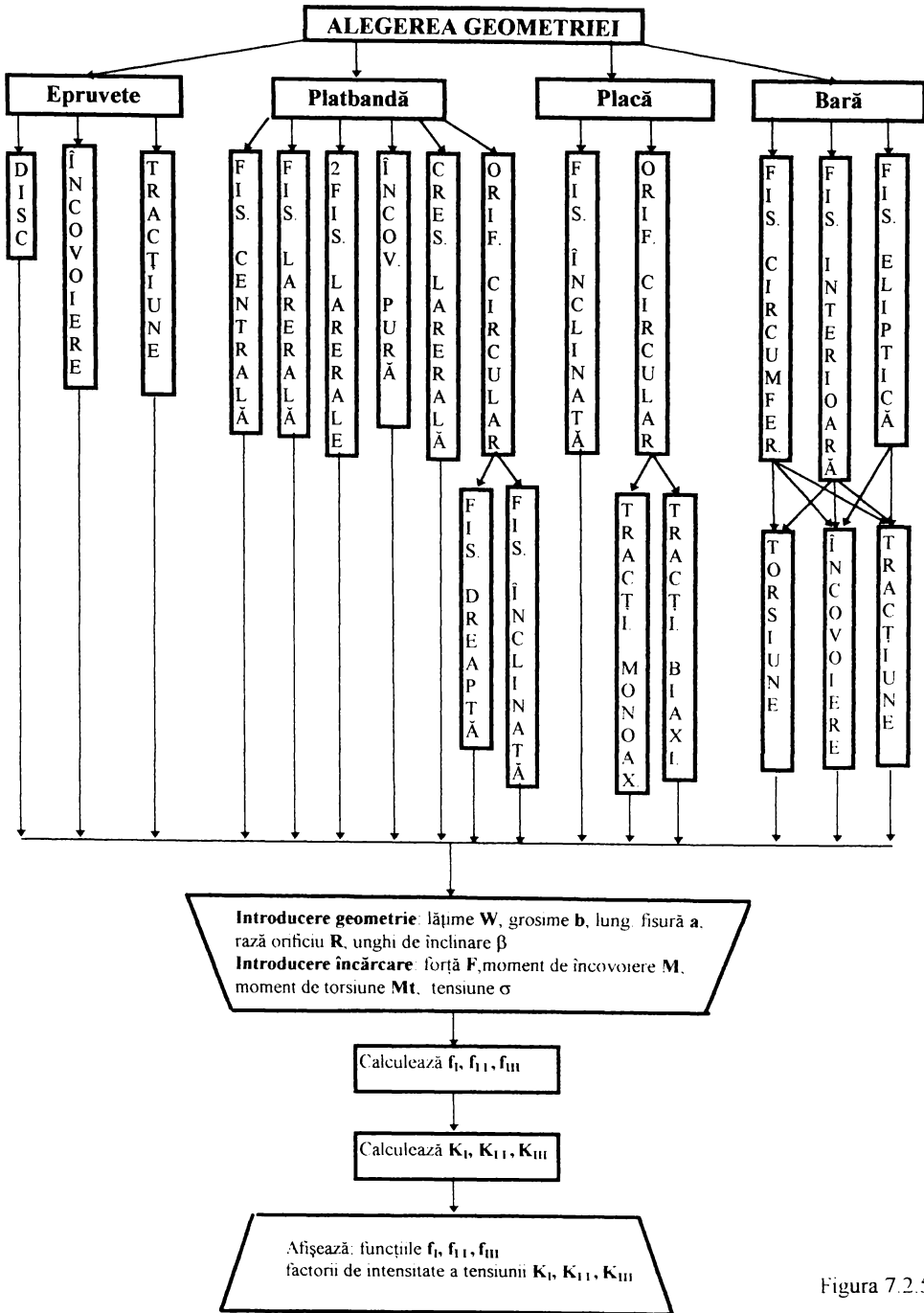


Figura 7.2.5

Pentru cazurile platbenzii cu orificiu circular din care se dezvoltă o fisură înclinată și a plăcii cu fisură înclinată, programul **ProfiK** calculează funcțiile f_I și f_{II} , respectiv factorii de intensitate a tensiunii K_I și K_{II} pertinenti modului mixt de deplasare a flancurilor fisurii. Pentru bara de secțiune circulară, cu fisură circumferențială sau interioară, solicitată la torsiune programul calculează factorul de intensitate a tensiunii K_{III} , corespunzător modului III de deplasare a flancurilor fisurii.

Programul conține trei soluții originale pentru calculul factorilor de intensitate a tensiunii, pe care le-am prezentat în această teză și anume: platbanda cu crestătură laterală (subcapitolul 4.1), platbandă cu orificiu circular din care se dezvoltă o fisură perpendiculară pe direcția de încărcare, respectiv o fisură înclinată cu unghiul β (subcapitolul 4.2).

Programul realizat de autor constituie o bază de date pentru calculul "**factorului de intensitate a tensiunii**" și poate fi utilizat:

- în laboratoarele care efectuează încercări de Mecanica ruperii pentru calculul rapid a factorului de intensitate a tensiunii K_I , respectiv la determinarea tenacității la rupere K_{IC} ;
- la proiectarea structurilor de rezistență pe baza principiilor de mecanica ruperii;
- la stabilirea duratei de viață a unor utilaje, la ale căror elemente de rezistență se constată apariția unor fisuri;

Prin concepția multifereastră a programului acesta este foarte ușor de utilizat, operatorul având posibilitatea apelării ferestrei de descriere și a celei care prezintă geometria și relațiile de calcul.

Datorită multitudinii de geometrii și ferestre programul ocupă aproximativ 14Mbytes pe Hard Disk și necesită pentru rulare mediul WINDOWS și "librăria dinamică" **vbrun300.dll**.

CAPITOLUL 8

SINTEZA LUCRĂRII. CONTRIBUȚII PERSONALE.

8.1 SINTEZA LUCRĂRII

Lucrarea de față se încadrează în domeniul de mare actualitate al metodelor numerice aplicate în Mecanica ruperii materialelor. Lucrarea reprezintă o sinteză a activității de cercetare desfășurată de autor pe parcursul a peste 7 ani, asupra utilizării metodelor numerice pentru calculul parametrilor din Mecanica ruperii. Cercetările privind calculul parametrilor din Mecanica ruperii în vederea estimării durabilității utilajelor grele, au făcut obiectul unor contracte de cercetare între Catedra de Rezistența Materialelor a Universității "POLITEHNICA" Timișoara și S.C. PROMT S.A Timișoara.

Lucrarea conține 8 capitole.

În Capitolul 1 "**STADIUL ACTUAL AL UTILIZĂRII METODELOR NUMERICE PENTRU CALCULUL PARAMETRILOR DIN MECANICA RUPERII**" (8 pagini) se prezintă locul și importanța metodelor numerice în conceptul de *evaluare a siguranței în exploatare a elementelor de rezistență* pe baza principiilor Mecanicii ruperii materialelor. Se face o analiză critică a stadiului utilizării metodelor numerice pentru calculul parametrilor din Mecanica ruperii, subliniind tendințele actuale în acest domeniu. De asemenea sunt prezentate programele existente pentru calculul numeric al parametrilor din Mecanica ruperii și este reluat conceptul de *evaluare a siguranței în exploatare a elementelor de rezistență* prin prisma programelor de calcul numeric.

Capitolul 2 intitulat "**METODE ANALITICE PENTRU DETERMINAREA PARAMETRILOR DIN MECANICA RUPERII**" (50 pagini) este împărțit în două subcapitole, care abordează metodele analitice de exprimare a tensiunilor și deformațiilor în medii elastice, respectiv elasto-plastice cu fisuri, introducând parametrii Mecanicii ruperii (în domeniul liniar elastic: factorul de intensitate a tensiunii K , forța de extensie a fisurii G , respectiv în domeniul elasto-plastic: deplasarea la deschidere a vârfului fisurii δ , integrala de contur J).

În cadrul subcapitolului 2.1 se prezintă o sinteză a soluțiilor analitice de exprimare a tensiunilor și deformațiilor în medii elastice cu fisuri, folosind funcțiile de variabilă complexă, soluțiile Kolosov- Mushelishvili, Goursat, Westergaard, aproximarea Irwin și soluția Williams.

Metoda funcțiilor de pondere a fost reformulată de autor pentru calculul factorului de intensitate a tensiunii și aplicată la două cazuri concrete de corpuri elastice cu fisuri.

Pornind de la exprimarea tensiunilor cu funcția Airy, autorul propune o soluție originală, a câmpului de tensiune din vecinătatea unei creștături înguste terminată cu un orificiu circular.

În subcapitolul 2.2 se analizează extinderea zonei plastice, ce se formează la vârful fisurii. Luând în considerare criteriile de plasticitate Tresca și Von Mises sunt prezentate expresii originale ale razei zonei plastice pentru modul I, II și mixt de deplasare a flancurilor fisurii. Valorile razei zonei plastice, obținute analitic, sunt comparate cu rezultate experimentale obținute prin metoda causticelor. Tot în acest subcapitol se prezintă modul de exprimare a tensiunilor și deformațiilor din vecinătatea fisurilor aflate în medii elasto-plastice pe baza parametrilor Mecanicii ruperii: deplasarea la deschidere a vârfului fisurii δ și integrala de contur J .

În Capitolul 3 "**UTILIZAREA METODEI ELEMENTELOR FINITE PENTRU DETERMINAREA PARAMETRILOR DIN MECANICA RUPERII**" (51 pagini) sunt tratate problemele specifice modelării cu elemente finite a corpurilor cu fisuri, la care autorul are

importante contribuții personale. După o succintă prezentare a bazelor teoretice ale Metodei elementelor finite (subcapitolul 3.2) și a principiului Metodei elementelor finite (subcapitolul 3.3), se abordează cele două probleme specifice calculului numeric al parametrilor din Mecanica ruperii:

- modelarea singularității corespunzătoare vârfului fisurii (subcapitolul 3.4);

- determinarea parametrilor Mecanicii ruperii pe baza rezultatelor obținute în urma analizei cu elemente finite (subcapitolele 3.5 și 3.6).

Autorul face o analiză critică a elementelor finite utilizate pentru modelarea singularității vârfului fisurii. La elementul izoparametric cu 8 noduri degenerat se prezintă un studiu original privind poziția nodurilor adiacente vârfului fisurii, de la care prin particularizări se obțin elemente finite consacrate în literatura de specialitate.

Autorul prezintă o sinteză a metodelor de determinare a factorului de intensitate a tensiunii K și a integralei J pe baza rezultatelor analizei cu elemente finite. **Metoda extrapolării tensiunii** pentru calculul factorului de intensitate a tensiunii, este o metodă originală pe baza căreia autorul a elaborat un program de calcul, cu care s-a determinat factorul de intensitate a tensiunii la vârful unei creștături laterale ascuțite.

În subcapitolul 3.7 este prezentată schema logică cuprinzând etapele, care trebuie parcurse, pentru calculul parametrilor din Mecanica ruperii prin Metoda elementelor finite.

Capitolul 4 "APLICAȚII ALE UTILIZĂRII ANALIZEI CU ELEMENTE FINITE PENTRU DETERMINAREA PARAMETRILOR DIN MECANICA RUPERII" (27 pagini) prezintă rezultatele obținute de autor, în urma analizei cu elemente finite, pentru câteva geometrii de corpuri fisurate pentru care în bibliografia studiată nu s-au găsit soluții ale factorului de intensitate a tensiunii.

În subcapitolul 4.1 autorul propune o soluție originală pentru calculul factorului adimensional de intensitate a tensiunii la vârful unei creștături ascuțite laterale, aflată într-o platbandă. Pentru determinarea factorului de intensitate a tensiunii s-a utilizat programul EXTENS elaborat de autor pe baza metodei extrapolării tensiunii și la care datele de intrare sunt preluate după analiza cu elemente finite realizată cu programul COSMOS/M. Soluția obținută oferă posibilitatea extinderii conceptelor Mecanicii ruperii asupra platbandelor cu concentratori de tensiune de forma creștăturilor laterale.

În subcapitolul 4.2 se studiază cazul platbandelor cu orificii circulare din care se dezvoltă fisuri. Studiul s-a efectuat cu programul FRANC2DL, care la ora actuală este unul din cele mai performante programe specializate de modelare cu elemente finite a problemelor cu fisuri. Pentru cazul a două fisuri simetrice dezvoltate din orificiul circular soluția propusă de autor este comparată cu soluția lui Newman, obținută analitic prin metoda cologației. Considerând geometria cu o singură fisură dezvoltată din orificiul circular autorul propune soluții originale atât pentru cazul când aceasta se dezvoltă perpendicular pe direcția de încărcare, cât și pentru cazul când între direcția de încărcare și fisură se formează unghiul ($90^\circ - \beta$). În acest ultim caz apare modul mixt de deplasare a flancurilor fisurii iar relațiile propuse permit calculul factorului adimensional de intensitate a tensiunii pentru ambele moduri (I și II) de deplasare a flancurilor fisurii.

În Capitolul 5 "**DETERMINAREA EXPERIMENTALĂ A PARAMETRILOR DIN MECANICA RUPERII**" (31 pagini) după o trecere în revistă a metodelor experimentale utilizate pentru determinarea parametrilor din Mecanica ruperii, se prezintă o analiză critică a metodelor de interpretare în factor de intensitate a tensiunii a datelor fotoelastice: metoda Irwin, Bradley-Kobayashi, Schroedel-Smith și Smith. Apoi prin metoda fotoelasticimetricii autorul verifică experimental, soluțiile numerice propuse în capitolul anterior.

Astfel pentru verificarea soluției factorului adimensional de intensitate a tensiunii de la vârful unei creștături laterale, autorul folosește metoda fotoelasticității prin reflexie, asociată cu metoda Smith de determinare a factorului de intensitate a tensiunii. Metodei Smith autorul i-a adus unele modificări prin reprezentarea variației ordinului benzii în funcție de distanța de la vârful fisurii pe baza unei funcții de regresie polinomială în vederea creșterii preciziei determinării. Erorile dintre soluția numerică și valorile experimentale determinate pentru patru valori diferite ale unghiului creștăturii ($\beta = 0^{\circ}, 30^{\circ}, 60^{\circ}, 90^{\circ}$) este de până la 3%.

Pentru cazul platbenzii cu orificiu circular din care se dezvoltă o fisură, perpendicular pe direcția de încărcare, soluția obținută prin analiză cu elemente finite este comparată cu măsurătorile experimentale realizate prin fotoelasticitate. De data aceasta pentru determinarea factorului de intensitate a tensiunii experimental se utilizează metoda Irwin. Determinările experimentale confirmă corectitudinea soluției numerice.

Capitolul 6 intitulat "**CONTRIBUȚII PRIVIND ESTIMAREA DURABILITĂȚII TIRANȚILOR EXCAVATOARELOR PE BAZA PRINCIPIILOR MECANICII RUPERII**" (47 pagini) prezintă studiile și analizele efectuate în vederea estimării durabilității unui tirant de excavator, confecționat din St 52-3, care a funcționat o durată de 12 ani. S-au determinat compoziția chimică, caracteristicile statice ale materialului, comportarea la solicitări variabile a materialului, reziliența la temperatura ambiantă și la temperaturi scăzute și comportarea la solicitări axiale cu șoc. Apoi s-au determinat valorile tenacității la rupere pe epruvete Chevron la temperaturi cuprinse în intervalul $[-30^{\circ}\text{C}...20^{\circ}\text{C}]$, pe baza acestor valori s-a realizat estimarea durabilității tiranților în ipoteza apariției unor fisuri.

Pentru estimarea durabilității autorul a elaborat programul **DURABIL**, care ia în considerare trei dispoziții diferite ale fisurii (centrală, laterală, respectiv două fisuri laterale) în tirant. Programul se bazează pe legea lui Paris, ce exprimă legătura dintre viteza de creștere a fisurii da/dN și variația factorului de intensitate a tensiunii ΔK_I ținând cont de coeficientul de asimetrie al ciclurilor de solicitare și de raza zonei plastice formate la vârful fisurii. Programul este construit astfel încât el se oprește atunci când fisura a străpuns întreaga lățime a tirantului sau când factorul maxim de intensitate a tensiunii $K_{I\max}$ atinge valoarea tenacității la rupere K_{IC} . Programul afișează valorile factorilor de intensitate a tensiunii atât pentru fisura inițială cât și pentru momentul ruperii instabile a tirantului, valoarea razei zonei plastice, lungimea critică a fisurii și numărul de cicluri până la rupere și permite trasarea variației lungimii fisurii în funcție de numărul de cicluri și a variației factorului de intensitate a tensiunii în funcție de lungimea fisurii.

În subcapitolul 6.9 s-a realizat un studiu al durabilității unei urechi de legătură a tirantului. Studiul s-a efectuat cu metoda elementelor finite atât pentru determinarea stării de tensiune din elementul de rezistență, cât și pentru determinarea variației factorului de intensitate a tensiunii în funcție de lungimea fisurii, respectiv pentru determinarea numărului de cicluri până la rupere.

Capitolul 6 se încheie cu concluziile rezultate în urma studiului privind durabilitatea tiranților excavatoarelor.

În Capitolul 7 intitulat "**PROGRAME REALIZATE PENTRU CALCULUL PARAMETRILOR DIN MECANICA RUPERII**" (11 pagini) sunt prezentate alte două programe realizate de autor. Programul **EXTENS** calculează factorul de intensitate a tensiunii K_I prin metoda extrapolării tensiunii. Datele de intrare în program sunt pozițiile nodurilor de-a lungul unei direcții și tensiunile din nodurile respective. Programul trasează o dreaptă de regresie prin metoda celor mai mici pătrate, iar apoi prin extrapolarea dreptei de regresie la vârful fisurii se determină valoarea factorului de intensitate a tensiunii. Pe lângă ecuația dreptei de regresie și valoarea

factorului de intensitate a tensiunii programul calculează și parametrii ce caracterizează precizia estimării: coeficientul de determinare **Rd**, coeficientul de corelație **cor** și eroarea standard a estimării **er.s.e.**

Programul **ProfIK** reprezintă o bază de date cu soluții pentru calculul factorilor de intensitate a tensiunii, conținând 21 de geometrii de corpuri cu fisuri. Pe lângă soluțiile consacrate în literatura de specialitate autorul a introdus și soluțiile originale prezentate în această lucrare (pentru platbandă cu creștătură ascuțită laterală, platbandă cu orificiu circular din care se dezvoltă fisuri). Programul este realizat în **Visual BASIC** sub formă multifereastră pentru rulare sub mediul **WINDOWS**. Pentru fiecare geometrie sunt deschise trei ferestre una pentru descrierea geometriei, metodei prin care s-a determinat soluția, precizia soluției și bibliografia, una pentru figura corpului și relațiile de calcul, iar cea de-a treia pentru introducerea datelor și afișarea rezultatelor. Datele de intrare sunt elementele geometriei și încărcările, iar ca date de ieșire programul afișează valoarea factorului adimensional de intensitate a tensiunii, care este o funcție de încărcare și geometrie și valoarea factorului de intensitate a tensiunii. Programul este util în laboratoarele în care se efectuează încercări de Mecanica ruperii, deoarece conține epruvetele folosite la determinarea tenacității la rupere, la proiectarea structurilor de rezistență pe baza principiilor de Mecanica ruperii la stabilirea durabilității unor elemente de rezistență la care se constată apariția unor fisuri.

Capitolul 8 "**SINTEZA LUCRĂRII. CONTRIBUȚII PERSONALE.**" prezintă sinteza lucrării și principalele contribuții ale autorului la calculul numeric al parametrilor din Mecanica ruperii.

Lucrarea elaborată conține un număr de:

- 48 tabele
- 226 figuri din care: 18 fotografii
4 scheme logice
- 209 titluri bibliografice

Pe lângă cele trei programe realizate de autor și prezentate în cadrul lucrării, pentru elaborarea tezei s-au folosit următoarele softuri:

- utilitarele matematice MathCAD 5.0 și ORIGIN,
- programele de analiză cu elemente finite COSMOS/M și FRANC2DL împreună cu preprocesorul CASCA
- limbajele de programare QBASIC și Visual BASIC,
- editoarele de text AmiPro 3.0 și Word 6.0
- programele de desenare și grafică AutoCAD 13, Paint Shop Pro 4.0, GhostView

Desenele, programele realizate, tehnoredactarea computerizată și tot ce conține lucrarea de față au fost realizate integral de autor.

8.2 CONTRIBUȚII PERSONALE

- 1.) Prezentarea locului și importanței metodelor numerice în conceptul de *evaluare a siguranței în exploatare a elementelor de rezistență* și reconsiderarea acestui concept prin prisma programelor de analiză numerică utilizate la ora actuală pentru calculul parametrilor din Mecanica ruperii.
- 2.) Sinteza metodelor analitice pentru exprimarea tensiunilor și deformațiilor în jurul fisurilor aflate în medii cu comportare liniar-elastică.
- 3.) Reformularea metodei funcțiilor de pondere pentru calculul factorului de intensitate a tensiunii și a deplasării la deschidere a vârfului fisurii. Utilizarea metodei funcțiilor de pondere pentru determinarea factorului de intensitate a tensiunii pentru două cazuri concrete de corpuri cu fisuri. Expresiile factorului de intensitate a tensiunii pentru cazurile particulare analizate reprezintă soluții originale ale autorului.
- 4.) Soluția propusă de autor pentru câmpul de tensiuni din vecinătatea unei creștături înguste terminată cu un orificiu circular, obținută pe baza funcției de tensiune Airy și compararea acesteia cu soluțiile consacrate Irwin și Creager.
- 5.) Studiul privind extinderea zonei plastice, care se formează la vârful fisurii. Soluțiile originale propuse de autor, bazate pe criteriile de plasticitate Tresca și Von Mises, sunt calculate pentru modul I, II, iar modul mixt (I și II) de deplasare a flancurilor fisurii. Calculul razei zonei plastice pentru modul mixt de deplasare a flancurilor fisurii s-a realizat pe baza criteriului de plasticitate Von Mises, cu un program de calcul scris în MathCAD. Valorile calculate analitic ale razei zonei plastice sunt comparate cu rezultatele experimentale obținute prin metoda causticelor. Valorile experimentale confirmă validitatea soluțiilor propuse de autor, respectiv necesitatea utilizării criteriilor de plasticitate Tresca sau Von Mises pentru calculul razei zonei plastice de la vârful fisurii.
- 6.) Analiza critică a elementelor finite utilizate pentru modelarea singularității vârfului fisurii și studiul privind poziția nodurilor adiacente vârfului fisurii, de la care prin particularizări se obțin elemente finite consacrate în literatura de specialitate.
- 7.) Sinteza metodelor de determinare a parametrilor din Mecanica ruperii: factorului de intensitate a tensiunii (pentru mediile liniar-elastice cu fisuri), respectiv integralei J (pentru mediile elasto-plastice cu fisuri), pe baza rezultatelor obținute în urma analizei cu elemente finite. Autorul propune pentru calculul factorului de intensitate a tensiunii o nouă metodă și anume metoda extrapolării tensiunilor.
- 8.) Stabilirea etapelor pentru determinarea parametrilor din Mecanica ruperii, prin metoda elementelor finite și prezentarea acestora sub forma unei scheme logice.
- 9.) Autorul propune o soluție originală pentru calculul factorului adimensional de intensitate a tensiunii la vârful unei creștături laterale ascuțite, aflată într-o platbandă. Soluția s-a determinat prin metoda extrapolării tensiunii cu ajutorul programului EXTENS elaborat de autor, ca date de intrare în program utilizând rezultatele analizei cu elemente finite obținute după rularea programului COSMOS/M. Valoarea factorului de intensitate a tensiunii se calculează ca medie a valorilor

obținute după două direcții pe care se face extrapolarea ($\theta = 0^\circ$ și 90°), prin această metodologie obținându-se precizia maximă a estimării. Importanța soluției propusă constă în aceea că pe baza acesteia se pot extinde conceptele Mecanicii ruperii la platbenzile cu creștături laterale ascuțite.

10.) Utilizarea metodei elementelor finite în vederea determinării factorului de intensitate a tensiunii pentru o platbandă cu orificiu circular din care se dezvoltă fisuri. Pentru cazul când din orificiul circular se dezvoltă două fisuri simetrice soluția propusă de autor este comparată cu soluția obținută de Newman prin metoda cologației și prezentată sub formă grafică în [T1], erorile dintre cele două soluții fiind de maximum 1%. Pentru cazul când din orificiul circular se dezvoltă o singură fisură sunt analizate două situații: fisură perpendiculară pe direcția de încărcare, respectiv fisură înclinată cu unghiul β față de direcția de încărcare, la care deschiderea flancurilor fisurii se face după modul mixt I și II. Soluțiile propuse de autor pentru ambele situații sunt originale. Analiza cu elemente finite s-a realizat cu programul FRANC2DL, unul dintre cele mai performante softuri specializate pentru calculul parametrilor din Mecanica ruperii.

11.) Analiza critică a metodelor de determinare experimentală a factorului de intensitate a tensiunii pe baza datelor experimentale obținute în urma încercărilor fotoelastice, cu precizarea domeniului de valabilitate și preciziei metodei.

12.) Verificarea experimentală a soluției factorului adimensional de intensitate a tensiunii la vârful unei creștături ascuțite aflate într-o platbandă, obținută pe baza analizei cu elemente finite. Pentru determinarea experimentală a factorului de intensitate a tensiunii s-a utilizat metoda fotoelasticimetricii prin reflexie, asociată cu metoda Smith de interpretare a datelor fotoelastice. Metoda Smith a fost modificată de autor, în vederea creșterii preciziei, prin determinarea variației ordinului benzii în funcție de distanța de la vârful creștăturii sub forma unei regresii polinomiale. Erorile dintre soluția numerică și valorile experimentale ale factorului adimensional de intensitate a tensiunii determinate pentru unghiul creștăturii $\beta = 0^\circ; 30^\circ; 60^\circ; 90^\circ$ sunt de $\pm 3\%$, determinările experimentale confirmând valabilitatea soluției numerice.

13.) Pentru o platbandă cu orificiu circular din care se dezvoltă o fisură perpendiculară pe direcția de încărcare s-au determinat experimental variația factorului de intensitate a tensiunii în funcție de lungimea fisurii și valorile factorului adimensional de intensitate a tensiunii. S-a utilizat metoda fotoelasticimetricii iar interpretarea datelor fotoelastice s-a realizat pe baza metodei Irwin. Valorile experimentale obținute sunt în bună concordanță cu soluția numerică determinată prin metoda elementelor finite, erorile dintre valorile numerice și cele experimentale fiind de maximum 4%.

14.) Pentru estimarea durabilității tiranților excavatoarelor pe baza principiilor Mecanicii ruperii autorul are mai multe contribuții dintre care se menționează: stabilirea compoziției chimice și a caracteristicilor statice ale materialului prelevat din titantul unui excavator care a funcționat 12 ani; studiul privind comportarea la solicitări variabile a materialului tirantului; încercările de reziliență efectuate la temperatura ambiantă și la temperaturi scăzute; studiul privind comportarea la solicitări axiale cu șoc; determinarea tenacității la rupere prin metoda Chevron la temperatura ambiantă și la temperaturi scăzute; elaborarea unui model matematic pentru calculul durabilității tirantului. Estimarea durabilității tirantului s-a efectuat cu programul DURABIL, elaborat de autor, care ia în considerare trei dispoziții diferite ale fisurii în tirant. Programul se bazează pe legea lui Paris, care exprimă viteza de creștere a fisurii în funcție de variația factorului de intensitate a tensiunii, ținând

cont de coeficientul de asimetrie al ciclurilor variabile și de raza zonei plastice care se creează la vârful fisurii.

15.) Pentru elementele de îmbinare ale tirantului, de tipul urechilor de prindere, autorul a realizat, cu ajutorul metodei elementelor finite, un studiu privind starea de tensiune, variația factorului de intensitate a tensiunii în funcție de lungimea fisurii și propagarea prin oboseală a unei fisuri dezvoltate din orificiul urechii de prindere, stabilind durabilitatea urechii.

16.) Programul **EXTENS** pentru calculul factorului de intensitate a tensiunii K_I prin metoda extrapolării tensiunilor, datele de intrare în program fiind pozițiile nodurilor, de-a lungul unei direcții și tensiunile din aceste noduri, rezultate în urma analizei cu elemente finite. Pe lângă valoarea factorului de intensitate a tensiunii programul trasează dreapta de regresie prin metoda celor mai mici pătrate și calculează parametri ce caracterizează precizia estimării: coeficientul de determinare R_d , coeficientul de corelație cor și eroarea standard a estimării $er.s.e.$

17.) Realizarea programului **Profik**, care se constituie într-o bază de date cu soluții pentru calculul factorului de intensitate a tensiunii. Programul a fost elaborat în Visual BASIC și este destinat lucrului sub mediul WINDOWS. Pentru fiecare geometrie cu fisură programul activează trei ferestre una cuprinzând descrierea geometriei, metoda de obținere a soluției, precizia soluției și bibliografia de unde s-a extras soluția; cea de-a doua fereastră conține figura corpului și relațiile de calcul iar cea de-a treia fereastră este destinată introducerii datelor și afișării rezultatelor. Programul calculează valorile factorului adimensional de intensitate a tensiunii și a factorului de intensitate a tensiunii.

18.) Pe lângă programele menționate autorul a mai conceput o serie de programe în utilitarul matematic MathCAD 5.0, dintre care amintesc: programul de interpolare polinomială pentru determinarea soluțiilor factorului adimensional de intensitate a tensiunii; programul pentru calculul factorului de intensitate a tensiunii prin metoda funcțiilor de pondere; programul pentru calculul razei zonei plastice pentru modul mixt de deplasare a flancurilor fisurii, bazat pe criteriul de plasticitate Von Mises; programul pentru calculul factorului de intensitate a tensiunii pe baza datelor fotoelastice, utilizând metoda Irwin; alte programe pentru trasarea anumitor funcții.

BIBLIOGRAFIE

- A1. AGNIHOTRI, G - "Stress Analysis Of A Crack Using The Finite Element Method", Engineering Fracture Mechanics, vol.44, No.1, 1993, pag.109-125
- A2. AKIN, J - "Computer - Assisted Mechanical Design", Prentice Hall, New Jersey, 1990
- A3. ANDERSON, T.L - "Fracture Mechanics. Fundamentals and Applications", CRC Press, Boca Raton, 1991
- A4. ANNIGERI, B.S; CLEARY, M.P - "Quasi-Static Fracture Propagation Using The Surface Integral Finite Element Hybrid Method", Computational Fracture Mechanics, PVP-Vol.85, 1984, pag.45-64
- A5. ARADYA, K.S.S; SRIANTH, L.S - "Stress Distribution Around Surface Crack - A Scattered Light Photoelastic Investigation", Engineering Fracture Mechanics, vol.25, nr.4, 1986, pag.457-501
- A6. ARGYRIS, J. H. - "Energy Theorems and Structural Analysis", Butterworth, 1960
- B1. BABEU, T; MARŞAVINA, L - "Determination of Mode I Stress Intensity Factor by Photoelasticity", V Krajowa Konferencja Mechaniki Rekania, Kielce, POLONIA, 1995, pag. 123-128
- B2. BANKS-SILLS, L ; MAKEVET, E - "A Numerical mode I weight function for calculating stress intensity factors of three-dimensional cracked bodies", International Journal of Fracture, Nr. 76, 1996, pag. 169-191
- B3. BARQUINS, M; PETIT, J-P; MAUGIS, D - "Path and Kinetics of Branching from Defects Under Uniaxial and Biaxial Compressive Loading", Int. Journal of Fracture, vol. 54, 1992, pag.139-163
- B4. BARSOM, J.M; ROLFE,S.T - "Fracture and Fatigue Control in Structures. Application of Fracture Mechanics", Prentice-Hall Inc, New Jersey, 1987
- B5. BASS, B.R; BRYSON, J.W - "ORNL Analysis Method and Computer Codes", NRC Vessel Integrity Review Group Meeting, Fracture Models and Analysis Methods, Oak Ridge, 1986
- B6. BERGER, J.R; DALLY, J.W - "An Overdeterministic Approach For Measuring The Opening Mode Stress Intensity Factor Using Strain Gages", Proceedings of SEM, 1986, pag. 597-602
- B7. BERGER, J.W; DALLY, J.W; SANFORD, R.J - "Extent Of Validity of Three-Parameter Crack-Tip Strain Fields", Proceeding of SEM, 1991, pag.572-578
- B8. BERKOVITS, A; BETSER ,A.A; ASSA, A - "Photoelastic Analysis of the Stress Field Surrounding a Fatigue Crack", Experimental Mechanics, February 1974, pag.64-68
- B9. BLAUDEL, J.G; BEINERT, J; WENK, M - "Fracture-mechanics Investigations of Cracks in Rotating Disks", Experimental Mechanics, March 1977, pag.106-112
- B10. BLUMENAUER,H; PUSCH,G - "Bruckmechanick", Verlag, Leipzig, 1973
- B11. BOLEANȚU, L.; DOBRE I - "Aplicații ale Mecanicii solidului deformabil în construcția de mașini", Editura Facla, Timișoara, 1978
- B12. BOLEANȚU, L. ; MARŞAVINA, L - "Tipuri de elemente finite pentru modelarea singularităților câmpului de tensiune și deformație", Acta Universitatis Cibiniensis, Vol. XIII, Seria Tehnică, Mecanică Aplicată, Sibiu, 1995, pag. 1 - 6
- B13. BOLEANȚU, L ; MARŞAVINA, L - "Considerații privind raza zonei plastice de la vârful fisurii", Al VII-lea Simpozion Național de TENSOMETRIE cu participare internațională, Vol. III, Suceava, 1996, pag.125-132
- B14. BRADLEY,W.B; KOBAYASHI,A.S - "An Investigation of Propagating Cracks by Dynamic Photoelasticity". Experimental Mechanics, March 1970, pag.106-113

B15. BROEK, D - "Elementary engineering Fracture Mechanics", Martinus Nijhoof Publishers, Dordrecht, 1986

B16. BUCUR, C.M - "Metode numerice", Ed. Facla, Timișoara, 1983

B17. BUCHHOLTZ, F-G; DIEKMANN, P - "3D Finite Element Analysis Of a Compact Tension Specimen Under In-Plane Mixed Mode Loading", The 9th Biennial European Conference On Fracture", Varna, 1992, pag.795-800

B18. BUECKNER, H.F - "A Novell Principle for the Computation of Stress Intensity Factors", ZAMM, Nr.50, 1970, pag. 529-546

B19. BUECKNER, H.F - "Weight Fun ctions for Notched Bar", ZAMM, Nr.51, 1971, pag. 97-109

B20. BLUMENFELD, M. - "Introducere în metoda elementelor finite", Editura Tehnică, București, 1995

B21. BOUKHAROUBA, T.; TAMINE, T., NIU, L.; CHEHIMI, C.; PLUVINAGE, G. - "The Use of Notch Stress Intensity Factor as a Fatigue Crack Initiation Parameter", Engineering Fracture Mechanics, Vol. 52, Nr. 3, 1995, pag. 503 - 512.

B22. BABEU, T.; BOLEANȚU, L.; DUMITRU I.; MARȘAVINA, L. - "Elaborarea unor metode de analiză a stării de îmbătrânire, oboseală și rupere fragilă a elementelor de rezistență critice din construcția utilajelor grele", Contract: beneficiar S.C. PROMT SA, 1995

B23. BROWN, K.R. - "The Chevron Notched Fracture Toughness Test", ASTM STANDARDIZATION NEWS, NOVEMBER 1988, pag. 66 - 69

B24. BESKOS, D.E. - "Boundary Element Method in Mechanics", vol. 3, Computational Methods in Mechanics, North - Holland, 1987

B25. BREBBIA, C.A.; WALKER, S. - "Boundary Elament Techniques in Engineering", Newness - Butterworths, 1980

C1. CAI SHUTAO; XU YIGEN - "Approximate Expression of Maximum Value of Stress Intensity Factor of Nozzle Corner Cracks", Int. Journal of Pressure Vessles and Piping, vol.35, nr.5, 1988, pag.411-422

C2. CHIARELLI, M; FREDIANI, A - "A Computation Of The Three-Dimensional J-Integral For Elastic Materials with A View To Applications In Fracture Mechanics", Engineering Fracture Mechanics, Vol.44, No.5, 1993, pag.763-788

C3. CHIEN, W-Z; XIE, Z-C - "The Superposition Of The Finite Element Method On The Singularity Terms In Determining The Stress Intensity Factor", Engineering Fracture Mechanics, Vol.16, No.1, 1982, pag.95-103

C4. CHISHOLM, D.B; JONES, D.L - "An Analytical and Experimental Stress Analysis of a Practical Mode II Fracture Test Specimen", Experimental Mechanics, January 1977, pag.7-13

C5. CIOCLOV, D - "Mecanica Ruperii Materialelor", Ed. Academiei, București, 1977

C6. CONSTANTINESCU, D.M; PASTRAMĂ, Ș.T.; STOICA, M.O. - "On How Easy It Is To Calculate a Wrong Value of Stress Intensity Factor", Lucrările celei de a 3-a Conferințe Internaționale de Elemente Finite și de Frontieră, Secțiunea I. Constanța, 1995, pag. 85 - 92.

C7. CRUSE, T.A; VANBUREN, W - "Threc Dimensional Elastic Stresss Analysis of a Fracture Specimen with an Edge Crack", Int. Journal of Fracture Mechanics, vol.7, nr.1, 1971, pag.1-15

C8. CUTEANU, E - "Metoda elementelor finite în proiectarea structurilor", Ed. Facla, Timișoara, 1980

C9. CHEN Z. - "A New Photoelastic Procedure to Determine SIF of Mode I Crack", International Journal of Fracture, Nr.69, 1995, pag. R89 - R82

C10. CHEN Z., WANG D. - "An Over-Deterministic Photoelastic Procedure for Mode I Crack Problems", International Journal of Fracture, Nr.67, 1994, pag. R93 - R98

- C11. CONSTANTINESCU, D. M. - "Contribuții la studiul stării de tensiune în zona fisurii în plăci elastice subțiri", Rezumatul Tezei de Doctorat, UPB, București, 1997
- C12. CREAGER, M.; PARIS P.C - "Elastic Field Equations for blunt cracks", International Journal of Fracture Mechanics, No. 13, pag. 247-252, 1967
- C13. CARPINTERI, A. - "Size and Scale Effects in Fracture Parameters", Lecture Notes, CISM Course, Udine, Italy, 1997
- D1. DALLY, J.W; BERGER, J.R - "A Strain Gage Method for Determining K_I and K_{II} in a Mixed Mode Stress Field", Proceedings of SEM, 1985, pag.603-612
- D2. DAWICKE, D. S.; SUTTON, M. A.; NEWMAN. JR. J.C., BIGELOW, C.A. - "Measurement and Analysis of Critical CTOA for an Aluminium Alloy Sheet", NASA Technical Memorandum 109024, September 1993, Langley Research Center, Hampton, Virginia, USA
- D3. DERBALIAN, G; LANGE, C - "J-Integral Estimation With the Stiffness Gradient Method for Power Law Hardening Materials", Fatigue and Fracture Assessment By Analysis and Testing, PVP-Vol.103, ASME, 1986, pag.49-54
- D4. DESJARDINS, J.L.; BURNS, D.J., THOMPSON, J.C. - "A Weight Function Technique for Estimating Stress Intensity Factors for Cracks in High Pressure Vessels", High Pressure Technology, PVP - Vol. 148, 1988, pag. 55-64.
- D5. DEMPSEY, J.P.; ADAMSON, R.M.; DEFRANCO, S.J. - "Fracture Analysis of Base - edge - cracked Reverse - tapered plates", International Journal of Fracture, Nr. 69, 1995, pag. 281-294.
- D6. DOWD, N. P. - "Applications of two parameter approaches in elastic - plastic fracture mechanics", Engineering Fracture Mechanics, Vol. 52, No. 3, 1995, pag. 445 - 466
- D7. DORN, W.S.; Mc CRACKEN, D.D. - "Metode numerice cu programe în FORTRAN", Editura Tehnică, București, 1976
- D8. DUMITRU, I.; FAUR, N.; LAICHICI, P.; POPA, M. - "Cercetări privind comportarea unor oțeluri la viteze mari de deformație", A VIII Conferință de Vibrații Mecanice, Timișoara, 1996, pag. 153 - 158
- D9. DUMITRU, I ; MARȘAVINA, L - "Considerații asupra durabilității tirantului unui excavator aplicând conceptele mecanicii ruperii", A VIII Conferință de Vibrații Mecanice, Timișoara, 1996, pag. 59 - 64
- E1. EFTIS, J - "On the Fracture Stress For the Inclined Crack Under Biaxial Load", Engineering Fracture Mechanics, vol.26, nr.1, 1987, pag.105-125
- E2. ETHERIDGE, J.M; DALLY, J.W - "A Critical Review of Methods for Determining Stress Intensity Factors from Isocromatic Fringes", Experimental Mechanics, July 1977, pag.248-254
- F1. FREUND, L.B; DUFFY,J; ROSAKIS,A.J - "Dynamic Fracture Initiation In Metals and Preliminary Results On the Method of Caustics for Crack Propagation Measurements", ASME, March 1982
- F2. FURGIUELE, F.M; LUCHI, M.L - "A Note On Some Crack Tip Elements Employed In Two-Dimensional Elasto-Plastic Fracture Mechanics", Engineering Fracture Mechanics. Vol.33, No.5, 1989, pag.831-837
- F3. FETT, T. - "Weight Functions for Cracks at Sharp Notches and Notch Intensity Factors", International Journal of Fracture, Nr.77, 1996, pag. R27 - R33
- G1. GÂRBEA, D - "Analiză cu Elemente Finite", Ed. Tehnică, București, 1990
- G2. GDOUTOS, E.E; AIFANTIS, E.C - "The Method of Caustics In Environmental Cracking, Engineering Fracture Mechanics, vol.23, nr.2, 1986, pag.423-430
- G3. GDOUTOS, E.E; PAPAKALIATAKIS, G - "Photoelastic Study of a Bimaterial Plate With A Crack Along The Interface", Engineering Fracture Mechanics, vol.16, nr.2, 1982, pag.177-187

- G4. GEORGIADIS, H.G; PAPAPOULOS, G.A - "On the Method of Dynamic Caustics In Crack Propagation Experiments", *Int. Journal of Fracture*, nr.54, 1992, pag.R19-R22
- H1. HAHN, H.G - "Spannungsverteilung an Rissen in festen Korpen", VDI-Verlag, Dusseldorf, 1970
- H2. HAJDU, I ; MARSAVINA, L - "Normal Stress Analysis from Dangerous Cross Section of a Plane Curved Bar Subject to Tension", *Twelfth Danubia - Adria Symposium on Experimental Methods in Solid Mechanics*", Sopron, UNGARIA, 1995, pag. 127-128
- H3. HAFER, C; DAHL, W - "Investigation on the Influence of Component Geometry On Stress State Using 3D Elastic-Plastic Finite Element Analysis", *The 9th Biennial European Conference on Fracture*, Varna, 1992, pag.911-916
- H4. HARRIS, D.O; BIANCA, C.J - "NASCRAC - A Computer Code for Fracture Mechanics Analysis of Crack Growth", *AIAA 28th Structures, Structural Dynamics and Materials Conference*, Monterey, California, 1987, pag.662-667
- H5. HETENYI, M - "Handbook of Experimental Stress Analysis", New York, 1954
- H6. HEYMANN, F.J - "A Review of the Use Of Isoparametric Finite Elements For Fracture Mechanics", *Engineering Applications of Fracture Analysis, Proceedings of the First National Conference on Fracture*, Johannesburg, 1979, pag.371-385
- H7. HILTON, P.D; PEIRCE, D.C - "The Enriched Element Formulation 3-D Combined Mode Elastic Crack Problems", *Computational Fracture Mechanics, PVP-Vol.85*, 1984, pag. 65-76
- H8. HOEPPNER, D; DANFORD, V; PETTIT, D.E - "A New Technique for Viewing Deformation Zones at Crack Tips, *Experimental Mechanics*, June 1971, pag.280-283
- H9. HOLLESTEIN, T - "Experimentelle untersuchungen zum Verhalten von Rissen bei Elasto-Plastischen Werkstoffverformungen", Darmstad, 1981
- H10. HORVATH, F - "Application of Finite Element Method For The Solution of Some Problems In Fracture Mechanics", *The Proceedings of the 10th Congress on Material Testing*, vol.1, Budapest, pag.273-278
- H11. HU, W; LIU, H.W - "Crack Tip Strain - A Comparison of Finite Element Method Calculations and Moire Measurement", *ASTM STP 601*, 1976
- H12. HYDE, T.H; WARRIOR, N.A - "An Improved Method For The Determination Of Photoelastic Stress Intensity Factors Using The Westergaard Stress Function", *Int. Journal Mechanical Sciences*, vol.32, 1990, pag.265-273
- H13. HĂRDĂU, M.- "Metoda Elementelor Finite", Transilvania Press, Cluj-Napoca, 1995
- H14. HANEL, J.J. - "Schwingfestigkeit und Rißfortschreitung von eigenspannungsbehafteten Rißstaben aus St 52 unter Einstufenbelastung", *Technischen Hochschule Darmstad*, 1972
- I1. ILIESCU, N; CONSTANTINESCU, D.M; JIGA, G; PASTRAMĂ, St - "Photoelastic Determination of the Mode I Stress Intensity Factor", *"POLITEHNICA" Scientific Bulletin*, 1994
- I2. ILIESCU, N.; NĂSTĂSESCU, V - "Contribuții privind determinarea factorului de intensitate a tensiunilor la vârful fisurii unei plăci cu creștături", *Simpozion Național de Mecanica Ruperii, Midia*, 1996, pag. 95 - 100
- I3. ILIESCU, N.; CONSTANTINESCU, D.M.; PASTRAMĂ, St. - "Cercetări privind estimarea factorului de intensitate a tensiunii la vârful unei fisuri centrale străpunse", *"POLITEHNICA" Scientific Bulletin*, 1994
- I4. ITOH, Y.Z; MURAKAMY, T; KASHIWAYA, H - "Proportional Extrapolation Techniques for Determining Stress Intensity Factors", *Engineering Fracture Mechanics*, vol.31, nr.2, 1988, pag.297-308
- I5. ILIE, L.; STEMATIU, D.; ALDEA, C. - "Finite Approach in Fracture Mechanics Applied to Mass Concrete", *Lucrările celei de a 3-a Conferințe Internaționale de Elemente Finite și de Frontieră, Secțiunea 1, Constanța*, 1995, pag. 113 - 124.

16. INGRAFFEA, A. - "Finite Element Method for Discrete Crack Modelling", Lecture Notes, CISM Course, Udine, Italy, 1997
- J1. JALOBEANU, C.; RAȘA, I. - "Probleme de calcul numeric și statistic în MATHCAD", Ed. Albastră, Cluj - Napoca, 1995
- J2. JOCH, J; PTAK, S - "On Stress Intensity Factor Computation By FEM under Mixed-Mode Loading Conditions", Engineering Fracture Mechanics, Vol.34, No.1, 1989, pag.169-177
- K1. KALTHOFF, J.F; COLLISON, P; VOYVODA, J; DAHMEN, H - "On the Influence of Higher Order Terms of the Stress Field Equation in Transient Fracture Problems", The 9th Biennial European Conference On Fracture, Varna, 1992, pag.891-898
- K2. KIM, K.S; ORANGE, T.W - "A Review of Path-Independent Integrals in Elastic-Plastic Fracture Mechanics", Fracture Mechanics: Eighteenth Symposium, ASTM STP 945, 1988, pag.713 - 729
- K3. KLEIN, G - "Spannungsfaktoren eines Riesses in der Umgebung eines Kreisloches und ihr Einflub auf des Bruchverhalten", Journal of Materials Technology, Heft 1, 1975, pag.30-34
- K4. KOBAYASHI, A.S; ENGSTROM, W.L; SIMON, B.R - "Crack Opening Displacements and Normal Strains in Centrally Notched Plates", Experimental Mechanics, April 1969, pag.163-170
- K5. KOBAYASHI, A.S; WADE, B.G; MAIDEN, D.E - "Photoelastic Investigation on the Crack-arrest Capability of a Hole", Experimental Mechanics, January 1972, pag.32-37
- K6. KOBAYASHI, A.S; MALL, S; LEE, M.H - "Fracture Dynamics of Wedge Loaded Double Catilever Beam Specimen", ASTM STP 601, 1976, pag.274-290
- K7. KULLMER, G - "Elastic Stress Field in the Vecinity Of A Narrow Hotch With Circular Root", The 9th Biennial European Conference On Fracture, Varna, 1992, pag.905-910
- L1. LABBENS, R; HELIOT, J; PELLISSTER - TANON, A - "Weight Functions for Three-Dimensional Symmetrical Crack Problems", Cracks and Fracture, ASTM STP 601, 1976, pag.448-470
- L2. LABBENS, R; PELLISSTER - TANON, A; HELIOT, J - "Practical Method for Calculating Stress - Intensity Factors Through Weight Functions", Mechanics of Crack Growth, ASTM STP 590, 1976, pag. 368-384
- L3. LEE, O.S; HONG, S.K - "Determination Of Stress Intensity Factors And J-Integrals Using The Method Of Caustics", Engineering Fracture Mechanics, vol.44, nr.6, 1993, pag.981-989
- L4. LEMAITRE, J - "Local Approach Of Fracture", Engineering Fracture Mechanics", vol.25, nr.5/6, 1986, pag.523-537
- L5. LOVAS, E - "Evaluation of Fracture Mechanics Characteristics by Photoelasticity", 7th Congress on Material Testing, Budapest, 1978, pag.611-616
- M1. MARLOFF, R.H; LEVEN, M.M - "Photoelastic Determination of Stress Intensity Factors", Experimental Mechanics, December 1971, pag.529-539
- M2. MARȘAVINA, L; POPA, M - "Determinarea câmpului de tensiune în vecinătatea unei creștături înguste terminată cu un orificiu circular", Analele Universității din Oradea, Fascicola Mecanică, 1993, pag.62 - 68
- M3. MARȘAVINA, L - "Calculul factorului de intensitate a tensiunii pentru o placă cu un orificiu eliptic terminat cu două fisuri coliniare la extremități", Sesiunea de Comunicări Științifice, Secțiunea II, Reșița, 1993
- M4. MARȘAVINA, L - "Studiul singularităților câmpului de tensiune din jurul unei fisuri", A II-a Sesiune de Comunicări Științifice a Universității "Aurel Vlaicu" Arad, Secțiunea Inginerie Mecanică, 1994, pag.103 - 108
- M5. MARȘAVINA, L - "Determinarea fotoelastică a factorului de intensitate a tensiunii K_I prin Metoda Irwin", Analele Universității din Oradea, Fascicola Mecanică, vol. I 1995, pag.62 - 68
- M6. MARȘAVINA, L ; BOLEANȚU L. - "Metode numerice de evaluare a factorului de intensitate a tensiunii", Acta Universitatis Cibiniensis, Vol. XIII, Seria Tehnică, Mecanică Aplicată, Sibiu, 1995, pag. 111 - 116

M7. MARŞAVINA, L.; DUMITRU, I - "Model matematic pentru estimarea duratei de viaţă a tiranţilor excavatoarelor", Seminar ştiinţific: Metode pentru determinarea rezervei de viaţă la utilajele grele mobile, Timişoara, 1996

M8. MISKIOGLU, I - "Stress Intensity Factors For Near Edge Cracks By Digital Image Analysis", Engineering Fracture Mechanics, vol.21, nr.3, 1985, pag.547-557

M9. MISHRA, A; SINGH, M.C - "Finite Elements For The Determination Of Plastic Zone and Mouth Opening Displacement Values of an Edge Cracked Thin Plate", Engineering Fracture Mechanics, Vol.28, No.5, 1988, pag.609-631

M10. MOCANU, D.R - "Analiza experimentală a tensiunilor", vol.I-II, Ed. Tehnică, Bucureşti, 1977

M11. MURTHY, N.S; RAO, P.R - "Determination of Mode I Notch Stress Intensity Factor By The Photoelastic Technique", Engineering Fracture Mechanic, vol.21, nr.3, 1985, pag.557-562

M12. MUSHELISVILI, N.I - "Câteva probleme fundamentale ale teoriei matematice a elasticităţii", Editura Academiei, Bucureşti, 1965

M13. MARŞAVINA, L.; DUMITRU, I.; BOLEANŢU, L. - "Analize şi încercări asupra materialelor utilajelor grele cu durata de exploatare expirată", Contract: beneficiar S.C. PROMT S.A., 1996

M14. MARŞAVINA, L.; DUMITRU, I.; BOLEANŢU, L. - "Analize şi încercări asupra materialelor excavatorului Erc - 1300 din cariara Tismana", Contract: beneficiar S.C. PROMT S.A., 1996

M15. MARŞAVINA, L. - "Metode experimentale în Mecanica ruperii", Referat nr.1 al Tezei de doctorat, Universitatea POLITEHNICA Timişoara, 1993

M16. MARŞAVINA, L. - "Analiza experimentală a tensiunilor şi deformaţiilor în jurul fisurilor", Referat nr.2 al Tezei de doctorat, Universitatea POLITEHNICA Timişoara, 1994

M17. MARŞAVINA, L. - "Programe de calcul automat a parametrilor din Mecanica ruperii", Referat nr.3 al Tezei de doctorat, Universitatea POLITEHNICA Timişoara, 1994

N1. NĂSTĂŞESCU, V; FUIOREA, I - "Analiza câmpului tensiunilor în vecinătatea concentratorului de tip creastă cu fisură, prin Metoda elementelor finite", Simpozion Naţional de Mecanica Ruperii, Midia, 1996, pag. 107 - 112

N2. NEUBER, H. - "Kerbspannungslehre", Springer Verlag, Berlin, 1985

N3. NEWMAN. JR. J.C - "Fracture Analysis of Stiffened Panels Under Biaxial Loading with Widespread Crackeng", NASA Technical Memorandum 110197, October 1995, Langley Research Center, Hampton, Virginia, USA

N4. NEWMAN. JR. J.C; BOOTH, B.C.; SHIVAKUMAR, K. N. - "An Elastic - Plastic Finite Element Analysis of the J - Resistance Curve Using a CTOD Criterion". Fracture Mechanics: Eighteenth Symposium, ASTM STP 945, Philadelphia, 1988, pag. 665-685.

N5. NEWMAN. JR. J.C.; DAWICKE, D. S.; SUTTON, M. A.; BIGELOW, C.A. - "A Fracture Criterion for Widespread Cracking in Thin - Sheet Aluminium Alloys", ICAF. 17th Symposium. Durability and Structural Integrity of Airframes, June 9-11, 1993, Stockolm, Sweden, pag. 443 - 467

N6. NEWMAN. JR. J.C.; DAWICKE, D. S.; BIGELOW, C.A - "Finite - Element Analysis and Fracture Simulation in Thin - Shntt Aluminium Alloy", NASA Technical Memodandum 107662, August 1992, Langley Research Center, Hampton, Virginia, USA

N7. NICKOLA, W.E - "Failure Prevention Via Experimental Stress Analysis". Failure Prevention and Reliability, The Design Engineering Technical Conference, Chicago, 1977, pag.225-244

N8. NURSE, A.D; PATTERSON,E.A - "A Photoelastic Technique To Predict The Direction Of Edge Crack Extension Using Blunt Cracks", Int. Journal Mechanical Sciences, vol.32, 1990, pag.253-264

- O1. OLARIU, V; BRĂTIANU, C - "Modelare numerică cu Elemente Finite", Ed. Tehnică, București, 1986
- O2. OWEN, D.R.J; FAWKES, A.J - "Engineering Fracture Mechanics: Numerical Methods and Applications", Pineridge Press Ltd., Swansea, 1983
- P1. PACOSTE, C; STOIAN, V; DUBINĂ, D - "Metode moderne în calculul structurilor", Ed. științifică și Enciclopedică, București, 1988
- P2. PANĂ, T - "Aplicații ingineresti ale Mecanicii Ruperii", Ed. Tehnică, București, 1974
- P3. PANĂ, T - "Mecanica Ruperii Materialelor", Ed. T.Pană & Co, București, 1992
- P4. PARIS, P.C; McMEEKING, R.M; TADA, M - "The Weight Function Method For Determining Stress Intensity Factors", Cracks and Fracture, ASTM STP 601, 1976, pag.471-489
- P5. PARSONS, I.D; HALL, J.F - "A Finite Element Investigation Of The Elastostatic State Near A Three Dimensional Edge Crack", Engineering Fracture Mechanics, Vol.33, No.1, 1989, pag.45-63
- P6. PARTON, V.Z; MOROZOV, E.M - "Elastic-Plastic Fracture Mechanics", MIR Publishers, Moscow, 1978
- P7. PARTON, V.Z; PERLIN, P.I - "Mathematical Methods of the Theory of Elasticity", MIR Publishers, Moscow, 1984
- P8. PARTON, V.Z; MOROZOV, E.M - "Elastic-Plastic Fracture Mechanics", Mir Publishers, Moscow, 1978
- P9. PASCARIU, I - "Elemente Finite", Ed. Militară, București, 1985
- P10. PESTI, L - "Evaluation of J-Integral By Photoelasticity", 7th Congress On Material Testing, Budapest, 1978, pag.633-636
- P11. POTERAȘU, V.F; MIHALACHE, N - "Elemente de contur", Ed. Militară, București, 1992
- P12. POTERAȘU, V.F; MIHALACHE, N; MANGERON, D - "Metode numerice în elasticitate și plasticitate, vol.1, Ed. Academiei Române, București, 1993
- P13. PETERSEN, R.E. - "Stress Concentration Factors", John Wiley & Sons, New York, 1974
- R1. RAJU, I.S - "Calculation Of Strain-Energy Release Rates With Higher Order and Singular Finite Elements", Engineering Fracture Mechanics, Vol.28. No.3, 1988, pag.257-274
- R2. RAO, G.J; NARAYANAN, R - "Photoelastic Analysis Of Mode I Stress Intensity Factor By Two Parameter Methods", Engineering Fracture Mechanics, vol.33, nr.5, 1989, pag.733-744
- R3. RICE, J.R. - "Mechanics of Crack Tip Deformation and Extension by Fatigue". Fatigue Crack Propagation, ASTM STP 415, 1967, pag.247-311
- R4. ROBINSON, J - "Integrated Theory of Finite Element Methods", John Wiley & Sons, London, 1973
- S1. SANFORD, R.J; KIRK, M.T - "A Comparison of Boundary and Global Collocation Solutions for K_I and CMOD Calibration Functions", Experimental Mechanics, March 1991, pag. 52-59.
- S2. SCHMITT, W - "Anwendung der Methode der Finiten Elemente in der Bruckmechanik unter besonderer Berücksichtigung dreidimensionaler und elastisch-plastischer Probleme". Erlangung des Grades eines Doktor-Ingenieurs, Dissertation, Darmstad, 1981
- S3. SCHMITT, W - "Three Dimensional Finite Element Simulation Of Post-Yield Fracture Experiments", Computational Fracture Mechanics, PVP-Vol.85, 1984, pag.119-131
- S4. SEDMAK, S - "ESIS Recommendations for Use of Finite Element Method in Fracture Mechanics", The 9th Biennial European Conference On Fracture, Varna, 1992, pag.841-846
- S5. SHANYI DU; LEE, J.D - "Finite Element Analysis Of Slow Crack Growth". Engineering Fracture Mechanics, Vol.16, No.2, 1982, pag.229-245

- S6. SMITH, C.W; SMITH, D.G - "A Photoelastic Evaluation of the Influence of Closure and Other Effects Upon the Local Bending Stresses in Cracked Plates", Int. Journal of Fracture Mechanics, vol.6, nr.3, 1970, pag.305-317
- S7. SMITH, C.W - "Use The Three Dimensional Photoelasticity in Fracture Mechanics", Experimental Mechanics, December 1973, pag.539-544
- S8. SMITH, C.W; Mc GOWAN, J.J; JOLLES, M - "Effects of Artificial Cracks and Poisson's Ratio Upon Photoelastic Stress Intensity Determination", Experimental Mechanics, May 1976, pag.188-193
- S9. SMITH , C.W; EPSTEIN, J.S - "An Assessment Of Far Field Effects On The Photoelastic Determination Of Mixed Mode Stress Intensity Factors", Engineering Fracture Mechanics", vol.16, nr.5, 1982, pag.605-612
- S10. SMITH, C.W - "Stress-Fringe Signatures For Propagating Cracks", Engineering Fracture Mechanics, vol.23, nr.1, 1986, pag.229-236
- S11. SMITH, C.W - "Analitical and Experimental Studies of the Surface Flaw", SEM Fall Conference on Experimental Mechanics, Keystone, Colorado, 1987
- S12. SMITH, C.W; THEISS, T.J; REZVANI, M - "Intersection Of Surface Flaws With Free Surface. An Experimental Study", ASTM STP 1020, 1989, pag.317-326
- S13. SMITH, C.W - "Optical Methods Of Stress Analysis Applied to Cracked Components"; Springer Verlag, Berlin, 1991
- S14. SMITH, C.W - "Experimental Determination of Fracture Parameters in Three Dimensional Problems", ASTM STP 1131, 1992, pag.5-18
- S15. SMITH, C.W - "Use Of Frozen Stress In Extracting Stress Intensity Factor Distributions In Three Dimensional Cracked Body Problems", Proceedings of 7th International Congress On Experimental Mechanics, Las Vegas, 1992, pag.530-536
- S16. SOUCHET, R - "Solution Of Two-Dimensional Elastic Crack Problems Using A Localized Finite Element Method", Engineering Fracture Mechanics, Vol.20, No.1, 1984, pag.169-177
- S17. STEMATIU, D - "Calculul structurilor hidrotehnice prin Metoda Elementelor Finite", Ed. Tehnică, București, 1982
- S18. STOK, B; KOC, P - "Finite Element Stress Concentration Investigations of Infinite Domains With Cracks", Proceedings of the 10th Congress on Material Testing, Vol.1, Budapest, 1991, pag.291-296
- S19. SWENSON, D.V. - "Modeling Mixed - Mode Dynamic Crack Propagation Using Finite Elements", Ph.D. Thesis, Department of Structural Engineering Report, Nr. 85-10, Cornell University, 1985
- S20. SWENSON, D.; JAMES M. - "FRANC2D/L: A Crack Propagation Simulator for Plane Layered Structures", User's Guide, Manhattan, Kansas, 1996
- S21. SWELLAM, M.H.; AHMAD, M.F.; DODDS, R.H.; LAWRENCE, F.V. - "The Stress Intensity Factors of Tensile - Shear Spot Welds", Computing Systems in Engineering, Vol.3, Nos. 1-4, pag. 487 - 200, 1992
- S22. SAAL, H. - "Der Einfluß von Formzahl und Spannungsverhältnis auf die Zeit - und Dauerfestigkeiten und Rißfortschreitungen bei Flachstaben aus St 52", Technischen Hochschule Darmstad, 1971.
- S23. SHERMAN, D.H. - "Fracture Toughness Testing Using Chevron - Notched Specimens", Metals Handbook, Ninth Edition, Vol. 8, Mechanical Testing, ASM, Ohio, 1985
- S24. SCHEIBER, E.; LIXĂNDROIU, D. - MathCAD", Ed. Tehnică, București, 1994
- S25. SAOUMA V. E. - "Fracture Mechanics", Lecture Notes, University of Colorado, Boulder, 1997

- T1. TADA, H; PARIS, P; IRWIN, G - "The Stress Analysis Of Cracks Handbook", Second Edition, St. Louis, 1985
- T2. THEOCARIS, P.S - "A New Tecchnique for Viewing Deformation Zones at Crack Tips", Experimental Mechanics, May 1972, pag.247-249
- T3. THEOCARIS, P.S; GDOUTOS, E.E - "The Size of Plastic Zones in Cracked Plates Mode of Polycarbonate", Experimental Mechanics, May 1975, pag.169-176
- T4. THEOCARIS, P.S - "The Reflected-Shadow Method For The Study Of The Constrained Zones In Cracked Birefringent Media", Journal Of Strain Analysis, vol.7, nr.2, 1972, pag.75-83
- T5. THEOCARIS, P.S; PHILIPPIDIS, T.P - "Plastic Stress Intensity Factors In Out-of-Plane Shear By Reflected Caustics"; Engineering Fracture Mechanics, vol.27, nr.3, 1987, pag.299-314
- T6. THEOCARIS, P.S; PETROU, L - "Inside And Outside Bounds Of Validity Of The Method Of Caustics In Elasticity", Engineering Fracture Mechanics, vol.23, nr.4, 1986, pag.681-693
- T7. THEOCARIS, P.S; PHILIPPIDIS, T.P - "The Exact Modes Of Formation Of Near-Field Reflected Caustics"; Engineering Fracture Mechanics, vol.33, nr.5, 1989, pag.719-732
- T8. THEOCARIS, P.S - "The Topography Around An Internal Crack: Differences Between Exact and Two-Therm Solutions", Engineering Fracture Mechanics, vol.33, nr.5, 1989, pag.707-717
- T9. THEOTOKOGLU, E.N; TSAMASPHYROS, G.J; SPYROPOULOS, C.P - "Photoelastic Study Of a Crack Approaching The Bonded Half-Plates Interface", Engineering Fracture Mechanics, vol.34, nr.1, 1989, pag.31-42
- T10. THROOP, J.F; FUJZAK, R.R - "Stress, Strain and Deflection of Cracked C-Shaped Specimens"; Experimental Mechanics, August 1977, pag.290-296
- T11. TIPPUR, H.V; ROSAKIS, A.J - "Optical Mapping Of Crack Tip Deformations Using The Methods Of Transmission and Reflection Choerent Gradient Sensing: A Study Of Crack Tip K-dominance", Int.Journal of Fracture, nr.52, 1991, pag.91-117
- T12. TRIPA, P; MARŞAVINA, L - "Estimarea siguranței în exploatare a conductelor de abur intermediar fisurate utilizând conceptele mecanicii ruperii", Analele Universității din Oradea, Fascicola Mecanică, Vol. I, 1995, pag.
- T13. TRIPA, P; MARŞAVINA, L - "Estimarea siguranței în exploatare a conductelor de abur viu fisurate utilizând conceptele mecanicii ruperii", Analele Universității din Oradea, Fascicola Mecanică, Vol. I, 1995, pag.
- T14. TRIPA, P; MARŞAVINA, L - "Influența ciclurilor de solicitare asupra factorului de intensitate a tensiunii și a propagării prin oboseală a unei fisuri longitudinale nestrăpunse dintr-o conductă de abur viu supusă la presiune interioară", Simpozion Național de Mecanica Ruperii, Midia, 1996, pag. 220-225
- T15. TRIPA, P; MARŞAVINA, L - "Computer CODE for calculating the factor of safety against fracture and the fatigue crack propagation", 11th European Conference on Fracture, Poitiers, FRANȚA, 1996
- T16. TRIPA, P. - "Cercetări asupra tenacității unor oțeluri utilizate la conductele de abur din centralele termoelectrice", Teza de Doctorat, UPT, Timișoara, 1997
- Ț1. ȚÎRCOMNICU, R.; BĂLAȘA, B. ; BLUMENFELD, M. - "An Expert System for Crack Initiation and Propagation", Lucrările celei de a 3-a Conferințe Internaționale de Elemente Finite și de Frontieră, Secțiunea I, Constanța, 1995, pag. 230 - 237.
- V1. VAN DER SLUYS - "Application of Finite Element Techniques to Fracture Mechanics Analysis", The Babcock & Wilcox Company, Ohio, 1971
- V2. VASIU, L. - "Visual Basic 3.0". Ed. Tehnicș, Seria Microsoft, București, 1996
- V3. VOLTA, G; LUCIA, A.C - "Results of the Pretests Analysis and Start-up of the JRC Ispra Pressurized Thermal Shock Experiment: Nozzle Corner Crack Behavior". Int.Journal of Pressure Vesseles and Piping, vol.33, nr.3, 1988, pag.165-196

- W1. WADE, B.G; KOBAYASHI, A.S - "Photoelastic Investigation on the Crack-arrest Capability of a Pretensioned Stiffened Plate", Experimental Mechanics, January 1975, pag. 1-9
- W2. WANG, W. - "Visual Basic 3 pentru toți", Ed. Teora, București, 1996
- W3. WNUK, P.M - "Fundamental Concepts of Damage Tolerant Design", 9th Biennial European Conference on fracture, Varna, 1992, pag. 687 - 715
- W4. WILLIAMS, M.L. - "On Stress Distribution at the Base of Stationary Crack, ASME Journal of Applied Mechanics, Vol.24, pag.109-114, 1957
- W5. WAWRZYNEK, P.A ; INGRAFFEA, A.R. - "Discrete Modelling of Crack Propagation: Theoretical Aspects and Implementation Issues in Two and Three Dimensions", Cornell University, Raport PYI 8351914, Ithaca, New York, 1991
- Y1. YAGAWA, G; UEDA, H; TAKAHASHI, Y - "Numerical and Experimental Study On Ductile Fracture Of Plate With Surface Crack"; Fatigue and Fracture Assesment By Analysis and Testing, PVP-Vol.103, ASME, 1986, pag.43-48
- Y2. YOUN, S.; RUDOLPHI, T.J. -"On Dual Boundary Integral Equations for Crack Problems", Journal of the Korean Society of Precision Engineering, Vol. 12, No.10, October 1995
- Y3. YU, I-W; WILSON, W.K - "Generation of Singular Elements for the Analysis of Cracked Bodies", 78-1E7-NESPD-P1, Westinghouse R&D Center, Pittsburg, 1978
- Z1. ZIENKIEWICZ, O.C - "The Finite Element Method", 3rd Edition, Mc Graw-Hill, New York, 1977
1. * * * - MSC/NASTRAN for Windows Installation and Application Manual, Version 2.0, The MacNeal-Schwendler Corporation, 1995
 2. * * * - ASME BOILER AND PRESSURE VESSEL CODE, SECTION XI, Rules for Inservice Inspection of Nuclear Power Plant Components, New York, 1995 Edition
 3. * * * - "Katalog 500", Micro-Measurements Division, Measurements Group Vishay
 4. * * * - "Operating and Instruction Manual For Model 080 Series Photoelastic Teaching Polariscop System", Photoelastic Inc.
 5. * * * - "Recommedations for use of FEM in fracture mechanics", ESIS Newsletter, Technical committee 8 for Numerical Methods,Nr.15, 1991
 6. STAS 1963 - 81 - "Rezistența materialelor. Terminologie și simboluri"
 7. STAS 9760 - 84 - "Determinarea tenacității la rupere în condițiile stării plane de deformație. Metoda K_{IC} "
 8. STAS E 12803-90 - "Determinarea deplasării la deschidere a fisurii"
 9. STAS 200 - 75 - "Încercările metalelor. Încercarea la tracțiune"
 10. STAS 10290- 75 - "Încercările metalelor. Încercarea la tracțiune. Determinarea caracteristicilor elastice"
 11. STAS 7511 - 81 - "Încercările metalelor. Încercarea de încovoiere prin șoc pe epruvete cu creștătură în V"
 12. STAS 6833 - 79 - "Încercările metalelor. Încercarea de încovoiere prin șoc la temperaturi scăzute"
 13. ASTM E 616-89 - "Standard Terminology relating to Fracture Testing"
 14. ASTM E 813-87 - "Standard Test Method for J_{IC} a Measure of Fracture Toughness"
 15. ASTM E 1290-89 - "Standard Test Method for Crack-Tip Opening Displacement (CTOD) Fracture Toughness Measurement"
 16. ASTM E 647-86 - "Standard Test Method for Measurement of Fatigue Crack Growth Rates"
 17. BS 7488: Part I: 1991 - "Fracture Mechanics Toughness Tests; Part I. Method for determination of K_{IC} , critical CTOD and critical J values of metallin materials"